

## چکیده

تهیه نقشه زمین‌شناسی و دگرسانی در مقیاس ۱:۲۵۰۰۰ در محدوده زیارت شاه به مساحت ۵۰ کیلومترمربع موضوع اصلی این پژوهه بوده است. محدوده مورد مطالعه در استان کرمان در سلسله جبال بارز، حد فاصل جنوب به و جنوب باخته محمدآباد ریگان و در ۹۰ کیلومتری جنوب به واقع شده است. بخش عمده‌ای از محدوده مورد مطالعه را سنگهای نفوذی با ترکیب گرانیت و توپالیت متعلق به اولیگومیوسن و واحدهای ولکانیک مشکل از گدازه و پیروکلاستیک به سن ائوسن تشکیل می‌دهند. رخنمونهای محدودی از رسوبات پلیوسن- کواترنر و عهد حاضر نیز در بخش‌های مختلف محدوده بروند دارند. واحدهای سنگی اصلی محدوده مورد مطالعه را می‌توان در دو بخش تقسیم نمود:

- سنگ‌های آذرین خروجی و پیروکلاستیک ائوسن
- سنگ‌های آذرین نفوذی الیگوسن - میوسن

به طور کلی محدوده مورد مطالعه از نظر ساختاری متأثر از ماگماتیسم و جایگیری توده‌های نفوذی (به خصوص توده گرانیتی) می‌باشد. از نظر ساختمانی یک طاقدیس با روند محوری شمال باخته- جنوب خاور در سطح منطقه وجود دارد که سکانس و توالی ته نشینی بخش‌های مختلف آن در شمال خاور محدوده به خوبی قابل مشاهده است.

دو دسته گسل اصلی در محدوده وجود دارند. دسته اول با امتداد NW-SE که در امتداد جایگیری توده‌های نفوذی بوده و معمولاً از طول قابل ملاحظه‌ای برخوردارند و عملکردشان نرمال است. زون‌های اصلی دگرسانی معمولاً در ارتباط با این دسته از گسل‌ها هستند. روند دایکهای موجود در محدوده نشانده‌اند این است که قسمت عمده دایکها نیز در امتداد این دسته از گسل‌ها جایگزین شده‌اند. دسته دیگر با امتداد NE-SW که از نظر طول و فراوانی نسبت به گروه قبل از اهمیت کمتری برخوردارند و از آنجاییکه معمولاً در ارتباط با توده‌های نفوذی هستند به نظر می‌رسد در اثر عملکرد توده‌های نفوذی و نیروهای کششی در منطقه و یا اینکه به عنوان گسلهای فرعی منشعب شده از گسلهای اصلی (گسل‌های دسته اول)، تشکیل شده باشند.

- در محدوده مورد مطالعه ۳ زون یا بخش اصلی دگرسان شده وجود دارند که عبارتند از:
- زون دگرسانی اصلی موجود در منطقه که به صورت یک نوار با روند شمال باخته- جنوب خاوری در باخته محدوده و عمدهاً در واحد  $T^8$  قرار دارد.
  - زون دگرسانی واقع در شمال محدوده مورد مطالعه (شمال ده رستم)
  - زون دگرسانی واقع در خاور محدوده مورد مطالعه (شمال مزرعه سرگری)

مطالعات انجام شده در محدوده زیارت شاه- کماهی حاکی از وجود زون‌های دگرسانی سریستیک، کوارتز- سریستیک، پروپیلیتیک، آرژیلیک، آرژیلیک پیشرفت، دگرسانی پتاسیک، سیلیسی شدن، کربناتی شدن،

زئولیتی شدن و اکسیدهای آهن می‌باشد. کانی سازی در محدوده زیارت شاه- کماهی در ارتباط با زون‌های آلتراه می‌باشد. زون‌های کانی سازی اصلی موجود بر اساس گسترش زون‌های دگرسانی در محدوده، به ۳ بخش تقسیم می‌شوند که عبارتند از:

- کانی سازی واقع در باختر محدوده (زیارت شاه- ده دادخدا)
- کانی سازی واقع در شمال محدوده (شمال ده رستم)
- کانی سازی واقع در خاور محدوده (مزرعه سرگری- پورکی)

نتایج بدست آمده از آنالیز نمونه‌ها در زون میزرازیه واقع در باختر محدوده (زیارت شاه- ده دادخدا)، نشانده‌نده عیار قابل توجه در عناصر Bi, As, Ag, Cu, Au و تا حدودی W, Te, Mo می‌باشد. بیشترین عیار طلا 2.4ppm بوده که از رگه‌های سیلیسی همراه با اکسیدهای آهن برداشت شده است. هرچند مقادیر عیار عنصر مس در نمونه‌هایی بین 0.3 تا 4.7 درصد در نوسان است اما با توجه به گسترش سطحی این رگه‌ها، این عیارها نمی‌تواند بعنوان عنصر اصلی از نظر اقتصادی در خور توجه باشند. مگر آنکه گسترش کانی سازی در عمق بیشتر شده باشد. در زونهای میزرازیه شمال و خاور محدوده و در مناطق شمال ده رستم و مزرعه پورکی - مزرعه سرگری کانی سازی بیشتر به صورت پیریت و بعضًا کالکوپیریت و به مقدار کمتر نسبت به بخش جنوبی و باختری به صورت ملاکیت دیده می‌شود. در بخش شمال و خاور محدوده کانی سازی بیشتر به صورت بیرون‌زدگی‌هایی به شکل پراکنده و آغشته‌گی و کمتر به صورت رگه و رگچه در پیروکلاستیک‌های ائوسن ( $E_2^{vs}$ ) و آندزیت و داسیت‌های ( $E^{ad}$ ) ظاهر می‌گردد. شواهد کانی سازی در شمال ده رستم و مزرعه پورکی - مزرعه سرگری بویژه در مورد عناصری همچون طلا، نقره، بیسموت، آرسنیک و تلوریوم به شدت افت کرده و میزان میانگین در این عناصر به علاوه عناصر مهم دیگری همچون مس، آهن، آنتیموان، قلع، روی، سرب، کادمیوم، مولیبدن و تنگستن نیز کاهش چشمگیر داشته است. هر چند میزان میانگین عناصری همچون منگنز، استرانسیوم و باریم تا حدودی نسبت به منطقه زیارت شاه- نابلدیه افزایش داشته است.

برخی از مهمترین ویژگیهای ذخایر مرتبط با توده‌های نفوذی مثل: قرارگیری در محیط فرورانش و قوس آتشفسانی، پرآلومین بودن و خصوصیت کالکوآلکالن واحدهای سنگی، سیالات هیدرولترمالی با ماهیت کربنیک، دگرسانی هیدرولترمال ضعیف، محتوای فلزی کمتر از ۵ درصد و ... ، در محدوده مورد مطالعه قابل مشاهده است. بر این اساس در منطقه مورد مطالعه به ویژه در زون آلتراه و میزرازیه باختر محدوده، کانی سازی (مس و طلا) شباهت‌هایی را با ذخایر مرتبط با توده‌های نفوذی نشان می‌دهد.

## تقدیر و تشکر

مهندسين مشاور زرناب اكتشاف در راستاي اجرای پروژه "تهیه نقشه زمین شناسی اقتصادي ۱:۲۵،۰۰۰ محدوده زيارت شاه- کماهی واقع در نقشه زمین شناسی ۱:۱۰۰،۰۰۰ نگيسان" از مساعدت‌ها و پشتيباني‌های مسئولين محترم سازمان زمین شناسی و اكتشافات معدني کشور بهره‌مند شده که بدینوسيله از ايشان قدردانی به عمل می‌آيد:

- از جناب آقای مهندس ناصر عابديان (معاونت محترم اكتشاف سازمان زمین شناسی و اكتشافات معدني کشور) و مجری طرح که با ارائه نظرات ارزشمند خود در مراحل مختلف راهگشای بسياری از مشكلات بوده‌اند، صميمانه سپاسگزاری می‌گردد.
- از جناب آقای مهندس بهروز برقا (مديريت محترم امور اكتشاف) و مجری فني طرح به جهت همکاري صميمانه و همراهی در طول پروژه، سپاسگزاری می‌گردد.
- از جناب آقای مهندس پیام سودی شعار، مسئول فني محترم پروژه به دليل زحمات بي شائبه قدردانی می‌گردد.
- از جناب آقای مهندس حبيب الله على اکبری، ناظر محترم پروژه که در تمامی مراحل عملیات صحرایی و دفتری با تجارت ارزنده خویش راهنمایی‌های ارزشمندی در زمینه پیشبرد پروژه و رفع مشكلات آن ارائه نمودند، سپاسگزاری می‌شود.
- از کارشناسان محترم بخش اكتشافات سازمان زمین شناسی و اكتشافات معدني کشور که جهت پر بار شدن اين پروژه ما را ياري نمودند نيز سپاسگزاری می‌گردد.
- مهندسين مشاور زرناب اكتشاف اميد دارد که با اجرای اين پروژه توانسته باشد قدمي در راه شناسايی پتانسيل‌های معدني کشور عزيzman در استان كرمان برداشته باشد.

مديريت و کارشناسان

مهندسين مشاور زرناب اكتشاف

## فهرست مطالب

### شماره صفحه

### عنوان

فصل اول: کلیات.....	۲
۱- موقعیت جغرافیایی و راههای دسترسی.....	۲
۲- وضعیت آب و هوایی، پوشش گیاهی و شرایط اجتماعی .....	۴
۳- تopoگرافی و مورفولوژی محدوده.....	۴
۴- پیشینه مطالعاتی محدوده زیارت شاه .....	۵
۵- زمین‌شناسی اقتصادی برگه نگیسان .....	۵
۶- هدف و روش مطالعه .....	۶
فصل دوم: زمین‌شناسی - دگرسانی - کانی‌سازی .....	۱۰
۱- زمین‌شناسی عمومی محدوده زیارت‌شاه بر اساس ورقه ۱:۱۰۰،۰۰۰ نگیسان .....	۱۰
۲- شرح واحدهای سنگی محدوده زیارت شاه - کماهی (نقشه ۱:۲۵،۰۰۰) .....	۱۴
۳- سنگهای آتشفسانی دگرگون شده ائوسن .....	۱۴
۴- واحد سنگی ولکانیکهای دگرگون شده، عمدتاً متاپیروکسن آندزیت ( $E^{mt}$ ) .....	۱۴
۵- سنگ‌های آذرین خروجی و پیروکلاستیک ائوسن .....	۱۵
۶- واحد سنگی آندزیت تا داسیت ( $E^{ad}$ ) .....	۱۵
۷- واحد سنگی متشكل از گدازه و توف تیره ( $E^{vt}$ ) .....	۱۷
۸- واحد آندزیتیک تا آندزیتیک داسیتی ( $E^{ad}$ ) .....	۲۰
۹- مجموعه آتشفسانی - رسوبی ائوسن میانی .....	۲۱
۱۰- مجموعه آتشفسانی - رسوبی ائوسن میانی ( $E_1^a, E_1^{vs}, E^t$ ) .....	۲۲
۱۱- واحد آندزیت و توف ( $E^t$ ) .....	۲۳
۱۲- واحد پیروکلاستیک ( $E_1^{vs}$ ) .....	۲۴
۱۳- واحد آندزیت لاتیت پورفیری ( $E_1^a$ ) .....	۲۴
۱۴- واحد سنگی توف برشی ( $E^{tb}$ ) .....	۲۵
۱۵- مجموعه آتشفسانی - رسوبی ائوسن فوچانی ( $E_2^{vb}, E_2^{vs}, E^{tv}$ ) .....	۲۶
۱۶- واحد توف شیشهای ( $E^{tv}$ ) .....	۲۶
۱۷- واحد ولکانو کلاستیکی توف - برش و لاپیلی توف ( $E_2^{vs}$ ) .....	۲۸
۱۸- واحد برش ولکانیک ( $E_2^{vb}$ ) .....	۲۹
۱۹- سنگ‌های آذرین نفوذی الیگوسن - میوسن .....	۲۹
۲۰- واحد سنگی دیوریت ( $T^d$ ) .....	۳۰
۲۱- واحد سنگی گرانودیوریت ( $T^{gd}$ ) .....	۳۱
۲۲- واحد سنگی کوارتز مونزونیت، گرانودیوریت ( $T^g$ ) .....	۳۳

## فهرست مطالب

عنوان	شماره صفحه
۲-۴-۴- نفوذی (دایک) های میوسن.....	۳۶
۲-۴-۱- دایکهای آندزیت بازالتی (b) .....	۳۷
۲-۴-۲- تودههای میکرو (کوارتز) مونزودیوریتی (md) .....	۳۸
۲-۴-۳- دایکهای میکرو مونزودیوریت و آندزیتی (d) .....	۴۰
۲-۴-۴- دایکهای میکرو کوارتز مونزونیتی (g) .....	۴۱
۲-۵- کنگلومرای پلی ژنتیک (پلیوسن- پلیستوسن) .....	۴۲
۲-۶- واحدهای کواتز (Q <sup>f1</sup> , Q <sup>tr</sup> , Q <sup>f2</sup> , Q <sup>al</sup> ) .....	۴۳
<b>۲-۳-۱- پترولوژی سنگ های نفوذی و آتشفسانی محدوده زیارت شاه- کماهی.....</b>	<b>۴۳</b>
۲-۳-۲- مقدمه.....	۴۳
۲-۳-۳- نامگذاری سنگهای آدرین نفوذی (به روش دلا روشن و همکاران (۱۹۸۰)) .....	۴۴
۲-۳-۴- نامگذاری سنگهای آتشفسانی (به روش لویاس و همکاران (۱۹۸۶)) .....	۴۴
۲-۳-۵- تعیین سری ماگمایی (به روش ایروین و باراگار (۱۹۷۱)) .....	۴۵
۲-۳-۶- نمودار سان و مکدانف (۱۹۸۹) .....	۴۶
۲-۳-۷- اندیس اشباع از آلومینیم (به روش مانیار و پیکولی (۱۹۸۹)).....	۴۷
<b>۲-۴- تکتونیک عمومی و زمین شناسی ساختمانی.....</b>	<b>۴۷</b>
<b>۲-۵- دگرسانی.....</b>	<b>۵۰</b>
۲-۱-۱-۵-۱- دگرسانی آرژیلیک .....	۵۲
۲-۱-۱-۵-۲- دگرسانی آرژیلیک پیشرفت .....	۵۴
۲-۱-۱-۵-۳- دگرسانی پروپیلیتیک .....	۵۵
۲-۱-۱-۵-۴- دگرسانی سیلیسی .....	۵۶
۲-۱-۱-۵-۵- دگرسانی کوارتز- سریستیک (دگرسانی فیلیک) .....	۵۸
۲-۱-۱-۵-۶- دگرسانی سریستیک .....	۵۹
۲-۱-۱-۵-۷- دگرسانی پتاسیک .....	۶۰
۲-۱-۱-۵-۸- دگرسانی زئولیتی .....	۶۰
۲-۱-۱-۵-۹- دگرسانی کربناتی .....	۶۱
۲-۱-۵-۲- ارتباط زمانی- مکانی فرآیندهای مختلف دگرسانی .....	۶۲
<b>فصل سوم: زمین شناسی اقتصادی .....</b>	<b>۶۳</b>
<b>۳-۱- کانه زایی فلزی .....</b>	<b>۶۳</b>
۳-۱-۱- زون دگرسانی واقع در باخته محدوده (زیارت شاه- ده دادخدا) .....	۶۳
۳-۱-۲- زون دگرسانی واقع در شمال محدوده (شمال ده رستم) .....	۷۷
۳-۱-۳- زون دگرسانی واقع در خاور محدوده (مزروعه سرگردی- پورکی) .....	۸۰

## فهرست مطالب

عنوان	شماره صفحه
۲-۳- بررسی کانی‌سازی در محدوده زیارت شاه-کماهی براساس نتایج آنالیز نمونه‌های مینرالیزه ..... ۸۵	
۲-۱- کانی‌سازی در زون مینرالیزه واقع در باخت محدوده (زیارت شاه- ده دادخدا) ..... ۸۵	
۲-۲- کانی‌سازی در خاور محدوده (زونهای مینرالیزه شمال و خاور محدوده) ..... ۸۹	
۳-۳- نحوه تشکیل و ژنز ماده معدنی در محدوده زیارت شاه- کماهی ..... ۹۳	
۴- منابع و سنگهای ساختمانی ..... ۹۵	
فصل چهارم- نتیجه‌گیری و پیشنهادها ..... ۹۶	
۱- نتیجه‌گیری ..... ۹۶	
۲- پیشنهادها ..... ۹۸	
منابع و مأخذ ..... ۱۰۰	

## فهرست اشکال

عنوان	شماره صفحه
شكل ۱-۱: موقعیت جغرافیایی و راههای دسترسی به محلوده زیارت شاه ..... ۳	
شكل ۱-۲: موقعیت محلوده مورد مطالعه بر روی بخشی از ورقه زمین‌شناسی ۱:۱۰۰،۰۰۰ نگیسان ..... ۱۲	
شكل ۲-۱: نمایی از گسترش آندزیت- داسیت واحد $E^{ad}$ در خاور محلوده و یک دایک آندزیتی که در مرکز تصویر مشاهده میگردد (دید به سمت شمال باخترا) ..... ۱۶	
شكل ۲-۲: مقطع میکروسکوپی نمونه ZST-22 از واحد آندزیت تا داسیت ..... ۱۷	
شكل ۲-۳: نمایی از گسترش واحد $E^{vt}$ در شمال خاور محلوده (دید به سمت جنوب باخترا) ..... ۱۸	
شكل ۲-۴: نمایی میکروسکوپی مقطع ZST-43 واحد $E^{vt}$ ..... ۱۹	
شكل ۲-۵: نمایی میکروسکوپی مقطع ZST-65 واحد $E^{vt}$ ..... ۱۹	
شكل ۲-۶: گدازه تراکی آندزیتی واحد $E^{ad}$ در سمت راست تصویر در کنار سنگهای آتشفسانی- رسوبی جوانتر (سمت چپ) مشاهده میشود که هر دو بطور وسیع دگرسان شده‌اند (دید به سمت خاور). ..... ۲۰	
شكل ۲-۷: نمایی از مقطع میکروسکوپی نمونه ZST-31 واحد $E^{ad}$ ..... ۲۱	
شكل ۲-۸: نمایی از بخش تحتانی سکانس آتشفسانی- رسوبی ائوسن میانی واحد $E^t$ متشکل از توف و آندزیت در شمال خاور محلوده (دید به سمت شمال) ..... ۲۲	
شكل ۲-۹: نمایی از بخش میانی و بالایی سکانس آتشفسانی- رسوبی. در پائین تصویر پیروکلاستیکها با رنگ سبز تا بنفش و در بالای تصویر گدازه آندزیتی با رنگ قهوه‌ای مشاهده میگردند (دید به سمت شمال خاور). ..... ۲۳	
شكل ۲-۱۰: نمایی از مقطع میکروسکوپی نمونه ZST-53 واحد $E^t$ ..... ۲۴	
شكل ۲-۱۱: نمایی از مقطع میکروسکوپی نمونه ZST-29 واحد $E_1^a$ ..... ۲۵	
شكل ۲-۱۲: رخنمون واحد $E^{tb}$ توف برش با رنگ روشن در مرکز تصویر دیده میشود (دید به سمت خاور) ..... ۲۶	
شكل ۲-۱۳: نمایی از مقطع میکروسکوپی نمونه ZST-36 واحد $E^{tv}$ ..... ۲۷	
شكل ۲-۱۴: گسترش واحد $E_2^{vs}$ با رنگ کرم تا زرد در مرکز تصویر و سنگهای ولکانوکلاستیک واحد $E_1^{vs}$ با رنگ خاکستری مایل به بنفش در سمت چپ تصویر و توفهای سبز رنگ واحد $E^{ad}$ در پائین تصویر مشاهده میگردد (دید به سمت خاور). ..... ۲۸	
شكل ۲-۱۵: واحد $E_2^{vs}$ از نمایی نزدیک، قطعات به نسبت گرد شده که معمولاً داسیتی هستند در اندازه‌های گوناگون مشاهده میشوند. ..... ۲۹	
شكل ۲-۱۶: نمایی از واحد $E_2^{vb}$ در شمال محلوده (دید به سمت جنوب خاور). ..... ۲۹	
شكل ۲-۱۷: زینولیتهایی از واحد دیوریتی در داخل واحد کوارتزمونزونیتی در جنوب محلوده ..... ۳۱	
شكل ۲-۱۸: نمایی از مقطع میکروسکوپی نمونه ZST-77 واحد ..... ۳۱	
شكل ۲-۱۹: در بالای تصویر و سمت راست واحد تونالیتی ( $T^{gd}$ ) و در سمت راست و پائین تصویر واحد کوارتزمونزونیتی ( $T^g$ ) با رنگ روشن واقع در جنوب محلوده، مشاهده میگرددند (دید به شمال). ..... ۳۲	
شكل ۲-۲۰: نمایی از مقطع میکروسکوپی نمونه ZST-79 واحد $T^{gd}$ ..... ۳۳	
شكل ۲-۲۱: نمایی از گرانودیوریتهای جنوب محلوده ..... ۳۴	
شكل ۲-۲۲: نمایی نزدیک از گرانودیوریتهای جنوب محلوده ..... ۳۴	
شكل ۲-۲۳: دایکهای آندزیتی در ارتفاعات کوارتز مونزونیتی جنوب خاور محلوده (دید به سمت خاور). ..... ۳۵	
شكل ۲-۲۴: نمایی از یک رگ آپلیتی در داخل واحد کوارتز مونزونیتی در مرکز محلوده ..... ۳۵	

## فهرست اشکال

عنوان	شماره صفحه
شکل ۲۵-۲: دگرسانی آرژیلیک همراه با اکسیدهای آهن در شمال روستای زیارت شاه (دید به سمت شمال باخته).	۳۶
شکل ۲۶-۲: نمایی از مقطع میکروسکوپی نمونه ZST-73، دایکهای آندزیت بازالتی (b).	۳۸
شکل ۲۷-۲: نمایی از مقطع میکروسکوپی نمونه ZST-18، از دایکهای آندزیت بازالتی (b).	۳۸
شکل ۲۸-۲: نمایی از مقطع میکروسکوپی نمونه ZST-59، از میکرومونزودیوریتی (md).	۳۹
شکل ۲۹-۲: نمایی از مقطع میکروسکوپی نمونه ZST-9، واحد دایکهای میکرومونزودیوریت و آندزیتی (d).	۴۰
شکل ۳۰-۲: نمایی از مقطع میکروسکوپی نمونه ZST-14، واحد دایکهای میکرومونزودیوریت و آندزیتی (d).	۴۱
شکل ۳۱-۲: نمایی از مقطع میکروسکوپی نمونه ZST-14، از دایکهای میکرو کوارتز مونزونیتی (g).	۴۲
شکل ۳۲-۲: گسترش واحد کنگلومرای پلیژنتیک در شمال محدوده که در بالای تصویر قابل مشاهده است (دید به سمت خاور).	۴۲
شکل ۳۳-۲: نمودار نامگذاری دلاروش و همکاران (۱۹۸۰) برای رده‌بندی شیمیایی سنگ‌های نفوذی. نمونه‌های برداشت شده در منطقه زیارت شاه- کماهی در محدوده‌های گابرو، تونالیت، گرانودیوریت و گرانیت قرار گرفته‌اند (مثلث‌ها نشانه سنگ‌های نفوذی محدوده هستند که از واحدهای مختلف برداشت گردیده‌اند).	۴۴
شکل ۳۴-۲: نمودار مجموع آلکالی در برابر سیلیس (TAS) (لوباس و همکاران، ۱۹۸۶). سنگ‌های آتشفسانی منطقه در محدوده‌های داسیت، آندزیت و بازالت قرار گرفته‌اند. دایره‌ها نشانه سنگ‌های آتشفسانی محدوده زیارت شاه- کماهی هستند.	۴۵
شکل ۳۵-۲: نمودار $\text{SiO}_2$ در برابر $\text{Na}_2\text{O} + \text{K}_2\text{O}$ (ایروین و باراگار، ۱۹۷۱). نمونه‌های منطقه مورد مطالعه در محدوده ساب‌آلکالن قرار گرفته‌اند.	۴۵
شکل ۳۶-۲: نمودار جداگتنده سری توئیتی از سری کالکوآلکالن (ایروین و باراگار، ۱۹۷۱). نمونه‌های محدوده زیارت شاه- کماهی اغلب کالکوآلکالن هستند.	۴۶
شکل ۳۷-۲: نمودار عنکبوتی سنگ‌های نفوذی منطقه کوه شاه- پرواز که نسبت به گوشه‌های اولیه نرماییز شده‌اند (اقتباس از سان و مکدانف، ۱۹۸۹). مریع‌ها نشانه سنگ‌های نفوذی منطقه کوه شاه- پرواز می‌باشند.	۴۶
شکل ۳۸-۲: نمودار مانیار و پیکولی (۱۹۸۹). اکثر نمونه‌های منطقه در محدوده پرآلومین و در مجاورت مرز پرآلومین و متاآلومین قرار می‌گیرند (علائم بکار رفته مشابه شکل ۳۵-۲ می‌باشند).	۴۷
شکل ۳۹-۲: رز دیاگرام فراوانی گسل‌های موجود.	۴۹
شکل ۴۰-۲: رز دیاگرام فراوانی روند دایکهای موجود.	۴۹
شکل ۴۱-۲: نقشه دگرسانی محدوده زیارت شاه- کماهی.	۵۱
شکل ۴۲-۲: رگچه‌های سیلیسی موجود در توده کوارتز مونزونیتی (واحد T <sup>g</sup> ) حاوی کانه‌زایی پیریت (دید به سمت شمال).	۵۲
شکل ۴۳-۲: نمایی از گسترش دگرسانی آرژیلیک همراه با اکسیدهای آهن در مرکز تصویر واقع در خاور روستای زیارت شاه (دید به جنوب خاور).	۵۳
شکل ۴۴-۲: نمایی از گسترش دگرسانی آرژیلیک در حاشیه واحد T <sup>g</sup> و محل تماس آن با واحد E <sup>ad</sup> ، واقع در شمال پورکی (دید به سمت شمال خاور).	۵۴
شکل ۴۵-۲: دگرسانی آرژیلیک پیشرفته در واحد T <sup>g</sup> در زون دگرسانی اصلی محدوده. سیلیسی شدن (به رنگ تیره) همراه با ترکیبات اکسیدی آهن به همراه این دگرسانی مشاهده می‌شوند (دید به سمت جنوب).	۵۵

## فهرست اشکال

عنوان	شماره صفحه
شکل ۲-۱: نمایی از دگرسانی پروپیلیتیک شامل اپیدوتی و کلریتی شدن همراه با رگچه‌های کلسیتی در واحد $E^{ad}$ واقع در شمال محدوده (دید به شمال)..... ۵۶	
شکل ۲-۲: رگه‌های سیلیسی میزآلیزه به شکل شبکه‌های متقطع در داخل توده کوارتز مونزونیتی واقع در زون دگرسان اصلی در خاور روستای زیارت شاه (دید به سمت خاور)..... ۵۸	
شکل ۲-۳: نمایی از دگرسانی کوارتز- سریسیتیک شامل سریسیت، کوارتز، ژاروسیت و پیریت‌های اکسیده در حاشیه دو گسل متقطع (مرکز تصویر) در واحد $T^g$ ، واقع در شمال خاوری روستای زیارت شاه (دید به سمت شمال خاور)..... ۵۹	
شکل ۲-۴: نمایی از لامونیت به شکل رگه و رگچه‌های سفید رنگ در داخل واحد $E^{mt}$ در جنوب خاوری محدوده..... ۶۱	
شکل ۲-۵: رگه و رگچه‌های کلسیتی در داخل واحد $E^{ad}$ ، جنوب ده رستم (دید به سمت شمال خاور) .....	۶۱
شکل ۳-۱: کانی‌سازی ملاکیت در همراهی با اکسیدهای آهن (هماتیت- لیمونیت) در یک رگه سیلیسی موجود در نابلدیه (دید به سمت غرب)..... ۶۴	
شکل ۳-۲: سیلیسی شدن با ابعاد چند ده متر، در امتداد شکستگیها در جنوب خاوری روستای زیارت‌شاه (دید به سمت جنوب‌شرق)..... ۶۵	
شکل ۳-۳: نمایی از مقاطع میکروسکوپی نمونه شماره <b>ZSP-111</b> ، از رخنمون سیلیسی..... ۶۶	
شکل ۳-۴: نمایی از یک رگه سیلیسی با امتداد شمالی- جنوبی همراه با آرژیلی شدن شدید و اکسیدهای آهن در باختر محدوده ( محل برداشت نمونه‌های <b>57,58</b> ، (دید به سمت شمال‌باختر)..... ۶۷	
شکل ۳-۵: نماهایی از مقاطع میکروسکوپی نمونه شماره <b>ZSP-104</b> ، از رگه سیلیسی. .... ۶۸	
شکل ۳-۶: نمودار خطی تغییرات عیار طلا (بر حسب <b>ppb</b> ) در نمونه‌های میزآلیزه برداشت شده از جنوب و باختر محدوده .. ۶۹	
شکل ۳-۷: نمودار خطی تغییرات عیار <b>۱۸</b> نمونه برداشت شده از رگه‌های سیلیسی جنوب و باختر محدوده (طلا بر حسب <b>ppb</b> و بقیه بر حسب <b>(ppm)</b> )..... ۷۰	
شکل ۳-۸: پلان نقشه زمین‌شناسی، دگرسانی و جانمایی رگه‌های سیلیسی واقع در شمال روستای زیارت‌شاه..... ۷۱	
شکل ۳-۹: پلان نقشه زمین‌شناسی، دگرسانی و جانمایی رگه‌های سیلیسی و زون سیلیسی واقع در حوالی روستای زیارت‌شاه .. ۷۲	
شکل ۳-۱۰: فرم استوک ورک در رگه و رگچه‌های سیلیسی زون میزآلیزه باختری ..... ۷۴	
شکل ۳-۱۱: مقاطع میکروسکوپی نمونه <b>ZSP-84</b> . واحد سیلیسی شده $T^g$ ..... ۷۴	
شکل ۳-۱۲: پلان نقشه زمین‌شناسی، دگرسانی و جانمایی رگه‌های سیلیسی و دایک میکرومونزودیوریتی واقع در جنوب ده دادخدا. .... ۷۵	
شکل ۳-۱۳: نمودار خطی تغییرات عیار مس در نمونه‌های میزآلیزه برداشت شده از رگه‌های سیلیسی جنوب و باختر محدوده ..... ۷۶	
شکل ۳-۱۴: نمایی از مقاطع میکروسکوپی نمونه <b>ZSP-117</b> ..... ۷۸	
شکل ۳-۱۵: تصاویری از مقاطع میکروسکوپی نمونه <b>ZSP-106</b> ..... ۷۹	
شکل ۳-۱۶: کانی‌سازی مس و اکسیدهای آهن در رگه سیلیسی با سنگ میزان آندزیتهای واحد ..... ۸۰	
شکل ۳-۱۷: نمایی از مقاطع میکروسکوپی نمونه <b>ZSP-75</b> ..... ۸۱	
شکل ۳-۱۸: نمودار خطی تغییرات عیار برخی از عناصر در چند نمونه میزآلیزه برداشت شده از شمال محدوده..... ۸۲	
شکل ۳-۱۹: نمودار خطی تغییرات عیار برخی از عناصر در نمونه میزآلیزه <b>ZSI-52</b> ..... ۸۳	

## فهرست اشکال

### شماره صفحه

### عنوان

شکل ۲۰-۳: نمودار خطی تغییرات عیار در برخی از نمونه‌های زون دگرسانی خاور محدوده ..... ..... ۸۴
شکل ۲۱-۳: تغییرات عیاری برخی از عناصر پاراژنری در نمونه <b>ZSI-87</b> ..... ۸۶
شکل ۲۲-۳: مقایسه میانگین مقادیر عنصری در سه زون کانی‌سازی ..... ۸۷
شکل ۲۳-۳: وضعیت کانی‌سازی برخی از عناصر در باختر محدوده ..... ۸۸
شکل ۲۴-۳: روند همراهی طلا با عناصر پاراژنری در باختر محدوده ..... ۸۸
شکل ۲۵-۳: نمایی از سینه کار معدن تراورتن در شمال محدوده (دید به سمت جنوب). ..... ۹۵

## فهرست جداول

عنوان	شماره صفحه
جدول ۱-۱: نمونه‌های برداشت شده از محدوده زیارت شاه در طی دو مرحله همراه با نوع آنالیز و مطالعه آنها ..... ۹	
جدول ۱-۲: اختصارات بکار رفته در تصاویر مقاطع نازک ..... ۱۳	
جدول ۱-۳: نتایج آنالیز نمونه‌های ZSI-33,107,116,118 به روش ICP ..... ۷۹	
جدول ۲-۱: نتایج آنالیز نمونه‌های مینرالیزه برای عنصر مهم همراه با توصیف نمونه‌ها* ..... ۹۰	
جدول ۲-۲: نتایج آنالیز نمونه‌های مینرالیزه در جنوب و غرب منطقه همراه با توصیف نمونه‌ها و مقادیر میانگین و میانه* ..... ۹۱	
جدول ۳-۱: نتایج آنالیز نمونه‌های مینرالیزه در شمال و شرق منطقه همراه با توصیف نمونه‌ها و مقادیر میانگین و میانه* ..... ۹۲	

## مقدمه

قرارداد «تهیه نقشه زمین‌شناسی اقتصادی ۱:۲۵،۰۰۰ محدوده زیارت شاه-کماهی واقع در نقشه زمین‌شناسی ۱:۱۰۰،۰۰۰ نگیسان» به شماره ۳۰۰-۲۲۴۴ مورخ ۱۳۸۶/۴/۱۷ فیما بین سازمان زمین-شناسی و اکتشافات معدنی کشور و شرکت مهندسین مشاور زرنااب اکتشاف منعقد گردید و گزارش اخیر نتیجه مطالعات و بررسی‌های انجام گرفته در این پروژه می‌باشد.

و سعی منطقه مورد مطالعه ۵۰ کیلومترمربع بوده که طی صورت جلسه مورخ ۸۶/۷/۱۰ به صورت جایگزین با محدوده الانج به این مهندسین مشاور ابلاغ گردید. از محدوده زیارت شاه مجموعاً تعداد ۱۵۴ نمونه برداشت گردید که شامل: ۵۱ نمونه برای آنالیز عنصری به روش ICP، ۱۲ نمونه جهت آنالیز به روش XRF، ۴۹ نمونه برای مطالعات پتروگرافی، ۳۳ نمونه برای مطالعه کانی‌شناسی به روش XRD و ۹ نمونه برای مطالعات مینرالوگرافی می‌باشد. نمونه‌ها با اهداف شناسایی واحدهای سنگی، نوع دگرسانی‌ها، عیار کانی‌سازی‌های موجود و همچنین شناسایی و شناخت کانی‌ها برداشت و برای آماده‌سازی و آنالیز تحويل آزمایشگاه گردید.

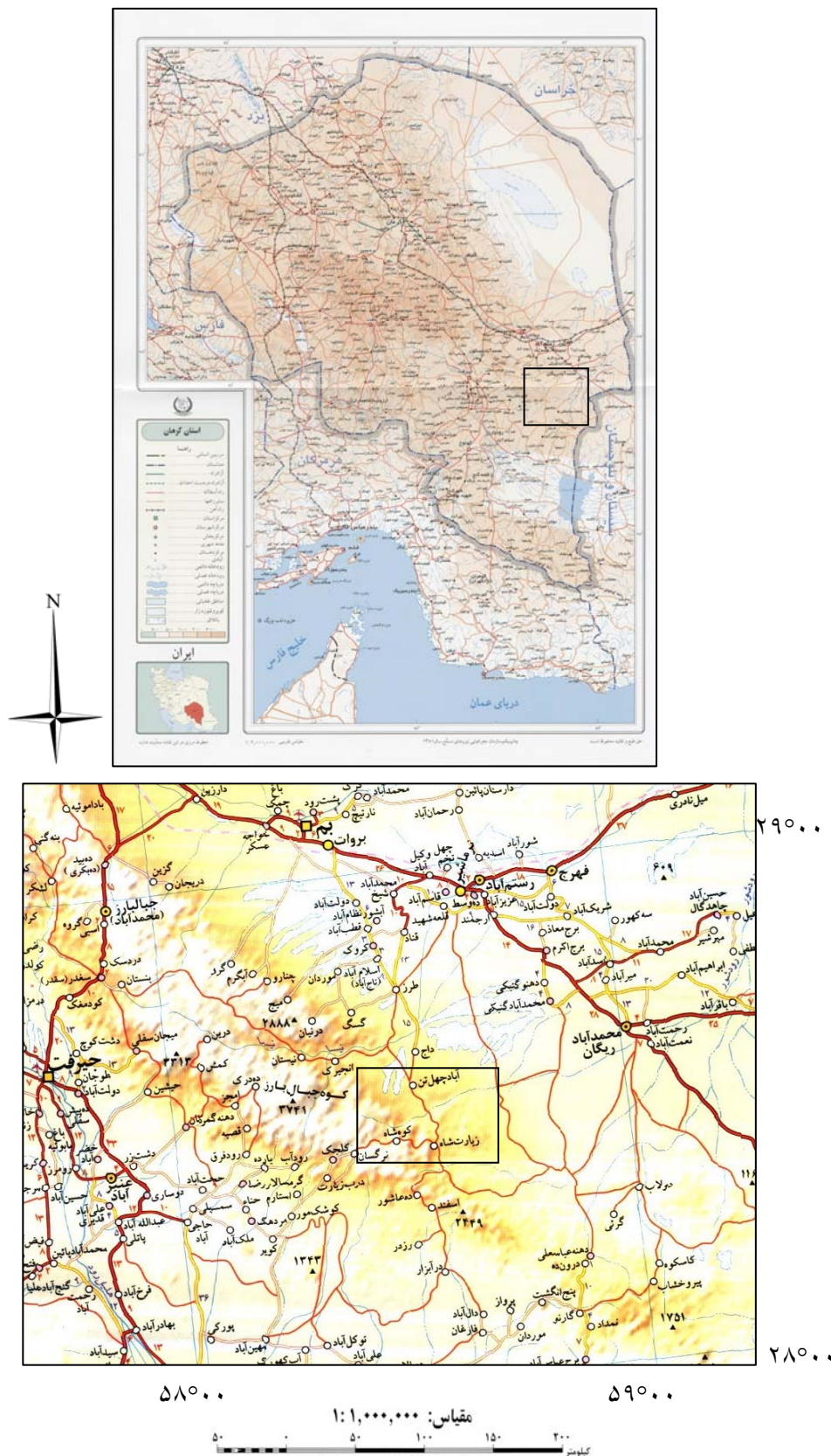
## فصل اول: کلیات

### ۱-۱- موقعیت جغرافیایی و راههای دسترسی

محدوده نقشه ۱:۲۵,۰۰۰ زیارت شاه- کماهی در استان کرمان در سلسله جبال بارز، حدفاصل جنوب بم و جنوب باختر محمدآباد ریگان و در  $۹۰^{\circ}$  کیلومتری جنوب بم بین طولهای جغرافیایی  $۱۶^{\circ} ۸' ۳۴'$  و  $۱۷^{\circ} ۵۸'$  و  $۲۱^{\circ} ۵۸'$  خاوری و عرضهای جغرافیایی  $۲۰^{\circ} ۲۰'$  و  $۱۹^{\circ} ۵۷'$  شمالی واقع شده است. وسعت این منطقه ۵۰ کیلومترمربع می‌باشد. جهت دسترسی به محدوده از طریق ذیل می‌توان اقدام نمود:

از طریق جاده محوری بم- ایرانشهر: پس از طی مسافت  $۳۸$  کیلومتر و عبور از شهر بروات و روستای وکیل آباد به نرماشیر و طی  $۵۱$  کیلومتر و عبور از روستای عزیز آباد، ارجمند، برج اکرم به محمد آباد ریگان می‌رسیم. از این محل پس از طی  $۷۵$  کیلومتر دیگر در جاده فرعی و کوهستانی به سمت جنوب باختر، می‌توان به محدوده مورد مطالعه دسترسی پیدا کرد.

شکل ۱-۱ موقعیت جغرافیایی و راههای دسترسی به محدوده زیارت شاه را نشان می‌دهد.



شکل ۱-۱: موقعیت جغرافیایی و راههای دسترسی به محله‌ده زیارت شاه

## ۱-۲- وضعیت آب و هوایی، پوشش گیاهی و شرایط اجتماعی

محدوده مورد مطالعه بخشی از استان کرمان بوده و دارای آب و هوای سرد و خشک در زمستان و گرم و خشک در تابستان است. بر اساس داده‌های هواشناسی، میانگین بارش سالیانه باران تا ۴۵۰ میلیمتر گزارش شده است.

محدوده زیارت شاه براساس تقسیمات کوههای ایران در رشته کوههای مرکزی ایران واقع شده است. این رشته ارتفاعات از شمال باختری به جنوب خاوری (از قافلانکوه و از محل تلاقی روودخانه زنجان با قزل اوزن شروع شده و تا مکران و دامنه‌های باختری کوه بزمان) ادامه می‌یابند. این رشته ارتفاعات را می‌توان به چند رشته کوه قافلانکوه، کوههای کرس، شیرکوه، کوه بنان و رشته کوههای لاله زار و جبال بارز تقسیم نمود.

از ویژگی‌های طبیعی این رشته ارتفاعات بارش کم، تغییرات ناگهانی هوا، وزش بادهای شدید، قلت روودهای دائمی و طغیانی بودن روودخانه‌های سرچشمی گرفته از آنها می‌باشد. طول رشته کوههای مرکزی ایران تا دامنه‌های خاوری کوه بزمان ۱۴۶۰ کیلومتر بوده و در مجموع منطقه‌ای به وسعت ۱۴۳۰۰ کیلومتر مربع را زیر پوشش گرفته است. از این رشته کوه‌ها روودخانه‌های هلیل رود، قره چای، قهرود و روودخانه شور سرچشمی می‌گیرند.

پوشش گیاهی در این منطقه متناسب با ارتفاع تغییر می‌کند. در ارتفاعات و قله‌های بلند بیشتر علفی و پا کوتاه است اما در بخش‌های جنوبی زاگرس جنگل‌هایی نیز دیده می‌شود.

بخش کشاورزی در این محدوده به خاطر شرایط توپوگرافی و منابع محدود آب به غیراز وجود باعها و کرتهای کوچک گندم از رونق و حضور چشمگیری برخوردار نمی‌باشد.

زندگی در این منطقه کوهستانی به خاطر نبود امکانات اولیه همچون راه مناسب، شبکه آبرسانی اولیه، برق، سوخت رسانی، خدمات بهداشتی - آموزشی و فقدان ارتباط مستمر با مراکز شهرهای همچوار، از نظر اقتصادی، فرهنگی و اجتماعی در جریانی بسته و محدود به کوهستانهای خشن و صعب العبور جبال بارز محصور مانده است. در مجموع زندگی مردم این روستا و نواحی همچوار با جمعیتی بالغ بر ۱۴۰ خانه‌وار (با نسبت زیادی از سنین زیر ۱۵ سال) در کپرهای عشايری و تعداد محدودی چشمه آب از روند کند و دشواری برخوردار می‌باشد.

## ۱-۳- توپوگرافی و مورفولوژی محدوده

محدوده مورد مطالعه در بخش‌هایی از ۴ نقشه توپوگرافی ۱:۲۵,۰۰۰ در گزی (7746IVNE)، ده کن (7746IVSE)، زیارت شاه (7746IVSW) و دوزخ دره (7746IVNW) و به عبارتی در

مرکز نقشه توپوگرافی ۱:۵۰,۰۰۰ نیگسون (7746IV) قرار گرفته است. بلندترین ارتفاعات در کوه زیارت با ارتفاع بیش از ۲۰۰۰ متر در باخترا محدوده (باخترا زیارت شاه) قرار گرفته‌اند. کوه حاجی محمد با ارتفاع ۱۸۷۱ متر در خاور زیارت شاه و جنوب محدوده مورد مطالعه و کوه داربستی با ارتفاع ۱۸۶۹ متر در شمال کماهی به ترتیب از دیگر ارتفاعات قابل توجه در محدوده می‌باشند. پست‌ترین نقاط، حوالی دره در فدی در خاور محدوده با ارتفاع ۱۲۲۶ متر می‌باشد. از رودخانه‌های فصلی موجود نیز می‌توان به رودخانه فصلی پشموقک در شمال، ده رستم در مرکز و رودخانه فصلی تنگه‌شاه در جنوب باخترا محدوده مورد مطالعه اشاره کرد.

#### ۱-۴- پیشنهاد مطالعاتی محدوده زیارت شاه

مجموعه‌ای از مطالعات اکتشافی صورت گرفته در منطقه مورد مطالعه براساس سال اجرا و عنوان گزارش در زیرآورده شده است:

فاضلی، عباس- تدین اسلامی، ابوالحسن، گزارش اکتشاف معدنی- شماره ۴ ورقه نگیسان، سازمان زمین‌شناسی و اکتشافات معدنی، ۱۳۷۰.

خوئی، ناصر- قربانی، منصور- تاجبخش، پیمان- ۱۳۷۸- کانسارهای مس در ایران، سازمان زمین‌شناسی و اکتشافات معدنی.

۳- اعتمادی، شهریار- گزارش زمین‌شناسی اقتصادی ورقه یکصد هزارم نگیسان، ۱۳۸۰، سازمان زمین‌شناسی و اکتشافات معدنی.

۴- دلاور، سید تقی- تهیه نقشه مقدماتی پتانسیل موادمعدنی در ورقه نگیسان با بهره‌گیری از سیستم اطلاعات جغرافیایی (GIS)، ۱۳۸۰، سازمان زمین‌شناسی و اکتشافات معدنی.

۵- موقر، پاشا- قلیپور، مسعود- گلیایی، شهرام- کترل و معرفی نواحی امید بخش معدنی در ورقه ۱:۱۰۰,۰۰۰ زمین‌شناسی نگیسان، ۱۳۸۵ سازمان زمین‌شناسی و اکتشافات معدنی.

#### ۱-۵- زمین‌شناسی اقتصادی برگه نگیسان

در طی اکتشافات چکشی (بیکر و همکاران، ۱۹۸۷) به عمل آمده مهمترین یافته‌ها مربوط به ۳۱ اندیس مس می‌باشد که اکثرًا درون نفوذی‌های گرانیتی به ویژه در زون‌های مشکوک به دگرسانی- های هیدروترمالی یا در مجاورت سنگهای پلوتونیک مشاهده شده‌اند.

از کانی‌های صنعتی مشاهده شده در ورقه می‌توان به اندیس باریت حاشیه باخترا نقشه اشاره نمود که رگه‌های باریتی، لایه‌های کنگلومراتیک‌الگوسن را که به طور دگرشیب روی قدیمی‌ترین

ولکانیکهای اثوسن قرار دارند قطع کرده است. رگه نازک باریت حدوده چند متر مریع را پوشش می‌دهد و کانی‌زایی احتمالاً مربوط به تیپ رگه‌ای هیدروترمال می‌باشد.

در دو دامنه شمالی و جنوبی ارتفاعات این ناحیه گنبدها و لایه‌های تراورتن به وفور یافت می‌شود که نشانه‌ای از فعالیت شدید چشمehای آبگرم است.

در اکثر نواحی لایه‌های تراورتن به طور کامل کف مسیر آبراهه را در طول چند کیلومتر با ضخامت معادل ۵۰ سانتیمتر تا چند متر پوشانده است. این تراورتن‌ها دارای رنگ نارنجی تا قرمز، قهوه‌ای و کرم است که در صورت ضخامت مناسب و تراکم خوب می‌تواند مورد توجه قرار گیرد.

سنگهای گرانیتی و تونالیتی می‌توانند به عنوان یک منبع مناسب برای سنگ ساختمانی یا تزیینی مورد توجه باشند، ولی نفوذ دایکهای متعدد و اثر فازهای تکتونیکی باعث خردشدنی آنها شده است.

برخی از تراس‌های کواترنری و بادبزن‌های بخش شمال خاوری به عنوان یک منبع گراول و ماسه برای ساخت و ساز محلی و راهسازی قابل بهره‌برداری هستند. ضخامت تراس‌ها تا ۲۰ متر نیز با فرسایش قابل رویت است.

منطقه نگیسان شامل قسمتی از پلوتون گرانیتی جبال بارز می‌باشد که یکی از رشته‌های نفوذی موازی با زون ساختاری زاگرس است. در این ناحیه علایمی دال بر وجود کانه‌زایی مس پورفیری وجود دارد که این شواهد شامل توده‌های نفوذی کوارتز مونزونیت، گرانیت و گرانودیوریت، زون‌های دگرسانی پروپیلیتیک و آرژیلیک و بطور کمتر فیلیک می‌باشد. علاوه بر آن تعداد اندیس‌های مس در منطقه نیز در کانه‌زایی اهمیت ویژه‌ای دارند.

## ۱-۶- هدف و روش مطالعه

هدف از انجام این مطالعه، تهیه نقشه زمین‌شناسی - اقتصادی ۱:۲۵,۰۰۰ و گزارش مربوطه در محدوده زیارت شاه می‌باشد. در تهیه این گزارش، به اندیس‌های معرفی شده در مطالعات قبلی که اکثراً درون نفوذی‌های گرانیتی به ویژه در زون‌های مشکوک به دگرسانی‌های هیدروترمالی یا در مجاورت سنگهای پلوتونیک قرار گرفته‌اند، توجه خاصی شده است.

برداشت شاخص‌ها و پارامترهای مهم در این تیپ از ذخایر در مقیاس ۱:۲۵,۰۰۰ در اولویت کاری قرار دارد.

برداشت کلیه عوارض زمین‌شناسی، تکتونیکی و ساختاری (در استاندارد نقشه ۱:۲۵,۰۰۰)، برداشت نقاط، رگه‌ها و توده‌های مینرالیزه (خصوصاً کانی‌های مس‌دار)، برداشت کلیه گسل‌ها،

شکستگی‌ها و دایک‌ها، نمونه‌گیری با هدف مطالعات میکروسکوپی (مقاطع نازک و صیقلی)، تجزیه و تحلیل پترولوزیکی با استفاده از نمونه‌ها، بررسی دگرسانی‌های محدوده (شناسایی، معرفی و تفکیک)، تعیین عیار بخش‌های کانی‌سازی و همچنین انجام پیمایش‌های مناسب جهت پوشش محدوده، از جمله اهداف این گزارش می‌باشد. روش کار جهت تهیه نقشه زمین‌شناسی-اقتصادی ۱:۲۵,۰۰۰ محدوده زیارت شاه به شرح زیر می‌باشد:

گردآوری کلیه اطلاعات موجود شامل نقشه‌های زمین‌شناسی، توپوگرافی، گزارش‌ها و ...، انجام عملیات دفتری و برنامه‌ریزی جهت عملیات صحراوی.

خرید عکس‌های هوایی ۱:۴۰,۰۰۰ محدوده مورد مطالعه از سازمان نقشه‌برداری کشور که ۲ برابر بزرگ شده بودند.

به منظور تسهیل امر تهیه نقشه و افزایش دقت در این پروژه از داده‌های ماهواره‌ای رنگی با دقت و وضوح بسیار بالا استفاده شده است. این تصاویر ماهواره‌ای کمک شایانی در تفکیک هر چه بهتر کتابت‌های زمین‌شناسی و به خصوص زون‌های آلتره و عوارض خطی نموده و موجب بالارفتن دقت تفکیک بر روی عکس‌های هوایی تهیه شده از منطقه می‌شوند.

تعیین محدوده زیارت شاه با استفاده از مختصات ابلاغ شده از طرف سازمان زمین‌شناسی و اکتشافات معدنی کشور بر روی ورقه زمین‌شناسی ۱:۱۰۰,۰۰۰ نگیسان و نقشه‌های توپوگرافی ۱:۲۵,۰۰۰ درگزی (7746IVSE)، ده کن (7746IVSW)، زیارت شاه (7746IV) و دوزخ دره (7746IV NW).

با توجه به اهمیت مشخص نمودن ارتباط دگرسانی محدوده با توده‌های نفوذی، واحدهای سنگی و کانی‌سازی، اقدام به تفکیک زونهای آلتره با استفاده از پارامترهای کانی‌شناسی و مطالعات آزمایشگاهی شده است. در طی برداشت عوارض زمین‌شناسی تعدادی نمونه به صورت پراکنده با اهداف آنالیز شیمیایی، آنالیز XRD، مطالعات پتروگرافی و مینرالوگرافی در دو مرحله از کل محدوده مورد مطالعه برداشت و جهت انجام مطالعات لازم به آزمایشگاه ارسال شد. پس از دریافت نتایج، واحدهای سنگی تشریح شده و به دقت انواع دگرسانی‌ها و واحدهای سنگی حاوی کانی‌سازی تفکیک شده‌اند. ضمناً با استفاده از این نتایج برخی ابهامات و تردیدهای مربوط به مطالعات صحراوی اصلاح می‌گردد.

در حین عملیات صحراوی، واحدهای مختلف سنگی و زون‌های آلتره، نمونه‌برداری شدند. محل نمونه‌ها همراه با کد، نوع آنالیز و مطالعه مورد نظر برروی نمونه‌ها در نقشه زمین‌شناسی-

ZS اقتصادی مشخص شده‌اند. بدین ترتیب که نمونه‌های محدوده زیارت شاه- کماهی با پیشوند I به آزمایشگاه ارسال شده‌اند. نمونه‌هایی که به منظور آنالیز عنصری گرفته شده‌اند با کد I، نمونه‌هایی که به منظور مطالعه کانی‌های آلترا به روش XRD گرفته شده‌اند، با کد D و نمونه‌هایی که برای مطالعات پتروگرافی با استفاده از مقاطع نازک گرفته شده‌اند با کد T و نمونه‌های مطالعات مینرالوگرافی با کد P مشخص شده‌اند.

در مجموع از محدوده زیارت شاه در مرحله نخست تعداد ۱۳۲ نمونه برای مطالعات مختلف گرفته شد که شامل ۴۱ نمونه برای آنالیز عنصری به روش ICP، ۱۲ نمونه برای آنالیز به روش XRF، ۴۳ نمونه برای مطالعات پتروگرافی، ۵ نمونه برای مطالعات مینرالوگرافی و ۳۱ نمونه برای مطالعه کانی‌شناسی به روش XRD می‌باشند. تعداد ۲۲ نمونه نیز در مرحله دوم برداشت شده که مشتمل بر ۱۰ نمونه ICP، ۲ نمونه XRD، ۶ نمونه برای تهیه مقطع نازک و ۴ نمونه برای تهیه مقطع صیقلی می‌باشد. لیست نمونه‌ها (مجموع نمونه‌های مرحله اول و دوم) و نوع آنالیز در نظر گرفته شده در جدول ۱-۱ آورده شده است.

جدول ۱-۱: نمونه‌های برداشت شده از محدوده زیارت شاه در طی دو مرحله همراه با نوع آنالیز و مطالعه آنها

نمونه های مرحله اول													نمونه های مرحله دوم											
Row	Sample id	X	Y	ICP	T-S	P-S	XRD	Row	Sample id	X	Y	ICP	T-S	P-S	XRD	Row	SampleID	x	y	ICP	T-S	P-S	XRD	XRF
1	ZST-1	658023	3135225					51	ZST-51	660260	3139773					101	ZS1-102	656499	3139572					
2	ZSI-2	658492	3134582					52	ZSI-52	661198	3140312					102	ZSD-103	656499	3139572					
3	ZST-3	659010	3134404					53	ZST-53	657092	3139340					103	ZSP-104	656499	3139572					
4	ZSD-4	658997	3134450					54	ZST-54	661247	3140627					104	ZST-105	658444	3142250					
5	ZSI-5	658680	3134840					55	ZST-55	661621	3140789					105	ZSP-106	658400	3142377					
6	ZST-6	658658	3135145					56	ZST-56	656495	3139641					106	ZSI-107	658454	3142292					
7	ZSD-7	658658	3135145					57	ZSI-57	656499	3139572					107	ZSI-108	658444	3142250					
8	ZSI-8	658602	3135216					58	ZSI-58	656499	3139572					108	ZSI-109	658370	3137033					
9	ZST-9	654779	3139439					59	ZST-59	659398	3139323					109	ZSI-110	658364	3137061					
10	ZSI-10	654701	3139840					60	ZST-60	661222	3138958					110	ZSP-111	658468	3136874					
11	ZSP-11	654700	3139840					61	ZSI-61	661290	3139065					111	ZSI-112	658468	3136874					
12	ZST-12	654680	3139840					62	ZST-62	661254	3139264					112	ZSI-113	658468	3136874					
13	ZST-13	655102	3139098					63	ZSD-63	661112	3139415					113	ZST-114	657814	3142805					
14	ZST-14	654905	3140045					64	ZSI-64	661049	3139529					114	ZST-115	658298	3142942					
15	ZST-15	655117	3140186					65	ZST-65	661040	3139676					115	ZSI-116	658500	3142798					
16	ZST-16	655400	3139804					66	ZSD-66	661040	3139676					116	ZSP-117	658502	3142750					
17	ZSD-17	655499	3139804					67	ZSI-67	661086	3139651					117	ZSI-118	658502	3142750					
18	ZST-18	656380	3139366					68	ZST-68	661223	3139753					118	ZST-119	658502	3142750					
19	ZST-19	656123	3140669					69	ZSD-69	661398	3139512					119	ZSD-120	658688	3142523					
20	ZST-20	656682	3142049					70	ZSI-70	661432	3139374					120	ZST-121	658745	3142505					
21	ZSI-21	657780	3141510					71	ZST-71	661390	3139043					121	ZST-122	658915	3142596					
22	ZST-22	657810	3141680					72	ZST-72	661432	3139374					122	ZSI-123	657491	3138129					
23	ZST-23	657551	3141818					73	ZST-73	660792	3138943					123	ZSF-13	655102	3139098					
24	ZSI-24	658040	3141960					74	ZSP-75	661432	3139374					124	ZSF-15	655117	3140186					
25	ZSI-25	658040	3141960					75	ZST-76	660946	3136711					125	ZSF-26	658040	3141960					
26	ZST-26	658040	3141960					76	ZST-77	660002	3135846					126	ZSF-31	658400	3142377					
27	ZSI-27	657983	3141980					77	ZSD-78	659975	3135884					127	ZSF-38	659224	3141985					
28	ZSI-28	657930	3142010					78	ZST-79	661246	3137706					128	ZSF-54	661247	3140627					
29	ZST-29	657710	3142244					79	ZST-80	660492	3137768					129	ZSF-59	659398	3139323					
30	ZSI-30	658020	3142029					80	ZSI-81	656849	3138468					130	ZSF-73	660792	3138943					
31	ZST-31	658400	3142377					81	ZSI-82	656568	3138123					131	ZSF-77	660002	3135846					
32	ZSD-32	658400	3142377					82	ZSI-83	656638	3138058					132	ZSF-85	657021	3138162					
33	ZSI-33	658400	3142377					83	ZSP-84	656638	3138058					133	ZSF-88	657565	3138174					
34	ZSI-34	658347	3142630					84	ZST-85	657021	3138162					134	ZSF-101	658205	3136052					
35	ZSD-35	658475	3142610					85	ZSI-86	657427	3138161													
36	ZST-36	658764	3143575					86	ZSI-87	657662	3138104													
37	ZSI-37	659372	3142092					87	ZST-88	657565	3138174													
38	ZST-38	659224	3141985					88	ZSI-89	657570	3138058													
39	ZST-39	659272	3141892					89	ZSD-90	657458	3137882													
40	ZSI-40	659401	3140805					90	ZSI-91	657465	3137912													
41	ZSD-41	659401	3140805					91	ZSP-92	657465	3137912													
42	ZSD-42	659345	3140862					92	ZSI-93	657800	3137678													
43	ZST-43	659475	3140924					93	ZSD-94	657800	3137678													
44	ZSI-44	659345	3140862					94	ZST-95	658098	3137708													
45	ZSP-45	659401	3140805					95	ZSI-96	658102	3137837													
46	ZST-46	459941	3140491					96	ZSD-97	658102	3137837													
47	ZSD-47	660410	3140084					97	ZSI-98	658094	3137774													
48	ZSI-48	660410	3140084					98	ZSI-99	658185	3137570													
49	ZSI-49	660410	3140084					99	ZSI-100	658018	3137603													
50	ZSD-50	660446	3140051					100	ZST-101	658205	3136052													

## فصل دوم: زمین‌شناسی - دگرسانی - کانی‌سازی

### ۱-۲- زمین‌شناسی عمومی محدوده زیارت‌شاه بر اساس ورقه ۱:۱۰۰،۰۰۰ نگیسان

منطقه مورد مطالعه در گستره ایران مرکزی یا زون ارومیه دختر واقع است. این منطقه بر اساس تقسیم‌بندی افتخار نژاد (۱۳۵۹) جزو پهنه ایران مرکزی و شمال‌خاور و بطبق تقسیم‌بندی زمین‌شناسان یوگسلاو (۱۹۷۳) جزو کمریند دهیج- ساردوئیه و بر اساس تقسیم‌بندی اشتوکلین (۱۹۷۷) جزو زون آتشفسانی ترشیاری- کواترنر می‌باشد.

بخش اعظم بروزند کمریند دهیج- ساردوئیه مشتمل بر ردیف‌هایی از توف، گدازه‌های آندزیتی، تراکی آندزیت و مشابه آنهاست و معادن مهمی چون سرچشم، چهار گبند و میدوک در این کمریند واقع شده‌اند.

از نظر چینه‌شناسی تمامی سنگ‌های این ورقه متعلق به ترشیار و کواترنری هستند. واحدهای اصلی نیز متعلق به ائوسن، الیگوسن، میوسن و پلیوسن می‌باشند. بخش قابل توجه محدوده مورد مطالعه شامل قسمتی از توده باتولیتی گرانیتی ورقه نگیسان بوده که به صورت عدسی شکل، روندی شمال‌باخته- جنوب خاور دارد. بخش اعظم باخته این محدوده در بردارنده باتولیت مورد نظر می‌باشد. اجزای این باتولیت عبارتند از:

اولین فاز نفوذی ( $T^d$ ) فقط محدوده کوچکی از باتولیت را شامل می‌شود و بصورت چند بخش کوچک در محدوده مورد مطالعه دیده می‌شود. در مرحله بعد ممکن است دگرسانی گرمابی روی آن اثر کرده باشد.

واحد تونالیتی ( $T^t$ ) وسعت بیشتری را اشغال کرده، اندازه دانه‌های آن متوسط تا خیلی درشت و دارای روند شمال‌باخته- جنوب خاور است.

واحد  $T^g$  تنہ اصلی باتولیت را ساخته و در مرحله نهایی نفوذ کرده است. گرانیتها شامل ترمهای گرانیت، آلیت گرانیت، کالک آلکالن گرانیت، بیوتیت گرانیت است. دگرسانی هیدروترمال نیز بطور عمدۀ واحد  $T^g$  را در برگرفته است.

نفوذی‌های فرعی در محدوده مورد مطالعه بصورت دایک و لاکولیت که رسوبات، گدازه‌ها و نفوذی‌های اصلی را قطع نموده‌اند. دایک‌ها در باخته محدوده مورد مطالعه دارای روند شمال‌باخته- جنوب خاور، شمال- جنوب و خاوری- باخته بوده و آندزیتی تا داسیتی می‌باشند و از نظر سنی متعلق به ائوسن- الیگوسن می‌باشند.

در شمال خاور محدوده نیز واحد  $E^{vt}$  متشکل از گدازه و توف می‌باشد. این واحد بصورت میان لایه‌هایی در واحد  $E^{ad}$  (آنژیت تا داسیت توده‌ای) دیده می‌شود. دگرسانی هیدروترمالی این واحد را در برگرفته است.

لیتولوژی دیگری که این محدوده را دربرگرفته است شامل ولکانیک‌های دگرسان شده است که در سقف توده نفوذی در جنوب خاور محدوده واقع شده‌اند. سطح وسیعی از دگرسانی هیدروترمال این واحد را پوشش داده است.

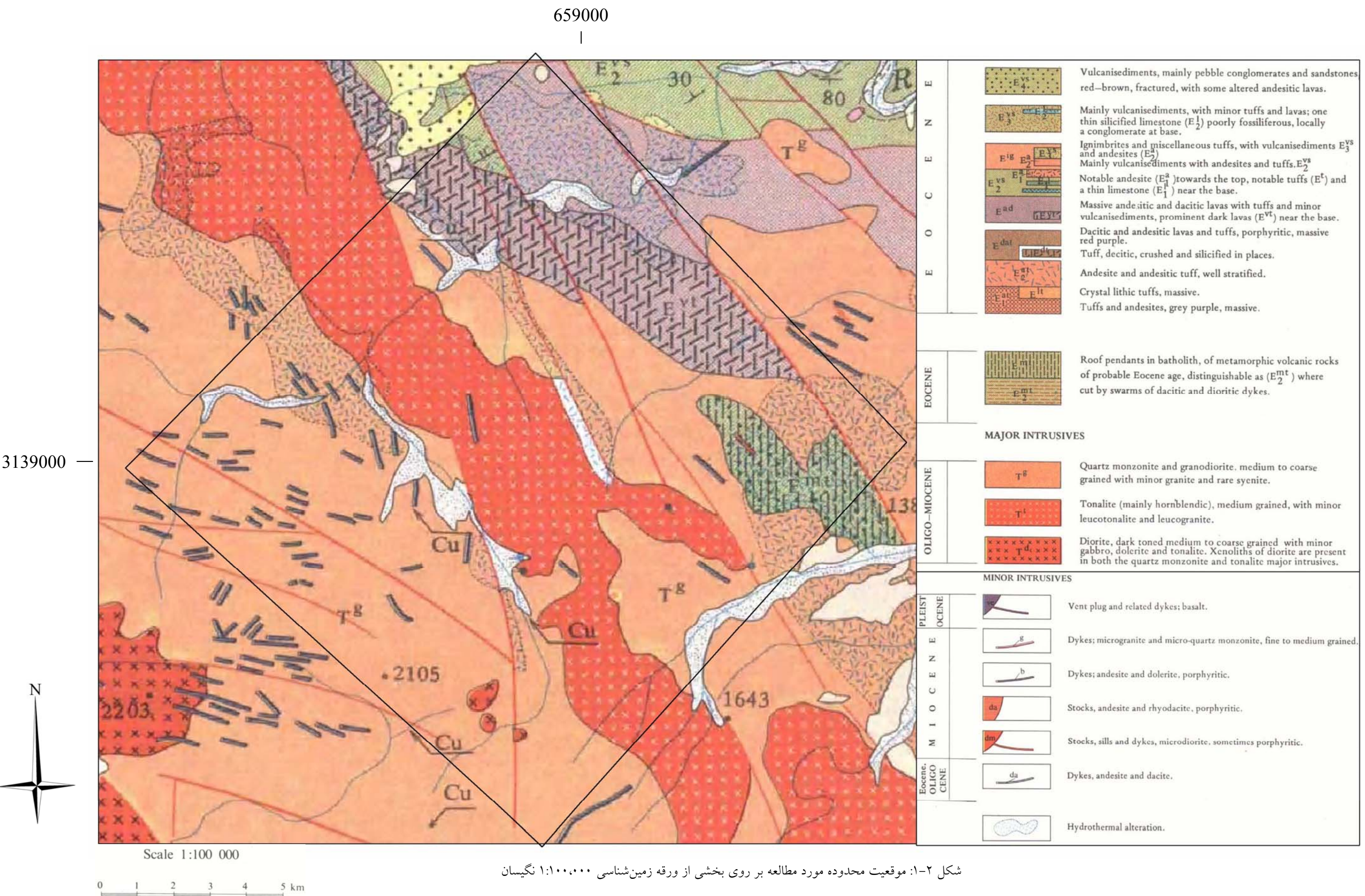
از سایر واحدها می‌توان به:

- سنگ‌های ولکانیکی شامل گدازه‌های آندزیت تا داسیت و توف همراه با سنگ‌های آتشفشاری - رسوبی (ائوسن میانی)

- مجموعه متشکل از گدازه حد واسط و سنگ‌های پیروکلاستیک (ائوسن میانی)  
- سنگ‌های نفوذی شامل گرانیت، کوارتز مونزونیت تا گرانودیوریت و نفوذی‌های متوسط دانه با ترکیب هورنبلنڈ تونالیت (اولیگومیوسن - میوسن)

دایک‌هایی با ترکیب آندزیت تا داسیت  
کنگلومرای پلی‌ژنتیک (پلیوسن - کواترنر) اشاره نمود.

در شکل ۱-۲، بخشی از ورقه زمین‌شناسی عمومی ۱:۱۰۰،۰۰۰ نگیسان همراه با جانمایی محدوده مورد مطالعه آورده شده است. همچنین به علت استفاده از علامات اختصاری در عکس‌های ارایه شده از مقاطع نازک، این علامت‌ها در جدول ۱-۲ به نمایش گذاشته شده است.



جدول ۲-۱: اختصارات بکار رفته در تصاویر مقاطع نازک

Qtz	کوارتز
Recrystallized Qtz	کوارتز تجدید تبلور یافته
Pl	پلازیوکلار
Afs	آلکالی فلدوپار
Fsp	فلدوپار
Ol	الیوین
Px	پیروکسن
Am	آمفیبول
Act	اکتینولیت
Tr	ترمولیت
Ms	مسکوویت
Bt	بیوتیت
Chl	کلریت
Prh	پرهنیت
Ep	اپیدوت
Ser	سریسیت
Srp	سرپانتن
Grt	گارنت
Crd	کردیریت
Op	کانیهای اپاک
Clay Minerals	کانیهای رسی
Fe-Oxides	اکسیدهای آهن
Gt	گوتیت
Cb	کربنات
Zeo	زئولیت
G.	زمینه
Microlitic G.	زمینه میکرولیتی
Volcanic Fragment	قطعه ولکانیکی
Tex.	بافت
Void	حفره

## ۲-۲- شرح واحدهای سنگی محدوده زیارت شاه- کماهی (نقشه ۱:۲۵،۰۰۰)

نقشه زمین شناسی- معدنی محدوده زیارت شاه- کماهی در مقیاس ۱:۲۵،۰۰۰ در پیوست گزارش آورده شده است. بخش عمده‌ای از محدوده مورد مطالعه را سنگهای نفوذی با ترکیب گرانیت و تونالیت متعلق به اولیگومیوسن تشکیل می‌دهند. واحدهای ولکانیک متشكل از گدازه و پیروکلاستیک به سن ائوسن بخش دیگری از محدوده را می‌پوشانند. البته رخنمونهای محدودی از رسوبات پلیوسن- کواترنر و عهد حاضر نیز در بخش‌های مختلف محدوده بروزند دارند. واحدهای سنگی اصلی محدوده مورد مطالعه را می‌توان در سه بخش به شرح زیر تقسیم نمود:

سنگهای آتشفسانی دگرگون شده ائوسن تحتانی

سنگهای آذرین خروجی و پیروکلاستیک ائوسن

سنگهای آذرین نفوذی الیگوسن - میوسن

## ۲-۱- سنگهای آتشفسانی دگرگون شده ائوسن

قدیمی‌ترین سنگهای رخنمون یافته در محدوده مورد مطالعه که بر اساس ورقه زمین شناسی ۱:۱۰۰،۰۰۰ نگیسان سن آن به ائوسن نسبت داده شده است، شامل یکسری سنگهای به شدت خرد شده و تا حدودی چین‌خورده می‌باشد که عمدتاً در مجاورت حاشیه‌های توده‌های نفوذی گرانیتی و تونالیتی قرار گرفته‌اند. به دلیل اینکه این سنگها در قسمت تحتانی سکانس ائوسن واقع گردیده‌اند، جایگیری توده‌های نفوذی تأثیر قابل توجهی بر موقعیت آنها داشته و این بلوکهای قطعه گردیده‌اند، را در مواردی جابجا کرده و قطعاتی از این سنگهای دگرگون شده بر بام توده‌های نفوذی بجا مانده که در جنوب خاور و خاور محدوده مورد مطالعه قابل مشاهده هستند.

## ۱-۲- واحد سنگی ولکانیکهای دگرگون شده، عمدتاً متاپیروکسن آندزیت ( $E^{mt}$ )

چند رخنمون کوچک از این واحد سنگی در بخش‌هایی از خاور و جنوب خاور محدوده مورد مطالعه وجود دارد. این ولکانیک (پیروکسن آندزیت)‌های دگرگون شده با اینکه معمولاً از گستردگی زیادی برخوردار نیستند، اما از ضخامت قابل توجهی برخوردارند و ستبرای آنها در برخی نقاط تا چند صد متر می‌رسد. در بخش‌های خاوری محدوده، ولکانیکهای جوانتر (ائوسن) به صورت ناپیوسته این واحد را می‌پوشانند. نمونه دستی این سنگها به رنگ سبز تیره با لکه‌های سیاه رنگ بوده و با وجود دگرگونی و دگرسانی وسیع، بافت پورفیری اولیه سنگ به راحتی قابل

تشخیص می‌باشد. نمونه‌های ZST-71,73,76 از رخنمون‌های مختلف این سنگها جهت تهیه مقاطع نازک برداشت گردید که در زیر خلاصه مطالعه پتروگرافی این نمونه‌ها آورده شده است.

بافت سنگ پورفیریتیک با زمینه میکرولیتی جریانی است. پورفیرها شامل فلدسپات با ترکیب سدیک، با حواشی خورده شده، به ندرت به صورت بلورهای تخته‌ای، ولی اغلب به صورت منشور تا لتهای (Lath) تا حدودی جهت یافته و پیروکسن نیمه شکل دار می‌باشند. کانی‌های زمینه شامل فلدسپات به صورت میکرولیت، میکرولیت‌های بسیار ظرفی، کمی کوارتز، ریزبلورهای آمفیبول، کلریت به مقدار فراوان، اپیدوت، کانی‌های اپاک، لوکوکسن-اسفن و کمی کربنات می‌باشند. فلدسپاتها به طور نسبی به سریسیت، به ندرت کربنات، اپیدوت و آلیت تجزیه و جانشین شده‌اند. تبلور پیروکسن در حواشی کانی‌های اپاک ملاحظه می‌شود. پیروکسن‌های تجدید تبلور یافته در ابعاد دانه‌های ریزتر به همراه ریزبلورهای کانی‌های اپاک ملاحظه می‌شوند. تجمع اپیدوت به همراه کربنات ملاحظه می‌شود. تجمع کلریت به همراه کمی اپیدوت و کوارتز ملاحظه می‌شود.

کانی‌های ثانویه شامل سریسیت، اپیدوت، کربنات، (آلیت)، کلریت، لوکوکسن-اسفن می‌باشد. نام سنگ متابازالتیک پیروکسن آندزیت می‌باشد. این سنگ متتحمل دگرسانی پروفیلیتیک شده و کانی‌های اپیدوت، کلریت، قدری کربنات، لوکوکسن-اسفن و قدری آلیت تشکیل شده است. با توجه به کم و کیف دگرسانی وجود تیغک‌های متقطع از فلدسپات (بافت‌های ایترسرتالی)، تمایل این سنگها به طرف ترکیبی بازیکتر (بازالتیک) در نظر گرفته شده است.

## ۲-۲-۲- سنگ‌های آذرین خروجی و پیروکلاستیک ائوسن

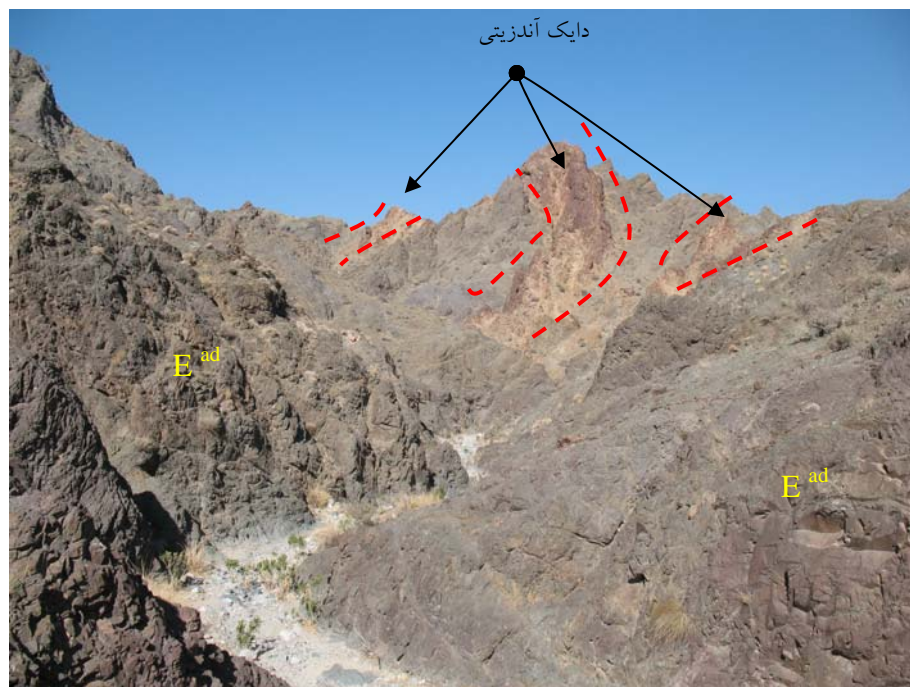
در بخش‌های شمال خاور و خاور محدوده مورد مطالعه رخنمون‌های متعددی از سنگ‌های آتشفشاری با رخسارهای مختلف مشاهده می‌گردد که تنوع رخسارهای و لیتولوژی این سنگ‌ها حاکی از چند سری فوران و رسوبگذاری در زمان‌های مختلف (عمدتاً ائوسن) می‌باشد.

طی بررسی‌هایی که در این مرحله انجام پذیرفت یکسری واحدهای سنگ چینه‌ای شناسایی و تفکیک گردید که خلاصه‌ای از آن در زیر آورده شده است.

## ۲-۲-۱- واحد سنگی آندزیت تا داسیت ( $E^{ad}$ )

این واحد سنگی به صورت یک باند با روند شمال باخته-جنوب خاور عمدتاً در شمال خاور و در بخش‌هایی از خاور محدوده مورد مطالعه رخنمون دارد. این مجموعه اغلب شامل گدازه حد واسط تا اسید (کوارتز تراکی آندزیت-داسیت) همراه با تناوب‌هایی نازک از توف (کریستال توف قطعه سنگی با ترکیب آندزیتی تا تراکی آندزیتی) خاکستری است که در برخی

نقاط سنگهای پیروکلاستیک (بیشتر شامل برش ولکانیک) با رنگ بنفش در این مجموعه مشاهده می‌گردند. در برخی از مناطق یکسری دایکهای آندزیتی تا میکرومونزودیوریتی (با امتداد شمال باختر - جنوب خاور) در این مجموعه آتسفشنانی نفوذ کرده‌اند (شکل ۲-۲).

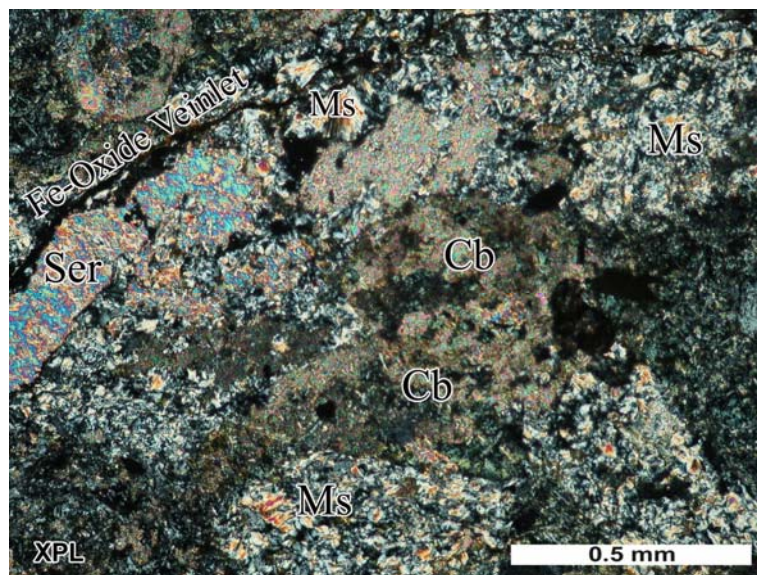


شکل ۲-۲: نمایی از گسترش آندزیت- داسیت واحد  $E^{ad}$  در خاور محدوده و یک دایک آندزیتی که در مرکز تصویر مشاهده می‌گردد (دید به سمت شمال باختر)

این سنگها در نمونه دستی به رنگ خاکستری مایل به صورتی تا سبز بوده و دارای بافت پورفیریتیک و زمینه میکرو کریستالین هستند. اجزا اصلی این واحد را کوارتز و فلدسپات فراوان و مقادیر کمی آمفیبول به صورت میکرو فنوکریست تشکیل می‌دهند. در برخی قسمت‌ها قطعات بیگانه که بیشتر توف‌های سبز رنگ هستند با قطر متوسط ۳-۸ میلی‌متر در این سنگها مشاهده می‌شوند. نتایج مطالعه پتروگرافی یکی از نمونه‌های برداشت شده از این واحد به شرح زیر است:

در نمونه ZST-22 بافت سنگ بطور جزئی پورفیریک - میکرولیتی می‌باشد. پورفیرها شامل فلدسپات شکل دار به شدت تجزیه و جانشین شده و کانی فرومیزین (جانشین شده) می‌باشند. در زمینه سنگ میکرولیت‌های فلدسپات، کوارتز، قطعات یا لکه‌هایی از کربنات به همراه اکسید و هیدروکسیدهای آهن و ریز بلورهای کانی‌های اپاک مشاهده می‌شوند. بلورهای فلدسپات بطور کامل توسط سریسیت، کلریت و کمی کربنات و مقادیری اپیدوت تجزیه و جانشین شده است. پیروکسن نیز بطور کامل به کلریت و کربنات تبدیل شده است. شکستگی‌های موجود توسط کربنات پر شده است. تجمع کربنات به همراه سیلیس و مقداری اپیدوت و رگچه‌های نیمه ممتدا و

تاب دار از کانی های اکسید آهن مشاهده می شود. در شکل ۳-۲ نمایی از مقطع میکروسکوپی این نمونه آورده شده است.



شکل ۳-۲: مقطع میکروسکوپی نمونه ZST-22 از واحد آندزیت تا داسیت

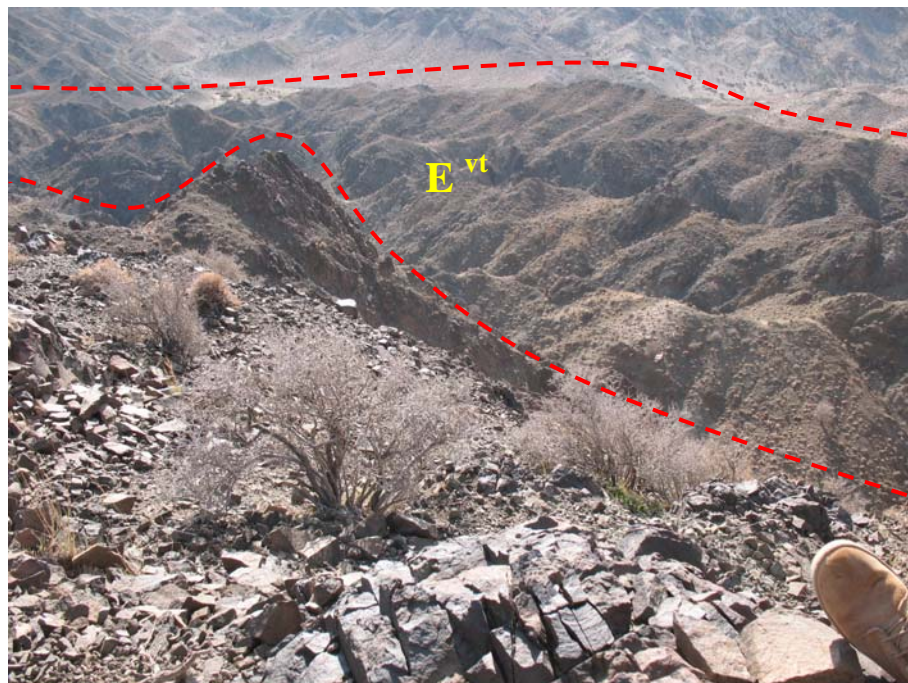
#### ۲-۲-۲-۲- واحد سنگی متشکل از گدازه و توف تیره (E<sup>vt</sup>)

این واحد سنگی به صورت یک نوار با امتداد شمال باخترا - جنوب خاور در شمال خاور محدوده رخنمون دارد (شکل ۲-۴).

این واحد شامل یک گدازه با ترکیب آندزیت لاتیت است که معمولاً در بخش های مختلف دگرسانی هایی از قبیل کلریتی، آرژیلی، سیلیسی و کربناتی را در بردارد. در برخی از قسمتها قطعاتی از سنگهای بیگانه در آن مشاهده می گردد به طوری که این قطعات قسمت قابل توجهی از سنگ را به خود اختصاص می دهند. در واقع می توان گفت که این واحد متشکل از یک آندزیت تا آندزیت لاتیت توفی، توف و لاپیلی توف است. به نظر می رسد از لحاظ جایگاه چینه شناختی در بخش پائینی مجموعه آتشفسانی ائوسن قرار گرفته باشد و ضخامت آن در حدود ۲۵۰-۳۰۰ متر است.

از رخنمون های این واحد ۲ نمونه به شماره های ZST-43 و ZST-65 برای مطالعات سنگ شناسی برداشت شد که شرح کامل مطالعه آن در پیوست شماره ۱ آورده شده است. در مطالعه میکروسکوپی بافت این سنگها بطور جزئی پورفیریک - میکروولیتی می باشد. پورفیرها شامل فلدسپات با ترکیب سدیک تا سدیک- پتاسیک و کانی فرومیزین (جانشین شده) می باشند. زمینه سنگ در برخی نقاط بطور مشخص از کوارتز- فلدسپات به همراه لات(Lath) و میکروولیت های ظریف از فلدسپات، کلریت به نحوی وسیع و تجمع کوارتز تشکیل یافته است. فلدسپات ها به نحوی وسیع به اپیدوت و نیز تا حدی به کانی های رسی، کلریت و کربنات تجزیه و جانشین

شده‌اند. کانی‌های فرومیزین نیز به کلریت به همراه کربنات تبدیل شده است. در بخش‌هایی از سنگ قطعاتی با منشاء نامشخص حاوی فلدسپات‌های متقطع به همراه کلریت و کربنات مشاهده می‌شود که قادر مرز مشخص با سایر بخش‌های زمینه می‌باشند.



شکل ۲-۴: نمایی از گسترش واحد  $E^{vt}$  در شمال خاور محدوده (دید به سمت جنوب باخترا)

خلاصه‌ای از مشخصات میکروسکوپی نمونه‌های ZST-43 و ZST-65 به شرح زیر می‌باشد.

بافت سنگ: ولکانوکلاستیک

قطعات متشكله:

قطعات بلوری از فلدسپات سدیک تا سدیک-پتاسیک

قطعات بلوری از کوارتز

قطعات بلوری از کانی فرومیزین (جانشین شده)

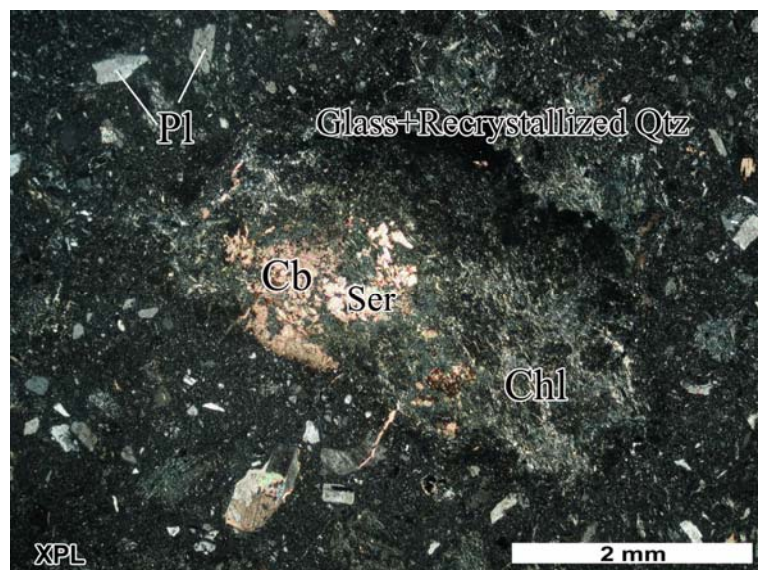
قطعات سنگی آذرینی در حد کوارتز تراکی آندزیت

قطعات شیشه ولکانیکی، تاب‌دار دگرسان شده

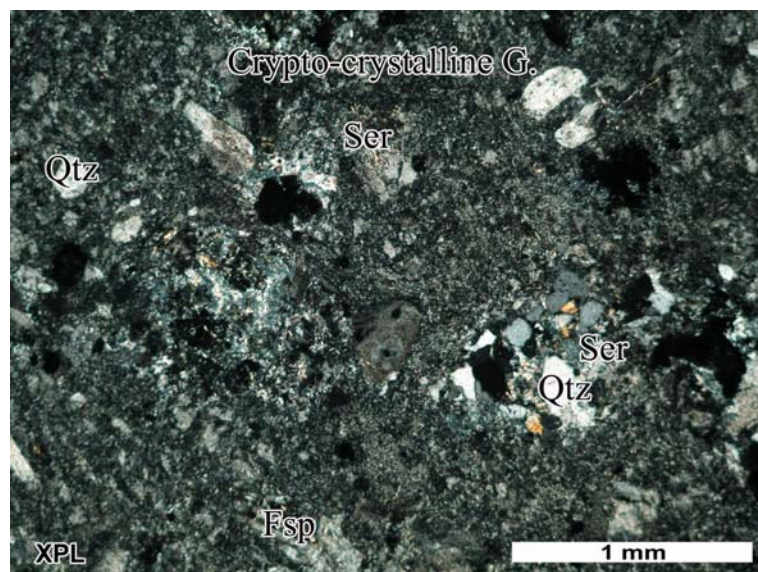
قطعات سنگی ولکانیکی و میکرولیتی به شدت کلریتی شده

زمینه کریپتوکریستالین سنگ متشكل از خردوریزهای قطعات بلوری و نیز قطعات شیشه ولکانیکی کلریتی شده، تیغکهای بسیار ظریف کلریت، سیلیس به صورت کریپتو تا میکروکریستالین

می باشد. لکه هایی قهوه ای رنگ و کریپتوکریستالین به احتمال متشکل از رسن- زئولیت نیز مشاهده می شوند. قطعات بلوری فلدسپات به کانی های رسی تجزیه جزئی و توسط کربنات به طور قابل ملاحظه جانشین شده اند. قطعات بلوری کانی فرومیزین به طور کامل کلریتی و قطعات سنگی شیشه ولکانیکی به طور کامل به مجموعه کانی های کریپتوکریستالین از میکا- کلریت، به همراه کربنات دگرسان شده اند. در شکل های (۶-۵) نمایی از مقاطع میکروسکوپی این دو نمونه آورده شده است.



شکل ۲-۵: نمای میکروسکوپی مقطع ZST-43 واحد E<sup>vt</sup>



شکل ۲-۶: نمای میکروسکوپی مقطع ZST-65 واحد E<sup>vt</sup>

### ۲-۲-۳-۲- واحد آندزیتیک تا آندزیتیک داسیتی ( $E^{ad}$ )

در شمال روستای ده رستم رخنمون‌هایی از سنگ‌های آندزیتی با ضخامت حدود ۶۰ متر وجود دارد که به نظر می‌رسد بصورت مستقیم بر روی گدازه‌ها و توفهای واحد  $E^{ad}$  قرار گرفته‌اند. این واحد شامل یک کوارتز تراکی آندزیتیک تا آندزیتیک داسیت به شدت دگرسان است و عموماً با رنگ قهوه‌ای مایل به زرد و توپوگرافی برجسته از سنگ‌های اطراف خود قابل تشخیص است (شکل ۷-۲). شاید در نظر گرفتن این گدازه که تنها چند رخنمون کوچک از آن در محدوده مورد مطالعه وجود دارد، به عنوان یک واحد مجزا صحیح نباشد زیرا که می‌توان آن را جزئی از بخش‌های واحد  $E^{ad}$  در نظر گرفت که به شدت دگرسان شده‌اند. ولی با توجه به تأثیر شدید فرآیندهای دگرسانی بر روی این سنگ‌ها، انطباق سنگ‌شناسی آن با بخش گدازه‌ای واحد  $E^{ad}$  مشکل است. از طرفی با توجه به شواهد چینه شناختی این گدازه در بخش‌های بالایی واحد  $E^{ad}$  قرار دارد و کنتاکت آن با سنگ‌های بالایی خود در مواردی به صورت گسله می‌باشد.

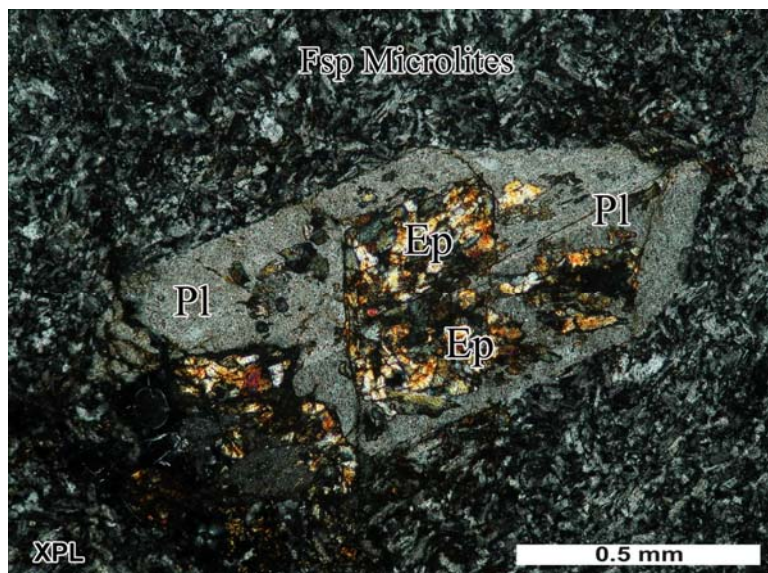
در نمونه دستی، این واحد بسیار دانه ریز بوده و اکسیدهای آهن و سیلیسی شدن در آن به وفور مشاهده می‌گردد. همچنین اثرات ضعیفی از آرژیلی شدن در سنگ‌ها قابل رویت است. در بخش‌هایی (به‌ویژه در نقاط نزدیک تماس آن با توده میکرو کوارتز دیوریتی) نیز کلریتی و اپیدوتی شدن فلدسپات و کانی‌های فرومینیزین رخ داده است.



شکل ۷-۲: گدازه تراکی آندزیتی واحد  $E^{ad}$  در سمت راست تصویر در کنار سنگ‌های آتشفسانی-رسوبی جوانتر (سمت چپ) مشاهده می‌شود که هر دو بطور وسیع دگرسان شده‌اند (دید به سمت خاور).

از این واحد نمونه‌های ZST-31,68 برای مطالعه پتروگرافی گرفته شد که خلاصه مطالعه این نمونه‌ها به شرح زیر است:

بافت سنگ پورفیریتیک با زمینه کریپتوکریستالین است. پورفیرها شامل فلدسپات با ترکیب سدیک تا سدیک-پتاسیک بصورت تجمع و بندرت کانی فرومینزین می‌باشند. زمینه فلدسپاتیک سنگ کم و بیش هم ترکیب با پورفیرها و متشکل از کوارتز می‌باشد. فلدسپاتها تا حدی به کانیهای رسی، مقادیری کانیهای هیدروکسید آهن و اغلب به طور گسترده توسط اپیدوت تجزیه و جانشین شده است. فلدسپاتهای زمینه بیشتر به سریسیت (کلریت) به صورت تیغک‌های بسیار ظریف تجزیه شده‌اند. کانی فرومینزین نیز بطور کامل به کلریت تبدیل شده است. در امتداد شکستگی و شکافهای باریک رشد اپیدوت ملاحظه می‌شود. تجمع اپیدوت گاهی به همراه رگچه‌هایی از کانی‌های اکسید آهن می‌باشد. در شکل (۸-۲) نمایی از مقطع میکروسکوپی نمونه ZST-31 که از این واحد برداشت شده آورده شده است.



شکل ۸-۲: نمایی از مقطع میکروسکوپی نمونه ZST-31 واحد E<sup>ad</sup>

#### ۴-۲-۲-۲-۴- مجموعه آتشفشاری- رسوبی اوسن میانی

در شمال و شمال خاور محدوده مجموعه‌ای از سنگ‌های پیروکلاستیک و گدازه رخنمون دارند که در ورقه ۱:۱۰۰,۰۰۰ (نگیسان) تمام این مجموعه با علامت E<sub>2</sub><sup>VS</sup> نشان داده شده است. طی پیمایش‌های انجام گرفته در مرحله تهیه نقشه زمین‌شناسی ۱:۲۵۰۰۰ منطقه زیارت شاه-کماهی این مجموعه به چند واحد تفکیک گردید که شرح کامل آن در زیر آورده شده است.

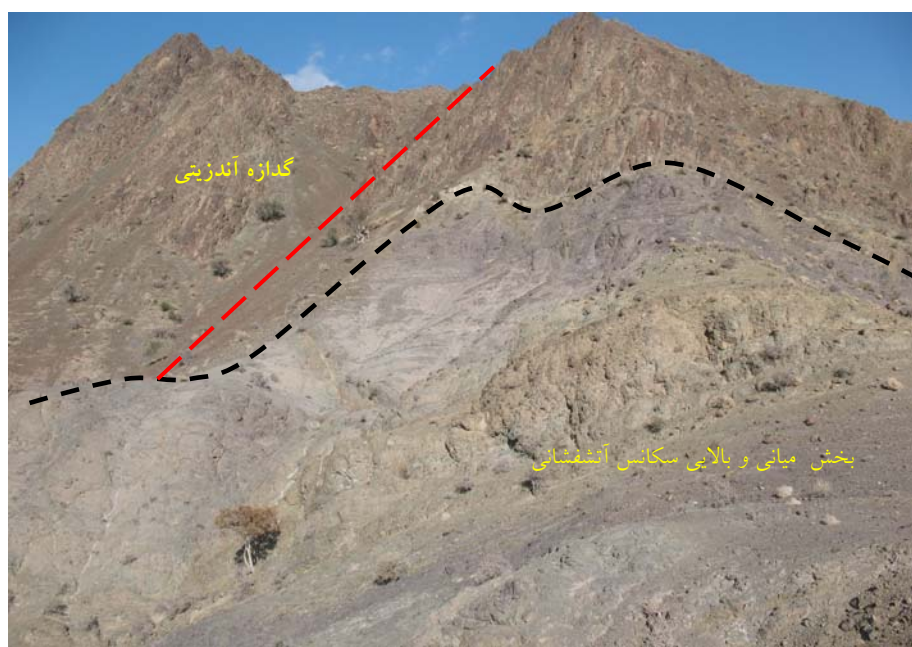
## ۲-۲-۴-۱- مجموعه آتشفشانی- رسوی ایوسن میانی ( $E_1^a, E_1^{VS}, E^t$ )

در شمال خاور محدوده مجموعه‌ای از سنگهای پیروکلاستیک و گدازه رخنمون دارند. اگر این مجموعه پیروکلاستیک را به صورت یک سکانس آتشفشانی- رسوی در نظر بگیریم، بخش تحتانی آن از تناوب آندزیت و توف ( $E^t$ ) تشکیل شده (شکل ۹-۲) که در نمونه دستی به رنگ سبز خاکستری است. بر روی بخش مذکور یک واحد پیروکلاستیک به رنگ بنفش تا سبز با ضخامت حدود ۸۰ متر ( $E_1^{VS}$ ) قرار دارد (شکل ۹-۲). این واحد که در واقع یک آگلومرات است متشکل از قطعات ولکانیک (آندزیتی و داسیتی) است.

بر روی بخش پیروکلاستیک، گدازه آندزیتی ( $E_1^a$ ) واقع شده است که در نمونه دستی به رنگ خاکستری تیره تا سبز مایل به سیاه است. بعضًا قطعات بیگانه در داخل آن مشاهده می‌گردند. با این تفسیر می‌توانیم نام سنگ را آندزیت تا آندزیت توفی در نظر بگیریم.



شکل ۹-۲: نمایی از بخش تحتانی سکانس آتشفشانی- رسوی ایوسن میانی واحد  $E^t$  متشکل از توف و آندزیت در شمال خاور محدوده (دید به سمت شمال)



شکل ۲-۱۰: نمایی از بخش میانی و بالایی سکانس آتشفسانی-رسوبی. در پائین تصویر پیروکلاستیکها با رنگ سبز تا بنفش و در بالای تصویر گدازه آندزیتی با رنگ قهوه‌ای مشاهده می‌گردند (دید به سمت شمال خاور).

#### ۲-۲-۴-۲- واحد آندزیت و توف ( $E^t$ )

این واحد در بخش تحتانی سکانس آتشفسانی-رسوبی فوق قرار دارد و متشکل از تناوب آندزیت و توف (توف قطعه سنگی بلوری) است. در نمونه دستی به رنگ خاکستری بوده و معمولاً اثرات ضعیفی از اکسیدهای آهن در آنها دیده می‌شود. ضخامت این بخش تا ۵۰ متر می‌رسد. طبقات معمولاً شبیه دارند و زاویه شیب‌شان به سمت شمال خاوری است (شکل ۹-۲). نمونه‌ای که از بخش توفی این واحد گرفته شده، دارای مشخصات پتروگرافی زیر است:

بافت سنگ ولکانوکلاستیک- به نحوی وسیع دگرسان شده می‌باشد. قطعات متشکله عبارتند از:

- قطعات بلوری از فلدرسپات با ترکیب سدیک- سدیک- پتاسیک تجزیه شده.

- قطعات بلوری از کانی فرومیزین (جانشین شده).

- قطعات شیشه ولکانیکی دگرسان شده.

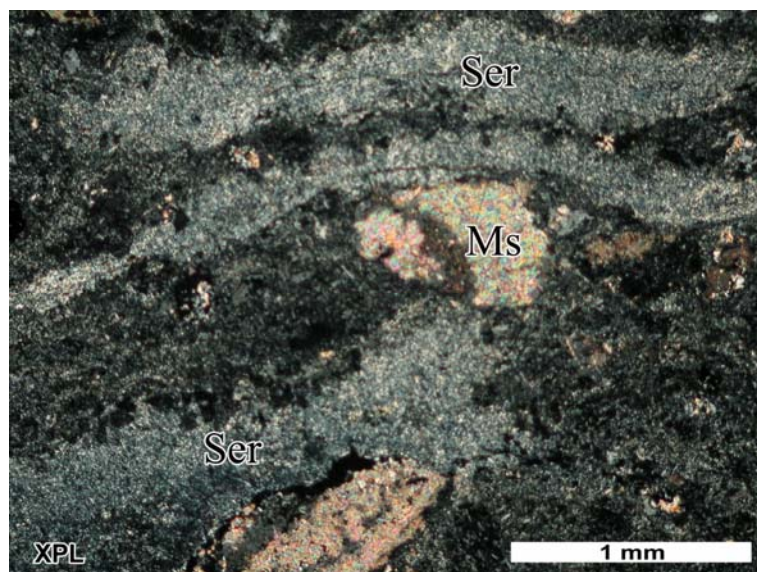
- قطعات ولکانیکی شیشه‌ای تجدید تبلور یافته با ترکیب ریوداسیت- داسیت.

- قطعات ولکانیکی پورفیریتیکی با زمینه هیالومیکرولیتی و به شدت کلریتی شده.

- قطعات ولکانیکی میکرولیتی- جریانی با ترکیب آندزیت- تراکی آندزیت.

- قطعات ولکانیکی میکرولیتی و اکسیده.

زمینه سنگ: به دلیل شدت دگرسانی و نیز عدم وجود مرز مشخص در اطراف قطعات سنگی، اغلب تفکیک قطعات بلوری از پورفیرهای موجود در قطعات سنگی غیر ممکن است. سریسیت به صورت تیغکهای ظریف به نحوی وسیع موجود است. تبلور کریپتو تا میکروکریستالین کانیهای فلزیک (کوارتز - فلدسپات) و لکه هایی از کلریت و کربنات مشاهده می شوند. قطعات بلوری از فلدسپات به رس، کلریت و کربنات جانشین شده اند. قطعات شیشه های ولکانیکی که تجدید تبلور و کربناتی، سیلیسی شده اند نیز قابل رویت است. قطعات بلوری از کانی فرومیزین نیز به طور کامل کلریتی و کربناتی شده اند. در شکل (۱۱-۲) نمایی از مقطع میکروسکوپی نمونه ZST-53 که مشخصات پتروگرافی آن ذکر شد آورده شده است.



شکل ۱۱-۲: نمایی از مقطع میکروسکوپی نمونه ZST-53. واحد  $E_I^4$

#### ۲-۲-۴-۳- واحد پیروکلاستیک ( $E_I^{VS}$ )

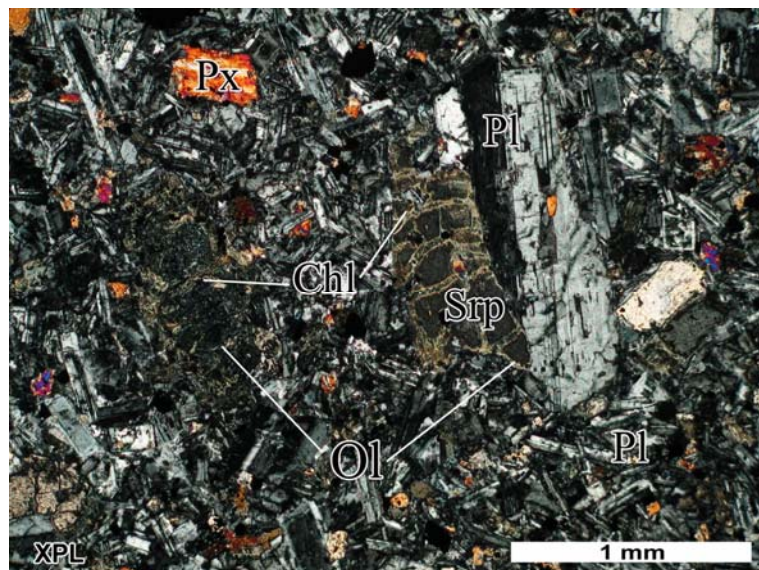
رخمنونهای این واحد بصورت نوارهایی با امتداد شمال باختری - جنوب خاوری در شمال محدوده بروندز دارند. این واحد بصورت مستقیم و بلا فاصله بر روی واحد  $E^t$  قرار دارد و متشكل از یکسری سنگهای پیروکلاستیک به رنگ بنفش تا سبز است (شکل ۱۰-۲). بخش سبز رنگ پائینی در واقع یک آگلومرات است که قطعات آن اکثراً ولکانیک (آندرزیتی و ریولیتی) هستند. ولی در بخش های با رنگ بنفش (بالایی) قطعات داسیتی نیز مشاهده می گردد. در مجموع ضخامت این واحد حدود ۸۰ متر است. سنگهای پیروکلاستیک مذکور نیز همانند واحد  $E^t$  معمولاً شیب دارند.

#### ۲-۲-۴-۴- واحد آندزیت لاتیت پورفیری ( $E_I^a$ )

رخمنونهای این واحد همانند سنگهای آتشفسانی - رسوبی زیرین خود بصورت یک نوار منقطع در راستای شمال باختری - جنوب خاوری قابل مشاهده است. وضعیت چینه شناسی این

گدازه‌ها بدین صورت است که بصورت مستقیم و همیش بروی واحد  $E_1^{VS}$  قرار گرفته‌اند (شکل ۱۰-۲). ضخامت این گدازه دست کم ۵۰ متر بوده و لیتوژوئی آن شامل آندزیت تا آندزیت لاتیت پورفیری به رنگ خاکستری تیره تا سبز مایل به سیاه می‌باشد. از این واحد نمونه ZST-29 برای مطالعه پتروگرافی گرفته شد که خلاصه خصوصیات میکروسکوپی آن به شرح زیر است:

بافت سنگ پورفیریتیک - هولو کریستالین - نیمه عمیق - به ندرت افیتیکی است. پورفیرها شامل پلاژیوکلاز، شکل‌دار با ترکیب (آنذزین- لابرادوریت)، کلینو پیروکسن (اوژیت) بصورت بلورهای بسیار درشت و کانی‌های فرومینیزین (جانشین شده) می‌باشند. کانی‌های زمینه شامل فلدسپات به شکل لت (Lath) و همچنین بصورت بلورهای بی شکل (آلکالی فلدسپات)، کوارتز، بلورهای بی‌شکل پیروکسن به مقدار فراوان و ریز بلورهای کانی‌های اپاک مشاهده شده‌اند. کانی‌های فرومینیزین (اولیوین؟) به کلریت تا کلریت - سرپانتین تبدیل شده و پیروکسن‌ها به کلریت و مقادیری کربنات تجزیه شده است. نکته قابل توجه این که برخی از پلاژیوکلازها حاوی ریز بلورهای گرد شده از پیروکسن هستند. در شکل (۱۲-۲) نمایی از مقطع میکروسکوپی نمونه ZST-29 آورده شده است.

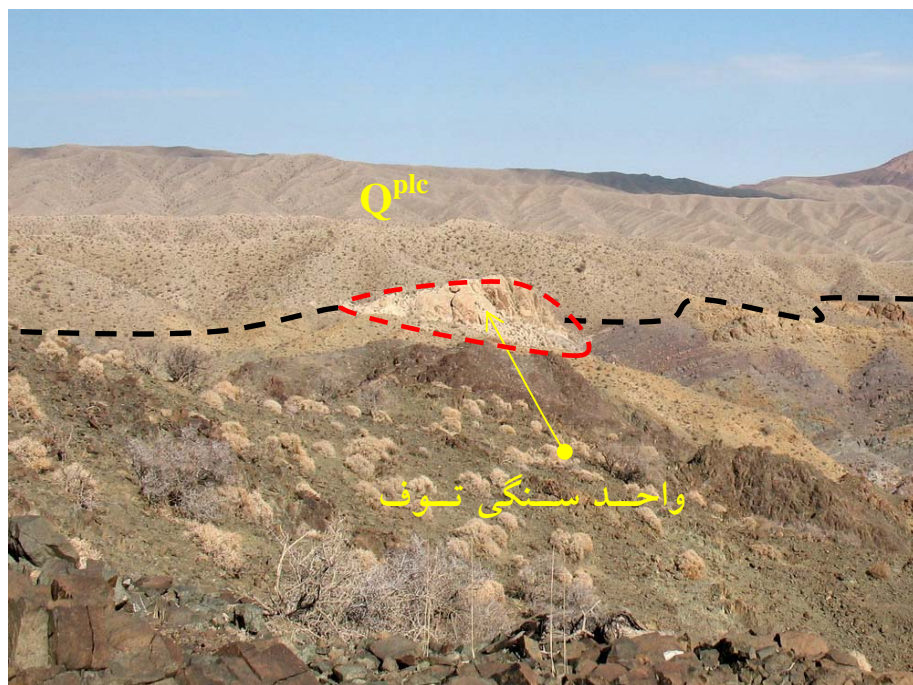


شکل ۱۲-۲: نمایی از مقطع میکروسکوپی نمونه ZST-29، واحد  $E_1^a$

#### ۱۲-۲-۴-۵- واحد سنگی توف برشی ( $E^{tb}$ )

در شمال محدوده مورد مطالعه، چند رخمنون کوچک از این واحد به رنگ سفید تا خاکستری روشن وجود دارد. زمینه بلوری سنگ عمده از فلدسپات تشکیل شده است که بعضاً به کانی‌های رسی تجزیه شده‌اند. علاوه بر بلورهای ریز فلدسپات در زمینه، قطعات سنگی معمولاً زاویه‌دار (با

قطر تا ۴ سانتی متر) نیز در این سنگ ولکانوکلاستیک دیده می‌شوند. این واحد بصورت ناپیوسته بر روی سنگهای ولکانوکلاستیک واحد  $E_1^{VS}$  قرار گرفته و خود توسط کنگلومرای پلیو کواترنر پوشیده شده است (شکل ۱۳-۲).



شکل ۱۳-۲: رخمنون واحد  $E^{tb}$  توف برش با رنگ روشن در مرکز تصویر دیده می‌شود (دید به سمت خاور)

#### ۲-۲-۵-۲-۲-۲ - مجموعه آتشفشنایی - رسوبی ائوسن فوقانی ( $E, E_2^{vb}, E_2^{vs}, E^{tv}$ )

اگر این مجموعه سنگها را به عنوان یک سکانس آتشفشنایی - رسوبی در نظر بگیریم، این سکانس شامل مجموعه‌ای از سنگهای ولکانوکلاستیک یا آذر آواری است که با توبوگرافی مشخص و رنگ روشن‌تر (نسبت به ولکانیک‌های تیره رنگ زیرین خود) در شمال محدوده رخمنون دارند. این مجموعه آتشفشنایی - رسوبی از پایین به بالا به ترتیب شامل توف شیشه‌ای ( $E^{tv}$ ) در پائین، مجموعه ولکانوکلاستیک توف برشی، هیالولکلاستیک توف و لاپیلی توف ( $E_2^{vs}$ ) با تنوع زیاد لیتولولژیکی در قسمت میانی و سنگهای آذر آواری که عمدتاً برش آتشفشنایی‌اند ( $E_2^{vb}$ ) در بخش بالایی می‌باشد.

#### ۲-۲-۵-۱-۱ - واحد توف شیشه‌ای ( $E^{tv}$ )

یک رخمنون کوچک از این واحد هم راستا با سایر سنگهای سکانس آتشفشنایی - رسوبی ائوسن (شمال باختری - جنوب خاوری) در شمال محدوده مطالعه وجود دارد که بصورت ناپیوسته بر روی سنگهای قدیمی‌تر ( $E_1^{VS}$ ) قرار گرفته و کتاكت آن به صورت گسله می‌باشد. این واحد شامل یک توف شیشه‌ای با ترکیب آندزیت تا داسیت است که در نمونه دستی به رنگ کرمی

تا زرد و تا حدودی دگرسان و هوازده می باشد. از این واحد نمونه ZST-36 برای مطالعه پتروگرافی گرفته شد که خلاصه خصوصیات میکروسکوپی آن به شرح زیر است:

بافت سنگ پورفیریتیک تا پورفیرو کلاستیک، با زمینه توفی - برشی (ولکانوکلاستیکی) است.

قطعات متشکله عبارتند از:

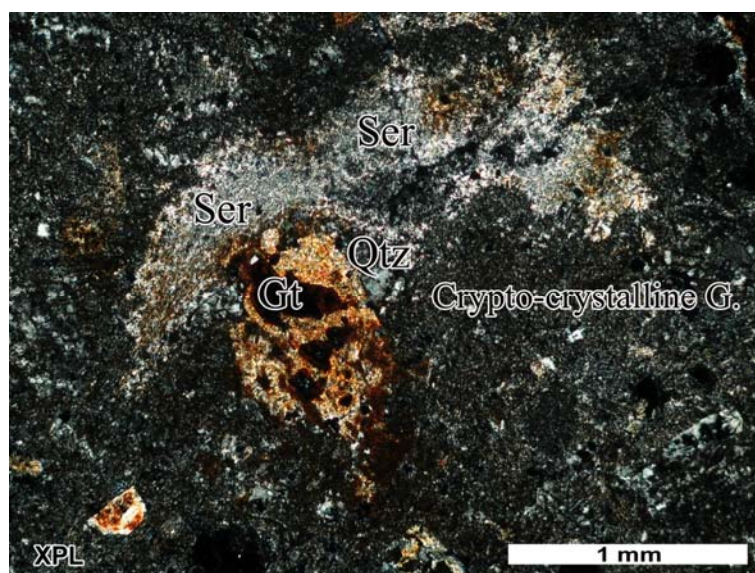
قطعات بلوری با ترکیب سدیک - پتاسیک.

قطعات سنگی ولکانیکی حاوی پورفیرهای کانی فرومینیزین در زمینه ای میکرولیتی.

قطعات سنگی ولکانیکی حاوی پورفیرهای فلدرسپات سدیک در زمینه ای شیشه ای، سیلیسی، آژیلی و اکسیده.

قطعات شیشه ولکانیکی سریسیتی شده.

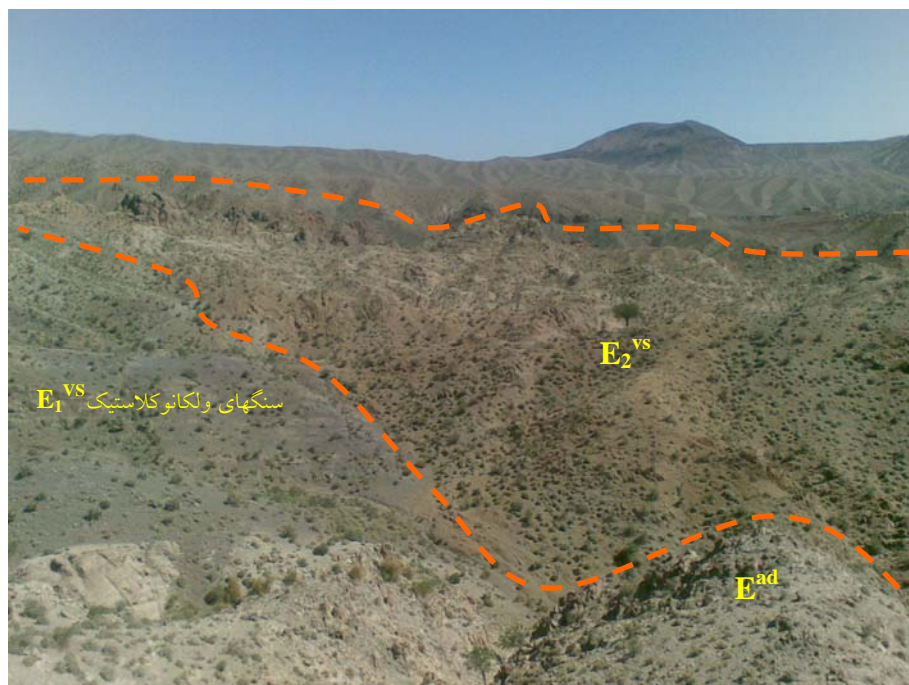
زمینه شیشه ای سنگ به مجموعه کانیهای کریپتو کریستالین و فیلو سیلیکاته (سریسیت) سیلیس و کانی های هیدروکسید آهن تجزیه و دگرسان شده است. در اطراف شکافها، تجزیه موجود در زمینه به سریسیت کریپتو کریستالین تجزیه شده است. همچنین فلدرسپاتها به سریسیت، کانیهای هیدروکسید آهن و نقاطی بطور کامل به سریسیت تجزیه شده اند. در شکل (۱۴-۲) نمایی از مقطع میکروسکوپی نمونه ZST-36 آورده شده است.



شکل ۱۴-۲: نمایی از مقطع میکروسکوپی نمونه ZST-36 واحد  $E^{tv}$

## ۲-۵-۲-۲- واحد ولکانو کلاستیکی توف - برش ولاپیلی توف ( $E_2^{vs}$ )

در شمال ده رستم واقع در گوشه شمالی محدوده مورد مطالعه، گسترشی از سنگهای ولکانو کلاستیک شامل توف- بشن هیالو کلاستیک و لاپیلی توف با رنگ روشن مشاهده می‌گردد که طبقات آن عموماً شیب دارند و شیب طبقات به سمت شمال باختり است. این واحد سنگ چینه‌ای به صورت ناپیوسته بر روی واحد  $E_1^{vs}$  قرار گرفته و کتاكت آن با سنگهای زیرین خود بصورت گسله است (شکل ۱۵-۲). در نمونه دستی، سنگها به رنگ خاکستری مایل به سبز روشن هستند، لایه‌بندی بوضوح قابل مشاهده است و قطعات عموماً به نسبت گرد شده تا زاویه‌دار ولکانیک (عمدتاً آندیت و توف) با اندازه‌های مختلف (از چند میلی متر تا چند سانتی متر) به مقدار فراوان حضور دارند. در زمینه ریز بلور سنگ نیز قطعات سنگی و بلوری (عمدتاً فلدسپات) فراوانند (شکل ۱۶-۲).



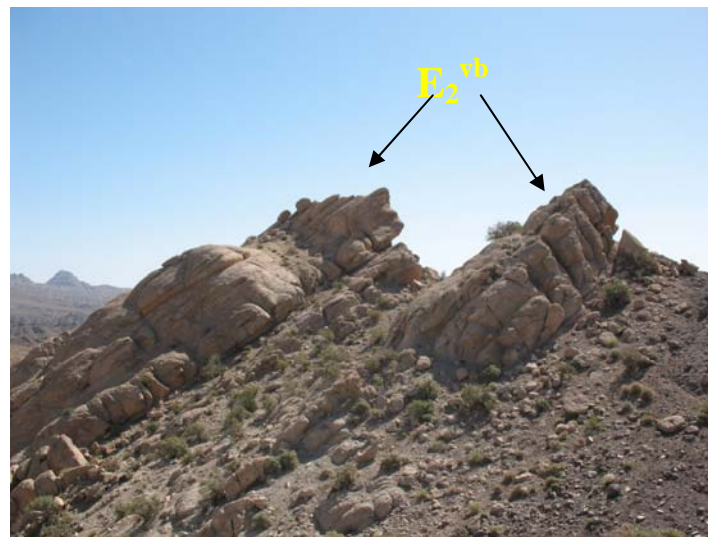
شکل ۱۵-۲: گسترش واحد  $E_2^{vs}$  با رنگ کرم تا زرد در مرکز تصویر و سنگهای ولکانو کلاستیک واحد  $E_1^{vs}$  با رنگ خاکستری مایل به بنفش در سمت چپ تصویر و توفهای سبز رنگ واحد  $E^{ad}$  در پایین تصویر مشاهده می‌گردد (دید به سمت خاور).



شکل ۲-۱۶: واحد  $E_2^{vs}$  از نمایی نزدیک، قطعات به نسبت گرد شده که معمولاً داسیتی هستند در اندازه‌های گوناگون مشاهده می‌شوند.

### ۲-۲-۵-۳- واحد برش ولکانیک ( $E_2^{vb}$ )

بخش‌های بالایی مجموعه ولکانوکلاستیک ائوسن میانی را طبقاتی از سنگ‌های پیروکلاستیکی با ضخامت حداقل ۴۰ متر می‌پوشانند. قطعات تشکیل‌دهنده این سنگها نسبت به سنگ‌های زیرین، زاویه‌دار و درشت‌ترند. لیتوژئی قطعات عمدتاً از سنگ‌های ولکانیک ( توف، آندزیت، داسیت و ...) می‌باشد. طبقات معمولاً شیب دارند و زاویه شیب‌شان به سمت شمال خاوری است (شکل ۲-۱۷).



شکل ۲-۱۷: نمایی از واحد  $E_2^{vb}$  در شمال محدوده (دید به سمت جنوب خاور).

### ۲-۲-۳- سنگ‌های آذرین نفوذی الیگوسن - میوسن

به جز بخش‌های شمال خاور و خاور محدوده مورد مطالعه تقریباً تمام بخش‌های دیگر شامل باخته، شمال باخته، مرکز و جنوب محدوده) با سنگ‌های نفوذی پوشیده شده است که در

واقع قسمتی از دنباله جنوب خاوری باتولیت جبال بارز در ورقه نگیسان است. در محدوده زیارت‌شاه- کماهی اثرات فازهای متعدد ماگماتیسم به وضوح قابل مشاهده است به طوریکه حداقل حضور ۳ توده نفوذی اصلی کوارتز مونزونیتی تا گرانوپوریتی، تونالیتی و حداقل ۳ سری از دایک‌ها با ترکیب بازالت تا میکروگرانیت می‌تواند معرف فرآیندهای مختلف ماگماتیسم از جمله تغیریق باشد. در زیر هر یک از واحدهای سنگی تفکیک شده از این سنگ‌های نفوذی به صورت خلاصه توضیح داده شده است.

#### (T<sup>d</sup>-۲-۳-۱) واحد سنگی دیوریت

رخنمون‌های این واحد بیشتر در خارج از محدوده مورد مطالعه به صورت یک نوار شمالی- جنوبی قرار گرفته‌اند که قسمت کوچکی از دنباله شمالی این نوار در جنوب خاور محدوده (جنوب ده قربان) رخنمون دارد. این توده دیوریتی تیره‌رنگ که همراه مقادیر کمی از گابرو بوده در واقع قديمی‌ترین فاز نفوذی موجود در منطقه است. قطعات بیگانه (Xenoliths) ای از آن معمولاً در سنگ‌های نفوذی جوانتر (توده‌های تونالیتی و گرانیتی) قابل مشاهده هستند (شکل ۲-۱۸). به دلیل برخوردار بودن از رنگ تیره و اختلاف لیتوژئی، کتتاکت آن با سنگ‌های اطراف (عمدتاً ولکانیک‌های دگرگون شده ائوسن، واحد E<sup>mt</sup> Sharp) است. در نمونه دستی به رنگ خاکستری تیره بوده و متوسط تا درشت بلور است. مشخصات پتروگرافی نمونه ZST-77 که از بخش به نسبت کمتر دگرسان شده و گابروی این توده برداشت شده، به شرح زیر است:

بافت سنگ گرانولار است. کانی‌ها شامل: پلاژیوکلاز به صورت منشورهای پهن با ترکیب (آندرین- لابرادوریت)، منشورهای جهت یافته پیروکسن (تیتانو اوژیت) بعضی دارای رگجهایی از اکسیدهای آهن و کمی بیوتیت تبلور یافته در اطراف کانیهای اپاک، می‌باشند.

پیروکسن‌ها به مقدار جزئی اورالیتی شده‌اند. در ضمن تشکیل آمفیبول (ترمولیت- اکتینولیت) در فضای بین کانی‌های دیگر بیانگر تأخیری بودن تشکیل آمفیبول‌ها می‌باشد.

در شکل ۲-۱۹ نمایی از مقطع میکروسکوپی نمونه ZST-77 آورده شده است.



شکل ۲-۱۸: زینولیت‌هایی از واحد دیوریتی در داخل واحد کوارتزمونزونیتی در جنوب محدوده



شکل ۲-۱۹: نمایی از مقطع میکروسکوپی نمونه ZST-77

#### ۲-۳-۲-۲-۲- واحد سنگی گرانودیوریت ( $T^{gd}$ )

این واحد سنگی به صورت یک نوار با امتداد شمال باخترا - جنوب خاور از شمال باخترا تا جنوب خاور محدوده مورد مطالعه ادامه داشته و دارای ترکیب گرانودیوریتی تا هورنبلندر تونالیت نسبتاً همگن می‌باشد. این واحد سنگی که ارتفاعات مرکز محدوده از قبیل کوه داربستی، کوه انبار و کوه حاجی محمد را تشکیل داده با رنگ تیره‌تر نسبت به سنگ‌های گرانیتی قابل تمایز است (شکل ۲-۲۰) سن این توده بر اساس ورقه زمین‌شناسی ۱:۱۰۰,۰۰۰ نگیسان اولیگوسن - میوسن

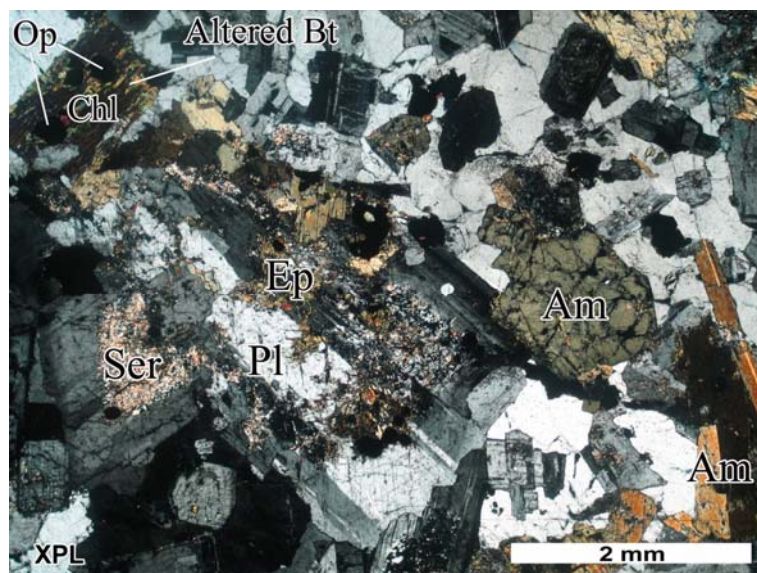
تعیین شده است. در نمونه دستی به رنگ خاکستری تیره، دارای بافت گرانولار با میکروفنوکریست‌های آمفیبیول است. از این واحد هفت نمونه به شماره‌های ZST-6, 19, 20, 51, 79 برای مطالعه پتروگرافی برداشت شد که شرح کامل مطالعه آنها در پیوست شماره ۱ آورده شده است و در زیر اشاره‌ای کلی به مشخصات پتروگرافی این توده شده است.

بافت سنگ گرانولار می‌باشد. کانی‌ها: پلاژیوکلاز شکل دار تا نیمه شکل دار، با ساخت زونه‌ای با ترکیب (آلبیت-الیگوکلاز) با حواشی از آلکالی فلدسپات، آلکالی فلدسپات (معمولًاً به طور مشخص میکروکلین)، کوارتز با خاموشی موجی، بیوتیت قهوه‌ای که بطور کامل به کلریت، لوکوکسن-اسfen و مقادیری کانی‌های اپاک تبدیل شده است. آمفیبیول نیز در بعضی از موارد مشاهده می‌شود. پلاژیوکلازها به مقدار قابل توجه به سریسیت، در برخی موارد آلکالی فلدسپات (آلبیت) و اپیدوت تجزیه و جانشین شده‌اند. بیوتیت‌ها بعضاً به کلریت، اپیدوت و لوکوکسن-اسfen تبدیل شده‌اند. اسfen در برخی موارد به صورت نوار باریکی در اطراف کانی‌های اپاک متبلور شده است. تجمع کانی‌های نسبتاً درشت اپاک نیز مشاهده شده است. تجدید تبلور بیوتیت‌های سبز در برخی موارد ملاحظه می‌شود. این تجدید تبلور معمولًاً در حواشی کانی‌های اپاک صورت گرفته است.

در حاشیه‌های این توده دایک‌های آندزیتی با امتداد شمال باخته - جنوب خاور تزریق شده‌اند. قطعات زینولیت دیوریتی نیز معمولًاً در حاشیه‌های این توده مشاهده می‌شوند. در شکل (۲۱-۲) نمایی از مقطع میکروسکوپی نمونه ZST-79 برداشت شده از این واحد، نمایش داده شده است.



شکل ۲: در بالای تصویر و سمت راست واحد تونالیتی ( $T^{gd}$ ) و در سمت راست و پائین تصویر واحد کوارتزمنزونیتی ( $T^g$ ) با رنگ روشن واقع در جنوب محدوده، مشاهده می‌گردند (دید به شمال).



شکل ۲۱-۲: نمایی از مقطع میکروسکوپی نمونه ZST-79  $T^{g^d}$  واحد.

### ۳-۲-۲-۳- واحد سنگی کوارتز مونزونیت، گرانودیوریت ( $T^{g^d}$ )

عمده سنگ‌های مرکز و باخته محدوده مورد مطالعه از این واحد سنگی تشکیل شده‌اند. این واحد سنگی متشکل از یک توده کوارتز مونزونیت تا گرانودیوریتی است که با رنگ روشن تر و توپوگرافی ملایم‌تر نسبت به واحد تونالیت قابل تشخیص است (شکل ۲۰-۲).

در نمونه دستی به رنگ سفید تا خاکستری روشن بوده، حاوی کوارتز فراوان و بلورهای سبز آمفیبول و بیوتیت (شکل ۲۲-۲). از این واحد ده نمونه به شماره‌های ZST-1, 3, 12, 13, 16, 46, 55, 56, 72, 85 آورده شده است و در زیر اشاره‌ای کلی به مشخصات پتروگرافی این توده شده است.

بافت سنگ گرانولار (گاهی گرانولار- میکروگرافیکی) - تکتونیزه (دارای تجدید تبلور در برخی نقاط) می‌باشد.

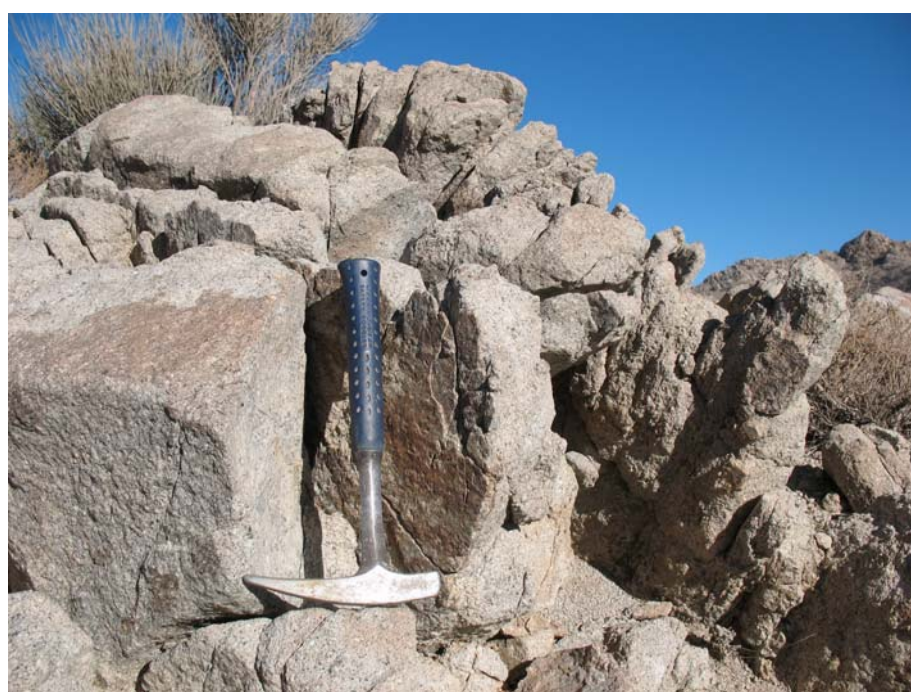
کانیها: آلکالی فلدسپات بصورت بلورهای بسیار شکل (پرتیتی) ملاحظه می‌شود. پلاژیوکلاز (آلیت- الیگوکلاز تا آندزین) شکل دار، اغلب ماکل دار، در برخی موارد با ساخت زونه‌ای مشاهده شده و کوارتز بعضاً به صورت میرمکیتی ملاحظه می‌شود. بیوتیت نیز به صورت تیغکهای پهن در مقاطع دیده شده است.

پلاژیوکلازها به طور نسبی تا شدید (در نقاط مختلف توده) به کانی‌های رسی، سریسیت، تا حدودی کربنات و آلکالی فلدسپات (آلیت) تجزیه شده‌اند. آلکالی فلدسپات‌ها نیز معمولاً به کانی‌های رسی تجزیه شده‌اند. بیوتیت در برخی قسمتها به طور کامل توسط کلریت، مقداری اپیدوت و کربنات جایگزین شده است. تجدید تبلور کانی‌های موجود در سنگ از جمله بیوتیت‌ها،

تحت تأثیر فشارهای تکتونیکی در برخی نقاط مشهود است. همچنین کشیدگی و تاب خوردگی تیغکهای بیوتیت گاه در امتداد درزهای شکافها ملاحظه می‌شود.

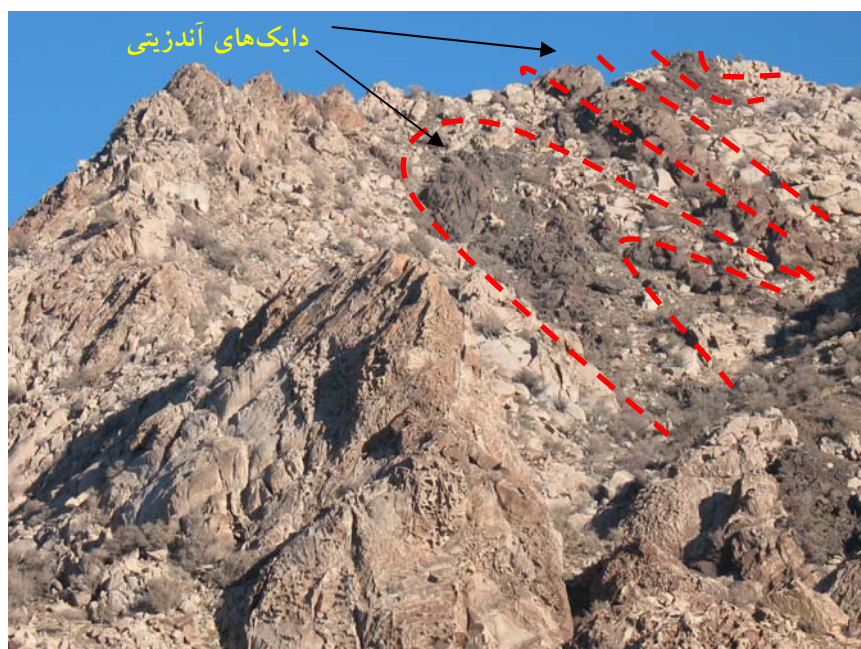
این توده نفوذی از نظر زمان جایگزینی جوانتر از واحد تونالیتی است و خود آن با راه توسط دایک‌های آندزیتی تا بازالتی و فازهای پگماتیتی تحت تأثیر قرار گرفته است (شکل ۲-۲۳ و ۲۴). سنگ‌های این واحد معمولاً آلتره هستند و دگرسانی و کانه‌زایی اصلی محدوده در ارتباط با نفوذ این توده می‌باشد. قطعات زینولیت و دایک‌های آندزیت و بازالتی در این توده نسبت به توده تونالیتی از فراوانی بیشتری برخوردارند (شکل ۲-۱۸). این قطعات معمولاً زاویه دارند و در برخی موارد حاشیه‌های آنها گرد شده است که نشانگر هضم آنها می‌باشد. غالب دایک‌ها (عمدتاً آندزیتی) امتداد شمال باختری-جنوب خاور دارند و بیشتر در ارتفاعات باختر محدوده رخنمون دارند.

در برخی از قسمتها (بویژه اطراف روستای ده دادخدا و زیارت شاه) پدیده آپلیتی شدن به شکل رگه و رگچه‌هایی در داخل سنگ‌های گرانیتی رخ داده است (شکل ۲-۲۴). رگه‌های آپلیتی به رنگ سفید و دارای بافت دانه شکری می‌باشند. نمونه ZST-56 از یک رگه آپلیتی گرفته شده که دارای بافت گرانولار-رشد توأم- Intergrowing می‌باشد. اساس سنگ متتشکل از رشد توأم کوارتز و آلکالی فلدسپات (پرتیتی) می‌باشد، به ندرت بیوتیت به صورت تیغکهای ظریف موجود است. گاهی رشد میکروگرافیکی بین کوارتز و آلکالی فلدسپات ملاحظه می‌شود.



شکل ۲-۲: نمایی نزدیک از گرانوپوریت‌های جنوب محدوده

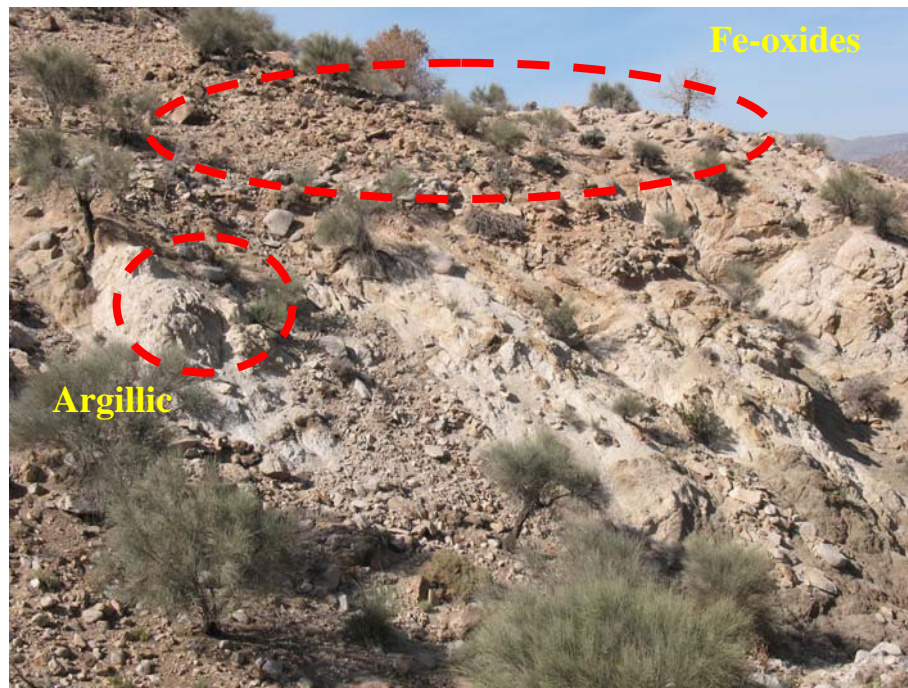
از دگرسانی‌های موجود این واحد می‌توان به دگرسانی کوارتز- سریسیتی در شمال روستای زیارت شاه و دگرسانی پتاسیک شامل کانی‌های ارتوز و بیوتیت ثانویه در جنوب محدوده اشاره نمود. علاوه بر این دو، دگرسانی آرژیلیک با اکسیدهای آهن در سطحی وسیع اطراف روستای زیارت شاه (واقع در جنوب محدوده) را تحت تأثیر قرار داده است (شکل ۲۵-۲). گسترش زون‌های دگرسانی نیز غالباً هم امتداد با توده‌های نفوذی یعنی شمال باخترا- جنوب خاور می‌باشد.



شکل ۲۳-۲: دایک‌های آندزیتی در ارتفاعات کوارتز مونزونیتی جنوب خاور محدوده (دید به سمت خاور).



شکل ۲۴-۲: نمایی از یک رگه آپلیتی در داخل واحد کوارتز مونزونیتی در مرکز محدوده.



شکل ۲-۲۵: دگرسانی آرژیلیک همراه با اکسیدهای آهن در شمال روستای زیارت شاه (دید به سمت شمال باخترا).

#### ۲-۴-۲- نفوذی(دایک)های میوسن

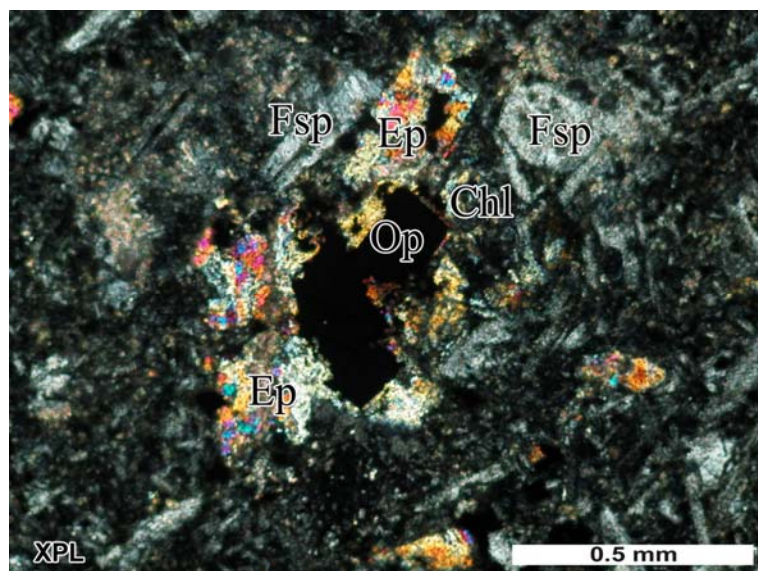
چهار دسته توده‌های نفوذی فرعی با طیف وسیعی از اسیدی تا بازیک (برخی شامل میکرو گرانیت و برخی ترکیب بازالتی دارند) در منطقه تشخیص داده شده و به عنوان واحدهای جداگانه در نظر گرفته شده‌اند. به استثنای واحد میکرو کوارتز مونزونیتی که به اشکال استوک، سیل و دایک است، این نفوذی‌ها بیشتر به شکل دایک هستند. تقریباً در تمام سطح منطقه دایک‌های آندزیتی، دولریتی و به ندرت بازالتی مشاهده می‌گردند اما گسترش آن‌ها در باخترا محدوده و در ارتفاعات شاخص‌تر است. فراوانی آنها (بویژه دایک‌های آندزیتی) در باخترا محدوده به حدی است که برخی از آنها قابل تفکیک و نقشه‌برداری نمی‌باشند. هر چهار دسته این دایک‌ها دارای حاشیه‌های سرد شده و کتتاکت واضح با سنگهای گرانیتوئیدی هستند که دلالت بر این موضوع دارد که جایگزینی دایک‌ها پس از سرد شدن و تبلور توده‌های نفوذی اصلی انجام گرفته است. در زیر شرح هر یک از این نفوذی‌های کم عمق بطور جداگانه آورده شده است. از آن جایی که این دایک‌ها جوانترین فاز نفوذی موجود در محدوده یعنی توده کوارتز مونزونیتی را قطع نموده‌اند، جوانتر از تمام سنگ‌های آذرین موجود در منطقه‌اند. بر این اساس انتظار می‌رود سن جایگزینی آنها بعد از اولیگوسن باشد. در ورقه زمین‌شناسی ۱:۱۰۰،۰۰۰ نگیسان نیز سن این دایک‌ها میوسن تعیین گردیده است.

دایک‌های آندزیتی در نمونه دستی به رنگ خاکستری تیره تا قهوه‌ای هستند. زمینه سنگ میکروکریستالین است و کانی‌های مافیک موجود در سنگ عمدتاً آمفیبول هستند که بعضاً اکسید شده‌اند.

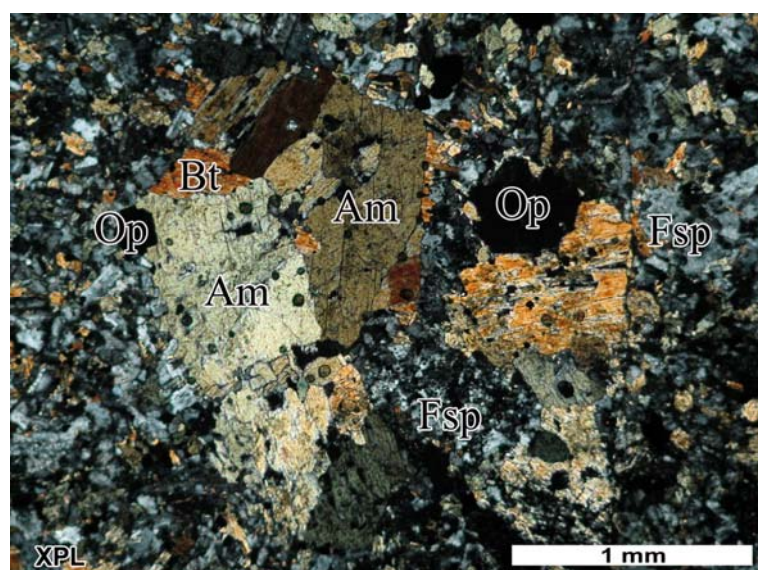
#### ۴-۲-۱- دایک‌های آندزیت بازالتی (b)

این دایکها همراه با دایکهای آندزیتی بیشترین گسترش را در محدوده مورد مطالعه دارند. این دایکها با طول حدود چند متر و ضخامت چندین متر، با امتداد شمال باختری - جنوب خاوری (در راستای گسل‌های اصلی منطقه) معمولاً در نقاط مختلف مشاهده شده‌اند. اما گسترش عمدت آنها در جنوب باختری محدوده مورد مطالعه و در داخل واحد کوارتز مونزونیتی می‌باشد. این دایکها به دلیل اختلاف رنگشان با سنگهای میزبان خود به راحتی قابل تفکیک می‌باشند. اما نکته‌ای که وجود دارد این است که ضخامت برخی از آنها در حد چند متر است و در مقیاس این مطالعه (۱:۲۵,۰۰۰) قابل تفکیک نمی‌باشند. این سنگها در نمونه دستی به رنگ سیاه بوده و دارای زمینه ریز متشکل از پپروکسن و پلازیوکلاز و فنوکریستهای سفید فلدسپات می‌باشند. دو نمونه به شماره‌های ZST-18,73 از این دایکها گرفته شد که خلاصه نتیجه پتروگرافی آنها به شرح زیر است:

بافت سنگ بطور جزئی پورفیریتیک - هولوکریستالین - نیمه عمیق است. پورفیرها شامل پلازیوکلاز نیمه شکل دار تا شکل دار (اولیگوکلاز - آندزین)، گاه آلکالی فلدسپات و تجمعات آمفیبول بصورت بلورهای تخته‌ای می‌باشند. کانیهای زمینه شامل فلدسپات بصورت لت تا میکرولیت با ترکیبی کم و بیش مشابه با فنوکریستهای بلورهای آمفیبول (گاه تجدید تبلور یافته)، لکه‌های پراکنده بیوتیت و ریزبلورهای کانیهای اپاک می‌باشند. پلازیوکلازها با تجزیه نسبی به مجموعه کانیهای رس- میکا - کلریت و مقادیری زئولیت و گاه آلکالی فلدسپات کربنات و بیوتیت تبدیل شده‌اند. در شکل‌های (۲۶-۲ و ۲۷) نمایی از مقاطع میکروسکوپی دو نمونه ZST-18,73 آورده شده است.



شکل ۲-۲۶: نمایی از مقطع میکروسکوپی نمونه ZST-73، دایک‌های آندزیت بازالتی (b).



شکل ۲-۲۷: نمایی از مقطع میکروسکوپی نمونه ZST-18، از دایک‌های آندزیت بازالتی (b).

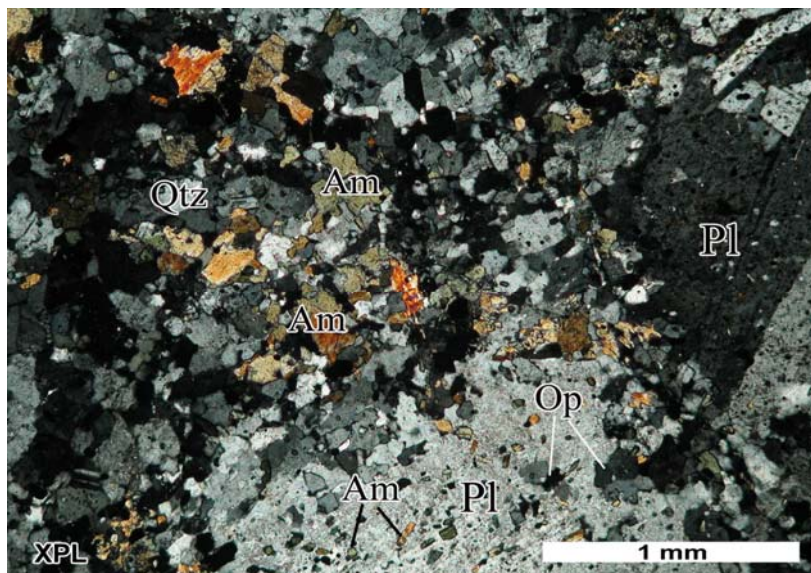
#### ۲-۴-۲-۲- توده‌های میکرو(کوارتز) مونزودیوریتی (md)

این توده‌ها با اشکال استوک، سیل و دایک مانند در مرکز و خاور محدوده مورد مطالعه رخنمون دارند. روند کلی این توده‌ها نیز مشابه با سایر توده‌های اصلی و فرعی موجود در منطقه می‌باشد. توده‌های میکرومونزودیوریتی علاوه بر توده‌های نفوذی اصلی، ولکانوسدیمنت‌های ائوسن واقع در خاور محدوده را نیز قطع نموده‌اند و معمولاً حاشیه آنها به شدت دگرسان (بطور عمده دگرسانی پروپیلی‌تیک) می‌باشد. البته این سنگها از نظر ویژگی‌های سنگ‌شناختی در نمونه دستی شباهت زیادی با دایک‌های نوع آندزیتی دارند ولی با توجه به رنگ به نسبت تیره‌تر و شکل توده (که معمولاً به شکل استوک هستند)، بطور جداگانه به عنوان یک واحد مجزا در نظر گرفته شده‌اند.

در نمونه دستی به رنگ خاکستری تیره تا سبز می‌باشند. نمونه ZST-59 از این واحد گرفته شده که به طور خلاصه مطالعه پتروگرافی آن در زیر اشاره شده است. بافت سنگ پورفیریتیک با زمینه میکروگرانولار- هولوکریستالین است. پورفیرها شامل پلاژیوکلاز با حواشی خورده شده (اولیگوکلاز- آندزین سدیک) دارای انکلوزیون‌های فراوان ریزلورهای کانی‌های اپاک، کمی بقایای پیرکسن و آمفیبول بصورت تجمع بلورهای تخته‌ای (اغلب با ترکیب ترمولیت- اکتینولیت) می‌باشند.

کانیهای زمینه: رشد کوارتز- فلدسپات، پلاژیوکلاز با حواشی از آلکالی فلدسپات، بلورهای ریز و بی شکل آمفیبول به مقدار فراوان، کانی‌های اپاک، کلینوپیرکسن (به مقدار کم و درگیر با کانیهای اپاک) و به ندرت بیوتیت مشاهده شده است.

تجزیه و دگرسانی: پلاژیوکلازها اغلب بطور ضعیف سیلیسی شده‌اند. بقایای پیرکسن و نحوه تبلور و پراکندگی آمفیبول‌ها بیانگر پدیده جانشینی پیرکسن‌ها توسط آمفیبول می‌باشد. نکته قابل توجه این که پراکندگی، شکل و ابعاد بلورهای کانی‌های اپاک بسیار متنوع است که می‌تواند در ارتباط با دمیده شدن محلول‌های کانی‌ساز از یک توده اسیدی‌تر باشد. با توجه به مشاهدات بالا، می‌توان نام سنگ را میکرو کوارتز مونزودیوریت یا کوارتز مونزودیوریت پورفیری دگرسان درنظر گرفت. در شکل (۲۸-۲) نمایی از مقاطع میکروسکوپی نمونه ZST-59 آورده شده است.



شکل ۲: نمایی از مقطع میکروسکوپی نمونه ZST-59، از میکرومونزودیوریتی (md).

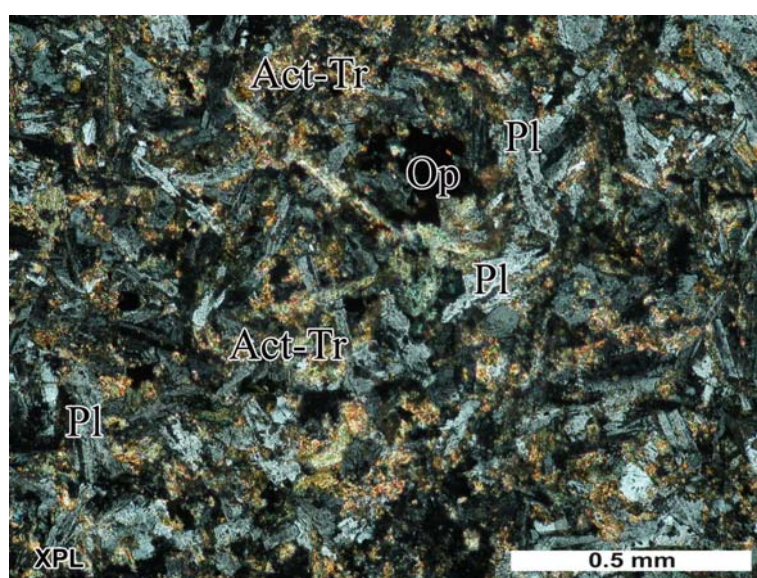
#### ۴-۳-۲-۴- دایکهای میکرو مونزودیوریت و آندزیتی (d)

دایکهای میکرومونزودیوریت را می‌توان در تمام سطح محدوده مورد مطالعه در سنگهای نفوذی و نیز ولکانیکهای ائوسن ملاحظه نمود. لیکن در باختر محدوده و در داخل واحد گرانیتی از گسترش و تراکم قابل توجهی برخوردارند. تفکیک این دایکها از دایکهای بازالتی (b) بر روی عکس‌های هوایی مشکل است و تنها وجه تمایز این دو دسته دایک از یکدیگر، رنگ روشن‌تر دایکهای آندزیتی (خاکستری تیره تا قهوه‌ای) نسبت به دایکهای بازالتی (سیاهرنگ) می‌باشد. در ضمن شدت دگرسانی در دایکهای آندزیتی معمولاً بیشتر است. دو نمونه به شماره‌های ZST-9, 14 از این دایکها گرفته شد که خلاصه مطالعه پتروگرافی آنها به شرح زیر است.

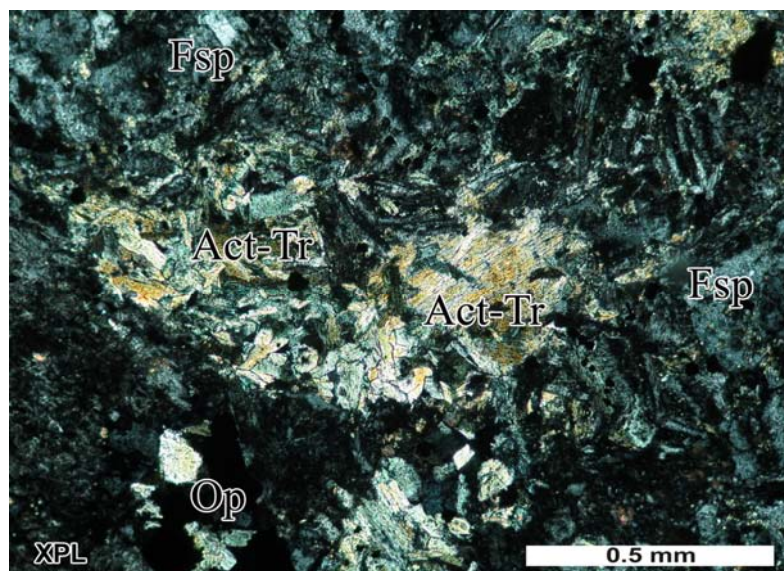
بافت سنگ پورفیریتیک با زمینه هولوکریستالین است. پورفیرها شامل فلدسپات (سدیک)، آمفیبول (ترمولیت- اکتینولیت) بصورت منشورهای ظریف و کوتاه و بیوتیت (بصورت لکه‌هایی بی‌شکل) می‌باشند.

زمینه سنگ: فلدسپات با ترکیبی کم و بیش سدیک‌تر از پورفیرها، بلورهای پراکنده آمفیبول، گاه ریزبلورهای کوارتز و اغلب ریزبلورهای کانیهای اپاک مشاهده می‌شود. فلدسپاتها بطور قابل ملاحظه‌ای به مجموعه کانیهای کریپتوکریستالین متسلط از زئولیت، رس، کلریت و گاهی سریسیت، سیلیس و کمی آلكالی فلدسپات تجزیه شده‌اند. با توجه به مشاهدات بالا می‌توان نام سنگ را میکرو مونزودیوریت یا مونزودیوریت پورفیری دگرسان شده در نظر گرفت.

در شکل (۲۹-۲ و ۳۰) نمایی از مقاطع میکروسکوپی دو نمونه ZST-9, 14 آورده شده است.



شکل ۲: نمایی از مقطع میکروسکوپی نمونه ZST-9، واحد دایکهای میکرومونزودیوریت و آندزیتی (d).

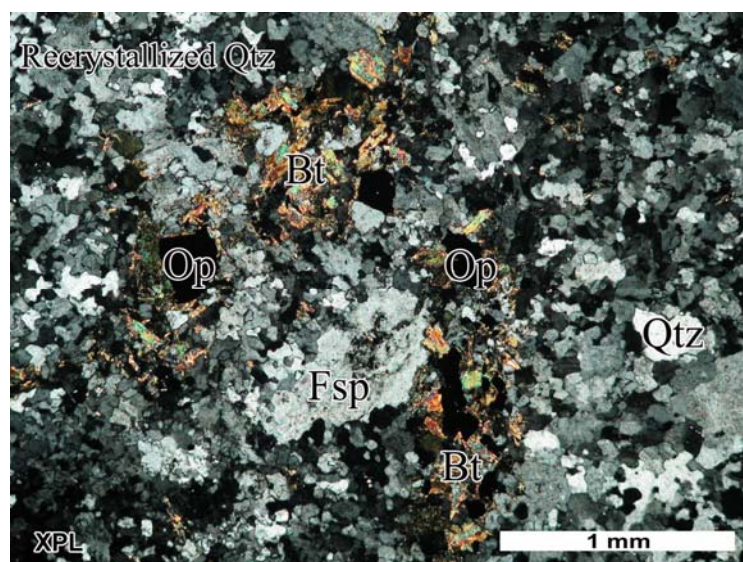


شکل ۳۰-۲: نمایی از مقطع میکروسکوپی نمونه ZST-14، واحد دایکهای میکرومونزودیوریت و آندزیتی (d).

#### ۴-۲-۴-۴- دایکهای میکرو کوارتز مونزونیتی (g)

تنها چند رخنمون از سنگهای میکرومونزونیتی و میکروگرانیتی دایک مانند در جنوب خاوری و خاور منطقه وجود دارد. این دایک‌ها که از نظر ترکیب شیمیایی و کانی شناسی بسیار شبیه توده نفوذی کوارتز مونزونیتی می‌باشند و به احتمال زیاد پچه‌ایی از همان توده اصلی ( $T^g$ ) بوده که در اعماق با توده کوارتز مونزونیتی ادغام می‌شوند. این سنگها در نمونه دستی به رنگ خاکستری روشن دانه‌ریز می‌باشند. نمونه ZST-80 از یک دایک اسیدی گرفته شد که دارای مشخصات میکروسکوپی ذیل می‌باشد:

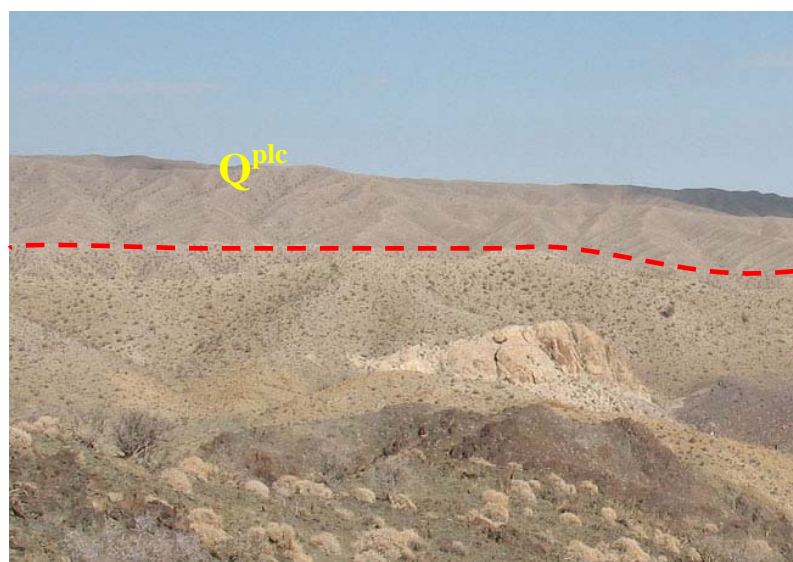
بافت سنگ بطور جزئی پورفیریتیک - گرانولار است. پورفیرها شامل پلاژیوکلازهای از حواشی دچار خوردگی شده (آلبیت - اولیگوکلاز) و آلکالی فلدسپات می‌باشند. کانی‌های زمینه شامل رشد تؤام کوارتز - فلدسپات و در برخی از نقاط تجمعاتی از تیغکهای ظریف بیوتیت به همراه کانی‌های اپاک می‌باشند. در شکل (۳۱-۲) نمایی از مقاطع میکروسکوپی نمونه ZST-80 آورده شده است.



شکل ۲-۳۱-۲: نمایی از مقطع میکروسکوپی نمونه ZST-14، از دایک‌های میکرو کوارتز مونزونیتی (g).

#### ۲-۵-۲-کنگلومرای پلی ژنتیک (پلیوسن-پلیستوسن)

در گوشه شمال محدوده مورد مطالعه رخمنون کوچکی از کنگلومرای پلی ژنتیک وجود دارد که البته این کنگلومرا در شمال محدوده و ورقه زمین‌شناسی ۱:۱۰۰،۰۰۰ نگیسان از رخمنون گسترده‌ای برخوردار است که بخشی کوچکی از آن در محدوده مورد مطالعه قرار می‌گیرد (شکل ۲-۳۲-۲). همانگونه که در تصویر نیز مشاهده می‌گردد، این واحد با توبوگرافی ملایم و تپه ماهور مانند به سادگی از سایر سنگ‌های قابل تشخیص است و به صورت ناپیوسته بر روی سنگ‌های ولکانو-سدیمنت ائوسن قرار گرفته است و همانگونه که از نامش پیداست این کنگلومرا از قطعات مختلف تشکیل شده است که عمدتاً از ولکانیک‌های ائوسن می‌باشند.



شکل ۲-۳۲-۲: گسترش واحد کنگلومرای پلی ژنتیک در شمال محدوده که در بالای تصویر قابل مشاهده است (دید به سمت خاور).

## ۲-۲-۶- واحدهای کواتونر ( $Q^{f1}, Q^{tr}, Q^{f2}, Q^{al}$ )

رسوبات مخروط افکنهای قدیمی ( $Q^f$ ) شامل سیلت، ماسه سنگ، کنگلومرا و رس بوده که معمولاً در حاشیه آبراهه‌های اصلی به شکل پادگانه مانند قرار گرفته‌اند. بعضاً باقی مانده‌های تراورتن ( $Q^{tr}$ ) در کنار آبراهه‌ها با ضخامت حداقل چند متر مشاهده می‌شوند. لازم به ذکر است که در ارتفاعات شمال محدوده مورد مطالعه رخنمون قابل ملاحظه‌ای از تراورتن بر روی توف‌های اثوسن وجود دارد که در بخش تحتانی آن لایه‌ای از آراغونیت با شفافیت مطلوب و ضخامت تا حدود ۱/۵ متر وجود دارد. نهشته‌های مخروط افکنهای جوان ( $Q^{f2}$ ) شامل رس، قلوه سنگ و سیلت در باخته و خاور محدوده در بخش‌های مخروط افکنهای کم شیب و در حاشیه آبراهه‌ها به صورت نوار باریکی تشکیل شده‌اند. پادگانه‌های آبرفتی عهد حاضر ( $Q^{al}$ ) متشكل از شن، ماسه، قلوه سنگ و سیلت در اکثر نقاط و در بستر آبراهه‌های محدوده مورد مطالعه در حال تشکیل می‌باشند.

## ۲-۳- پترولوزی سنگ‌های نفوذی و آتشفسانی محدوده زیارت شاه- کماهی

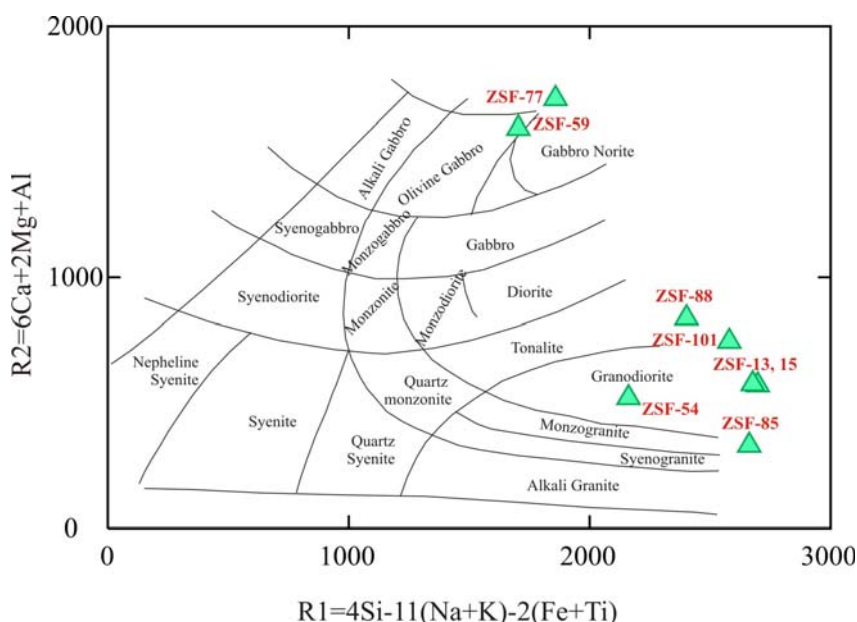
### ۲-۳-۱- مقدمه

در محدوده مورد مطالعه ۴۱ نمونه برای آنالیز عنصری به روش ICP در مرحله اول برداشت گردیده است. علاوه بر این نمونه‌ها، در مرحله تکمیلی ۱۰ نمونه جدید برای آنالیز عنصری ICP و ۱۲ نمونه برای آنالیز XRF در نظر گرفته شده‌اند که نتایج آن‌ها در پیوست‌های ۳ و ۵ می‌باشد. بدليل اينكه نمونه‌هایي که مورد آنالیز ICP قرار گرفته‌اند با هدف تعیین عيار کاني‌سازی برداشت گردیده‌اند و دارای دگرسانی هستند، برای ترسیم نمودارهای پترولوزیکی مناسب نمی‌باشند. از طرفی، محدوده‌ای تحت نام کوه شاه- پرواز توسط شرکت ملی صنایع مس ایران به این مهندسین مشاور ابلاغ گردید که محدوده زیارت شاه در مرکز آن واقع می‌شود. به این ترتیب برای ترسیم نمودارهای نامگذاری شیمیایی و نمودارهایی که می‌توان در آن‌ها از اکسیدهای اصلی استفاده نمود، از نتایج آنالیز XRF بهره گرفته شده است و برای ترسیم نمودار عنکبوتی از عناصر کمیاب محدوده کوه شاه- پرواز استفاده شده است. در مطالعه ژئوشیمی حاضر تلاش شده است که از نمونه‌های با حداقل دگرسانی استفاده شود، اما به دلیل دگرسانی گستره‌ای که در منطقه صورت گرفته است، نمونه‌ها کاملاً سالم نیستند.

نمونه‌های منطقه شامل سنگ‌های آتشفسانی و نفوذی می‌باشند که عمدۀ بحث پترولوزیکی مربوط به سنگ‌های نفوذی است.

### ۲-۳-۲- نامگذاری سنگهای آذرین نفوذی (به روش دلاروش و همکاران (۱۹۸۰))

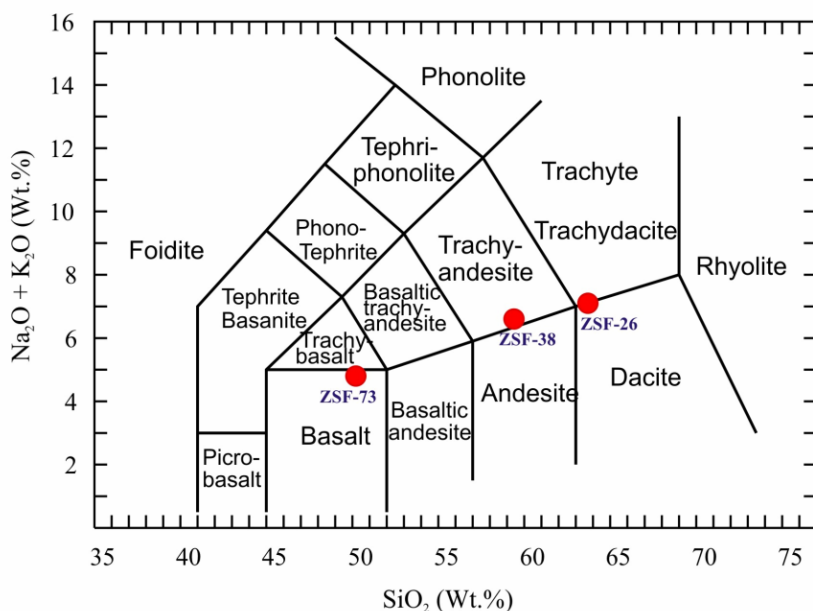
برای نامگذاری سنگهای آذرین نفوذی منطقه از روش دلاروش و همکاران (۱۹۸۰) استفاده شده است. در این تقسیم‌بندی نسبت‌های کاتیونی سنگهای آذرین به صورت میلی‌کاتیون بیان می‌شوند و مقادیر R1 و R2 تعیین می‌گردند (رولینسون، ۱۹۹۳). همانطور که در شکل (۳۳-۲) مشاهده می‌شود، سنگهای منطقه زیارت شاه- کماهی اکثرًا در محدوده‌های گابرو، تونالیت، گرانوپیوریت و گرانیت قرار گرفته‌اند. این نمودار هماهنگی نسبی اطلاعات حاصل از مشاهدات صحرایی و مطالعات پتروگرافی را با آنالیزهای شیمیایی نشان می‌دهد.



شکل ۳۳-۲: نمودار نامگذاری دلاروش و همکاران (۱۹۸۰) برای رده‌بندی شیمیایی سنگهای نفوذی. نمونه‌های برداشت شده در منطقه زیارت شاه- کماهی در محدوده‌های گابرو، تونالیت، گرانوپیوریت و گرانیت قرار گرفته‌اند (مثلث‌ها نشانه سنگهای نفوذی محدوده هستند که از واحدهای مختلف برداشت گردیده‌اند).

### ۲-۳-۳- نامگذاری سنگهای آتشفشاری (به روش لوباس و همکاران (۱۹۸۶))

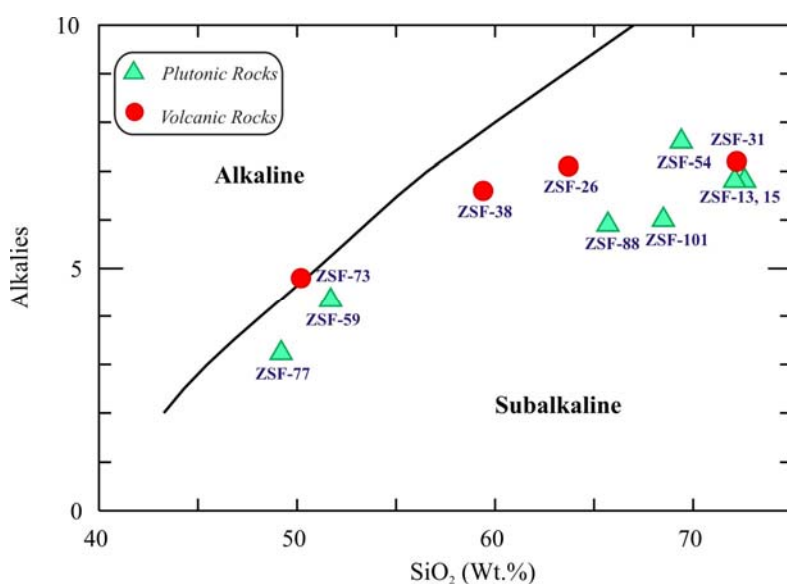
به منظور طبقه‌بندی سنگهای آتشفشاری محدوده مورد مطالعه، نمودار TAS (لوباس و همکاران، ۱۹۸۶) مورد استفاده قرار گرفت. در این نمودار مجموع آلکالی ( $\text{Na}_2\text{O} + \text{K}_2\text{O}$ ) در برابر  $\text{SiO}_2$  ترسیم شده است. نمونه‌های منطقه زیارت شاه- کماهی در محدوده‌های داسیت، آندزیت و بازالت قرار گرفته‌اند (شکل ۳۴-۲).



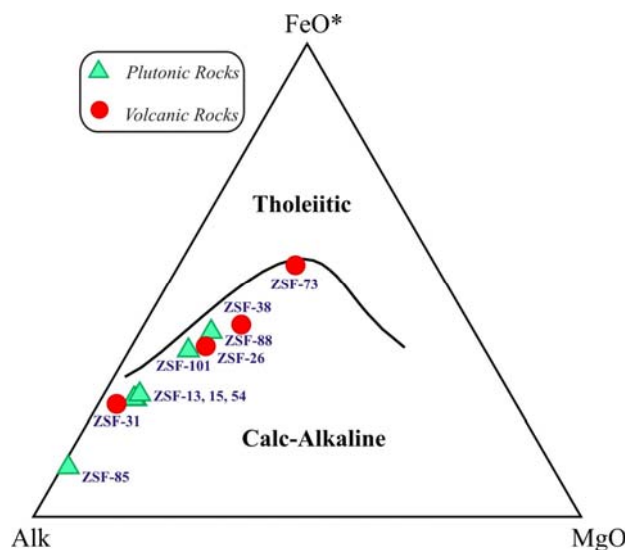
شکل ۲-۳۴: نمودار مجموع آلکالی در برابر سیلیس (TAS) (لوباس و همکاران، ۱۹۸۶). سنگ‌های آتشفشنانی منطقه در محدوده‌های داسیت، آندزیت و بازالت قرار گرفته‌اند. دایره‌ها نشانه سنگ‌های آتشفشنانی محدوده زیارت شاه-کماهی هستند.

#### ۴-۳-۲- تعیین سری ماگمایی (به روش ایروین و باراگار (۱۹۷۱))

برای تعیین سری ماگمایی از دو نمودار ایروین و باراگار (۱۹۷۱) استفاده شده است. در نمودار آلكالی در برابر سیلیس، کلیه نمونه‌های منطقه بجز نمونه ZSF-73 که در مرز بین محدوده‌های آلكالن و ساب آلكالن واقع شده است، در محدوده ساب آلكالن قرار گرفته‌اند (شکل ۳۵-۲). در نمودار AFM نمونه‌های برداشت شده از نوع کالکوآلكالن هستند (شکل ۳۶-۲).



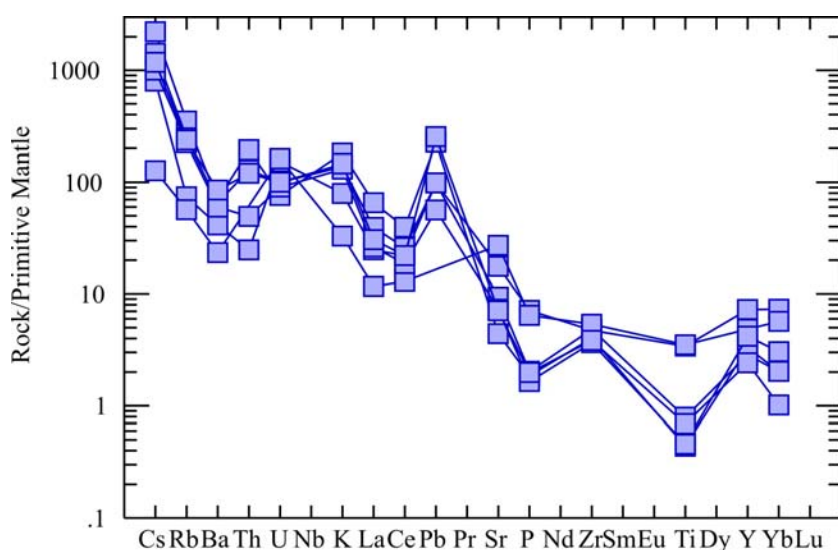
شکل ۲-۳۵: نمودار  $\text{SiO}_2$  در برابر  $(\text{Na}_2\text{O} + \text{K}_2\text{O})$  (ایروین و باراگار، ۱۹۷۱). نمونه‌های مورد مطالعه در محدوده ساب آلكالن قرار گرفته‌اند.



شکل ۲-۳۶: نمودار جداگانه سری تولیتی از سری کالکوآلکالن (ایروین و باراگار، ۱۹۷۱). نمونه‌های محدوده زیارت شاه- کماهی اغلب کالکوآلکالن هستند.

### ۳-۵-۲- نمودار سان و مکدانف (۱۹۸۹)

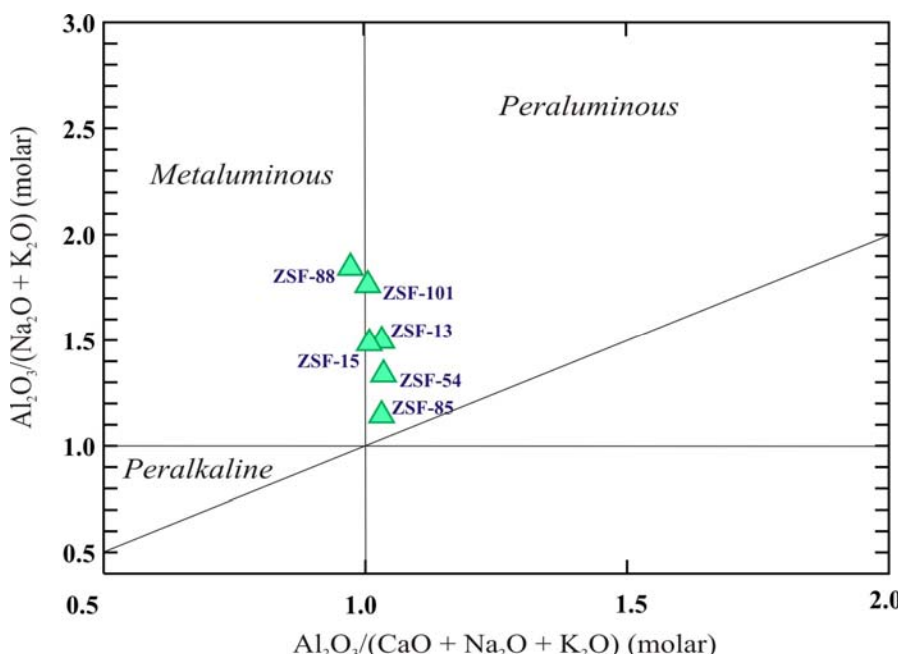
در نمودار عنکبوتی سان و مکدانف (۱۹۸۹) سنگ‌های نفوذی منطقه کوه شاه- پرواز که محدوده زیارت شاه- کماهی جزئی از آن محسوب می‌شود، نسبت به گوشه اولیه نرمالیز شدند (شکل ۲-۳۷). همانطور که در شکل مشاهده می‌شود، نمونه‌های منطقه دارای تهی شدگی از عناصر با شدت میدان بالا (HFSE) می‌باشند. این عناصر عبارت از P و Ti هستند. عناصر لیتوفیل درشت یون (LILE) مانند Cs, Ba, Th, U و K غنی شدگی نسبی نشان می‌دهند. این الگو نسبتاً با سنگ‌های منطقه فرورانش هماهنگی دارد. در این نمودار، عنصر Pb غنی شدگی دارد که می‌تواند نشانه تأثیر رسوبات طی فرآیند فرورانش باشد (مکدانف و همکاران، ۲۰۰۰).



شکل ۲-۳۷: نمودار عنکبوتی سنگ‌های نفوذی منطقه کوه شاه- پرواز که نسبت به گوشه اولیه نرمالیز شده‌اند (اقتباس از سان و مکدانف، ۱۹۸۹). مریع‌ها نشانه سنگ‌های نفوذی منطقه کوه شاه- پرواز می‌باشند.

### ۲-۳-۶- اندیس اشباع از آلومینیم (به روش مانیار و پیکولی (۱۹۸۹))

در نمودار مانیار و پیکولی (۱۹۸۹) که نمونه‌ها از نظر اندیس اشباع بودن از آلومینیم بررسی گشته‌اند، نمونه‌های منطقه در محدوده پرآلومین و در مجاورت مرز دو محدوده پرآلومین و متاآلومین قرار می‌گیرند (شکل ۳۸-۲).



شکل ۳۸-۲: نمودار مانیار و پیکولی (۱۹۸۹). اکثر نمونه‌های منطقه در محدوده پرآلومین و در مجاورت مرز پرآلومین و متاآلومین قرار می‌گیرند (علاوه بر رفته مشابه شکل ۲-۳۵ می‌باشد).

در مجموع سنگ‌های محدوده مورد مطالعه خصوصیات مناطق فروزانش و قوس آتشفسانی را نشان می‌دهند. این سنگ‌ها پرآلومین بوده و ساب آلکالن و کالکوآلکالن هستند.

### ۲-۴- تکتونیک عمومی و زمین شناسی ساختمانی

از لحاظ ساختاری ورقه نگیسان دگرشكلي پيچيده‌اي را متحمل نشده است. رسوبات و ولکانيک‌های ائوسن بعد از ائوسن چین خورده و گسله شده‌اند و اين تغييرات احتمالاً همزمان با نفوذ باتوليت جبال بارز می‌باشد. اين توده باتوليتی ساختار عمومي طاقديسی با محور شمال باخترا-جنوب خاور را در زير سازنده‌ای بعد از ميوسن-پليوسن ايجاد می‌کند. ساختارهای موجود در منطقه به الگوی تکتونیک ناحیه‌ای و تاریخچه تکتونیک صفحه‌ای قاره‌ای که در كرتاسه بالائي و ترشياری صورت گرفته، نسبت داده می‌شود. الگوی گسل‌های منطقه نگیسان پيچيده است که دليل آن قرارگيري اين ورقه در منطقه تقاطع دو سیستم گسلی قاره‌ای می‌باشد. روند گسل‌های اصلی شمال باخترا-جنوب خاوری، شمالی-جنوبی و شمال خاوری-جنوب باخترا می‌باشد. علیرغم رابطه گسل‌ها با روند اصلی تکتونیکی، هیچ توسعه وسیعی از لحاظ برشهای گسلی و میلدونیتی

شدن وجود ندارد و در باتولیت، گسل‌ها بوسیله افزایش محلی در میزان درزه‌ها و درزه‌های نامنظم، به همراه از بین رفتن فابریک سنگ در طول محور گسل مشخص می‌شوند.

به طور کلی محدوده مورد مطالعه از نظر ساختاری متأثر از ماقماتیسم و جایگیری توده‌های نفوذی (به خصوص توده کوارتز مونزونیتی) می‌باشد. از نظر ساختمانی یک طاقدیس با روند محوری شمال باخترا-جنوب خاور را در سطح منطقه داریم که بخش‌هایی از یال شمالی آن را شامل می‌شود و محور طاقدیس در جنوب محدوده (خارج از محدوده) قرار دارد.

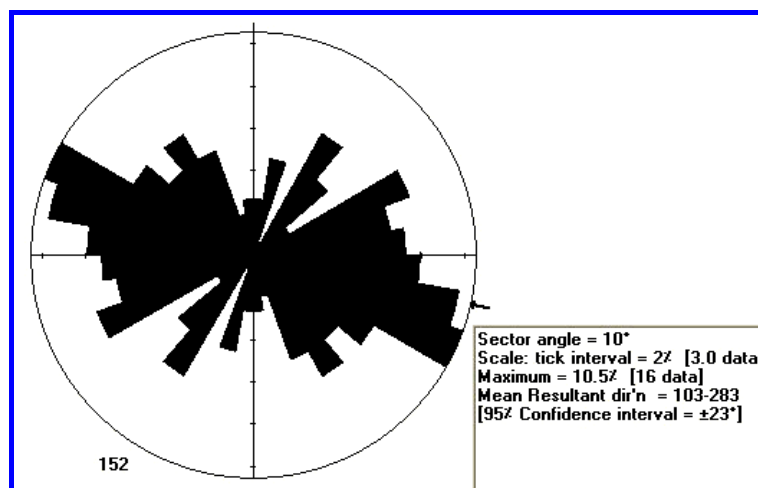
بر اساس رزدیاگرام فراوانی گسل‌های موجود در نقشه زمین شناسی ۱:۲۵,۰۰۰ محدوده مورد مطالعه شکل (۳۹-۲)، به طور کلی دو دسته گسل اصلی در محدوده مورد مطالعه وجود دارند که عبارتند از:

گسل‌های دارای امتداد NW-SE

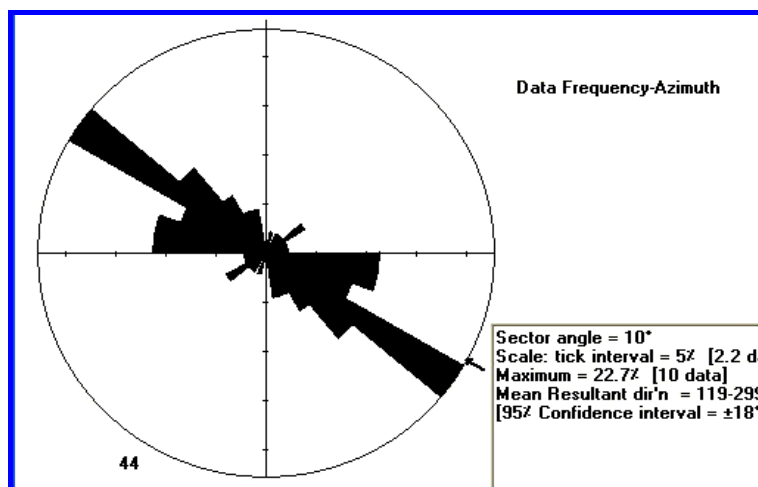
گسل‌های دارای امتداد NE-SW

دسته اول که در امتداد جایگیری توده‌های نفوذی بوده و معمولاً از طول قابل ملاحظه‌ای برخوردارند و عملکردشان از نوع شیب لغز (نرمال) است. حضور دایکهای آندزیتی که امتداد آنها به موازات این گسل‌ها بوده و به فراوانی در اطراف و حاشیه این گسل‌ها مشاهده می‌شوند، حاکی از تأثیر نیروهای کششی در حاشیه‌های توده‌های نفوذی و مؤید عملکرد عادی این گسل‌ها می‌باشد. زونهای اصلی دگرسانی معمولاً در ارتباط با این دسته گسل‌ها هستند. بر اساس نمودار گل سرخی، این دسته از گسل‌ها (با امتداد W-NW - E, SE)، فراوانترین گسل‌های موجود در منطقه می‌باشند. نمودار گل سرخی شکل ۴۰-۲ که بر اساس فراوانی روند دایکهای موجود در محدوده رسم گردیده، نشانده‌هندۀ این است که قسمت عمده دایکها در امتداد این دسته از گسل‌ها جایگزین شده‌اند که به نوعی بیانگر جهت نیروهای کششی نیز می‌باشد.

دسته دیگر، یکسری گسل با امتداد جنوب باخترا-شمال خاور هستند که از نظر طول و فراوانی نسبت به گروه قبل از اهمیت کمتری برخوردارند. از آنجائیکه معمولاً این دسته از گسل‌ها در ارتباط با توده‌های نفوذی هستند به نظر می‌رسد در اثر عملکرد این توده‌ها و نیروهای کششی در منطقه و یا اینکه به عنوان گسل‌های فرعی منشعب شده از گسل‌های اصلی (گسل‌های دسته اول)، تشکیل شده باشند.



شکل ۲-۳۹: رز دیاگرام فراوانی گسل‌های موجود



شکل ۲-۴۰: رز دیاگرام فراوانی روند دایکهای موجود

## ۵-۵-۵- گرسانی

تقریباً حدود ۴۰٪ از محدوده زیارت شاه- کماهی دگرسان شده است. در این منطقه می‌توان گسل‌هایی را به موازات هم و در امتداد زون‌های دگرسانی مشاهده کرد. شواهد نشان می‌دهند که دگرسانی وسیع در جنوب و جنوب خاوری محدوده زیارت شاه- کماهی توسط گسل‌های اصلی با روند شمال باختری- جنوب خاوری کنترل می‌شود. همچنین سایر زون‌های دگرسان شده موجود در محدوده نیز معمولاً در ارتباط با گسل‌های اصلی موجود در منطقه و یا گسل‌های فرعی حاصل از عملکرد آنها می‌باشند. در شکل (۴۱-۲) نقشه دگرسانی محدوده زیارت شاه- کماهی در قطع A3 و در پیوست گزارش نیز به مقیاس واقعی آورده شده است. لازم به ذکر است که جهت مطالعه دگرسانی در محدوده مورد مطالعه علاوه بر مقاطع نازک، در مجموع تعداد ۳۱ نمونه جهت آنالیز کانی شناسی به روش XRD برداشت شد که نتیجه کامل آنالیز نمونه‌ها در پیوست شماره ۴ آورده شده است.

بطور کلی در محدوده مورد مطالعه ۳ زون یا بخش اصلی دگرسان شده وجود دارند که عبارتند از:

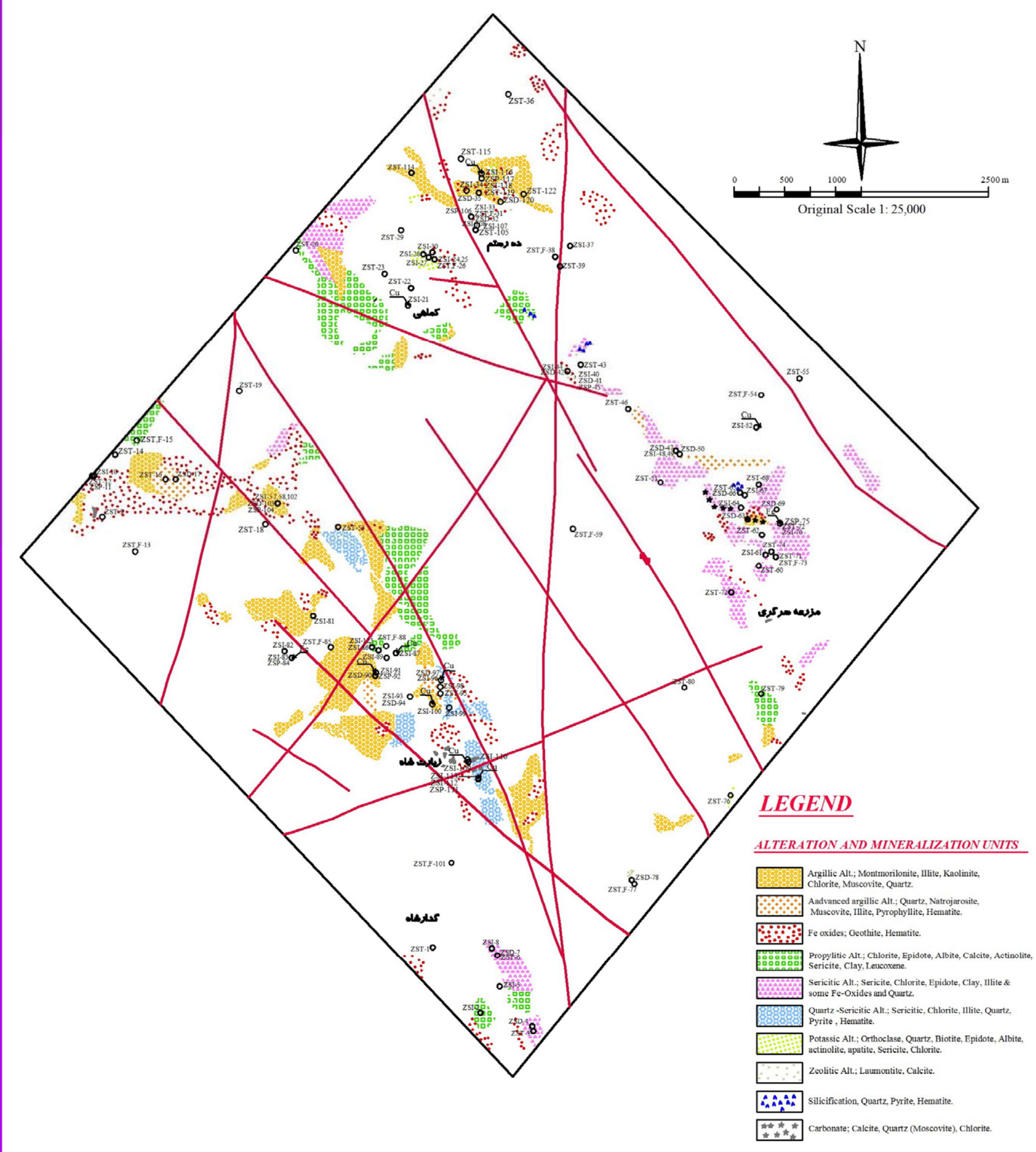
۱- زون دگرسانی اصلی موجود در منطقه که به صورت یک نوار با روند شمال باختری- جنوب خاوری در باختر محدوده و عمدتاً در واحد  $T^{\circ}$  قرار دارد.

۲- زون دگرسانی واقع در شمال محدوده مورد مطالعه (شمال ده رستم).

۳- زون دگرسانی واقع در خاور محدوده مورد مطالعه (شمال مزرعه سرگری)

مطالعات انجام شده در محدوده ۱:۲۵،۰۰۰ زیارت شاه- کماهی حاکی از وجود زون‌های دگرسان سریسیتیک، کوارتز- سریسیتیک، پروپیلیتیک، آرژیلیک پیشرفته، دگرسانی پتاسیک، سیلیسی شدن، کربناتی شدن، زئولیتی شدن و اکسیدهای آهن می‌باشد. در مواردی شدت دگرسانی به حدی است که تخریب کامل رخ داده و بافت و ساخت اولیه سنگ از بین رفته، بخصوص در مواردی که سیلیسی و آرژیلی شدن شدید انجام گرفته است. در این میان نقش گسل‌ها و خردشده‌گی در محدوده را نباید نادیده گرفت که باعث به هم ریختگی سنگ‌ها و افزایش شدت دگرسانی شده است. البته ماگماتیسم و جایگیری توده‌های نفوذی اصلی (بویژه توده کوارتز مونزونیتی) و نفوذهای فرعی (دایک‌ها) نیز در بوجود آمدن این زون‌های دگرسانی تأثیر داشته است. بیشترین وسعت و شدت دگرسانی در جنوب باختری و باختر محدوده، بیشتر بر روی توده کوارتز مونزونیتی و در شمال محدوده منطبق بر ولکانوکلاستیک‌های ائوسن رخ داده است. در ادامه به تفکیک به شرح دگرسانی‌های رخ داده در محدوده پرداخته می‌شود.

### Alteration map of Nagisan studied area



شکل ۲-۴: نقشه دگرسانی محدوده زیارت شاه-کماهی

در (شکل ۴۲-۲) نمونه‌ای از کانه‌زایی پیریت همراه با انواع ترکیبات مختلف در داخل رگچه‌های سیلیسی موجود در توده نفوذی اصلی کوارتز مونزونیتی مشاهده می‌گردد.

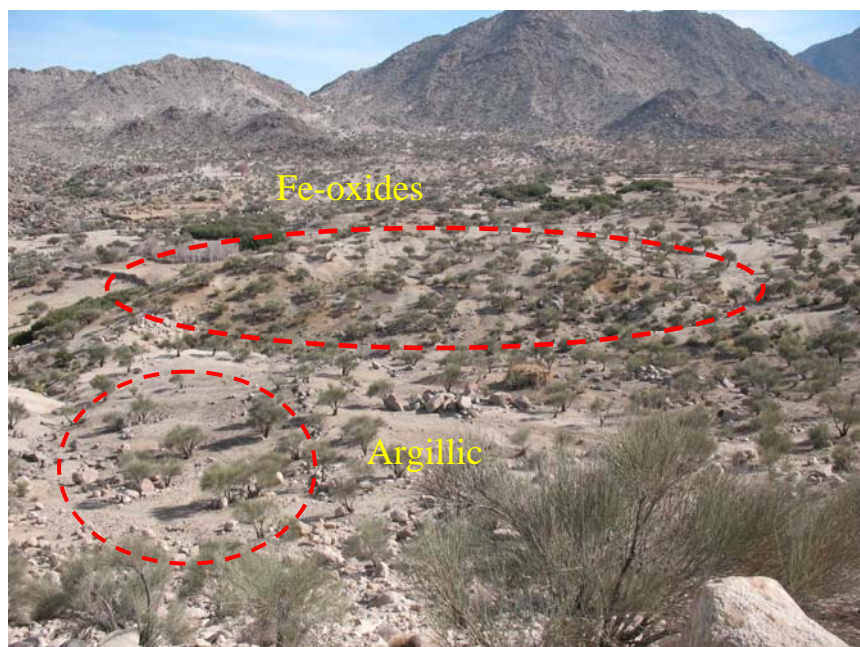


شکل ۴۲-۲: رگچه‌های سیلیسی موجود در توده کوارتز مونزونیتی (واحد  $T^g$ ) حاوی کانه‌زایی پیریت (دید به سمت شمال)

#### ۲-۱-۵-۱- دگرسانی آرژیلیک

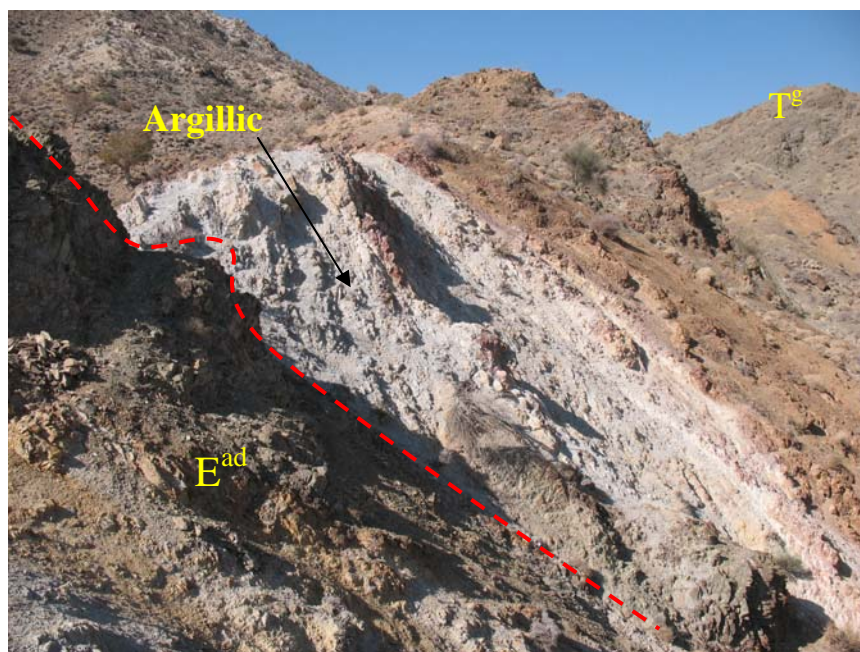
زونهای دگرسانی آرژیلیک در این محدوده نسبت به سایر دگرسانی‌های هیدروترمال از گسترش بیشتری برخوردارند. این زونهای دگرسانی را در محدوده زیارت شاه در ارتباط با دو تیپ سنگ مختلف و احتمالاً یک منشاء واحد است که به احتمال زیاد مربوط به نفوذ توده کوارتز مونزونیتی به داخل ولکانیکهای ائوسن می‌باشد. نوع اول که در داخل آندزیت و توفهای آندزیتی ائوسن ( $E^{ad}$ ) تشکیل شده است. معمولاً در شمال خاور محدوده قرار دارد و بیشتر در اطراف محل تماس توده نفوذی (واحد  $T^g$ ) با سنگهای آندزیتی و توفهای تشکیل شده است. در اینجا کانی‌های رسی شامل مونتموریلونیت و ایلیت می‌باشند و غالباً با انواع اکسیدهای آهن از قبیل لیمونیت و هماتیت و در مواردی با زئولیت (لامونیت) همراه است. بر اساس نمونه‌هایی که از بخش‌های مختلف دگرسانی آرژیلیک در محدوده مورد مطالعه جهت مطالعه کانی‌شناسی به روش XRD گرفته شده است، مجموعه کانی‌های این نوع دگرسانی شامل ایلیت، کائولینیت و کوارتز در فاز اصلی و مونتموریلونیت، کلریت، سریسیت در فاز فرعی می‌باشد. همراهی دگرسانی آرژیلیک و سیلیسی شدن در تمام نمونه‌های XRD دیده شده است به نحوی که در تمام آنها، کوارتز در فاز اصلی موجود است. نمونه‌های ZST-12, 18, 85, 18, 85 جهت مطالعه پتروگرافی از این زونهای دگرسانی گرفته

شد که نشان می‌دهد فلدوپاتها به مقادیر مختلف (بسته به شدت دگرسانی) به رس تبدیل شده‌اند و در مواردی که شدت دگرسانی بیشتر می‌باشد با سیلیسی شدن همراه است. در بخش‌های سیلیسی مذکور کانه‌زایی سولفیدی (پیریت) به صورت پراکنده در متن سنگ مشاهده گردید. نوع دیگر دگرسانی آرژیلیک در داخل خود توده کوارتز موئزونیتی بوقوع پیوسته است و گسترش آن معمولاً محدود به زون اصلی دگرسانی واقع در مرکز محدوده (شمال و خاور روستای زیارت شاه) می‌باشد (شکل ۴۳-۲). در بخش خاوری محدوده مورد مطالعه (زون دگرسان واقع در شمال سرگری)، کانی‌های رسی (غالباً ایلیت و کائولینیت) در همراهی با دگرسانی‌های کوارتز-سریسیتی، سیلیسی شدن و انواع اکسیدهای آهن مشاهده شده است (شکل ۴۴-۲).



شکل ۴۳-۲: نمایی از گسترش دگرسانی آرژیلیک همراه با اکسیدهای آهن در مرکز تصویر واقع در خاور روستای

زیارت شاه (دید به جنوب خاور).



شکل ۲-۴: نمایی از گسترش دگرسانی آرژیلیک در حاشیه واحد  $T^g$  و محل تماس آن با واحد  $E^{ad}$ , واقع در شمال پورکی (دید به سمت شمال خاور).

#### ۲-۱-۵-۲- دگرسانی آرژیلیک پیشرفته

وسعت این دگرسانی در محدوده مورد مطالعه قابل توجه نمی‌باشد و در بیشتر موارد در همراهی با زون‌های آرژیلیک، سیلیسی شده و اکسیدهای آهن مشاهده می‌گردد. توسعه دگرسانی آرژیلیک پیشرفته شدیداً توسط گسل‌ها و زون‌های شکستگی کنترل شده است و گاهی بصورت خطی در امتداد آن‌ها رخ داده است. بیشترین وسعت این دگرسانی به ترتیب در خاور (شمال مزرعه سرگری)، باخته محدوده (ده دادخدا) و زون دگرسانی اصلی محدوده (شمال زیارت شاه) به ترتیب در واحدهای  $E^{vt}$ ,  $T^g$  رخ داده است.

تشکیل این دگرسانی احتمالاً در شرایط تکتونیکی و فیزیکو شیمیایی مشابه محلول‌های هیدروترمال در سراسر محدوده، انجام گردیده است. در مجاورت این نوع دگرسانی معمولاً زون‌های سیلیسی نیز مشاهده می‌شوند (شکل ۲-۴). در نمونه‌های ZSD-17,47,50 که جهت مطالعه کانی‌شناسی به روش XRD از این زون‌های دگرسان برداشت شده‌اند، کانی‌های خاص دگرسانی آرژیلیک پیشرفته دیده می‌شود که از آن جمله می‌توان به کانی‌های ناتروژارویست، پیروفیلیت و کائولینیت اشاره کرد. در نمونه‌های فوق علاوه بر کانی‌های مذکور، مقادیری کوارتز، هماتیت، مسکویت و ایلیت نیز مشاهده می‌شود. همانطور که ذکر گردید این دگرسانی معمولاً در همراهی با زون‌های سیلیسی مشاهده می‌شود. در صورتی که زون‌های سیلیسی را نیز حاصل این

نوع دگرسانی بدانیم، در این صورت گسترش این دگرسانی در محدوده با وسعت بیشتری باید در نظر گرفت.

ضمناً ذکر این نکته ضروری است که کانی شاخص دگرسانی آرژیلیک پیشرفته یعنی آلوئیت در این مطالعه مشاهده نگردید و همچنین ناتروژارویست‌های مشاهده شده نیز می‌توانند مستقل از پدیده دگرسانی و در اثر فرآیندهای هوازدگی ایجاد شده باشند ولی حضور کانی پیروفیلیت (نمونه‌های ZSD-50,90) که نشانگر دمای و اسیدیت بالای محلول می‌باشد وجود این دگرسانی را تأیید می‌کند.

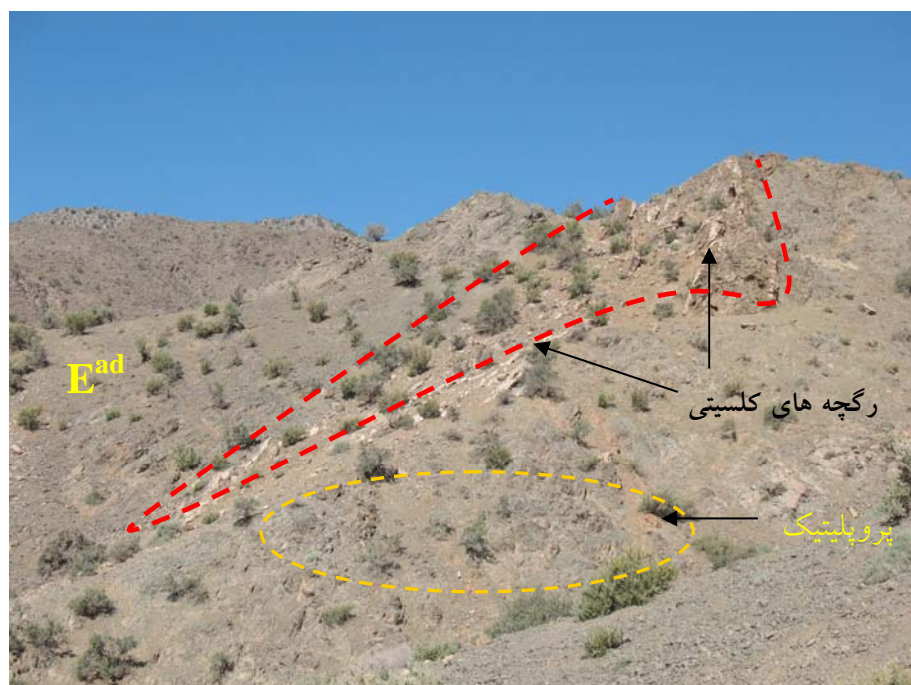


شکل ۲-۴۵: دگرسانی آرژیلیک پیشرفته در واحد  $T^g$  در زون دگرسانی اصلی محدوده سیلیسی شدن (به رنگ تیره) همراه با ترکیبات اکسیدی آهن به همراه این دگرسانی مشاهده می‌شوند (دید به سمت جنوب).

### ۲-۱-۳-۲- دگرسانی پروپیلیتیک

دگرسانی پروپیلیتیک به صورت مرکز در محدوده مورد مطالعه وسعت چندانی نداشته ولی تقریباً در بیشتر نقاط محدوده مورد مطالعه بویژه در حاشیه‌های تووده اصلی کوارتز مونزونیتی در مرکز محدوده با روند شمال باخترا - جنوب خاور قابل مشاهده است. دگرسانی پروپیلیتیک در سایر نقاط محدوده به صورت لکه‌های کوچک قابل تشخیص است. تووده کوارتز مونزونیتی ( $T^g$ )، تونالیتی ( $T^{gd}$ ) و تووده‌های کوچکتر میکرو کوارتز مونزونیتی ( $m^d$ ) و توفها ( $E^t$ ) و آندزیت‌های ( $E_1^a$ ،  $E_1^{ad}$ ) را می‌توان به عنوان سنگهایی که در آنها دگرسانی پروپیلیتیک رخداده است، نام برد (شکل ۶-۲). مشاهدات صحراوی وجود این دگرسانی را تأیید می‌کند. تعدادی از نمونه‌هایی که

جهت مطالعات پتروگرافی از این محدوده گرفته شده وجود این دگرسانی را تأیید می‌کند. از جمله آنها می‌توان به نمونه‌های ZST-38, 39 در شمال محدوده برداشت شده است، اشاره کرد. در این نمونه‌ها پلاژیوکلازاها بطور گستردگی به اپیدوت و نیز تا حدی به کانی‌های رسی، کلریت و کربنات تجزیه شده‌اند. کانی‌های فرومیزین به کلریت و کمی کربنات تجزیه شده است. همچنین در نمونه‌های ZST-1, 23, 31, 55, 62, 68, 71, 73, 79 که از واحدهای سنگی مختلف گرفته شده، و محل هر یک از آنها بر روی نقشه زمین‌شناسی ۱:۲۵۰۰۰ زیارت شاه-کماهی مشخص شده است، کانی‌های اپیدوت، سریسیت، کلریت، آلیت و کربنات گزارش شده که بیانگر دگرسانی پروپیلیتیک می‌باشد. نتایج کامل مطالعه این نمونه‌ها در پیوست ۱ آورده شده است.



شکل ۲-۶: نمایی از دگرسانی پروپیلیتیک شامل اپیدوتی و کلریتی شدن همراه با رگچه‌های کلسیتی در واحد  $E^{ad}$  واقع در شمال محدوده (دید به شمال).

#### ۲-۴-۱-۵-۲- دگرسانی سیلیسی

به نظر می‌رسد این دگرسانی در سیستم هیدروترمال زیارت شاه از اهمیت ویژه‌ای برخوردار باشد. زیرا که تقریباً در تمام زون‌های دگرسان به نوعی دیده می‌شود. از طرفی در مواردی کانه‌زایی سولفیدی (ترکیبات سولفیدی مس و حتی مس خالص (Native)) در متن رگه‌های سیلیسی رویت گردید.

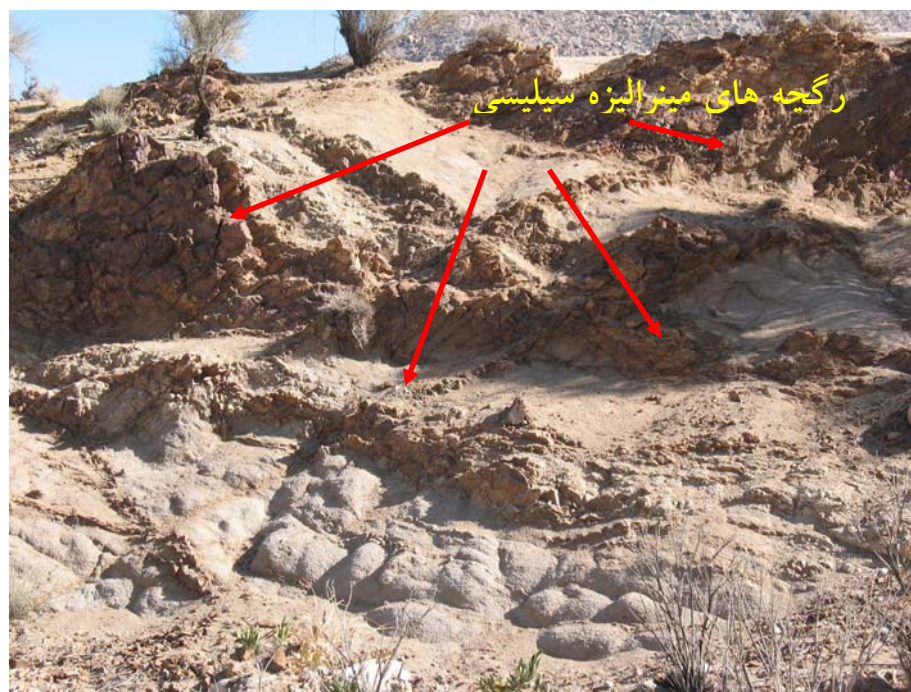
دگرسانی سیلیسی در محدوده مورد مطالعه از پراکندگی و توسعه چندانی برخوردار نیست. تمرکز عده این زونها را می‌توان در شمال، خاور و مرکز محدوده منطبق بر ولکانو سدیمنت‌های ائوسن بویژه واحد  $E_2^{vs}$ ,  $E^{vt}$  با روند NW-SE و همچنین در بخش‌هایی در داخل توده کوارتز مونزونیتی مشاهده کرد. سیلیسی شدن را در محدوده مورد مطالعه می‌توان به دو صورت رگه‌های سیلیسی و زون‌های غنی از سیلیس مشاهده نمود که در ادامه تشریح می‌شوند.

#### الف- رگه‌های سیلیسی

رگه‌های سیلیسی با ضخامت متوسط 10-70cm و ماکریم ضخامت ۱/۵ متر، در زون دگرسانی اصلی منطقه یعنی بخش‌های شمال و خاوری روستای زیارت شاه و در توده کوارتز مونزونیتی به صورت رگه و گاهی بلوک‌های سیلیسی مشاهده شده‌اند (شکل ۲-۴۷). روند این رگه‌ها اکثراً در دو امتداد شمال باختی-جنوب خاوری و شمال خاوری-جنوب باختی می‌باشد. این دو روند، روندهای اصلی گسل‌های این محدوده نیز می‌باشند. علاوه بر اکسیدهای آهن می‌توان در این رگه‌ها کانی‌سازی پیریت، کالکوپیریت، مالاکیت، ایلمنیت و مگنتیت را مشاهده کرد. نمونه‌هایی که از این رگه‌ها جهت آنالیز XRD برداشت شده، علاوه بر کوارتز، معرف حضور مقادیر کمی از کانی‌هایی همچون موسکویت (سریسیت)، ایلیت، گوتیت و ژارویت می‌باشد. از این رگه‌ها نمونه‌هایی جهت آنالیز شیمیایی (ICP) و مطالعات مینرالوگرافی گرفته شد که در بخش کانی‌زایی به شرح آنها پرداخته می‌شود.

#### ب- زون‌های غنی از سیلیس

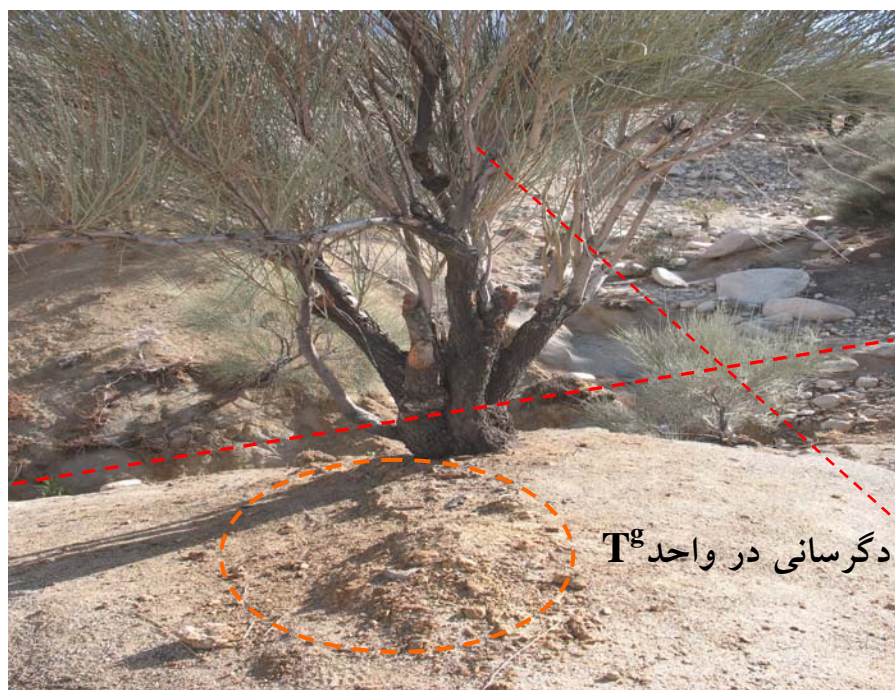
شکل دیگر دگرسانی سیلیسی در محدوده مورد مطالعه، زون‌های غنی از سیلیس هستند. این نوع دگرسانی سیلیسی در این محدوده گسترش چندانی ندارد. بزرگترین زون غنی از سیلیس را می‌توان در مرکز محدوده (جنوب دهرستم) در داخل توف‌های شیشه‌ای ( $E^{vt}$ ) مشاهده نمود. در اینجا علاوه بر سیلیس، زایش پیریت و اکسید تیتانیوم نیز رخ داده است. همچنین در نمونه‌ای که از این زون سیلیسی جهت آنالیز XRD گرفته شده، علاوه بر کوارتز، کانی‌های مسکویت (سریسیت) و ایلیت نیز دیده می‌شود. به غیر از زون فوق، این نوع دگرسانی را می‌توان در بخش‌های شمال، شمال خاور و خاور محدوده با وسعت کم مشاهده کرد که معمولاً در همراهی با دگرسانی آرژیلیک و در مواردی دگرسانی آرژیلیک پیشرفت‌های هستند. تعداد این زون‌های کوچک و لکه مانند، اندک بوده و آنها را می‌توان در محل حاشیه گسل‌ها و دایک‌ها مشاهده کرد. این زون‌ها در واحدهای توف شیشه‌ای  $E^{vt}$ , ولکانو سدیمنت‌های ائوسن  $E_2^{vs}$  و واحد آندزیت و داسیت آلتله  $E^{ad}$ , قابل مشاهده هستند.



شکل ۲-۴: رگه‌های سیلیسی مینزالیزه به شکل شبکه‌های متقطع در داخل توده کوارتز مونزونی واقع در زون دگرسان اصلی در خاور روستای زیارت شاه (دید به سمت خاور).

#### ۲-۱-۵-۲- دگرسانی کوارتز- سریسیتیک (دگرسانی فیلیک)

این دگرسانی عمدهاً در زون اصلی دگرسانی محدوده مورد مطالعه و در اطراف روستای زیارت شاه در همراهی با دگرسانی آرژیلیک بوقوع پیوسته است. از نظر توزیع لیتوژئوگرافی، این دگرسانی بیشتر واحد  $T^g$  را تحت تأثیر قرار داده است (شکل ۲-۴). تفکیک این دگرسانی از دگرسانی سریسیتیک بر این اساس بوده که کوارتز در اینجا جزو کانی‌های فاز اصلی است و از فراوانی بیشتری برخوردار است. همچنین مشاهده کانی‌های پیریت و هماتیت در این زون‌های دگرسانی باعث شد تا این زون‌ها را به عنوان زون دگرسانی کوارتز- سریسیتیک یا دگرسانی فیلیک در نظر بگیریم. نمونه‌های ZST-13,36,54 از این زون‌های دگرسانی گرفته شد که مطالعه پتروگرافی نمونه‌ها بیانگر حضور سریسیت، کلریت، سیلیس، هیدروکسیدهای آهن، کانی‌های رسی و کربنات ثانویه می‌باشد. همچنین نمونه‌های ZSD-52, ZSI-42 که از بخش‌های مختلف این زون‌های دگرسانی گرفته شده، مورد مطالعه کانی‌شناسی به روش XRD قرار گرفت، نشانگر حضور سریسیت، کوارتز و ایلیت به عنوان فاز اصلی و کانی‌های کلریت، پیریت و ژاروسیت به عنوان فاز فرعی می‌باشد.



شکل ۲-۸؛ نمایی از دگرسانی کوارتز- سریسیتیک شامل سریسیت، کوارتز، ژاروسیت و پیریت‌های اکسیده در حاشیه دو گسل متقطع (مرکز تصویر) در واحد  $T^g$ . واقع در شمال خاوری روستای زیارت شاه (دید به سمت شمال خاور).

#### ۶-۱-۵-۲- دگرسانی سریسیتیک

این نوع دگرسانی در محدوده مورد مطالعه از گسترش قابل توجهی برخوردار است و بیشترین گسترش را همراه با دگرسانی آرژیلیک در منطقه دارد. بطوریکه در بخش‌هایی از جنوب، خاور، شمال و باخترا محدوده مورد مطالعه این زون‌های دگرسانی توسعه یافته‌اند اما در جنوب (عمدتاً در واحد  $T^g$ ) و خاور (واحد  $T^g$  و ولکانیک‌های ائوسن) محدوده مورد مطالعه از گسترش بیشتری برخوردار می‌باشد. زون‌های دگرسانی سریسیتی معمولاً در اطراف گسل‌ها و همچنین حاشیه‌های توده کوارتز مونزونیتی و محل تماس آن با ولکانیک‌های قدیمی‌تر، بصورت باندهایی با روند شمال باختری- جنوب خاوری، رخ داده است. نکته قابل توجه، ارتباط فضایی نزدیک بین این نوع دگرسانی با زون‌های دگرسانی اکسیدهای آهن می‌باشد، بطوریکه زون‌های کوچک و پراکنده اکسیدهای آهن معمولاً در حاشیه‌های این زون‌های دگرسانی تشکیل شده‌اند.

نمونه‌های ZST-3,6,12,15,22,43,46,51,53,59,65,72 از بخش‌های مختلف زون‌های دگرسانی سریسیتی در محدوده زیارت شاه- کماهی برداشت شده که همه بیانگر پدیده دگرسانی سریسیتی می‌باشند. به این ترتیب که در اکثر آنها کانی‌های فیلوسیلیکاته (سریسیت و کلریت) به همراه مقادیری اپیدوت، کانی‌های رسی و مقادیر کمی اکسیدهای آهن و بعضًا کوارتز قابل مشاهده

است. نمونهایی که برای مطالعه کانی‌شناسی به روش XRD گرفته شده، نیز موید مجموعه کانی‌های دگرسانی سریسیتیک می‌باشند.

#### ۷-۱-۵-۲- دگرسانی پتاسیک

این دگرسانی از توسعه چندانی در محدوده مورد مطالعه برخوردار نمی‌باشد. تنها در قسمت‌هایی از دنباله جنوبی زون دگرسانی اصلی منطقه بر روی واحد  $T^{\text{g}}$  و همچنین در حاشیه‌های توده میکروکوارتز مونزودیوریتی در شمال ده رستم، اثراتی مشکوک به دگرسانی پتاسیک مشاهده می‌گردد. در نظر گرفتن این عنوان برای زون‌های دگرسانی مذکور بر مبنای مشاهده اورتوز و بیوتیت ثانویه در مشاهدات صحرایی بوده و همچنین در مطالعات میکروسکوپی دو نمونه به شماره‌های ZST-1,54 که به ترتیب از توده کوارتز مونزونیتی و یک دایک میکرومونزودیوریتی گرفته شده، علاوه بر وجود بیوتیت‌های اولیه، آمفیبولها نیز تا حدی بیوتیتی شده‌اند که تشکیل بیوتیت‌های نوفورمه و نیز جانشینی پلاژیوکلازها بطور جزئی به آلکالی فلدسپات، میتواند بیانگر تأثیر محلول‌های متاسوماتیکی پtas دار بر سنگ‌های مورد مطالعه باشد.

لازم به ذکر است که این زون‌های دگرسانی پتاسیک در ناحیه مورد مطالعه، ارتباطی با دگرسانی پتاسیک شاخص سیستم‌های پورفیری ندارد و نباید با آن اشتباه شود. زیرا که در اینجا زون‌های دگرسانی از نظم و منطقه‌بندی خاصی پیروی نمی‌کنند و معمولاً در اطراف گسل‌ها و زون‌های شکستگی به صورت محلی و پراکنده تشکیل شده‌اند.

#### ۸-۱-۵-۲- دگرسانی زئولیتی

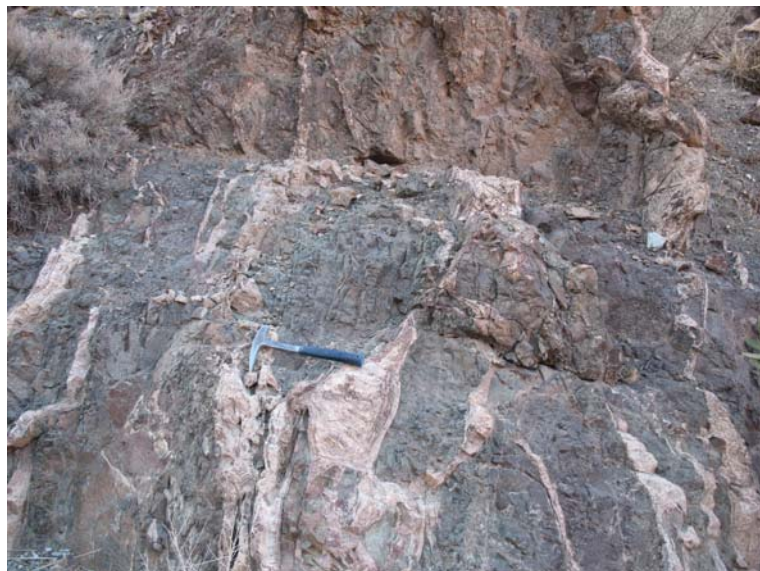
توسعه این دگرسانی در محدوده مورد مطالعه، محدود به توسعه دگرسانی آرژیلیک می‌باشد. بیشترین گسترش آن در خاور محدوده و شمال مزرعه سرگردی می‌باشد. همچنین در زون دگرسان زیارت‌شاه و ده رستم نیز معمولاً اثراتی از لامونیت (نوعی زئولیت) در همراهی با کانی‌های رسی موجود می‌باشد که می‌تواند از تأثیر محلول‌های گرمابی بر روی توف‌ها و همچنین نفوذی‌های اسیدی بوجود آمده باشد. در نمونه‌های ZSD-32,63,66,69,78 که مورد مطالعه کانی‌شناسی به روش XRD قرار گرفته‌اند، کانی لامونیت به عنوان فاز اصلی و فرعی گزارش شده‌است. همچنین در مشاهدات صحرایی (شکل ۴۹-۲) و مطالعه مقاطع نازک گرفته شده از این سنگ‌ها نیز زئولیت را تایید می‌کند.



شکل ۲-۴۹: نمایی از لامونیت به شکل رگه و رگچه‌های سفید رنگ در داخل واحد  $E^{mt}$  در جنوب خاوری محدوده

#### ۲-۵-۱-۹- دگرسانی کربناتی

منظور از دگرسانی کربناتی در اینجا رگه و رگچه‌های غالباً کلسیتی است که معمولاً به صورت شبکه‌های نامنظم در ولکانیک‌های اثوسن و همچنین در حاشیه‌های توده تونالیتی به ترتیب در شمال و خاور محدوده مورد مطالعه تشکیل شده است (شکل ۲-۵۰). علاوه بر کلسیت، در رگه‌های فوق معمولاً مقدار کمی کوارتز و بعضاً کلریت نیز مشاهده می‌گردد.



شکل ۲-۵۰: رگه و رگچه‌های کلسیتی در داخل واحد  $E^{ad}$ ، جنوب ده رستم (دید به سمت شمال‌خاور)

## ۲-۵-۲- ارتباط زمانی- مکانی فرآیندهای مختلف دگرسانی

با توجه به شواهد ذکر شده، پاراژنز کانی‌ها و وجود چشمه‌های تراورتن ساز و فعالیتهای هیدروترمال، بطور کلی دگرسانی و کانی‌سازی در محدوده مورد مطالعه در ارتباط با سیستم‌های هیدروترمال حاصل از جایگیری توده‌های نفوذی در راستای گسلهای با امتداد شمال باخترا-جنوب خاور بوده است که البته با توجه به حوادث ماگمایی و هیدروترمال بعدی انواع دگرسانی‌ها از قبیل پروپیلیتی، سریسیتی و آرژیلی شدن را ایجاد کرده‌اند. با توجه به ارتباط مکانی نزدیک و غیر قابل انکار زونهای دگرسانی با گسترش سنگهای نفوذی در محدوده مورد مطالعه، ترتیب زمانی تشکیل انواع دگرسانی در ارتباط با مراحل تکوین، تفریق و رخدادهای هیدروترمال حاصله از سیستم‌های نفوذی می‌باشد.

## فصل سوم: زمین شناسی اقتصادی

### ۱-۳- کانه‌زایی فلزی

با توجه به جایگاه زمین شناسی خاص و حوادث متعدد مأگماتیسم، همچنین حضور گستره ا نوع دگرسانی ها و شواهد مشکوک به سیستم پورفیری و یا سیستمهای مرتبط با توده های نفوذی در محدوده زیارت شاه، ارزیابی و بررسی کانه‌زایی در این منطقه از اهمیت بالایی برخوردار است. البته شواهدی در دست است که احتمال وجود کانه‌زایی تیپ پورفیری را در محدوده با تردید روبرو می‌کند که از آنها می‌توان به مواردی اشاره کرد: بین دگرسانی های کوارتز- سریسیتی (فیلیک)، آرژیلی و ... نظم خاص سیستم های پورفیری وجود ندارد و معمولاً روند توسعه دگرسانی ها به صورت خطی هم راستا با روند اصلی منطقه یعنی شمال باخته - جنوب خاور می‌باشد که به احتمال فراوان مرتبط با سیستم های گسله نرمال و در ارتباط با حوادث بعد از مأگماتی نفوذ توده کوارتز مونزونیتی است.

بطور کلی کانی سازی در محدوده زیارت شاه- کماهی در ارتباط با زونهای دگرسانی می‌باشد. زونهای کانی سازی اصلی موجود بر اساس گسترش زونهای دگرسانی در محدوده، به ۳ بخش تقسیم می‌شوند که عبارتند از:

کانی سازی واقع در باخته محدوده (زیارت شاه- ده دادخدا)

کانی سازی واقع در شمال محدوده (شمال ده رستم)

کانی سازی واقع در خاور محدوده (مزروعه سرگری- پورکی)

در ادامه به تفکیک شرحی از کانی سازی در هر یک از زونهای دگرسانی ارائه می‌گردد:

### ۱-۱-۳- زون دگرسانی واقع در باخته محدوده (زیارت شاه- ده دادخدا)

این زون دگرسانی بصورت یک نوار با امتداد شمال باخته- جنوب خاوری با پهنهای متوسط چندصد متر تا یک کیلومتر، از جنوب تا باخته محدوده مورد مطالعه و در امتداد یک گسل نرمال گسترش دارد. کانی سازی در این محدوده عمدهاً در ارتباط با پدیده سیلیسی شدن می‌باشد که بیشتر در واحد  $T^g$  و در مواردی در واحد  $T^{gd}$  رخ داده است. در بخش هایی که سیلیسی شدن شدیدتر بوده، بویژه در قسمت های جنوب خاوری زیارت شاه و منطقه نابلدیه (حدود یک کیلومتری شمال زیارت شاه)، نمونه های برداشته شده از عیار بالاتری برخوردارند.

کانی سازی قابل رویت شامل کانی سازی مس به اشکال مالاکیت، کالکوپیریت و در موارد نادری مس طبیعی می باشد. علاوه بر آن، بلورهای معمولاً هوازده پیریت، مگنتیت و اکسیدهای آهن قابل مشاهده هستند (شکل ۱-۳). در زون دگرسانی مذکور پدیده سیلیسی شدن را به ۳ شکل می توان مشاهده نمود که عبارتند از:

#### الف- زون‌های سیلیسی

ب - رگه‌های سیلیسی در همراهی با اکسیدهای آهن

ج - رگچه‌های سیلیسی و سیلیسی شدن در متن واحد کوارتز مونزونیتی



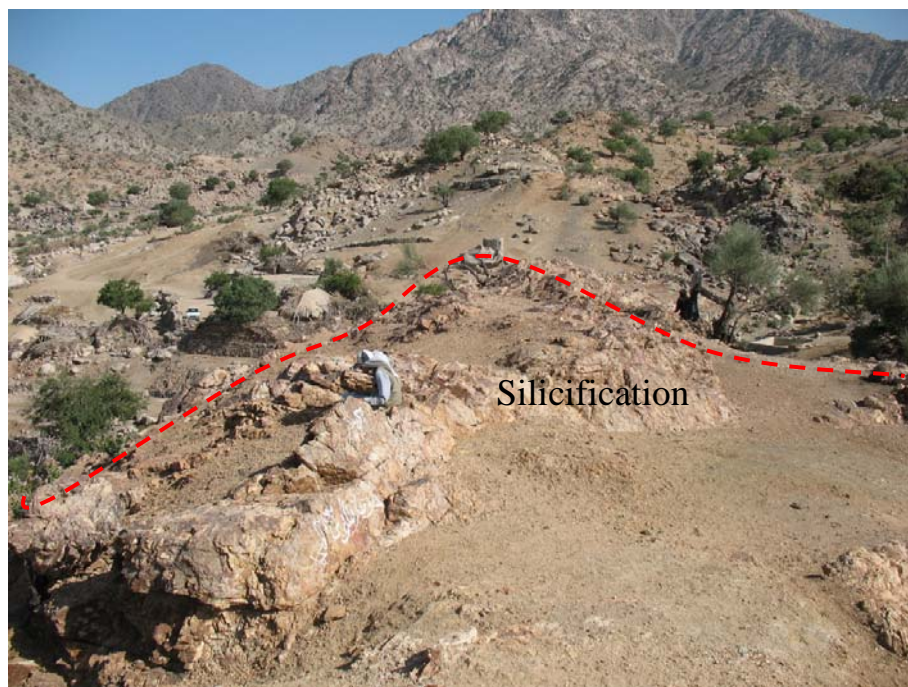
شکل ۱-۳: کانی سازی مالاکیت در همراهی با اکسیدهای آهن (هماتیت- لیمونیت) در یک رگه سیلیسی موجود در نابالدیه (دید به سمت غرب)

#### الف- زون‌های سیلیسی

در جنوب خاوری روستای زیارت شاه، سیلیسی شدن با ابعاد چند ده متر و در امتداد شکستگی‌ها رخ داده است (شکل ۲-۳). نمونه‌هایی از بخش‌های مینرالیزه این زون‌های سیلیسی گرفته شد. در زون‌های مذکور سیلیسی شدن بسیار شدید است و معمولاً لکه‌هایی از ژاروسیت با فراوانی کمتر و اکسیدهای آهن (لیمونیت و گوتیت) بصورت آغشته‌گاهی در سطوح سنگ‌ها تشکیل شده‌اند.

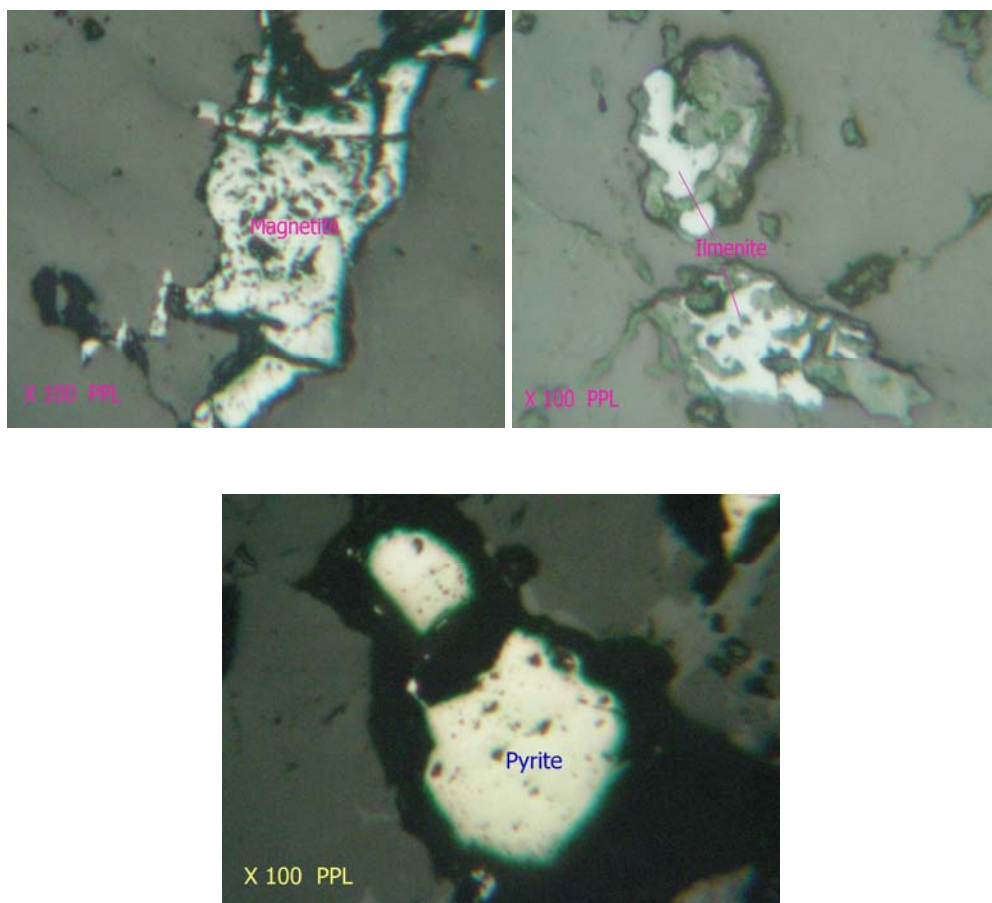
نمونه شماره ZSP-111 از رخنمون سیلیسی واقع در ۱۵۰ متری جنوب خاور امامزاده زیارت شاه گرفته شد که نتیجه کامل مطالعه مینرالوگرافی آن در پیوست شماره ۲ آورده شده و در اینجا

بطور خلاصه به آن اشاره می‌شود. مجموعه شکل (۳-۳) نمایی از مقطع میکروسکوپی این نمونه می‌باشد.



شکل ۳-۳: سیلیسی شدن با ابعاد چند ده متر، در امتداد شکستگی‌ها در جنوب خاوری روستای زیارت‌شاه (دید به سمت جنوب‌شرق)

کانه‌های مشاهده شده در نمونه ZSP-111 شامل منیتیت، ایلمنیت، پیریت و هیدروکسید آهن می‌باشد. فراوانی منیتیت در این نمونه حدود ۱٪ است. منیتیت‌ها در حال دگرسانی بوده و محصولات این دگرسانی نیز هماتیت و هیدروکسید آهن است. ایلمنیت نیز به صورت ذرات بی‌شکل پراکنده با ابعاد حدود ۵۰ الی ۱۰۰ میکرون با فراوانی ۱٪ الی ۲٪ در نمونه وجود دارد. پیریت دارای فراوانی ۴٪ الی ۶٪ است. دانه‌های آن نیمه اتومرف و درشت هستند و گاهی تا ۱ میلی‌متر می‌رسند. پیریت‌ها عموماً سالم هستند و اثراتی از هوازدگی در آنها مشاهده می‌شود. پیریت‌ها داخل فضاهای خالی مناسب و گاه در شکستگی‌ها استقرار یافته‌اند. هیدروکسیدهای آهن مثل لیمونیت و گوتیت نیز علاوه بر جانشینی بجای منیتیت و هماتیت‌های حاصل از دگرسانی آنها به صورت نابرجا نیز وارد محیط شده و در فضاهای خالی استقرار یافته‌اند. فازهای اکسیدی نمونه نظیر ایلمنیت و منیتیت اولیه بوده و فاز سولفیدی یعنی پیریت بعداً تشکیل شده است. دو نمونه ZSI-112,113 از این زون‌های سیلیسی برداشت شده در هیچکدام غنی‌شدگی خاصی گزارش نشده است.



شکل ۳-۳: نمایی از مقاطع میکروسکوپی نمونه شماره ZSP-111، از رخنمون سیلیسی.

### ب- رگه‌های سیلیسی همراه با اکسیدهای آهن

قسمت عمده‌ای از کانی‌سازی در زون مینرالیزه باخته محدوده به فرم رگه‌هایی با ضخامت ۰/۵ تا یک متر و طول چند (و به ندرت تا چند ده) متر در اطراف زیارت شاه و منطقه نابلدیه، تشکیل شده است (شکل ۳-۴). برخی از این رگه‌ها و زون‌های سیلیسی در نقشه زمین‌شناسی محدوده نمایش داده شده‌اند. با توجه به ابعاد این رگه‌ها و زون‌های سیلیسی و مقیاس نقشه، رگه‌های مذکور با اغراق و بدون توجه به مقیاس رسم گردیده‌اند. در اطراف این رگه‌ها معمولاً دگرسانی آرژیلیک و آرژیلیک پیشرفته همراه با اکسیدهای آهن مشاهده می‌شوند. نمونه شماره ZSI-54 حاوی بیشترین مقدار طلا با عیار ۲۴۳۰ میلی گرم درتن در محدوده مورد مطالعه بوده که متعلق به رگه مینرالیزه‌ای بوده که در جنوب ده دادخدا قرار دارد (شکل ۳-۶). نمونه ZSP-104 از این رگه برای مطالعات مینرالوگرافی برداشت گردید که خلاصه نتیجه مطالعه مینرالوگرافی آن به شرح ذیل است:

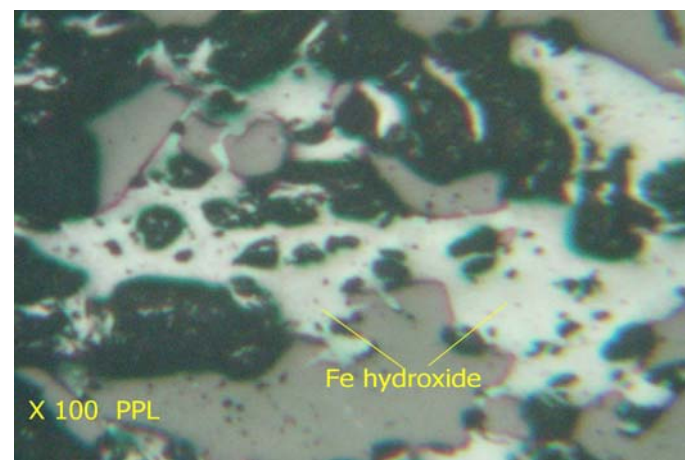
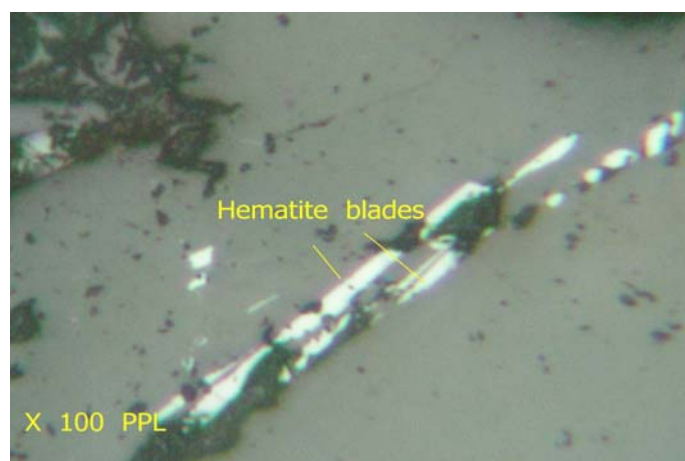
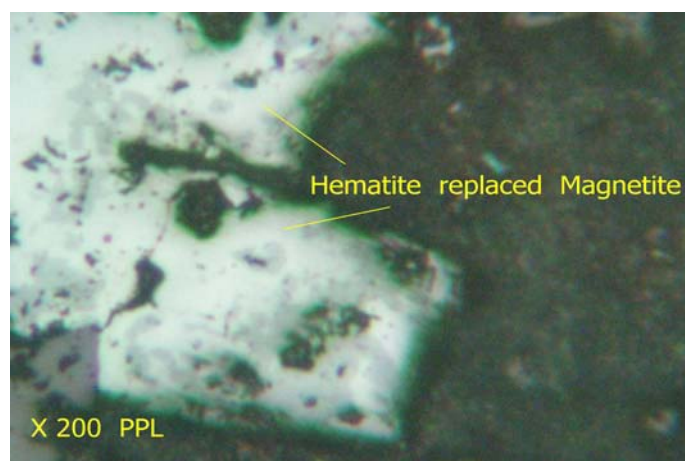
کانه‌های (Ores) موجود در این نمونه عبارتند از: منیتیت، هماتیت و هیدروکسید آهن. فراوانی منیتیت حدود ۳٪ بوده است. منیتیت‌های مذکور در اثر دگرسانی سوپرژن به هماتیت و گاهی به

هیدروکسید آهن تبدیل گشته‌اند. این منیتیت‌ها اتومرف بوده و ابعاد آنها بین ۵۰ الی ۲۰۰ میکرون بوده است. بجز هماتیت‌هایی که جانشین منیتیت شده‌اند، هماتیت‌های تیغه‌ای شکل نیز در نمونه به مقدار کم (زیر ۱٪) مشاهده می‌گردد. ابعاد این هماتیت‌ها حداقل ۱۵۰ میکرون است. هیدروکسیدهای آهن نظیر لیمونیت و گوتیت در این نمونه از دو منشاء می‌باشند. یکدسته جانشین هماتیت‌هایی گشته‌اند که خود هماتیت‌ها حاصل جانشینی منیتیت‌ها بوده‌اند. دسته‌ای دیگر نابرجا بوده که وارد محیط شده و داخل درز و شکاف‌ها و حفرات استقرار یافته‌اند. شکل (۳-۵) نمایی از قطع میکروسکوپی این نمونه می‌باشد.

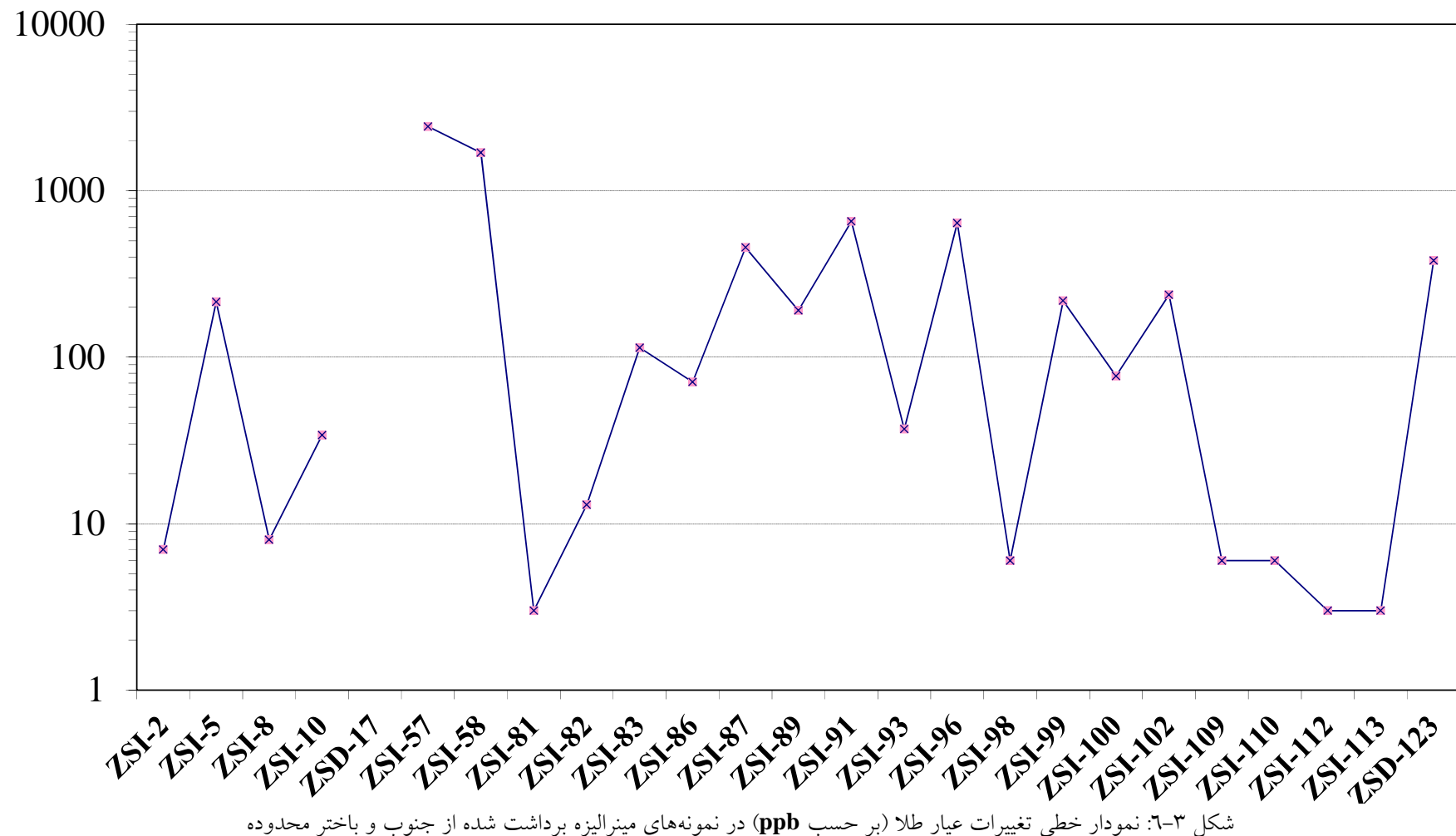


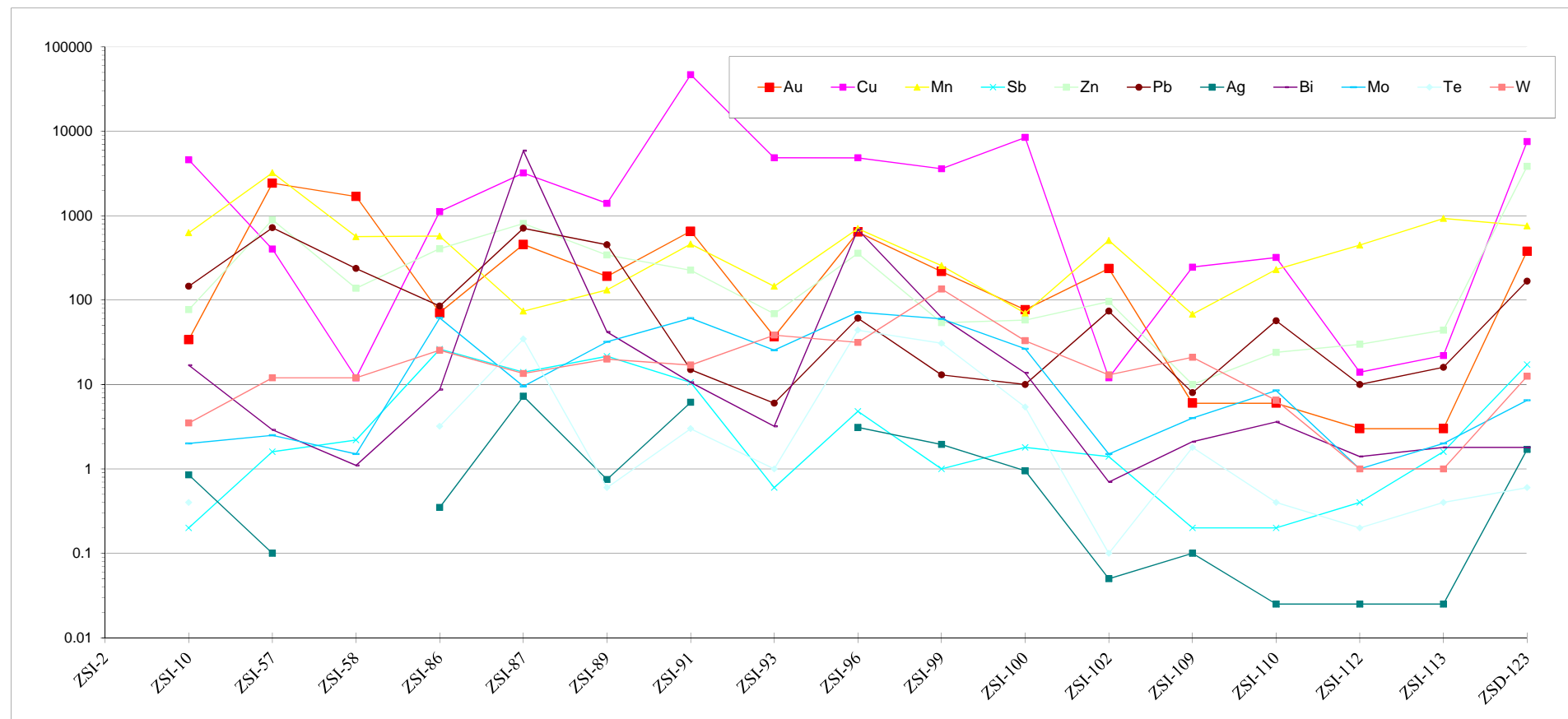
شکل ۳-۴: نمایی از یک رگه سیلیسی با امتداد شمالی-جنوبی همراه با آرژیلی شدن شدید و اکسیدهای آهن در باخترا محدوده (محل برداشت نمونه‌های ۵۷,۵۸)، (دید به سمت شمال باخترا)

تعداد ۱۸ نمونه از رگه‌های سیلیسی فوق جهت آنالیز ICP برداشت گردید. نتایج بدست آمده از آنالیز نمونه‌ها حاکی از عیار قابل توجه عناصر Au,Cu,Ag,As و Bi و تا حدودی Te و Mo,W می‌باشد (شکل ۳-۷). در اشکال ۳-۸ و ۳-۹ پلان نقشه زمین‌شناسی، دگرسانی و جانمایی رگه‌های سیلیسی و زون‌های سیلیسی دو محدوده واقع در شمال و خاور روستای زیارت‌شاه آورده شده است.

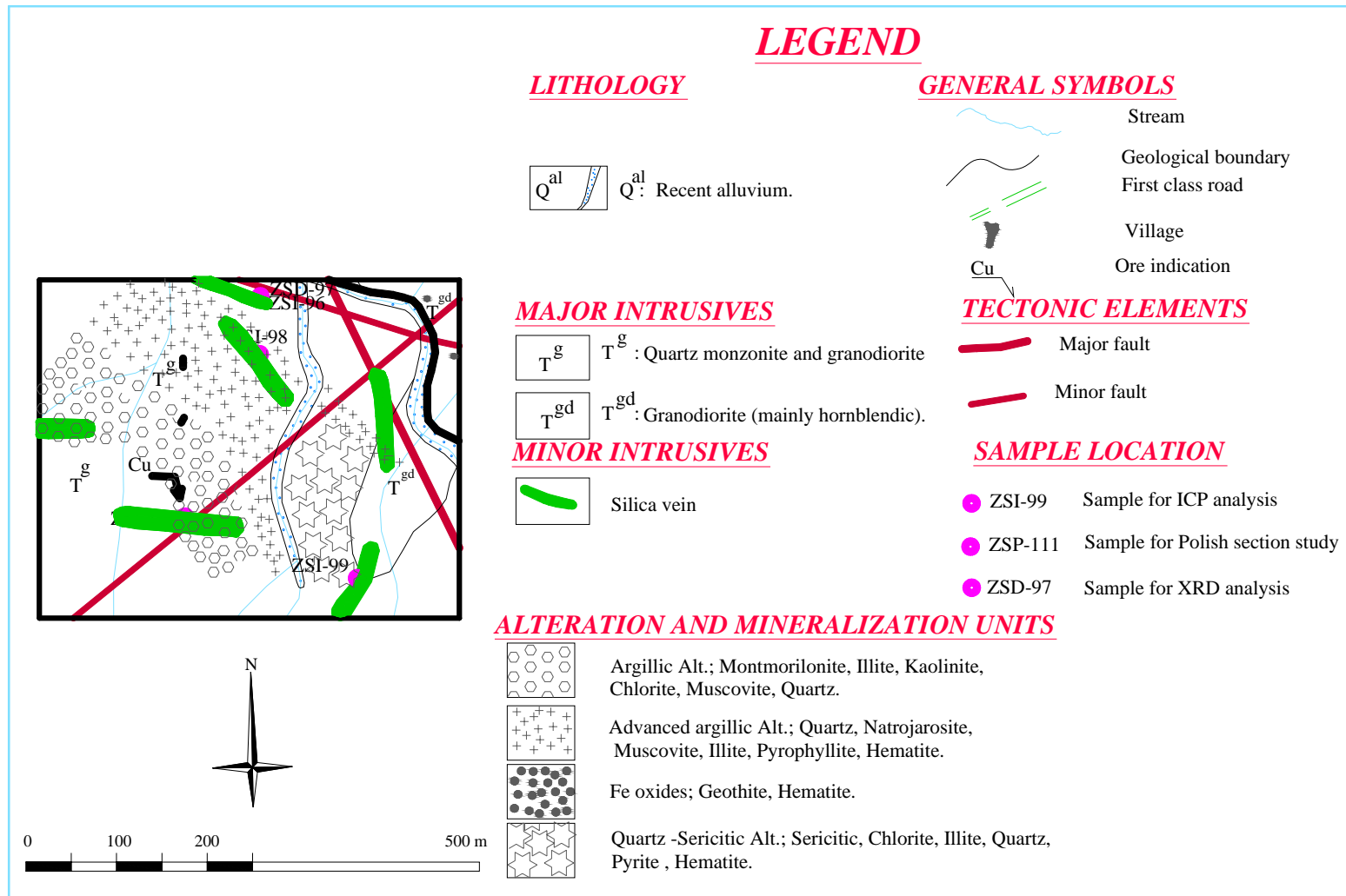


شکل ۳-۵: نماهایی از مقطع میکروسکوپی نمونه شماره ZSP-104، از رگه سیلیسی.

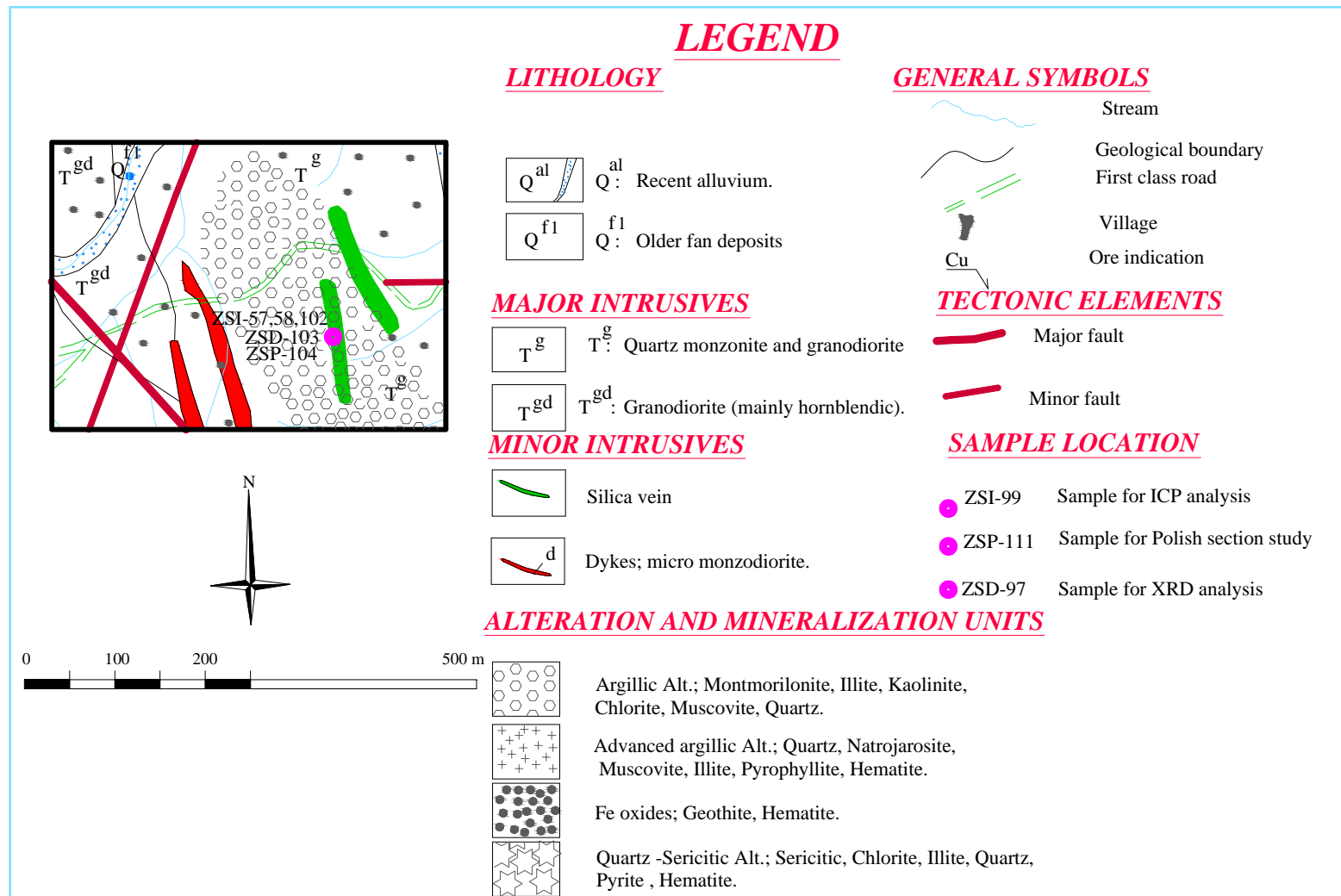
شکل ۳-۶: نمودار خطی تغییرات عیار طلا (بر حسب **ppb**) در نمونه‌های میترالیزه برداشت شده از جنوب و باخته محدوده



شکل ۳-۷: نمودار خطی تغییرات عیار ۱۸ نمونه برداشت شده از رگه‌های سیلیسی جنوب و با ختر محدوده (طلاء بر حسب ppb و بقیه بر حسب ppm)



شکل ۳-۸: پلان نقشه زمین شناسی، دگرسانی و جانمایی رگه‌های سیلیسی واقع در شمال روستای زیارت‌شاه.



شکل ۳-۹: پلان نقشه زمین شناسی، دگر سانی و جانمایی رگه های سیلیسی و زون سیلیسی واقع در حوالی روستای زیارت شاه

بیشترین مقدار طلا  $2/4 \text{ ppm}$  بوده (شکل ۶-۳) که از رگه‌های سیلیسی جنوب ده دادخدا (شکل ۵-۳) برداشت شده است. این نمونه (ZSI-57) هر چند حاوی بیشترین مقدار Pb, Zn و Mn (شکل ۷-۳) می‌باشد، اما عیار عناصر مذکور در حد کانی‌سازی نیست و عیار عناصر Bi و Te, Cu, Sb, Ag, As در این نمونه قابل توجه است. شکل (۱۲-۳) پلان زمین‌شناسی - دگرسانی تپیه شده از محدوده بستر نمونه ZSI-57 را نشان می‌دهد.

هر چند مقدار عیار مس در نمونه‌های گرفته شده از این رگه‌ها بین  $0/3$  تا  $4/7$  درصد (شکل ۱۳-۳) در نوسان است، اما با توجه به گسترش سطحی این رگه‌ها و با توجه به این عیارها، مس نمی‌تواند به عنوان عنصر اصلی از نظر اقتصادی در خور توجه باشد. مگر آنکه گسترش کانی‌سازی در اعماق بیشتر باشد.

#### ج- رگه‌های سیلیسی و سیلیسی شدن در متن واحد کوارتز مونزونیتی

در زون مینرالیزه باختر محدوده علاوه بر رگه‌های سیلیسی، یکسری رگه‌های سیلیسی با ضخامت چند میلی متر تا چند سانتیمتر نیز مشاهده می‌گردند (شکل ۱۰-۳) که بعضًا یکدیگر را قطع کرده و فرم استوک ورک مانند پیدا کرده‌اند. این رگه‌ها معمولاً تا حدودی لیمونیتی شده‌اند. در این رگه‌ها مینرالیزاسیون قابل رویت به ندرت دیده می‌شود که شامل مگنتیت و مالاکیت است. در برخی موارد در همراهی با این رگه‌ها مینرالیزاسیون مس در متن کوارتز مونزونیت انجام گرفته است که در اینجا نیز کانی‌سازی قابل رویت شامل مگنتیت و آغشته‌گاهی از مالاکیت است.

لازم به ذکر است که رگه‌های سیلیسی مذکور از نظر پاراژنز کانیایی و محتوای عناصر با ارزش، مشابه رگه‌های سیلیسی هستند و تفاوت این دو بیشتر در ابعادشان می‌باشد. در دو نمونه‌ای که از این بخش مینرالیزه موجود در واحد  $T^g$  جهت آنالیز ICP گرفته شد (ZSI-82,83)، که به ترتیب دارای مقادیر  $12$  و  $14$  میلی‌گرم بر تن طلا هستند. مقدار آهن در نمونه  $83$  به  $36,4$  درصد رسیده است که ناشی از تشکیل مگنتیت فراوان هیدروترمالی است.

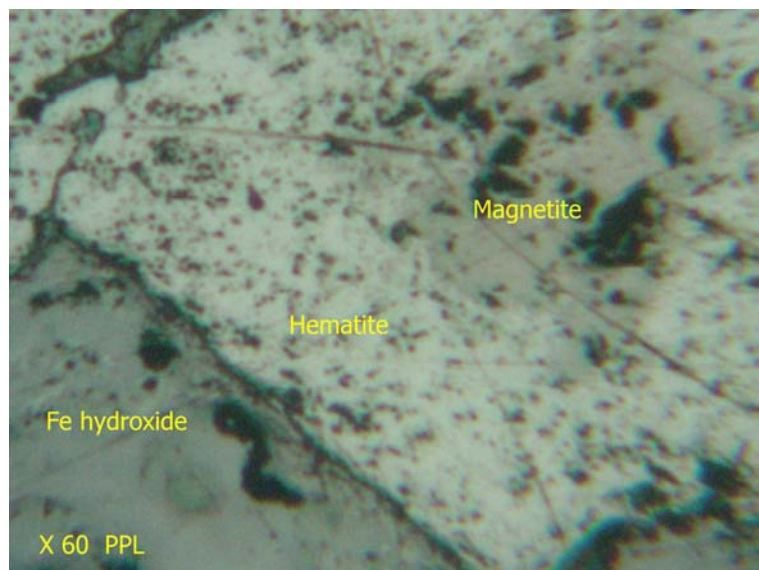
نمونه شماره ZSP-84 از بخش سیلیسی شده واحد  $T^g$  در نزدیک روستای زیارت شاه گرفته شد که خلاصه نتیجه مطالعه مینرالوگرافی آن به شرح زیر است:

این نمونه در حدود  $8\%$  منیتیت داشته است. دانه‌های منیتیت اتومورف بوده و ابعاد آنها تا  $1$  میلی متر هم می‌رسیده است که به طور فشرده و موزائیکی در کنار هم قرار گرفته بوده‌اند ولی هم اکنون در اثر دگرسانی سوپرژن درصد زیادی از آنها توسط هماتیت جانشین گشته است و فقط حدود  $10\% \text{ to } 15\%$  منیتیت‌ها باقیمانده و بقیه به هماتیت تبدیل شده‌اند. منیتیت‌های باقیمانده عموماً در قسمت وسط دانه‌ها قرار داشته و اطراف آنها توسط هماتیت دربر گرفته شده است. در

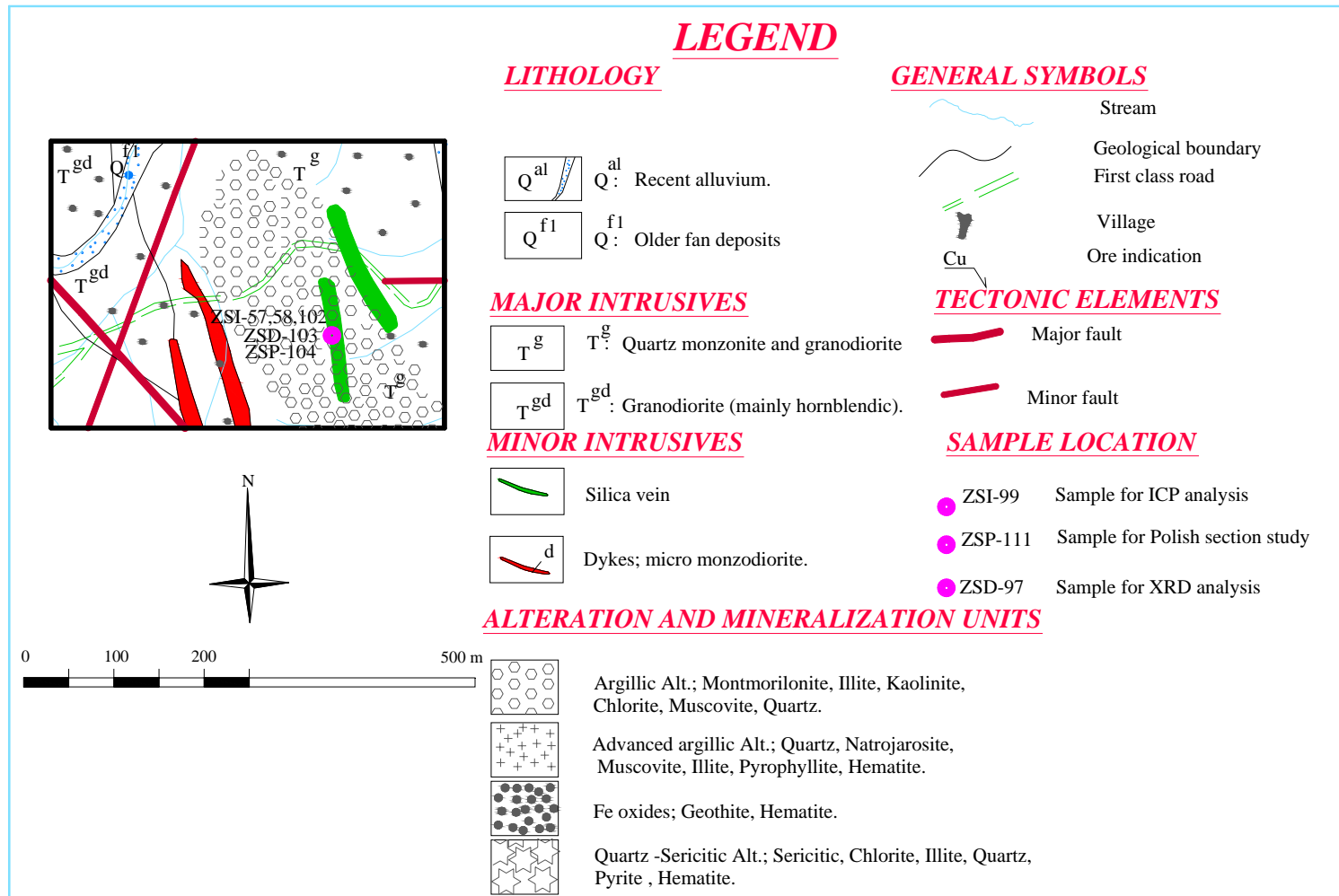
بین دانه‌های منیتیت یا به عبارت دیگر قالب‌های منیتیت در حال حاضر توسط هیدروکسیدهای آهن یعنی لیمونیت و گوتیت فرا گرفته شده است. شکل (۱۱-۳) مقطع میکروسکوپی نمونه یاد شده را نشان می‌دهد.



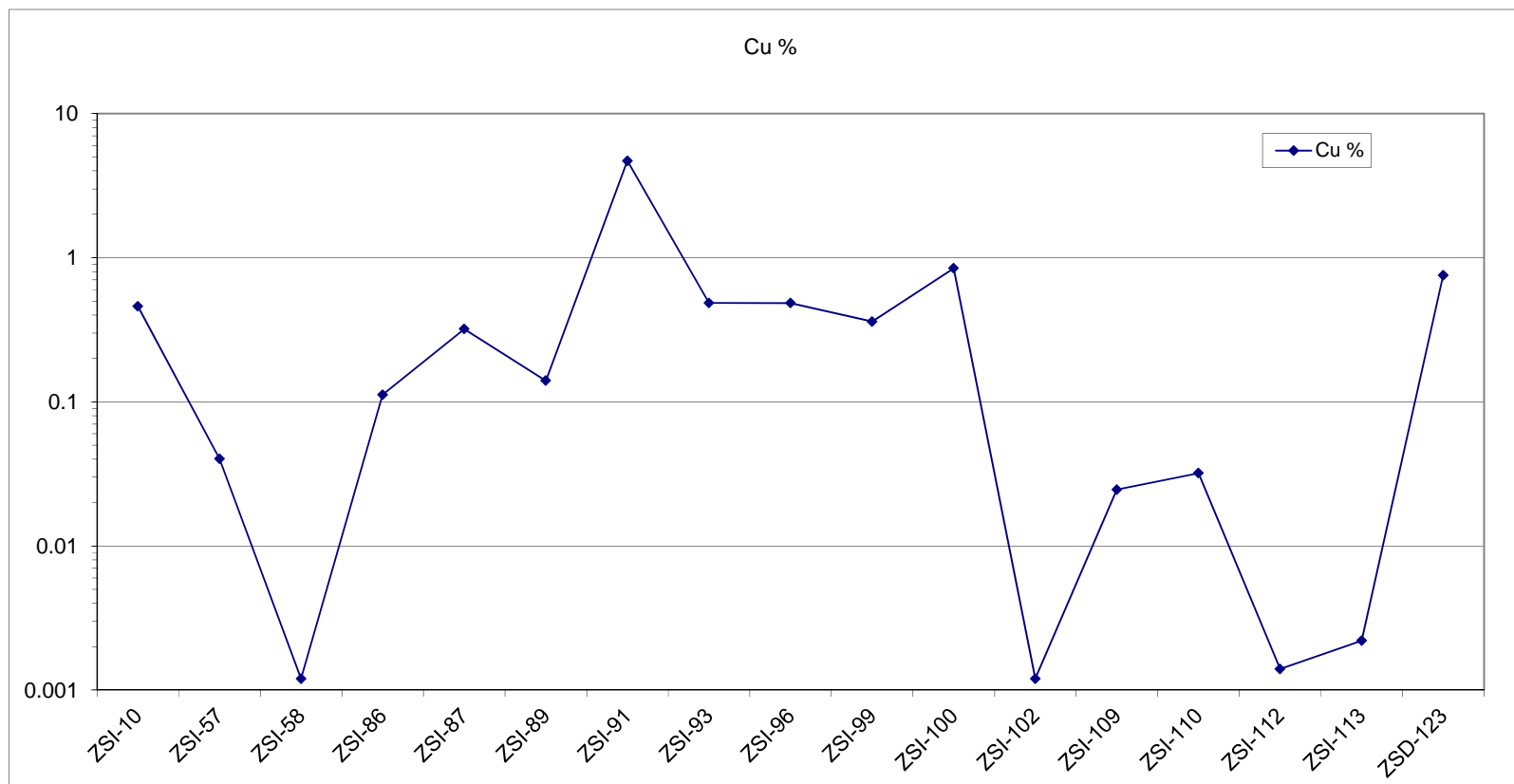
شکل ۱۰-۳: فرم استوک ورک در رگه و رگجه‌های سیلیسی زون مینرالیزه باختری



شکل ۱۱-۳: مقطع میکروسکوپی نمونه ZSP-84، واحد سیلیسی شده  $T^g$ .



شکل ۳: پلان نقشه زمین شناسی، دگرسانی و جانمایی رگه های سیلیسی و دایک میکرو مونزودیوریتی واقع در جنوب ده دادخدا.



شکل ۱۳-۳: نمودار خطی تغیرات عیار مس در نمونه‌های میزالیزه برداشت شده از رگه‌های سیلیسی جنوب و باختر محدوده

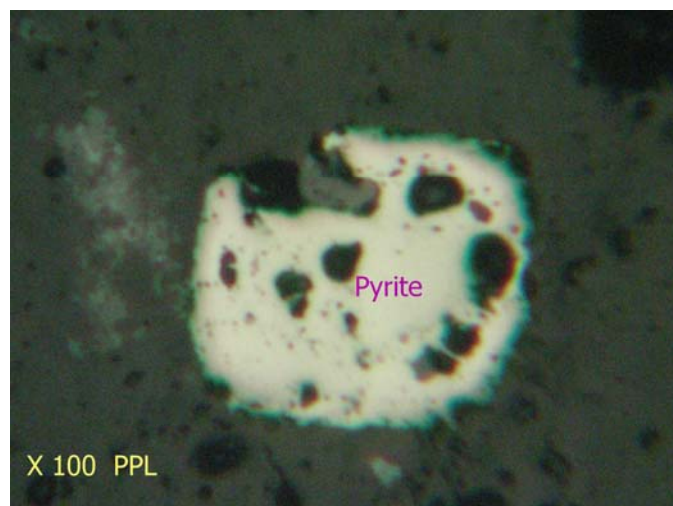
### ۳-۱-۲- زون دگرسانی واقع در شمال محدوده (شمال ۵ رستم)

زون دگرسانی شمال ده رستم بصورت یک نوار خاوری- باختری با پهنهای حدود چند صد متر در امتداد گسل‌های فرعی منشعب از گسل اصلی ده رستم، قرار دارد. دگرسانی‌های عمدۀ آن شامل آرژیلی شدن، سیلیسی شدن، زئولیتی شدن و اکسیدهای آهن می‌باشند. سنگ‌های میزبان دگرسانی و کانی‌سازی، ولکانوسدیمنت‌های ائوسن بالایی شامل توف و توف بررشی می‌باشند. کانی‌سازی عمدتاً بصورت پیریت‌های اکسیده است که در بخش‌های شدیداً اکسیده (لیمونیت، هماتیت) که اندکی سیلیسی و ژاروستی نیز شده‌اند، دیده می‌شود. ولی در مواردی که سیلیسی شدن به مقدار قابل ملاحظه اتفاق افتاده است، پیریت‌زایی با فراوانی بیشتری (حدود چند درصد) رخ داده است. علاوه بر آن بلورهای ریز مگنتیت نیز قابل مشاهده است.

نکته قابل توجه این است که کانی‌سازی در این زون بر خلاف سایر زون‌های مینرالیزه موجود در محدوده، در ارتباط با نفوذ توده گرانیتی نبوده است. زیرا در پیمایش‌های انجام شده و بررسی تصاویر ماهواره‌ای اثری از رخنمون توده گرانیتی مشاهده نگردید و به احتمال زیاد در ارتباط با جایگیری توده میکروگرانودیوریتی و یا کنترل کننده‌های ساختاری در ولکانوسدیمنت‌های ائوسن بالایی بوده است.

دو نمونه با شماره‌های ZSP-106، 117 از بخش‌های سیلیسی شده زون مذکور جهت تهیه مقاطع صیقلی گرفته شد که خلاصه نتیجه مینرالوگرافی نمونه‌ها به شرح زیر است:

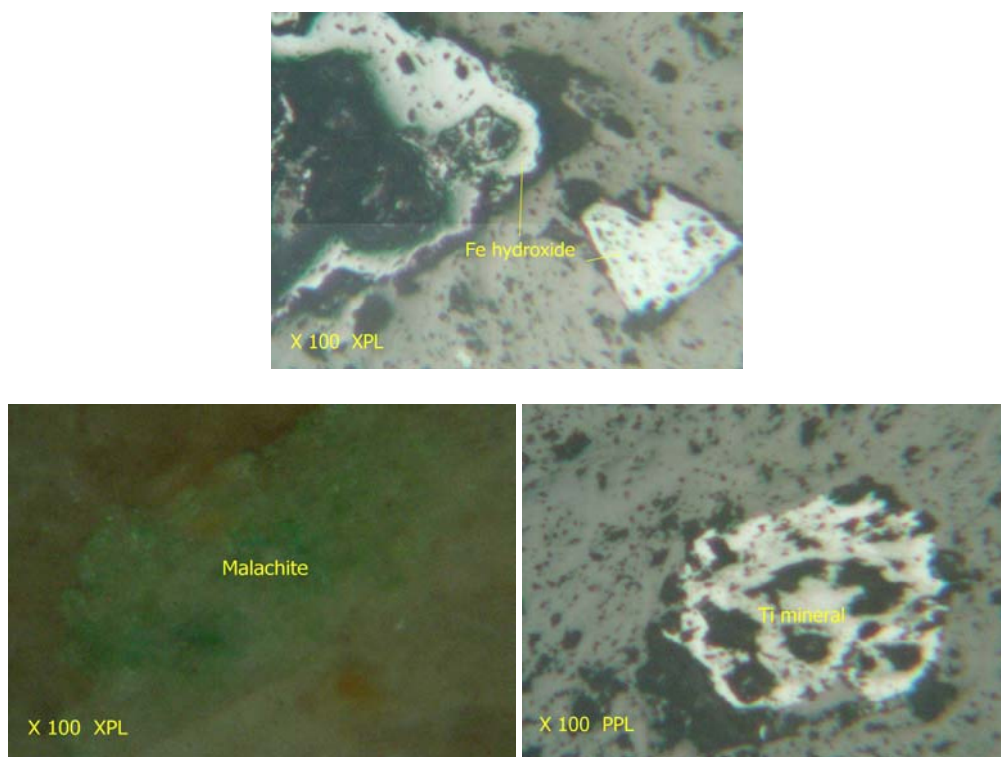
کانی فلزی نمونه ZSP-117 پیریت است. پیریت به صورت دانه‌های نیمه اتومرف تا اتومرف به حالت پراکنده در نمونه استقرار یافته است. پیریت‌ها از ۳۰ میکرون تا ۱ میلی‌متر دیده می‌شوند. در بعضی از آنها ادخال‌هایی از جنس سنگ مادر (احتمالاً سیلیکاته) وجود دارد. بندرت در بعضی از آنها انکلوزیون‌هایی از جنس پیروتیت مشاهده می‌گردد. پیریت‌ها سالم هستند و اثراتی از هوازدگی در آنها مشاهده نمی‌شود. فراوانی پیریت حدود ۱۰٪ الی ۱۵٪ است. در شکل (۱۴-۳) نمایی از مقطع میکروسکوپی نمونه ZSP-117 آورده شده است.



شکل ۱۴-۳: نمایی از مقطع میکروسکوپی نمونه ZSP-117

نمونه ZSP-106 از لحاظ مواد معدنی فقیر است. کانیهای تیتانیومدار و هیدروکسید آهن، کانه‌های موجود در این نمونه هستند. کانیهای تیتانیومدار (احتمالاً روتیل) با فراوانی ۰.۲٪ در سرتاسر مقطع پراکنده هستند. ابعاد آنها زیر ۵۰ میکرون بوده و بندرت دانه‌های درشت‌تر (تا ابعاد ۲۰۰ میکرون) مشاهده می‌گردد. این دانه‌ها نیمه شکل‌دار تا شکل‌دار هستند.

هیدروکسیدهای آهن نیز شامل لیمونیت و گوتیت به صورت ثانویه و نابرجا وارد درز و شکاف سنگها شده و استقرار یافته‌اند. کمی آغشتگی به رنگ سبز فقط در یک نقطه مشاهده گردید که احتمالاً ناشی از وجود مقدار بسیار کمی کانه‌های ثانویه مس می‌باشد. در شکل (۱۵-۳) نمایی از مقاطع میکروسکوپی نمونه ZSP-106 آورده شده است.



شکل ۳-۱۵: تصاویری از مقطع میکروسکوپی نمونه ZSP-106

نمونه شماره ZSI-33 از بخش آرژیلی این زون و نمونه های ZSI-107,116,118 در مرحله بازدید نهایی از محدوده، به ترتیب از بخش های آرژیلیک، دگرسانی پتاسیک، زون اکسیدهای آهن و سیلیسی این زون جهت آنالیز ICP گرفته شد که نمونه ZSI-33 حاوی عناصر قابل توجه نمی باشد (شکل ۳-۱۸). علی رغم اینکه در مشاهدات صحرایی آثاری از قبیل کانی سازی گسترده پیریت و سیلیسی شدن در نمونه دستی مشاهده می شود اما نتایج آنالیزها غنی شدگی خاصی نشان نمی دهند. نتایج آنالیز این ۴ نمونه در جدول ۳-۱ آمده است.

جدول ۳-۱: نتایج آنالیز نمونه های ZSI-33,107,116,118 به روش ICP

Sample	Au	Ag	As	Co	Cr	Cu	Mn	Mo	Ni	Pb	Sb	Sr	Zn	Mg	Ba	Be	Sn	Ti	Rb	Y	Fe	Al	
UNITS	ppb	ppm	ppm	ppm	ppm	ppm	ppm	ppm	ppm	ppm	ppm	ppm	ppm	%	ppm	ppm	ppm	ppm	ppm	ppm	%	%	
ZSI-107	6	<0.5	8	5	20	18	1250	2	8	132	1.2	44	92	0.4	126	0.5	<1	0.09	54	23.5	1.27	2.91	
ZSI-116	1	<0.5	5	<5	<10	12	340	2	4	6	0.4	373	146	0.58	249	0.8	2	0.32	23.4	5.2	2.87	8.24	
ZSI-118	2	<0.5	7	5	<10	32	418	1.5	6	6	0.4	645	180	0.66	145	1	3	0.305	10	10.6	2.51	7.85	
Sample	La	Nb	Ce	K	Na	Sc	Ca	Li	P	V	Cd	S	Zr	Hg	B	Bi	W	Cs	Re	U	Tl	Te	Th
UNITS	ppm	ppm	ppm	ppm	%	ppm	%	ppm	ppm	ppm	ppm	ppm	ppm	ppm	ppm	ppm	ppm	ppm	ppm	ppm	ppm	ppm	ppm
ZSI-107	11.4	2.5	22.2	14400	0.05	4	1.83	51.5	200	30	<0.5	100	23	<0.05	20	1.2	2	0.9	<0.1	0.5	0.6	0.2	2.8
ZSI-116	8.1	4.5	14	7950	3.26	12	1.41	17	400	75	<0.5	500	28	<0.05	20	0.3	1	5.7	<0.1	0.8	0.1	1	5
ZSI-118	12.9	4	26.6	3300	3.36	10	2.12	15.5	450	55	1	2450	23	<0.05	20	0.6	1	1.4	<0.1	0.6	<0.1	0.4	4.8

Sample	Au	Al	Ca	Cu	Fe	K	Mg	Mn	Na	Ni	P	S	Sc	Ti	V	Zn	Ag	As	Ba	Be
UNITS	ppb	%	%	ppm	%	ppm	%	ppm	ppm	ppm	ppm	ppm	ppm	%	ppm	ppm	ppm	ppm	ppm	ppm
ZSI.33	2	7.5	1.19	10	2.08	30300	0.17	664	3.11	6	450	100	7	0.24	10	35	0	5	629	0.8
Sample	Bi	Cd	Ce	Cs	Hg	La	Li	Mo	Nb	Pb	Rb	Sb	Sn	Sr	Th	Tl	U	W	Y	Zr
UNITS	ppm	ppm	ppm	ppm	ppm	ppm	ppm	ppm	ppm	ppm	ppm	ppm	ppm	ppm	ppm	ppm	ppm	ppm	ppm	ppm
ZSI.33	0	0	40.1	1.5	0	19.3	7	0.5	8	14	94.8	0.4	2	146	5.1	0.4	1.1	1	19.2	57

### ۳-۱-۳- زون دگرسانی واقع در خاور محدوده (مزرعه سرگردی- پورکی)

این زون دگرسانی با وسعت حدود ۳ کیلومتر مربع در محل تماس تودهای نفوذی گرانیتی و تونالیتی با ولکانیک‌های ائوسن میانی تا بالایی و بویزه در اطراف دایک‌های دیوریتی و بازالتی قرار دارد. در این منطقه، کانی‌سازی به دو صورت انجام گرفته است:

الف: کانی‌سازی مس در واحد  $E^{ad}$

در داخل واحد  $E^{ad}$  یکسری شیرابه‌های سیلیسی با ضخامت متوسط ۰/۵ تا ۱ متر نفوذ کرده‌اند که در حاشیه‌های این رگه‌های سیلیسی کانی‌زایی مس بصورت مالاکیت به همراه اکسیدهای آهن انجام گرفته است (شکل ۱۶-۳) که می‌تواند در ارتباط با نفوذ دایک‌های گرانیتی در داخل واحد  $E^{ad}$  باشد.



شکل ۱۶-۳: کانی‌سازی مس و اکسیدهای آهن در رگه سیلیسی با سنگ میزبان آندزیت‌های واحد  $E^{ad}$

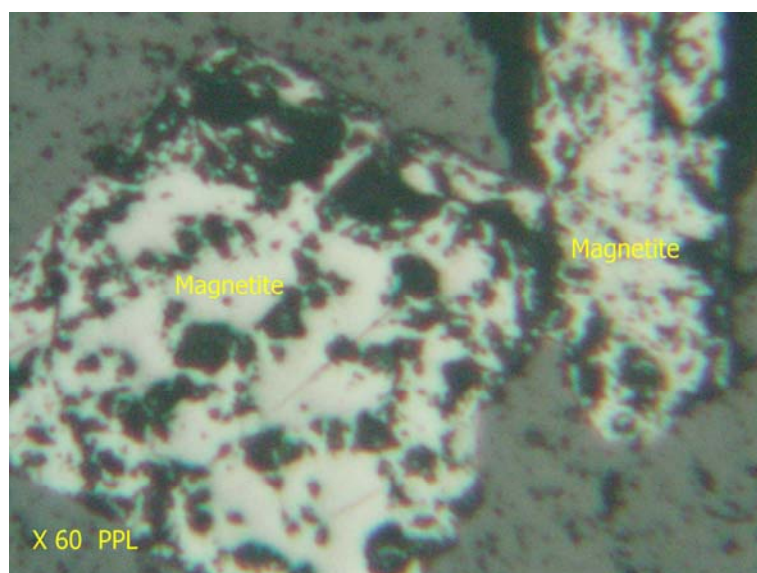
نمونه شماره ZSI-52 از یک رگه سیلیسی در شمال این زون جهت آنالیز ICP گرفته شد، که مقدار مس، وانادیم و مولیبدنیم در آن به ترتیب ۲/۱۷ درصد، ۱۸۰ و ۱۰۰ گرم در تن می‌باشد (شکل ۱۹-۳).

ب- کانی‌سازی مس، نقره و آهن (مگنتیت) در بخش‌های جنوبی زون دگرسانی: در بخش‌های جنوبی زون دگرسانی خاور محدوده، نسبت به بخش‌های شمالی فرآیندهای دگرسانی باشدت بیشتری تأثیر گذار بوده‌اند و دگرسانی غالب، سیلیسی شدن و آرژیلی شدن می‌باشد. نمونه‌های ZSI-48,49,61,64,67 به ترتیب از بخش‌های سریستی، آرژیلی، سیلیسی،

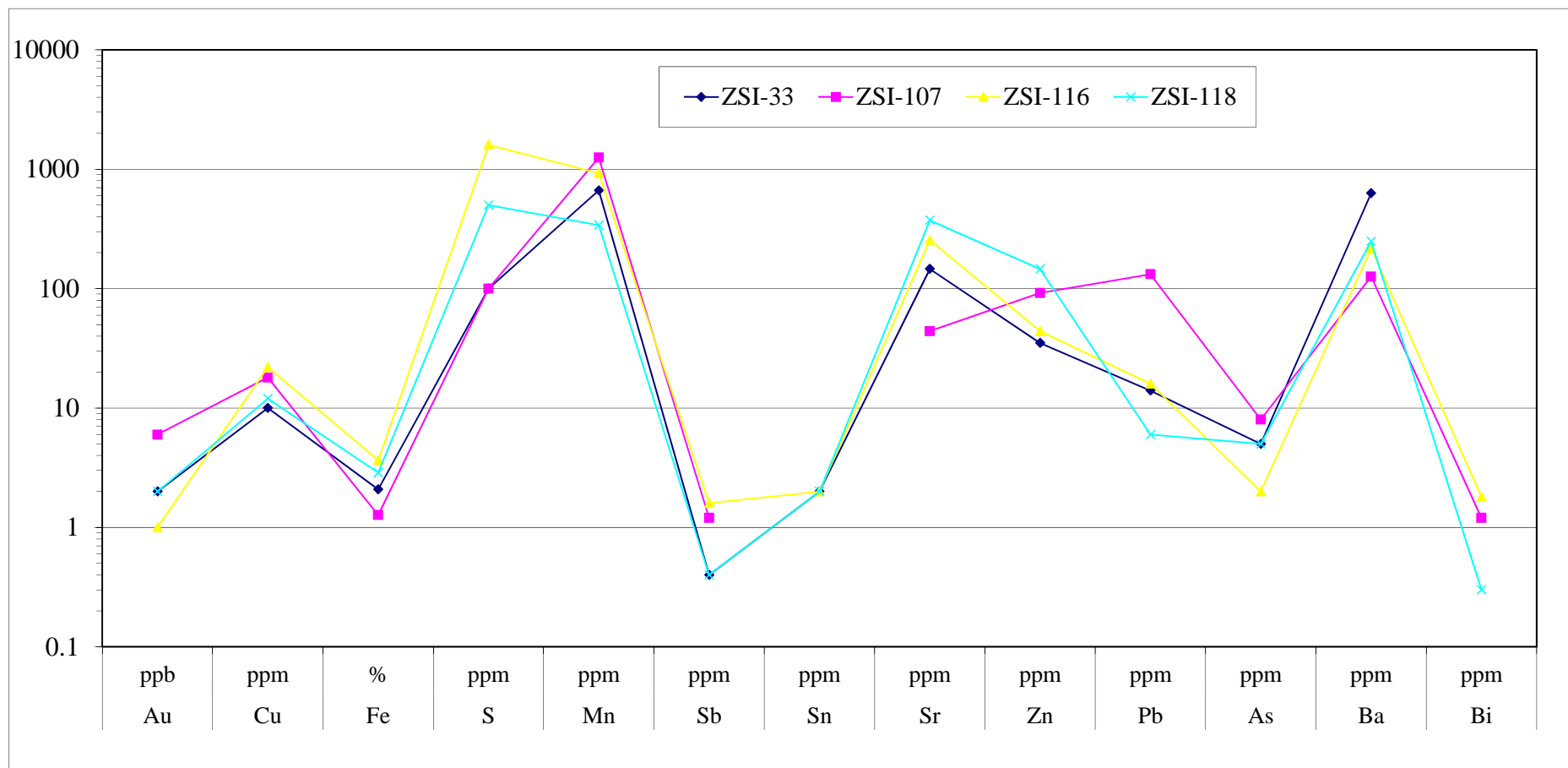
اکسیده و نمونه شماره ZSI-70 از یک قطعه کانی سازی مگنتیت در بخش اپیدوتی و کلریتی شده این زون برداشت شد که در نمونه ZSI-70 مقدار آهن و روی به ترتیب برابر با ۵۴/۶ درصد و ۸۹۴ گرم در تن می‌باشد (شکل ۲۰-۳) و در سایر نمونه‌ها مقادیر عناصر در حد قابل توجه نمی‌باشد.

نمونه شماره ZSP-75 از بخش مینرالیزه حاوی مگنتیت که اپیدوتی و کلریتی شده بود، جهت تهیه مقطع صیقلی گرفته شد که خلاصه نتیجه مینرالوگرافی آن به شرح زیر است:

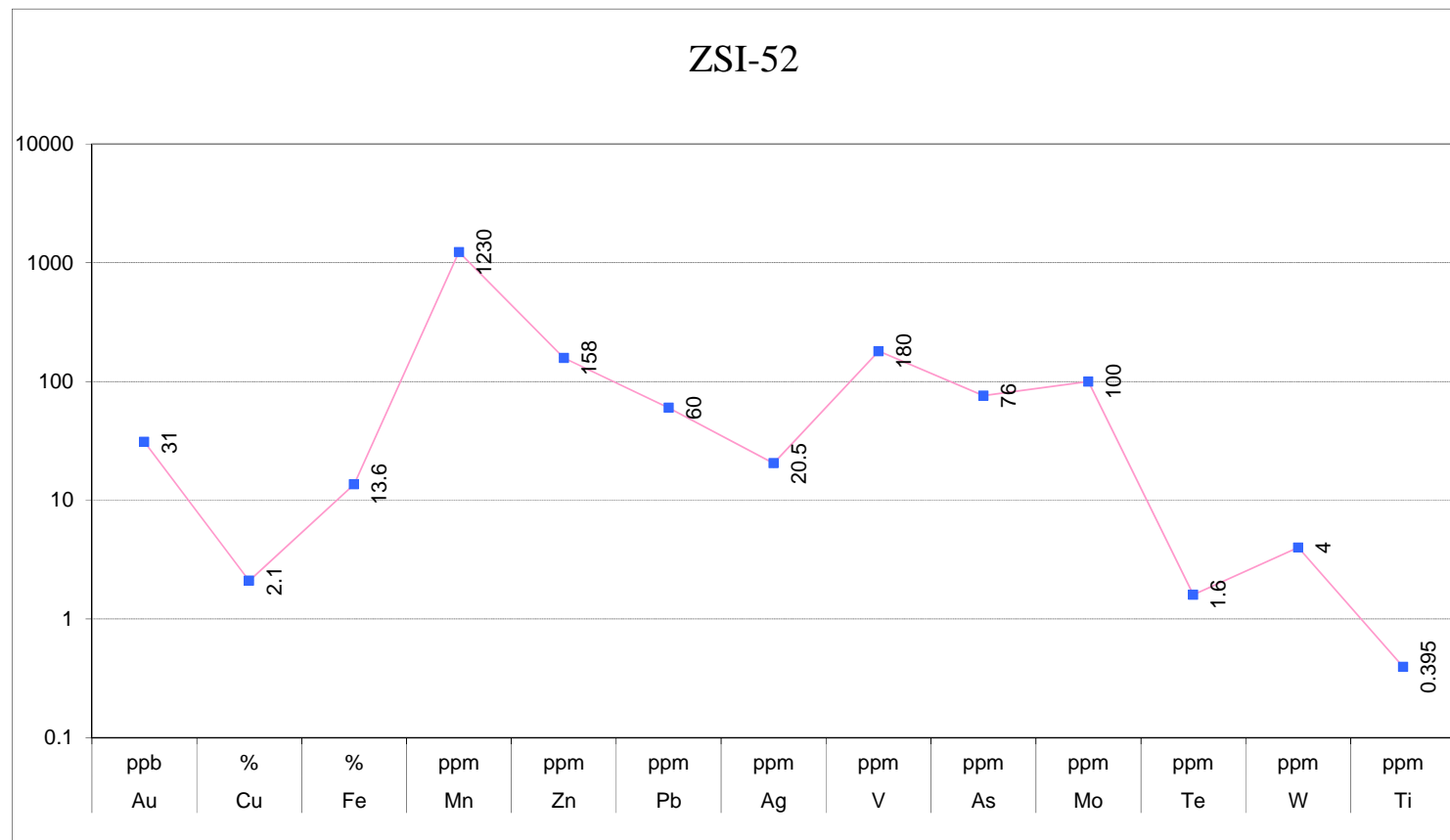
تنها کانه مشاهده شده در نمونه ZSP-75 منیتیت است. دانه‌های منیتیت اтомورف هستند و در بعضی قسمتها به طور فشرده در کنار هم به صورت موزائیکی قرار گرفته‌اند. فراوانی منیتیت حدود ۷۰٪ است و ابعاد دانه‌ها به طور متوسط بین ۱۰۰ الی ۴۰۰ میکرون است. در بعضی قسمتها، برخی بلورها در اثر دگرسانی سوپرژن از اطراف و رخ‌های خود به مقدار بسیار محدود و در حد ایجاد یک نوار بسیار باریک توسط مارتیت (هماتیت) در حال جانشینی هستند. در شکل (۱۷-۳) نمایی از مقطع میکروسکوپی نمونه ZSP-75 آورده شده است.



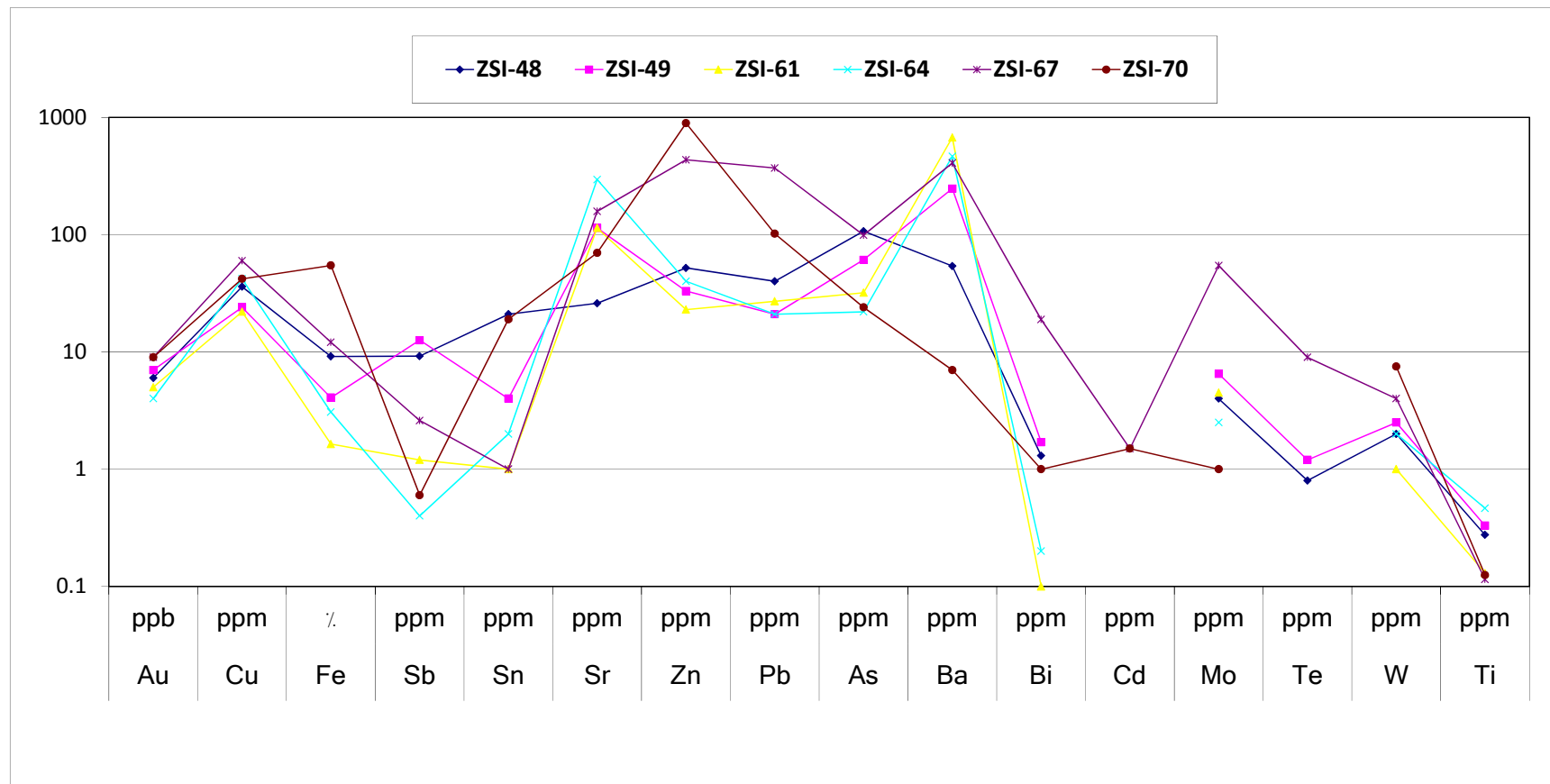
شکل ۱۷-۳: نمایی از مقطع میکروسکوپی نمونه ZSP-75



شکل ۱۸-۳: نمودار خطی تغییرات عیار برخی از عناصر در چند نمونه مینرالیزه برداشت شده از شمال محدوده



شکل ۳-۱۹: نمودار خطی تغییرات عیار برخی از عناصر در نمونه مینرالیزه ZSI-52



شکل ۲۰-۳: نمودار خطی تغییرات عیار در برخی از نمونه‌های زون دگرسانی خاور محدوده

### ۳-۲-بررسی کانی‌سازی در محدوده زیارت شاه-کماهی براساس نتایج آنالیز نمونه-های مینرالیزه

با توجه به شباهت‌هایی که محدوده‌های دگرسان شده و مینرالیزه خاور و شمال محدوده با یکدیگر نشان می‌دهند و نیز نتایج مشابه حاصل از آنالیز نمونه‌های مینرالیزه گرفته شده از این دو زون، داده‌های حاصل از این دو زون با یکدیگر مورد داده‌پردازی و مطالعات آماری قرار گرفت (شکل ۲۲-۳). بر این اساس با توجه به نتایج حاصل از نمونه‌های مینرالیزه می‌توان کانی‌سازی در محدوده زیارت شاه-کماهی را به ۳ قسمت تقسیم‌بندی نمود که عبارتند از:

کانی‌سازی در زون مینرالیزه واقع در باخته محدوده (زیارت شاه-ده داد خدا)

کانی‌سازی در خاور محدوده (زون‌های مینرالیزه شمال و خاور محدوده)

کانی‌سازی در شمال محدوده (شمال ده رستم)

همچنین این نکته را باید در نظر گرفت که نمونه‌ها براساس روش سیستماتیک و در یک شبکه منظم برداشت نشده و بعضاً در فواصل متفاوتی از یکدیگر و براساس برونزدهای کانی‌سازی برداشت گردیده‌اند. تنها وجه اشتراک آنها، مرتبط بودن آنها با یک پدیده کانی‌سازی در منطقه می‌باشد. جدول ۲-۳ نتایج آنالیز ۲۰ عنصر مهم را در دو بخش جنوب و جنوب باخته (S-SW) و شمال خاور (NE) محدوده نشان می‌دهد. نتایج کامل آنالیز این نمونه‌ها در پیوست شماره ۳ قرار دارد.

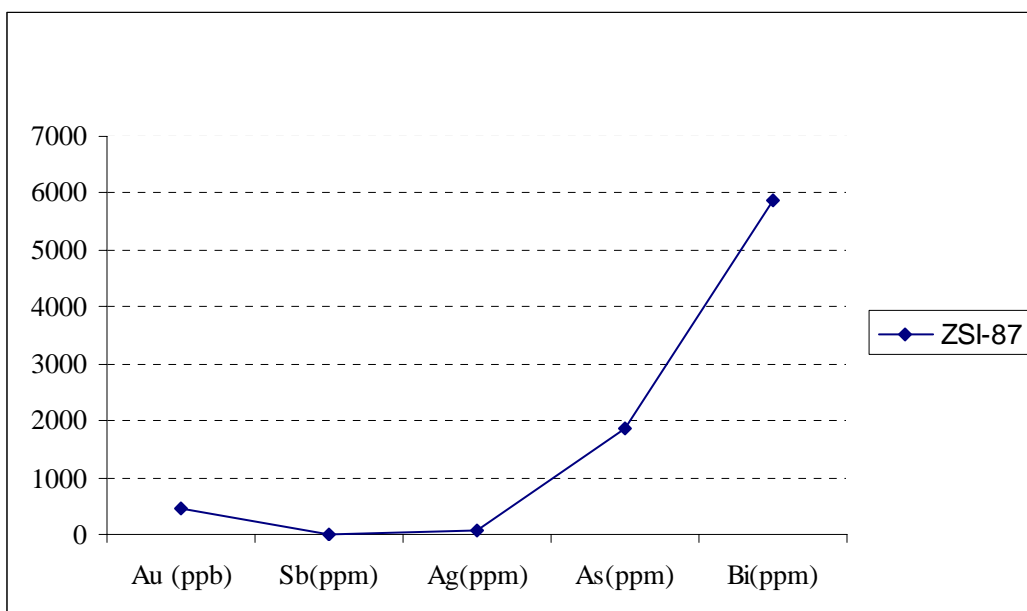
در بخش‌های بعدی این فصل از گزارش سعی شده است با توجه به نتایج آنالیز نمونه‌ها، شواهد صحرایی و اطلاعات زمین‌شناسی بدست آمده در مورد کانی‌سازی در این دو قسمت از محدوده مورد مطالعه توضیحاتی ارائه گردد.

### ۳-۱-کانی‌سازی در زون مینرالیزه واقع در باخته محدوده (زیارت شاه-ده داد خدا)

با توجه به گسترش کانی‌سازی و دگرسانی در قسمت مرکزی این زون (روستای زیارت شاه و نابلدیه) پیمایش‌های صحرایی دقیق‌تر و نمونه‌برداری متراکم‌تری در آن انجام گرفت. در مجموع تعداد ۲۵ نمونه طبق جدول ۳-۳، در دو مرحله به منظور آنالیز ICP در این منطقه برداشت و به آزمایشگاه ارسال گردید. مجموعه این مطالعات در سه محل گدار شاه در جنوب، زیارت‌شاه و نابلدیه در مرکز و ده دادخدا در دنباله شمالی این زون گسله و دگرسان شده انجام پذیرفت.

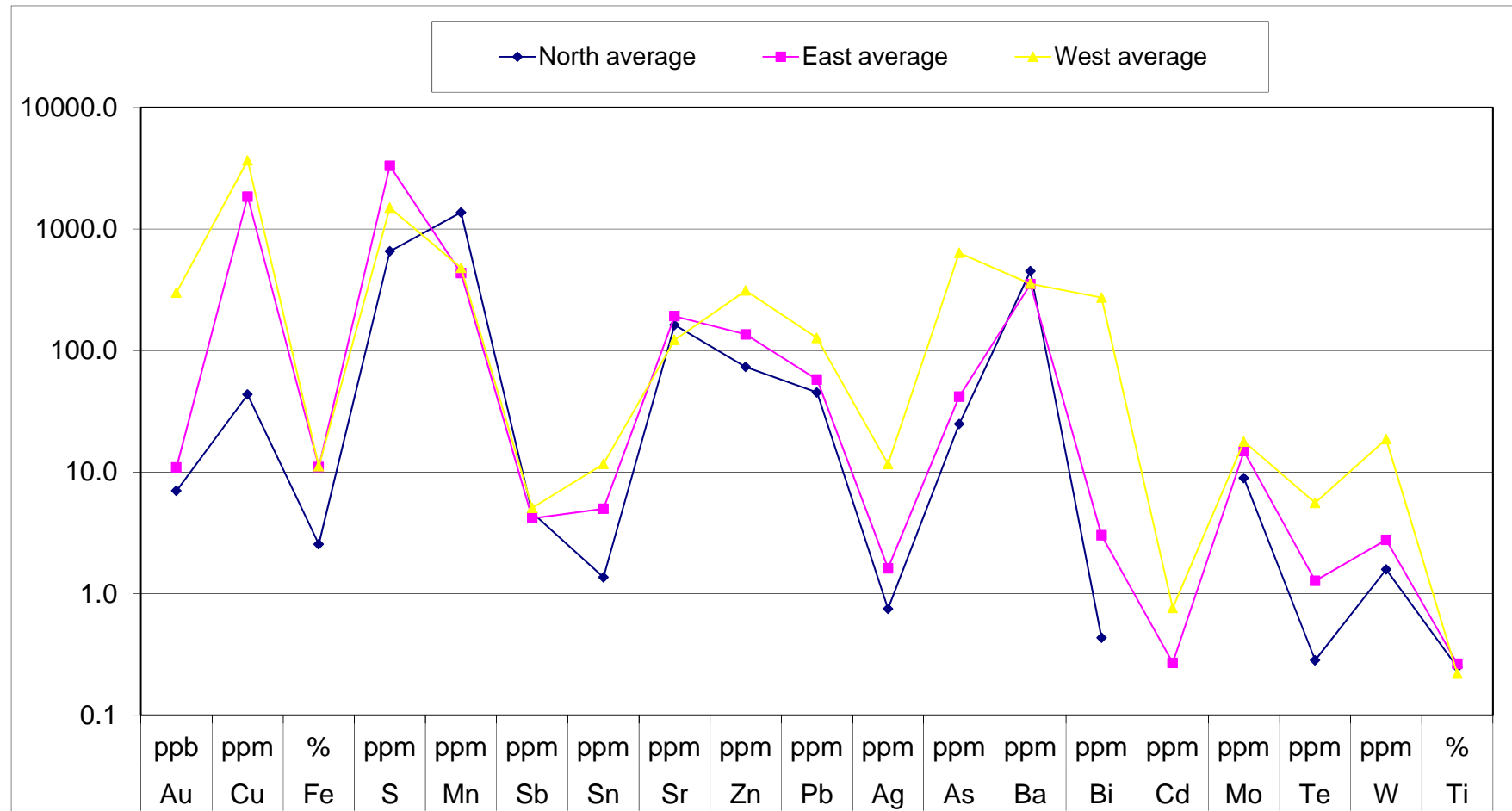
این زون در میان ارتفاعات حاجی محمد، کوه انباری در خاور و مجموعه ارتفاعات خشن و پر شیب کوه گنبه در باخته قرار گرفته است.

در این جدول مقادیر بیشینه هر عنصر پس از مرتب سازی مشخص گردیده است. نتایج بدست آمده از آنالیز ۲۵ نمونه حاکی از عیار قابل توجه در عناصر Bi, As, Ag, Cu, Au و تا حدودی W, Te, Mo (شکل ۲۳-۳) می باشد. بیشترین عیار طلا 2.4ppm بوده که از رگه های سیلیسی همراه با اکسیدهای آهن برداشت شده است. این نمونه (ZSI-57) هر چند حاوی بیشترین مقادیر Pb می باشد اما عیار عناصر مذکور در حد کانی سازی نبوده و متأسفانه مقادیر عناصر Te, Bi, As, Ag, Sb, Cu با عناصر پاراژنر (Bi, Ag, Sb, As) در این نمونه قابل توجه نیست. همچنان بنظر می رسد روند همراهی طلا فیما بین 456 تا 1690 میلی گرم در تن) مطلوبتر شده است (شکل ۲۴-۳). چنانچه نمونه حاوی عیار ماکریم نقره (72.5ppm) و بیسموت (5880ppm) یعنی نمونه ZSI-87 حاوی 456ppb طلا می باشد (شکل ۲۱-۳).

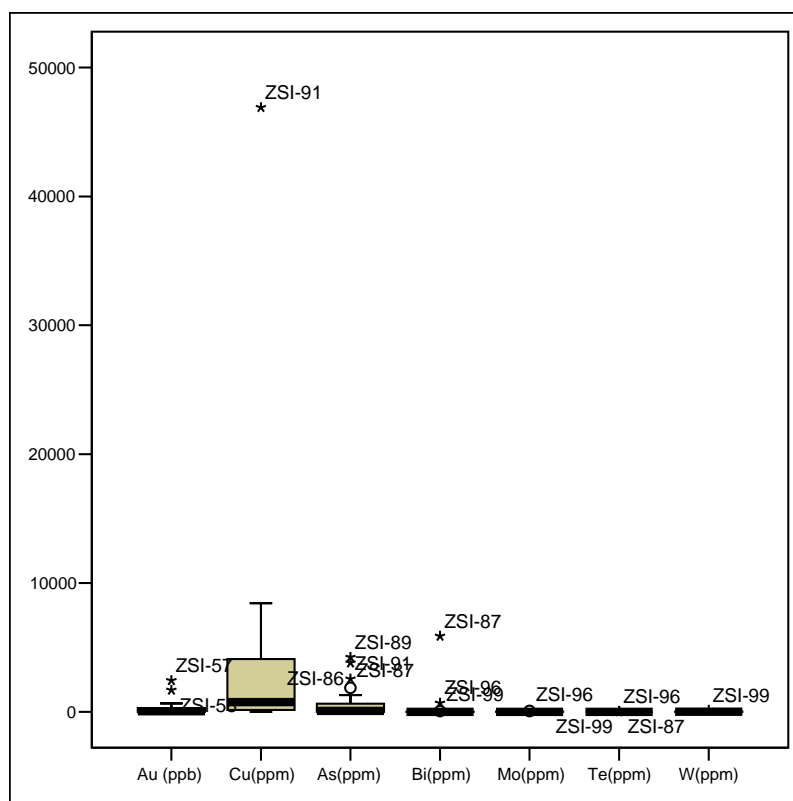


شکل ۲۱-۳: تغییرات عیاری برخی از عناصر پاراژنری در نمونه ZSI-87

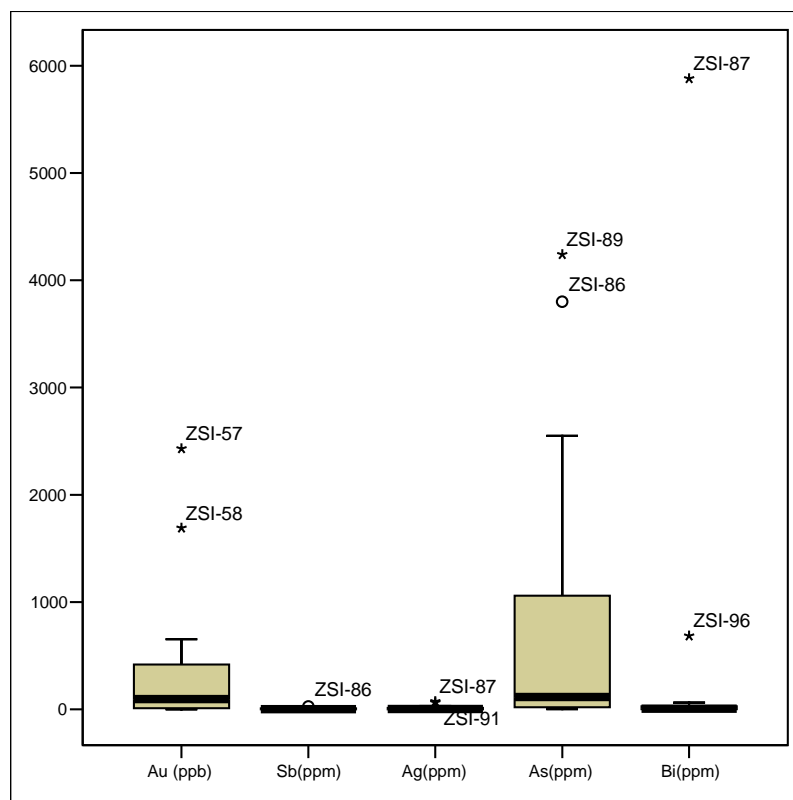
هر چند مقادیر عیار عنصر مس در نمونه هایی فیما بین 0.3 تا 4.7 درصد در نوسان است اما با توجه به گسترش سطحی این رگه ها، این عیارها نمی توانند به عنوان عنصر اصلی از نظر اقتصادی در خور توجه باشند. مگر آنکه گسترش کانی سازی در عمق بیشتر شده باشد.



شکل ۲۲-۳: مقایسه میانگین مقادیر عنصری در سه زون کانی‌سازی



شکل ۲۳-۳: وضعیت کانی سازی برخی از عناصر در باخته محدوده



شکل ۲۴-۳: روند همراهی طلا با عناصر پاراژنزی در باخته محدوده

### ۳-۲-۲-۳- کانی سازی در خاور محدوده (زون های مینرالیزه شمال و خاور محدوده)

در این بخش و در ۲ منطقه ده رستم - کماهی و مزرعه پورکی - مزرعه سرگری ۲۷ نمونه جهت آنالیز ICP در طی دو مرحله در محدوده برداشت شده است.

کانی سازی در این بخش بیشتر در محدوده مزرعه پورکی و سرگری قابل مشاهده می باشد. پدیده سیلیسی شدن و دگرسانی اکسید آهن و آرژیلی عموماً با کانی سازی همراه می باشد که در مزرعه پورکی این مسئله از گسترش و شدت بیشتری برخوردار است.

کانی سازی بیشتر به صورت پیریت و بعضاً کالکوپیریت و به مقدار کمتر نسبت به بخش جنوبی و باختری به صورت مالاکیت دیده می شود. در این قسمت کانی سازی بیشتر به صورت بیرون- زدگی هایی به شکل پراکنده و آغشتگی و کمتر به صورت رگه و رگچه در پیروکلاستیک های اوسن  $E_2^{vs}$  آندزیت، داسیت های  $E_2^{ad}$  ظاهر می گردد.

براساس جدول ۳-۴ (نتایج آنالیز نمونه ها در این منطقه) شواهد کانی سازی بویژه در مورد عناصری همچون طلا، نقره، بیسموت، آرسنیک و تلوریوم بشدت افت کرده و میزان میانگین در این عناصر بعلاوه عناصر مهم دیگری همچون مس، آهن، آنتیموان، قلع، روی، سرب، کادمیوم، مولیبدن و تنگستن نیز کاهش چشمگیر داشته است. هر چند میزان میانگین عناصری همچون منگنز، استرانسیوم و باریم تا حدودی نسبت به منطقه زیارت شاه- نابلدیه افزایش داشته است.

جدول ۲-۳: نتایج آنالیز نمونه‌های مینرالیزه برای ۲۰ عنصر مهم همراه با توصیف نمونه‌ها\*

Row	Sample id	Section	X	Y	Descripition	Au	Cu	Fe	K	S	Mn	Sb	Sn	Sr	Zn	Pb	Ag	As	Ba	Bi	Cd	Mo	Te	W	Ti
						ppb	ppm	%	ppm	ppm	ppm	ppm	ppm	ppm	ppm	ppm	ppm	ppm	ppm	ppm	ppm	ppm	ppm	ppm	%
1	ZSI-2	SW	658449	3134860	از اطراف آنتراسیون پروپیلیتیک همراه با آثار کانیهای کالکوپیریت- پیریت- اکسیدهای آهن (عدهتاً لیموئیت) و هماتیت	7	304	8.57	43300	1350	108	5.8	2	190	160	272	1.5	820	556	2	0	21.5	0	12	0.13
2	ZSI-5	SW	658680	3134840	کانی زلیخ اکسید آهن- لیموئیت- هماتیت و دارای کانی پیریت و بدیده برشی شدن	215	1860	46.2	500	3800	162	0.8	4	23	17	31	7.5	72	29	4.2	0	19.5	1	9.5	0.02
3	ZSI-8	SW	658580	3135200	آثار پیریت در نمونه مشاهده میشود	8	164	9.67	39000	4600	142	0.2	1	252	8	28	0	8	659	0.4	0	2	0	1.5	0.09
4	ZSI-10	SW	654700	3139840	از واحد گرانیتی سیلیسی شده حاوی سولفیدهای اکسیده و مالاکیت- عمود بر مسیر کانی زلیخ	34	4590	3.34	27900	700	628	0.2	46	72	77	146	8.5	32	430	16.9	0	2	0.4	3.5	0.095
5	ZSD-17	SW	655500	3139805	از آثار دگرسانی کلسیتی و کانیهای اپیدوت و اکسید آهن	0	32	1.34	9	50	174	0.4	1	155	16	10	0	6	391	0.8	0	1	0	1	0.08
6	ZSI-21	NE	657780	3141510	حاوی مالاکیت و اکسید آهن و سولفیدهای مس- سیلیسی شده	7	8600	8.5	11100	600	602	3.2	2	460	101	351	34	5	276	29.6	0.5	9	2	1	0.165
7	ZSI-24	NE	658040	3141960	از یک آندزیت همراه با اکسید آهن- اکسیدهای Mn و کمی سیلیسی شده	10	264	5.03	58600	100	1060	5.2	1	196	134	115	4.5	33	880	0.2	0	2	0.4	2.5	0.395
8	ZSI-25	NE	658040	3141960	یک رگ سیلیسی داخل واحد آندزیتی و همچنین زلیپلیتی شده	3	40	1.24	750	400	3070	27.2	0	129	30	66	0.5	14	26	0	0	2.5	0	1	0.02
9	ZSI-27	NE	657983	3141980	از رگه های چرتو شده دارای لامیناسیون در داخل واحد ولکانیک آثار لیموئیت و اکسید منگنز	2	10	1.46	300	2350	7380	2.6	0	128	5	6	0	80	15	0	0	5	0	0.5	0.015
10	ZSI-28	NE	657930	3142010	از یک رگ سیلیسی با ضخامت ۱۰m حاوی اکسید آهن و نوارهای سیاه منگنز	28	24	1.84	14900	50	182	6.4	0	19	112	128	0.5	57	87	0.2	0	65.5	0	2	0.14
11	ZSI-30	NE	658020	3142029	از یک رگ سیلیسی با ضخامت ۲-۵ متر حاوی اکسید آهن	25	74	4.35	31700	550	570	8.8	0	66	108	28	0.5	67	494	0	0	21.5	0	4	0.245
12	ZSI-33	NE	658400	3142377	آندرزیت به شدت رسی و زنولیتی شده	2	10	2.08	30300	100	664	0.4	2	146	35	14	0	5	629	0	0	0.5	0	1	0.24
13	ZSI-34	NE	658347	3142630	از قسمت سیلیسی شده کمی آرژیلی اثرازی از پیریت اکسیده	1	24	2.51	32800	900	82	0.6	4	184	72	7	0	4	1500	0.5	0	1	0.4	0.5	0.12
14	ZSI-37	NE	659372	3142092	پدیده سیلیسی شده با ضخامت ۱m همراه با پیریت اکسیده	2	14	2.64	26400	550	246	0.4	2	186	31	10	0	15	472	0.7	0	1.5	0.4	2	0.25
15	ZSI-40	NE	659390	3140900	از گدازه های تبره رنگ و واحد ولکانیک- عدهتاً سیلیسی و همراه با اکسید آهن و منگنز و آثار کانولینیتی شدن	9	40	1.7	34900	3600	72	2.4	4	116	10	12	0	6	588	2.4	0	1.5	1.2	1.5	0.28
16	ZSI-44	NE	659390	3140900	در سنگهای ولکانیک دگرسانی شدید از نوع اکسید آهن به همراه لیزست و آرژیلی شدن	55	1860	33.4	9700	1350	300	0.8	2	144	51	9	0	18	66	5.1	0	9	0.8	2.5	0.405
17	ZSD-47	NE	660410	3140084	زون آثره کانولینیتی شده همراه با اکسید آهن	3	16	5.99	19700	16100	90	6	3	497	15	26	0	49	320	2.7	0	3.5	1.6	2.5	0.335
18	ZSI-48	NE	660410	3140084	از بخشهاي سیلیسی و اکسیده یک زون آثره کانولینیتی شده (لیموئیت، هماتیت)	6	36	9.16	4700	4150	102	9.2	21	26	52	40	0	107	54	1.3	0	4	0.8	2	0.275
19	ZSI-49	NE	660410	3140084	از بخش های مختلف زون آثره کانولینیتی شده	7	24	4.08	20900	1700	336	12.6	4	114	33	21	0	61	247	1.7	0	6.5	1.2	2.5	0.33
20	ZSD-50	NE	660505	3140076	از بخشهاي آرژیلی همراه با اکسید آهن	2	50	1.79	15100	5000	10	14.2	4	573	15	16	0	36	312	1.6	0	2.5	0.4	3.5	0.39
21	ZSI-52	NE	661240	3140320	از شیرابه های سیلیسی داخل واحد ولکانیک با آثار کانی زایی مس (مالاکیت) به همراه اکسید آهن	31	21700	13.6	19400	3150	1230	3.6	1	70	158	60	20.5	76	192	3.2	0.5	100	1.6	4	0.395
22	ZSI-57	SW	656500	3139571	رگه و رگچه های سیلیسی شده همراه با اکسیدهای آهن	2430	402	5.8	40400	50	3230	1.6	7	87	894	721	1	87	339	2.9	3	2.5	0	12	0.115
23	ZSI-58	SW	656500	3139571	رگه و رگچه های سیلیسی شده همراه با اکسید آهن و منگنز	1690	12	17.4	26100	4100	566	2.2	10	100	138	237	0	77	165	1.1	0	1.5	0	12	0.085
24	ZSI-61	NE	661290	3139065	یک سنگ ولکانیک- کمی سیلیسی شده حاوی اکسید آهن- کمی آرژیلی شده	5	22	1.64	52200	350	196	1.2	1	114	23	27	0	32	674	0.1	0	4.5	0	1	0.13
25	ZSD-63	NE	661114	3139415	سنگ نفوذی اسیدی شدید آثره، آرژیلی همراه با اکسید آهن	1	32	1.14	27200	100	224	0.4	2	192	27	34	0	9	493	0.5	0	1.5	0	1.5	0.115
26	ZSI-64	NE	661049	3139529	سنگ ولکانیک اندکی سیلیسی شده هرمه با اکسید آهن	4	42	3.07	26300	2400	228	0.4	2	295	40	21	0	22	465	0.2	0	2.5	0	2	0.465
27	ZSI-67	NE	661086	3139651	از یک رگ شدیدآ اکسید آهن دار غالباً گوتیت و هماتیت	9	60	12.1	26800	5000	854	2.6	1	158	435	370	0.5	99	408	18.9	1.5	54.5	9	4	0.115
28	ZSD-69	NE	661430	3139414	توف به شدت آرژیلی همراه با اکسید آهن لیموئیت و ژاروسیت	1	36	0.97	31300																

جدول ۳-۳: نتایج آنالیز نمونه‌های میترالیزه در جنوب و غرب منطقه همراه با توصیف نمونه‌ها و مقادیر میانگین و میانه\*

Row	Sample id	Section	X	Y	Description	Au	Cu	Fe	K	S	Mn	Sb	Sn	Sr	Zn	Pb	Ag	As	Ba	Bi	Cd	Mo	Te	W	Ti
						ppb	ppm	%	ppm	ppm	ppm	ppm	ppm	ppm	ppm	ppm	ppm	ppm	ppm	ppm	ppm	ppm	ppm	ppm	%
1	ZSI-2	SW	658449	3134860	از اطراف آلتراسیون پروپیلیتیک همراه با آثار کانیهای کالکوپیریت-پیریت-اکسیدهای آهن (عمدتاً لیمونیت) و هماتیت	7	304	8.57	43300	1350	108	5.8	2	190	160	272	1.5	820	556	2	0	21.5	0	12	0.13
2	ZSI-5	SW	658680	3134840	کانی زایی اکسید آهن-لیمونیت-هماتیت و دارای کانی پیریت و پدیده برشی شدن	215	1860	46.2	500	3800	162	0.8	4	23	17	31	7.5	72	29	4.2	0	19.5	1	9.5	0.02
3	ZSI-8	SW	658580	3135200	آثار پیریت در نمونه مشاهده میشود	8	164	9.67	39000	4600	142	0.2	1	252	8	28	0	8	659	0.4	0	2	0	1.5	0.09
4	ZSI-10	SW	654700	3139840	از واحد گرانیتی سیلیسی شده حاوی سولفیدهای اکسیده و ملاکیت- عمود بر مسیر کانی زایی	34	4590	3.34	27900	700	628	0.2	46	72	77	146	8.5	32	430	16.9	0	2	0.4	3.5	0.095
5	ZSD-17	SW	655500	3139805	از آثار دگرسانی کلستیتی و کانیهای اپیدوت و اکسید آهن	0	32	1.34	29100	50	174	0.4	1	155	16	10	0	6	391	0.8	0	1	0	1	0.08
6	ZSI-57	SW	656500	3139571	رگه و رگچه های سیلیسی شده همراه با اکسید آهن	2430	402	5.8	40400	50	3230	1.6	7	87	894	721	1	87	339	2.9	3	2.5	0	12	0.115
7	ZSI-58	SW	656500	3139571	رگه و رگچه های سیلیسی شده همراه با اکسید آهن و منگنز	1690	12	17.4	26100	4100	566	2.2	10	100	138	237	0	77	165	1.1	0	1.5	0	12	0.085
8	ZSI-81	SW	656849	3138468	بیرون زدگی های سیلیسی تا حدودی آرژیلی همراه با اکسید آهن و آثار پیریت اکسیده	3	8	2.21	5400	150	46	0	4	202	7	7	0	2	136	1	0	1.5	0	3.5	0.05
9	ZSI-82	SW	656568	3138123	کانی سازی ضعیف اکسید آهن و پیریت-کانولینیتی شدن	13	140	5.03	27400	250	96	0.2	37	44	10	18	0	3	423	38.2	0	2.5	0.6	11	0.075
10	ZSI-83	SW	656638	3138058	به شدت دگرسان- حاوی کانی زایی مگنتیت و اکسیدهای آهن- هماتیت و بالورهای ثانویه سیلیس	114	304	36.4	6200	1250	792	0.2	10	23	61	7	1	5	64	2.8	0	5.5	0.8	1	0.15
11	ZSI-86	SW	657427	3138161	رگه و رگچه های مقطع شامل اکسید آهن (هماتیت و لیمونیت)	71	1120	10.6	33500	450	572	26.2	11	51	406	85	3.5	3800	580	8.7	5	61.5	3.2	25.5	0.145
12	ZSI-87	SW	657662	3138104	زون شدیداً آلتره- سریستی- کانولینیتی شدن در محل شکستگی ها سیلیسی شده همراه با لیمونیت و ملاکیت به صورت آغشته‌گی	456	3200	21.7	8750	800	74	14	15	22	808	709	72.5	1860	95	5880	0.5	9.5	34.6	13.5	0.045
13	ZSI-89	SW	657570	3138058	آثار اکسید آهن، سیلیسی، رسی شده و پیریت اکسیده	191	1400	7.64	23000	1600	132	21.6	12	81	342	453	7.5	4240	338	41.9	3.5	32	0.6	20	0.095
14	ZSI-91	SW	657465	3137912	یک رگه شدیداً اکسید آهن دار- سیلیسی و برشی شده همراه با مقداری ملاکیت	654	46900	11.3	12900	4150	462	10.6	19	109	226	15	61.5	2550	264	10.6	2	61	3	17	0.105
15	ZSI-93	SW	657800	3137678	رگه های سیلیسی شده حاوی اکسید آهن فراوان کانه زایی ضعیف ملاکیت و بیوتیت اکسیده و کلریتی شده	37	4850	10.6	23200	350	146	0.6	7	68	69	6	0	38	245	3.2	0	25.5	1	38.5	0.13
16	ZSI-96	SW	658102	3137837	رگه هایی با خصامت چند متر و طول چند ده متر، حاوی اکسید آهن فراوان کمی سیلیسی شده و کانه زایی ملاکیت	640	4840	16.9	13100	550	704	4.8	17	177	359	61	31	449	167	685	0.5	72	44	31.5	0.215
17	ZSI-98	SW	658094	3137774	از یک زون آلتره به صورت رگه حاوی اکسید آهن- سریستی شده	6	1560	8.36	30200	350	666	8.8	2	100	46	14	2	1300	275	19.7	0	15	5.2	31.5	0.37
18	ZSI-99	SW	658185	3137570	از بخششای سیلیسی شده حاوی اکسید آهن- کانی سازی ضعیف ملاکیت	218	3600	8.93	61400	800	256	1	27	92	54	13	19.5	142	545	62.4	0	60	30.8	135	0.175
19	ZSI-100	SW	658018	3137603	اکسید آهن به شکل لیمونیت- کانی زایی مس به صورت ملاکیت	77	8440	5.72	28400	350	70	1.8	9	57	58	10	9.5	155	364	13.7	0	26.5	5.4	33	0.075
20	ZSI-102	SW	656500	3139571	از محل نمونه ۵۸ به منظور کنترل آنومالی	237	12	6.31	46900	900	508	1.4	20	81	96	74	<0.5	31	369	0.7	<0.5	1.5	<0.2	13	0.155
21	ZSI-109	SW	658370	3137037	از رخمنون نفوذی سیلیسی، هماتیتی با آثار پیریت و پیریت اکسیده در طول (۲۰-۳۰) متر عمود بر امتداد کانی سازی. این دو نمونه به موازات هم با فاصله ۵۰ متر برداشت گردید همراه با کانی سازی ضعیف ملاکیت	6	246	2.48	27700	800	68	<0.2	8	141	10	8	1	3	861	2.1	<0.5	4	1.8	21	0.09
22	ZSI-110	SW	658370	3137037	از رخمنون نفوذی سیلیسی، هماتیتی با آثار پیریت و پیریت اکسیده در طول (۲۰-۳۰) متر عمود بر امتداد کانی سازی. این دو نمونه به موازات هم با فاصله ۵۰ متر برداشت گردید همراه با کانی سازی ضعیف ملاکیت	6	320	2.72	40300	300	230	0.2	10	165	24	57	<0.5	20	984	3.6	<0.5	8.5	0.4	6.5	0.12
23	ZSI-112	SW	658470	3136840	رخمنون سیلیسی همراه با زوارسیت- پیریت- کالکوپیریت؟ آسفالریت؟ و اکسیدهای آهن	3	14	2.28	9600	3200	448	0.4	2	113	30	10	<0.5	2	208	1.4	<0.5	1	0.2	1	0.15
24	ZSI-113	SW	658470	3136840	گرانیت سیلیسی شده به شدت سریستی همراه با اکسیدهای آهن- لکه هایی از زاروسیت	3	22	3.65	8000	1600	928	1.6	2	255	44	16	<0.5	2	217	1.8	<0.5	2	0.4	1	0.135
25	ZSD-123	SW	658745	3142505	سرباره های بدست آمده در منطقه تابله	380	7530	23.9	21300	5000	758	17.2	9	397	3840	168	17	207	170	1.8	<0.5	6.5	0.6	12.5	0.19
					average	300.0	3674.8	11.2	25342.0	1500.0	478.6	5.1	11.7	122.3	312.0	127.0	11.6	636.4	355.0	272.3	0.8	17			

جدول ۴-۳: نتایج آنالیز نمونه‌های مینرالیزه در شمال و شرق منطقه همراه با توصیف نمونه‌ها و مقادیر میانگین و میانه\*

Row	Sample id	Section	X	Y	Descriprition	Au	Cu	Fe	K	S	Mn	Sb	Sn	Sr	Zn	Pb	Ag	As	Ba	Bi	Cd	Mo	Te	W	Ti	
						ppb	ppm	%	ppm	ppm	ppm	ppm	ppm	ppm	ppm	ppm	ppm	ppm	ppm	ppm	ppm	ppm	ppm	%		
1	ZSI-24	NE	658040	3141960	از یک آندزیت همراه با اکسید آهن- اکسیدهای Mn و کمی سیلیسی شده	10	264	5.03	58600	100	1060	5.2	1	196	134	115	4.5	33	880	0.2	0	2	0.4	2.5	0.395	
2	ZSI-25	NE	658040	3141960	یک رگه سیلیسی داخل واحد آندزیتی و همچنین ژاسپیلیتی شده	3	40	1.24	750	400	3070	27.2	0	129	30	66	0.5	14	26	0	0	2.5	0	1	0.02	
3	ZSI-27	NE	657983	3141980	از رگه های چرتی شده دارای لامیناسیون در داخل واحد ولکانیک آثار لیمونت و اکسید منگنز	2	10	1.46	300	2350	7380	2.6	0	128	5	6	0	80	15	0	0	5	0	0.5	0.015	
4	ZSI-28	NE	657930	3142010	از یک رگه سیلیسی با ضخامت ۱۰m حاوی اکسید آهن و نوارهای سیاه منگنز	28	24	1.84	14900	50	182	6.4	0	19	112	128	0.5	57	87	0.2	0	65.5	0	2	0.14	
5	ZSI-30	NE	658020	3142029	از یک رگه سیلیسی با ضخامت ۲-۵m حاوی اکسید آهن	25	74	4.35	31700	550	570	8.8	0	66	108	28	0.5	67	494	0	0	21.5	0	4	0.245	
6	ZSI-33	NE	658400	3142377	آندزیت به شدت رسی و زنولیتی شده	2	10	2.08	30300	100	664	0.4	2	146	35	14	0	5	629	0	0	0.5	0	1	0.24	
7	ZSI-34	NE	658347	3142630	از قسمت سیلیسی شده کمی آرژیلی اثراتی از پیریت اکسیده	1	24	2.51	32800	900	82	0.6	4	184	72	7	0	4	1500	0.5	0	1	0.4	0.5	0.12	
8	ZSI-37	NE	659372	3142092	پدیده سیلیسی شده با ضخامت ۱۰m همراه با پیریت اکسیده	2	14	2.64	26400	550	246	0.4	2	186	31	10	0	15	472	0.7	0	1.5	0.4	2	0.25	
9	ZSI-40	NE	659390	3140900	از گدازه های تیره رنگ و واحد ولکانیک- عمدتاً سیلیسی و همراه با اکسید آهن و منگنز و آثار کائولینیتی شدن	9	40	1.7	34900	3600	72	2.4	4	116	10	12	0	6	588	2.4	0	1.5	1.2	1.5	0.28	
10	ZSI-44	NE	659390	3140900	در سنگهای ولکانیک دگرسانی شدید از نوع اکسید آهن به همراه ایزیست و آرژیلی شدن	55	1860	33.4	9700	1350	300	0.8	2	144	51	9	0	18	66	5.1	0	9	0.8	2.5	0.405	
11	ZSD-47	NE	660410	3140084	زون آلتره کائولینیتی شده همراه با اکسید آهن	3	16	5.99	19700	16100	90	6	3	497	15	26	0	49	320	2.7	0	3.5	1.6	2.5	0.335	
12	ZSI-48	NE	660410	3140084	از بخش‌های سیلیسی و اکسیده یک زون آلتره کائولینیتی شده (لیمونت، هماتیت)	6	36	9.16	4700	4150	102	9.2	21	26	52	40	0	107	54	1.3	0	4	0.8	2	0.275	
13	ZSI-49	NE	660410	3140084	از بخش‌های مختلف زون آلتره کائولینیتی شده	7	24	4.08	20900	1700	336	12.6	4	114	33	21	0	61	247	1.7	0	6.5	1.2	2.5	0.33	
14	ZSD-50	NE	660505	3140076	از بخش‌های آرژیلی همراه با اکسید آهن	2	50	1.79	15100	5000	10	14.2	4	573	15	16	0	36	312	1.6	0	2.5	0.4	3.5	0.39	
15	ZSI-52	NE	661240	3140320	از شیرابه های سیلیسی داخل واحد ولکانیک با آثار کانی زای مس (مالاکیت) به همراه اکسید آهن	31	21700	13.6	19400	3150	1230	3.6	1	70	158	60	20.5	76	192	3.2	0.5	100	1.6	4	0.395	
16	ZSI-61	NE	661290	3139065	یک سنگ ولکانیک- کمی سیلیسی شده حاوی اکسید آهن- کمی آرژیلی شده	5	22	1.64	52200	350	196	1.2	1	114	23	27	0	32	674	0.1	0	4.5	0	1	0.13	
17	ZSD-63	NE	661114	3139415	سنگ نفوذی اسیدی شدید آلتره، آرژیلی همراه با اکسید آهن	1	32	1.14	27200	100	224	0.4	2	192	27	34	0	9	493	0.5	0	1.5	0	1.5	0.115	
18	ZSI-64	NE	661049	3139529	سنگ ولکانیک اندکی سیلیسی شده هراه با اکسید آهن	4	42	3.07	26300	2400	228	0.4	2	295	40	21	0	22	465	0.2	0	2.5	0	2	0.465	
19	ZSI-67	NE	661086	3139651	از یک رگه شدیداً اکسید آهن دار غالباً گوتیت و هماتیت	9	60	12.1	26800	5000	854	2.6	1	158	435	370	0.5	99	408	18.9	1.5	54.5	9	4	0.115	
20	ZSD-69	NE	661430	3139414	توف به شدت آرژیلی همراه با اکسید آهن لیمونت و ژاروسیت	1	36	0.97	31300	100	292	0.2	1	124	12	13	0	4	748	0.5	0	2	0	1.5	0.075	
21	ZSI-70	NE	661432	3139374	یک قطعه کانی سازی مگنتیت با آثار اپیدوتی و کلریتی شدن	9	42	54.6	250	50	1700	0.6	19	70	894	102	0	24	7	1	1.5	1	0	7.5	0.125	
22	ZSI-107	NE	658444	3142250	از ۳۰ متری جنوب نمونه ۱۰۵ بیانگر زون پتابیک- غنی از سیلیس و پیریت اکسیده	6	18	1.27	14400	100	1250	1.2	<1	44	92	132	<0.5	8	126	1.2	<0.5	2	0.2	2	0.09	
23	ZSI-108	NE	658444	3142250	از بخش‌های سیلیسی حاوی پیریت اکسیده- سطوح سنگ لیمونتی می باشد.	2	10	1.67	31000	<50	630	0.8	2	221	70	15	<0.5	8	701	0.3	<0.5	1.5	0.6	1.5	0.275	
24	ZSI-116	NE	658500	3142800	دگرسانی شدید برشی شده- آثار پیریت اکسیده حاوی اکسیدهای آهن- کمی سیلیسی شده	1	22	3.65	8000	1600	928	1.6	2	255	44	16	<0.5	2	217	1.8	<0.5	2	0.4	1	0.32	
25	ZSI-118	NE	658500	3142800	حاوی پیریت و پیریت اکسیده- اکسیدهای آهن	2	12	2.87	7950	500	340	0.4	2	373	146	6	<0.5	5	249	0.3	<0.5	2	1	1	0.305	
						average	9.0	979.3	7.0	21822.0	2093.8	881.4	4.4	3.3	177.6	105.8	51.8	1.3	33.6	398.8	1.8	0.2	12.0	0.8	2.2	0.2
						median	4	32	2.64	20900	725	336	1.6	2	144	44	21	0	22	320	0.5	0	2.5	0.4	2	0.25

\* سلوهای نارنجی مقادیر حداکثر و سلوهای زرد رنگ مقادیر بالا را نشان می دهند.

### ۳-۳- نحوه تشکیل و ژنز ماده معدنی در محدوده زیارت شاه- کماهی

ذخایر مرتبط با توده‌های نفوذی در دهه‌های اخیر مورد توجه محققان و زمین‌شناسان متعددی از جمله Baker & Newberry (2000)، Thompson et al. (1999)، McCoy et al. (1997) az جمله (Hart et al (2004)، Yang et al (2003)، Logan (2002)، Baker (2002)، Lang (2001)، Baker et al (2005)، Blevin (2004) قرار گرفته‌اند. از مهمترین این نوع ذخایر می‌توان به ذخایر واقع در ایالت‌های کانی‌زایی تامبستون در یوکن کانادا، کمربند کانی‌زایی تیتینا در شمال آمریکا، تیمبارا و کیداستون در استرالیا اشاره کرد.

بر اساس مطالعات (1991) Sillitoe (1992)، Hollister (1992) و Lang et al (2001) و Goldfarb et al (2001) چندین مطالعه مشابه دیگر، ذخایر طلای وابسته به توده‌های نفوذی دارای خصوصیات تقریباً مشترکی هستند که مهمترین آنها عبارتند از: ۱- همراهی با توده‌های نفوذی فلزیک تا متوسط، ساب آلکالن و نسبتاً احیایی، ۲- قرارگیری در یک کمان ماگمایی قاره‌ای که از نظر قلع و تنگستن شناخته شده هستند، ۳- سیالات هیدروترمالی با ماهیت کربنیک، ۴- همراهی فلزات غنی‌شده Te، Mo، As، W، BiSb با غنی‌شدگی ضعیف در فلزات پایه، ۵- محتوای فلزی کمتر از ۵ درصد، ۶- دگرسانی هیدروترمال ضعیف ۷- قرارگیری در محیط تکتونیکی مرزهای صفحات همگرا که دارای ماگماتیسم آلکالن، کالکوآلکالن و پرآلومینوس هستند (Lang & Baker 2001). عدم حضور ذخایر پورفیری Cu-Au در مجاورت آنها، قرارگیری در سطوح بالایی پوسته در زمان کانی‌زایی و احتمالاً زون‌بندی جانبی از مشخصه‌های این ذخایر است (Thompson et al. 1999).

در منطقه مورد مطالعه بویژه در زون آلتره و مینرالیزه باختز محدوده، کانی‌سازی (مس و طلا) شباهت‌هایی را با ذخایر مرتبط با توده‌های نفوذی نشان می‌دهد. در زیر به برخی از مهمترین ویژگی‌های ذخایر مرتبط با توده‌های نفوذی اشاره شده و شباهت‌های کانی‌سازی در محدوده مورد مطالعه با این ذخایر مورد بررسی قرار گرفته است.

همراهی با توده‌های نفوذی فلزیک تا متوسط، ساب آلکالن و نسبتاً احیایی: توده‌های نفوذی فلزیک تا متوسط (گرانیت تا دیوریت) در محدوده مورد مطالعه گسترش زیادی دارند و ارتباط آنها با کانی‌سازی غیر قابل انکار می‌باشد. این توده‌ها نسبتاً احیایی بوده و ماهیت ساب آلکالن تا کالکوآلکالن دارند.

دگرسانی هیدروترمال ضعیف: همانگونه که در مبحث دگرسانی توضیح داده شد، با اینکه زون-های دگرسانی در محدوده مورد مطالعه گسترش قابل ملاحظه‌ای دارند، اما از نظر شدت دگرسانی

معمولًاً در حد ضعیف تا متوسط می باشد. برای مثال در نمونه هایی که از زون های دگرسان شده جهت مطالعه پتروگرافی برداشت شده، بلورهای فلدسپات و کانیهای مافیک به مقدار ضعیفی به کانیهای رسی و سایر کانیهای ثانویه مثل سریسیت، کلریت و کربنات تبدیل شده اند. همچنین در نمونه هایی که جهت آنالیز کانی شناسی به روش XRD گرفته شد، اغلب کانی های ثانویه در فاز فرعی (Minor) قرار می گیرند.

سیالات هیدرоторمالی با ماهیت کربنیک: رخداد دگرسانی کربناتی در بسیاری از زون های دگرسان (با توجه به مطالعه میکروسکوپی) و احتمالا توسعه رگچه های کلسیتی در همراهی با زون های دگرسانی و به خصوص در همراهی با پدیده سیلیسی شدن، می تواند بیانگر ماهیت کربناته سیالات در برخی از نقاط محدوده بویژه در زون آلتره و مینرالیزه شمال محدوده (شمال ده رستم) باشد.

قرارگیری در محیط تکتونیکی مرزهای صفحات همگرا: با توجه به تقسیم بندی ساختاری ایران توسط محققین مختلف و زمین شناسی ناحیه ای و مطالعه پترولوزی سنگهای آذرین (شکل ۲-۳۷)، موقعیت تکتونیکی منطقه مورد مطالعه با مناطق فروزانش و مرز صفحات همگرا منطبق است.

همراهی فلزات غنی شده Te, Mo, As, W, Bi, Sb با غنی شدگی ضعیف در فلزات پایه: نمونه های مینرالیزه برداشت شده از محدوده، بویژه نمونه هایی که از زون مینرالیزه با خطر محدوده (زیارت شاه - ده دادخدا) گرفته شد، غنی شدگی عناصر Au, Cu, Bi, As و تا حدودی W, Te و غنی شدگی ضعیف در فلزات پایه را نشان داده اند که می تواند حاکی از دمای بالا و ماهیت ماگمایی سیالات کانه ساز باشد.

محتوای فلزی کمتر از ۵ درصد: با توجه به نتایج حاصل از آنالیز ICP نمونه های مینرالیزه (پیوست شماره ۳)، به استثنای نمونه ای که از کانی سازی مگنتیت که بطور موضوعی در زون آلتره خاور محدوده تشکیل شده بود، برداشت گردید (نمونه ZSI-70)، در سایر نمونه ها محتوای فلزی کمتر از ۵٪ می باشد.

مواردی که در فوق به آنها اشاره گردید با توجه به نتایج حاصل از آنالیز و مطالعه نمونه های سطحی و نیز مشاهدات صحراوی در این مرحله از تحقیق بوده است و به منظور تعیین ژئو و نحوه تشکیل ماده معدنی و عوامل مؤثر بر آن نیازمند اطلاعات تکمیلی تر از قبیل داده های عمقی (حفاری و مطالعات ژئوفیزیکی)، مطالعات ایزوتوبی، مطالعات سیالات درگیر و ... می باشد. با توجه به اطلاعات موجود، در مورد عوامل مؤثر بر کانی سازی می توان ماگماتیسم (مراحل مختلف تفریق ماگمایی و جایگیری توده کوارتز مونزونیتی تا گرانودیوریتی) و نیز کترول کننده های ساختاری

(گسله‌های نرمال با امتداد NW-SE) را از مهمترین عوامل مؤثر در ایجاد زون‌های آلتره و کانی‌سازی در محدوده زیارت شاه- کماهی برشمرد.

#### ۴-۴- منابع و سنگهای ساختمانی

در منتهی‌الیه شمالی محدوده بر بلندای ارتفاعات متشكل از توفهای ائوسن، رخنمونی از تراورتن با ابعاد حدود  $150 \times 250$  متر وجود دارد، که در بخش تحتانی آن، طبقه‌ای از تراورتن با ضخامت  $8/0$  تا ۱ متر و دارای رنگ و شفافیت قابل توجه (شکل ۲۵-۳) وجود دارد که هم اکنون در حال بهره‌برداری و استخراج است. علاوه بر رخنمون تراورتن فوق در شمال محدوده، در بخش‌هایی از باختر محدوده و بطور عمده بر روی تراس‌های قدیمی حاشیه رودخانه‌ها نیز افق‌های کوچکی از تراورتن ملاحظه گردید که این بیرون‌زدگی‌های کوچک به دلیل توسعه و ضخامت اندک، قابل بهره‌برداری نمی‌باشند.



شکل ۲۵-۳: نمایی از سینه کار معدن تراورتن در شمال محدوده (دید به سمت جنوب).

سنگهای گرانودیوریتی و تونالیتی موجود در باختر و جنوب باختر محدوده نیز از زیبایی قابل ملاحظه‌ای برخوردارند. بویژه حضور زینولیت‌هایی از سنگهای دیوریت و گابرویی، جلوه خاصی به آنها بخشیده است (شکل ۱۸-۲). اما متأسفانه معمولاً به شدت تکتونیزه و خرد شده هستند که امکان استفاده از آنها به عنوان سنگ ساختمانی متنفسی است.

## فصل چهارم - نتیجه‌گیری و پیشنهادها

### ۱-۴- نتیجه‌گیری

محدوده زیارت‌شاه به مساحت ۵۰ کیلومترمربع در استان کرمان در سلسله جبال بارز، حد فاصل جنوب بم و جنوب باخته محمدآباد ریگان و در ۹۰ کیلومتری جنوب بم واقع می‌باشد، نتایج به دست آمده از مطالعات زمین‌شناسی اقتصادی در مقیاس ۱:۲۵۰۰۰ را می‌توان به شرح زیر خلاصه نمود:

بخش عمده‌ای از محدوده مورد مطالعه را سنگهای نفوذی با ترکیب گرانودیوریت و تونالیت متعلق به اولیگومیوسن تشکیل می‌دهند. واحدهای ولکانیک متشكل از گدازه و پیروکلاستیک به سن ائوسن بخش دیگری از محدوده را می‌پوشانند. البته رخنمون‌های محدودی از رسوبات پلیوسن- کواترنر و عهد حاضر نیز در بخش‌های مختلف محدوده بروزد دارند. واحدهای سنگی اصلی محدوده مورد مطالعه را می‌توان در سه بخش تقسیم نمود:

سنگ‌های آتشفشاری دگرگون شده ائوسن تحتانی

سنگ‌های آذرین خروجی و پیروکلاستیک ائوسن

سنگ‌های آذرین نفوذی الیگوسن - میوسن

بطور کلی محدوده مورد مطالعه از نظر ساختاری متأثر از مagmaتیسم و جایگیری توده‌های نفوذی (به خصوص توده کوارتن مونزونیتی) می‌باشد. از نظر ساختمانی یک طاقدیس با روند محوری شمال باخته- جنوب خاور را درسطح منطقه داریم که سکانس و توالی ته نشینی بخش‌های مختلف آن در شمال خاور محدوده به خوبی قابل مشاهده هستند.

دو دسته گسل اصلی در محدوده مورد مطالعه وجود دارند که عبارتند از:

گسل‌های دارای امتداد NW-SE

گسل‌های دارای امتداد NE-SW

دسته اول که در امتداد جایگیری توده‌های نفوذی بوده و معمولاً از طول قابل ملاحظه‌ای برخوردارند و عملکردشان نرمال است و نیز زون‌های اصلی دگرسانی معمولاً در ارتباط با آنها هستند. روند دایک‌های موجود در محدوده نشان‌دهنده این است که قسمت عمده دایک‌ها نیز در امتداد این دسته از گسل‌ها جایگزین شده‌اند.

دسته دیگر از نظر طول و فراوانی نسبت به گروه قبل از اهمیت کمتری برخوردارند و از آنجاییکه معمولاً در ارتباط با توده‌های نفوذی هستند به نظر می‌رسد در اثر عملکرد توده‌های نفوذی و نیروهای کششی در منطقه و یا اینکه به عنوان گسله‌های فرعی منشعب شده از گسله‌های اصلی (گسل‌های دسته اول)، تشکیل شده باشند.

بر اساس مطالعه پترولوزی، سنگ‌های آذرین منطقه مورد مطالعه با الگوی مناطق فروزانش و قوس آتششانی را هماهنگی نشان می‌دهند. این سنگ‌ها پرآلومین بوده و اکثراً کالکوآلکالن هستند.

در محدوده مورد مطالعه ۳ زون یا بخش اصلی دگرسان شده وجود دارند که عبارتند از:  
زون دگرسانی اصلی موجود در منطقه که به صورت یک نوار با روند شمال باخته‌ی جنوب خاوری در باخته محدوده و عمدتاً در واحد  $T^{\circ}$  قرار دارد.

زون دگرسانی واقع در شمال محدوده مورد مطالعه (شمال ده رستم)

زون دگرسانی واقع در خاور محدوده مورد مطالعه (شمال مزرعه سرگری)

مطالعات انجام شده در محدوده زیارت شاه- کماهی حاکی از وجود زون‌های دگرسانی سریسیتیک، کوارتز- سریسیتیک، پروپیلیتیک، آرژیلیک، آرژیلیک پیشرفته، دگرسانی پتاسیک، سیلیسی شدن، کربناتی شدن، زئولیتی شدن و اکسیدهای آهن می‌باشد. از نظر کانی‌زایی به کانی‌هایی نظیر مالاکیت، آزوریت، پیریت، کالکوپیریت، پیروتیت، ایلمینیت و اکسیدهای آهن می‌توان اشاره کرد.

کانی‌سازی در محدوده زیارت شاه- کماهی در ارتباط با زون‌های دگرسانی می‌باشد. زون‌های کانی‌سازی اصلی موجود بر اساس گسترش زون‌های دگرسانی در محدوده، به ۳ بخش تقسیم می‌شوند که عبارتند از:

کانی‌سازی واقع در باخته محدوده (زیارت شاه- ده دادخدا)

کانی‌سازی واقع در شمال محدوده (شمال ده رستم)

کانی‌سازی واقع در خاور محدوده (مزرعه سرگری- پورکی)

نتایج بدست آمده از آنالیز نمونه‌ها در زون مینرالیزه واقع در باخته محدوده (زیارت شاه- ده دادخدا)، نشاندهنده عیار قابل توجه در عناصر W, Te, Mo, Bi, As, Ag, Cu, Au و تا حدودی 2.4 ppm طلا بیشترین عیار را 2.4 ppm داشت. همراه با اکسیدهای آهن برداشت

شده است. هر چند مقادیر عیار عنصر مس در برخی نمونه‌ها بین 0.3 تا 4.7 درصد در نوسان است اما با توجه به گسترش سطحی این رگه‌ها، این عیارها نمی‌تواند بعنوان عنصر اصلی از نظر اقتصادی در خور توجه باشند. مگر آنکه گسترش کانی‌سازی در عمق بیشتر شده باشد.

در زون‌های مینرالیزه شمال محدوده (شمال ده رستم) و خاور محدوده (مزرعه سرگری-پورکی) نیز نمونه‌هایی جهت آنالیز ICP در طی دو مرحله برداشت گردیده است. کانی‌سازی در این دو بخش بیشتر در محدوده شمال ده رستم قابل مشاهده می‌باشد. کانی‌سازی بیشتر به صورت پیریت و بعضًا کالکوپیریت و به مقدار کمتر نسبت به بخش جنوبی و باختری به صورت مالاکیت دیده می‌شود. در بخش شمال و خاور محدوده کانی‌سازی بیشتر به صورت بیرون زدگی‌هایی به شکل پراکنده و آغشتگی و کمتر به صورت رگه و رگچه در پیروکلاستیک‌های ائوسن ( $E_2^{vs}$ ) و آندزیت و داسیت‌های  $E^{ad}$  ظاهر می‌گردد. شواهد کانی‌سازی در شمال ده رستم و مزرعه پورکی-مزرعه سرگری بویژه در مورد عناصری همچون طلا، نقره، بیسموت، آرسنیک و تلوریوم بشدت افت کرده و میزان میانگین در این عناصر به علاوه عناصر مهم دیگری همچون مس، آهن، آنتیموان، قلع، روی، سرب، کادمیوم، مولیبدن و تنگستن نیز کاهش چشمگیر داشته است. هر چند میزان میانگین عناصری همچون منگنز، استرانسیوم و باریم تا حدودی نسبت به منطقه زیارت‌شاه- نابلدیه افزایش داشته است.

برخی از مهمترین ویژگی‌های ذخایر مرتبط با توده‌های نفوذی مثل: قرارگیری در محیط تکتونیکی مرزهای صفحات همگرا با ماگماتیسم آلکالن، کالکوآلکالن و پرآلومینوس، سیالات هیدروترمالی با ماهیت کربناته، دگرسانی هیدروترمال ضعیف، محتوای فلزی کمتر از ۵ درصد و ..., در محدوده مورد مطالعه قابل مشاهده است. بر این اساس در منطقه مورد مطالعه بویژه در زون آلتنه و مینرالیزه باختر محدوده، کانی‌سازی (مس و طلا) شباهت‌هایی را با ذخایر مرتبط با توده‌های نفوذی نشان می‌دهد.

#### ۴-۲- پیشنهادها

- زون‌های مینرالیزه واقع در باختر (زیارت‌شاه- نابلدیه) و شمال محدوده (شمال ده رستم) به ترتیب به عنوان مناطق دارای اولویت اکتشافی معرفی می‌گردد.

- تهیه نقشه زمین شناسی- معدنی با مقیاس ۱:۵۰۰۰ از مناطق معرفی شده و برداشت حدود ۱۰۰ نمونه جهت مقاطع نازک و صیقلی از دو اولویت به وسعت  $7/8$  کیلومتر مربع در اولویت اول (زیارت‌شاه- نابلدیه)،  $2/5$  کیلومتر مربع در اولویت دوم (ده رستم)- تهیه نقشه کانی‌سازی-

دگرسانی در مقیاس ۱:۵۰۰۰ و تعیین ارتباط آنها با واحدهای سنگی، ساختارهای زمین‌شناسی و کانی‌سازی احتمالی.

- حفر ترانشه و چاهک‌های اکتشافی به میزان ۳۰۰ متر مکعب در محل زون‌های کانی‌سازی شده بویژه رگه‌های سیلیسی موجود در باخته محدوده.

- نمونه‌برداری از کلیه حفریات به تعداد حدود ۳۰۰ نمونه جهت آنالیز ۴۴ عنصری.

- شبکه‌بندی لیتوژئوشیمیایی در زون‌های مینرالیزه معرفی شده بویژه اولویت اول (زون زیارت شاه-نابلدیه) بصورت شبکه مربعی  $50 \times 50$  متر در دو بخش باخته به وسعت  $13/0$  کیلومتر مربع و خاوری با وسعت  $1/4$  کیلومتر مربع هر کدام با تعداد ۱۰۰ و ۶۰۰ نمونه. همچنین در اولویت دوم در بخشی با وسعت  $3/0$  کیلومتر مربع با ۱۵۴ نمونه (شکل ۱-۳). لازم به ذکر است که برداشت نمونه در هر سلول منحصر به رگه‌ها و زون‌های مینرالیزه و آلتره خواهد بود. بدیهی است در هر سلول تعداد ۵۰ زیر نمونه (Chip) ۱۰۰ گرمی برداشت شده و وزن هر نمونه بایستی بالغ بر ۵ کیلوگرم گردد. در صورتی که امکان شناسایی رگه‌ها و زونهای مینرالیزه و دگرسان در سطح سلول مشخص نشود، نمونه بصورت پراکنده از سطح بروزدهای برجا برداشت خواهد شد.

با در نظر داشتن اینکه زون دگرسانی و کانی‌سازی (مس و طلا) باخته محدوده، شباهت‌هایی را با ذخایر مرتبط با توده‌های نفوذی نشان می‌دهد، در این خصوص نیز می‌توان موارد پیشنهادی ذیل را مطرح نمود:

مطالعه سیالات درگیر جهت تعیین منشا سیالات کانی‌زا و ارتباط احتمالی آنها با توده‌های نفوذی

مطالعات ایزوتوپی جهت تعیین سن توده نفوذی و کانی‌سازی و تعیین ارتباط زمانی آنها با یکدیگر

با توجه به وجود کانی‌سازی‌های متعدد طلا در ارتباط با حاشیه و سقف توده نفوذی، (عامل کانی‌سازی) و با در نظر گرفتن سطح فرسایش کنونی، احتمال حضور ذخایر پلاسربلا، نقره و تنگستن در آبراهه‌های پایین دست حوضه کانی‌سازی وجود دارد، بنابراین پیشنهاد می‌گردد، آبرفته‌ای پایین دست مورد پیوی جزوی قرار گیرد.

## منابع و مأخذ

- ۱- آقانباتی، علی، ۱۳۸۳، زمین‌شناسی ایران، سازمان زمین‌شناسی کشور.
- ۲- افتخارنژاد، جمشید، ۱۳۵۹، تفکیک بخش‌های مختلف ایران از نظر وضع ساختمانی در ارتباط با حوضه‌های رسویی، نشریه انجمن نفت، شماره ۸۲، صفحه ۲۸-۱۹.
- ۳- فاضلی، عباس- تدین اسلامی، ابوالحسن، گزارش اکتشاف معدنی- شماره ۴ ورقه نگیسان، سازمان زمین‌شناسی و اکتشافات معدنی، ۱۳۷۰.
- ۴- خوئی، ناصر- قربانی، منصور- تاجبخش، پیمان- ۱۳۷۸- کانسارهای مس در ایران، سازمان زمین‌شناسی و اکتشافات معدنی.
- ۵- اعتمادی، شهریار- گزارش زمین‌شناسی اقتصادی ورقه یکصد هزارم نگیسان، ۱۳۸۰، سازمان زمین‌شناسی و اکتشافات معدنی.
- ۶- دلاور، سید تقی- تهیه نقشه مقدماتی پتانسیل مواد معدنی در ورقه نگیسان با بهره‌گیری از سیستم اطلاعات جغرافیایی (GIS)، ۱۳۸۰، سازمان زمین‌شناسی و اکتشافات معدنی.
- ۷- موقر، پاشا- قلیپور، مسعود- گلیایی، شهرام- کترل و معرفی نواحی امیدبخش معدنی در ورقه ۱:۱۰۰,۰۰۰ زمین‌شناسی نگیسان، ۱۳۸۵ سازمان زمین‌شناسی و اکتشافات معدنی.
- ۸- قربانی، م.، ۱۳۸۱، دیباچه‌ای بر زمین‌شناسی اقتصادی ایران، گزارش شماره ۲، پایگاه ملی داده‌های علوم زمین.
- ۹- قربانی، م.، ۱۳۸۵، زمین‌شناسی اقتصادی- ذخایر معدنی و منابع طبیعی ایران، در دست انتشار.
- ۱۰- کریم‌پور، م.ح.، سعادتی، س.، ۱۳۸۱، زمین‌شناسی اقتصادی کاربردی (ویرایش جدید)، نشر مشهد.

## Latin references

1. Baker M. C. W., Brown P. J., Griffits P. S., 1978, Geological map of Nagisan 100K sheet, Geological survey of Iran.
2. Baker T., Pollard P.J., Mustard R., Mark, G. & Graham, J.L. (2005) A comparison of granite-related tin, tungsten and Gold-bismuth deposits: implications for exploration. SEG Newsletter 61 (April):5-17.
3. Baker, T. & Lang, J.R. (2001) Fluid inclusion characteristics of intrusion-related gold mineralization, Tombstone-Tungsten magmatic belt, Yukon Territory, Canada; Mineralium Deposita, Volume 36, no 6, pages 563-582.
4. Blevin P.L. (2004) Redox and compositional parameters for interpreting the granitoid metallogeny of eastern Australia: implications for Gold-rich ore systems. Resource Geology 54 (3):241–252.
5. De La Roche, H., Leterrier, J., Grandclaude, P. & Marchal, M. (1980) A classification of volcanic and plutonic rocks using R1R2-diagram and major element analyses – its relationships with current nomenclature. Chemical Geology, 29: 183–210.
6. Goldfarb, R.J., Groves, D.I., & Gardoll, S. (2001) Orogenic gold and geologic time: a global synthesis. Ore Geology Reviews, No. 18 p. 1–75.
7. Hollister, V.F. (1992) On a proposed plutonic porphyry Gold deposit model: Nonrenewable Resources, V. 1, p. 293-302.
8. Irvine, T.N. & Baragar, W.R.A. (1971) A guide to the chemical classification of the common volcanic rocks. Can. J. Earth. Sci., 8: 523-548.
9. Lang J.R. & Baker T. (2001) Intrusion-related Gold systems: the present level of understanding. Mineralium Deposita 36:477–489.
10. Le Bas, M.J., Le Maitre, R.W., Streckeisen, A. & Zanettin, B. (1986) A chemical classification of volcanic rocks based on the total alkali–silica diagram. Journal of Petrology, 27: 745–750.
11. Logan, J.M. (2002) Intrusion-Related Gold Mineral Occurrences of the Bayonne Magmatic Belt, British Columbia Geological Survey, paper 2002-1,237-246.
12. Maniar, P.D. & Piccoli, P.M. (1989) Tectonic discrimination of granitoids. Geol. Soc. Amer. Bull. 101: 635–643.
13. McCoy, D., Newberry, R.J., Layer, P., DiMarchi, J.J., Bakke, A., Masterman, J.S. & Minehane, D.L. (1997) Plutonic-related gold deposits of interior Alaska: Economic Geology Monograph 9, p. 191-241.
14. Metcalf, R.V., Wallin, E.T., Willse, K.R. & Muller, E.R. (2000) Geology and geochemistry of the ophiolitic Trinity Terrane, California; Evidence of mid-Paleozoic ultradepleted supra-subduction zone magmatism in a proto-arc setting. Special paper - Geological Society of America, 349: 403-418.
15. Pearce, J.A., Harris, N.B.W., & Tindle, A.G. (1984) Trace element discrimination diagrams for the tectonic interpretation of granitic rock. Journal of Petrology, 25: 956-983.
16. Rollinson, H.R. (1993) Using geochemical data: Evaluation, Presentation, and Interpretation. John Wiley and Sons, 325p.
17. Sillitoe, R.H. (1991) Intrusion-related Gold deposits: in Foster, R.P., ed., Gold Metallogeny and Exploration: Blackie, Glasgow, p. 165-209. --1995, The influence of magmatic-hydrothermal models on exploration strategies for volcano-plutonic arcs: Mineralogical Association of Canada Shortcourse Series, v. 23, p. 511-525.
18. Stöcklin J. (1977) Structural correlation of the Alpine ranges between Iran and central Asia. Mem. Hors-serie Soc. Geol. Fr., 8:333-353.
19. Streckeisen, A. (1976) To each plutonic body its proper name. Earth Science Review, 12: 1-33.
20. Sun, S.S. & McDonough, W.F. (1989) Chemical and isotopic systematics of oceanic basalts: implications for mantle composition and processes, In: Saunders, A.D. &

- Norry, M.J. (eds), 1989 Magmatism in ocean basins. Geological Society, London, Spec. Pub, 42: 313-345.
21. Thompson, J.F.H, Sillitoe, R.H., Baker, T., Lang, J.R. & Mortensen, J.K. (1999) Intrusion-related gold deposits associated with tungsten-tin provinces, Mineralium Deposita, V. 34, p. 197-217.

پیوست شماره ۱

## نتایج مطالعه نمونه‌های پتروگرافی



## نمونه شماره: ZST.I

بافت: گرانولار - هتروگرانولار - نیمه عمیق؟

کانیها:

- پلازیوکلاز، شکل دار، با ساخت زونهای با ترکیب (آلبیت - اولیگوکلاز)، آلکالی فلدسپات، کوارتز، آمفیبول و بیوتیت بصورت تیغکهای پهن و به نسبت بلند مشاهده می شود.

تجزیه و دگرسانی:

- پلازیوکلاز بطور جزئی سرسیتی و گاه بطرور وسیع به اپیدوت و کمی آلکالی فلدسپات تجزیه و جانشین شده اند.

- آمفیبول ها، گاه بطرور نسبی توسط بیوتیت جانشین شده اند.

- بیوتیت بمقدار کم به کلریت و کمی اپیدوت تجزیه شده است.

توجه:

- رشد توأم کوارتز - فلدسپات در ابعاد دانه ریزتر در لایه لایه بلورهای درشت تر ملاحظه می شود.

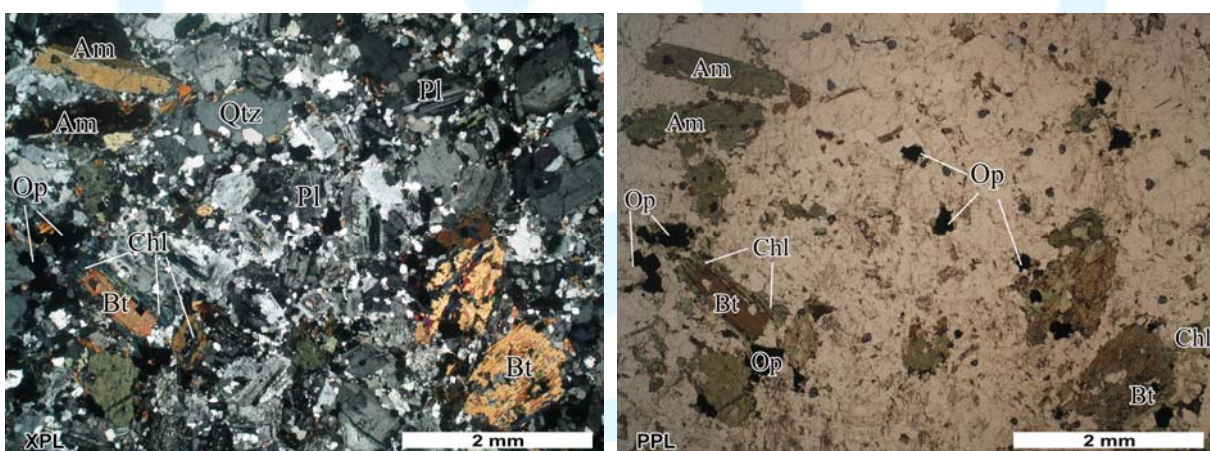
- به نظر می رسد در این سنگ افزون بر وجود بیوتیت های اولیه، آمفیبولها نیز تا حدی بیوتیتی شده اند. در برخی نقاط این دسته از بیوتیت ها (ثئوفورمه) بصورت رشته هایی نیمه ممتدا، تجدید تبلور یافته اند.

کانیهای ثانویه: کانیهای فیلوسیلیکاته (سریسیت، کلریت)، اپیدوت، آلکالی فلدسپات (آلبیت)

کانیهای فرعی: کانیهای اپاک، اسفن، آپاتیت

نام سنگ: (میکرو) گرانودیوریت پورفیری با دگر سانی به بیوتیت و نیز اپیدوت.

تشکیل بیوتیت های (ثئوفورمه) بیانگر تأثیر محلول های متاسوماتیکی پتانسیل بر سنگ مورد مطالعه می باشد.



## نمونه شماره: ZST. 3

بافت: گرانولار - هتروگرانولار - نیمه عمیق؟

کانیها: -) پلازیوکلاز، با ترکیب (آلبیت - اولیگوکلاز)، گاه بصورت تجمع، آلکالی فلدسپات پرتیتی، کوارتز با خاموشی موجی و گاه بصورت تجمع ملاحظه می شوند.

-) رشد توأم کوارتز- فلدسپات (feldspat سدیک و آلکالی فلدسپات) در ابعاد دانه ریزتری در لایه لایه بلورهای درشت تر ملاحظه می شود.

-) رگچه های ظرفی از کانیهای اکسید آهن ملاحظه می شوند.

-) در امتداد شکافهای موجود، گاه تبلور میکای سفید - کلریت مشاهده می شود.



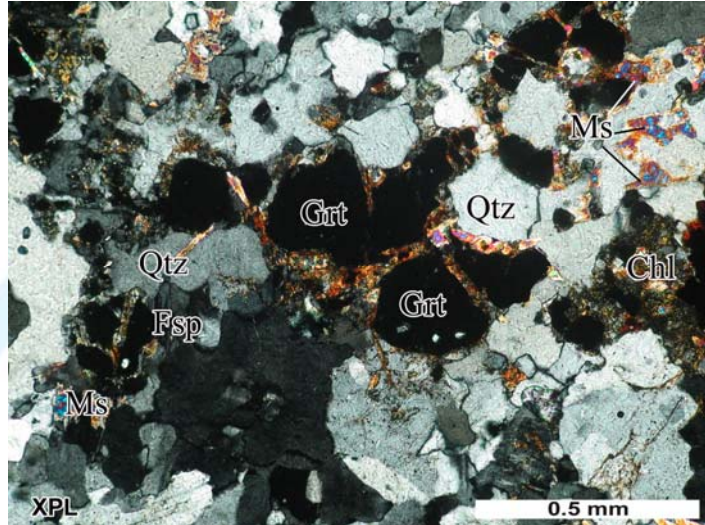
-) تجمع ریز بلورهای گارنت به همراه کانیهای میکائی (مسکویت - کلریت آهن دار) مشاهده می شود.

-) تبلور کانی میکائی (میکائی سفید) در اطراف کانیهای اپاک مورد توجه و بررسی می باشد.

کانیهای ثانویه: کانیهای فیلوسیلیکاته

کانیهای فرعی: گارنت، کانیهای اپاک

نام سنگ: میکرو گرانیت - گراتودیریت پورفیری گارنت دار



### ZST.6 نمونه شماره:

بافت: گرانولار

کانیها:

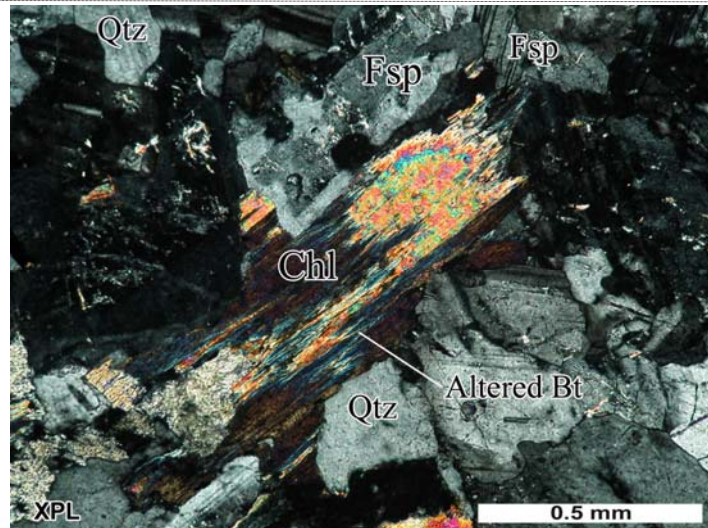
-) پلیوکلاز، شکل دار، با ترکیب (آنذین گاه تا لابرادوریت)، کوارتز، آمفیبول بصورت بلورهای تخته ای و گاه بیوتیت مشاهده می شوند.  
توجه:

-) گاه آثاری از پیروکسن در داخل بلورهای تخته ای آمفیبول مشاهده می شود.  
کانیهای ثانوی:

کانیهای فیلوسیلیکاته (رس، سریسیت، کلریت)

کانیهای فرعی: کانیهای اپاک، آپاتیت درشت

نام سنگ: تونالیت تاکوارت زدیوریت تا حدی سرسیتی شده



### ZST.9 نمونه شماره:

بافت: گرانولار- گاه بطور مشخص حاوی فلدسپاتهای متقاطع  
کانیهای:

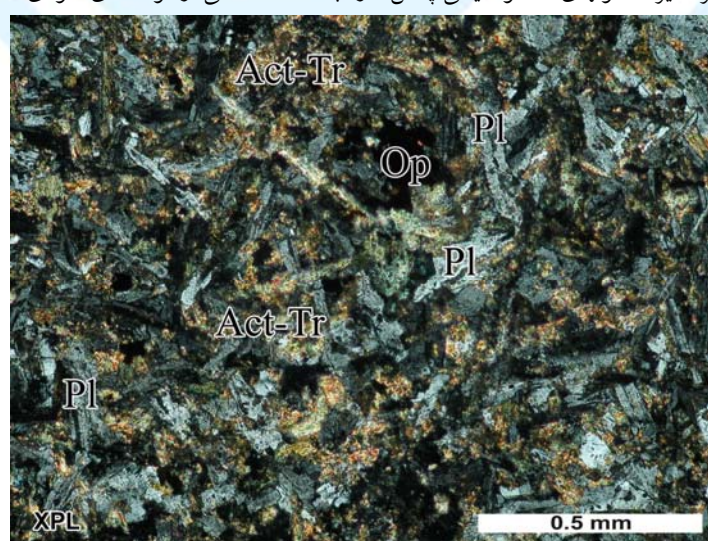
- فلدسپات با ترکیب ( اولیگوکلاز- آندزین) گاه مشکوک به آلکالی فلدسپات کوارتز حدود ۵٪، آمفیبول بصورت منشورهایی به نسبت ظریف و کوتاه و به مقدار فراوان با ترکیب (ترمولیت- اکینولیت)، بیوتیت بصورت لکه هایی بی شکل و به مقدار کمتر از بیوتیت مشاهده می شوند (نئوفورمه).

توجه: رگچه های گاه منشعب از کانیهای اکسید - هیدروکسید آهن مشاهده می شود.

کانیهای ثانوی: لوکوسن - اسفن که بطور پراکنده در سنگ موجود است.

کانیهای فرعی: کانیهای اپاک، آپاتیت بصورت سوزنهاای بسیار ظریف و کوتاه و به مقدار فراوان  
نام سنگ:

متا میکرو (مونزو) دیوریت پورفیری با دگرگونی- دگرسانی معادل با رخساره شیست سبز به کانیهای ترمولیت - اکینولیت و بیوتیت.  
تشکیل بیوتیت نئوفورمه بیانگر تأثیر محلولهای متاسوماتیکی پtas دار (به احتمال ناشی از توده های نفوذی اسیدیتر) بر سنگ می باشد.



**ZST.12**

بافت: گرانولار - میکروگرافیکی

کانیها:

-آلکالی فلدوپات (پرتیتی)، پلازیوکلاز نیمه شکل دار، ماکل دار با ترکیب (آلبیت- اولیگوکلاز)، کوارتز بصورت بلورهای بی شکل و گاه با بافت های میکرو گرافیکی ملاحظه می شوند.

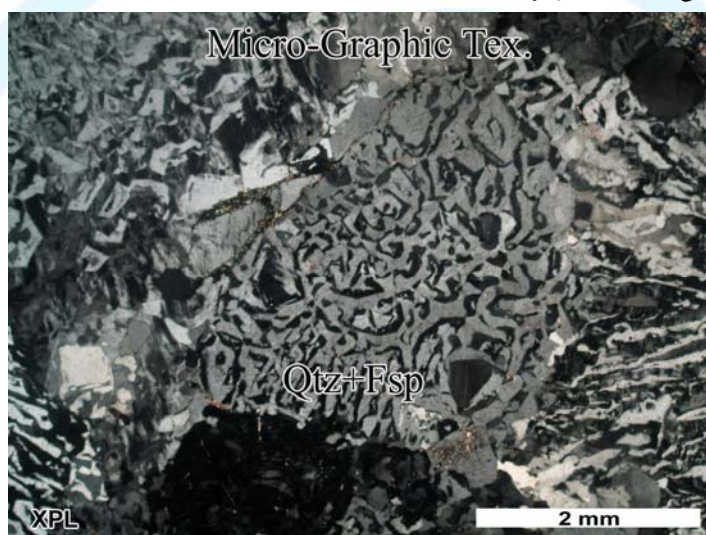
تجزیه و دگرسانی: -) آلکالی فلدوپاتها بطور جزئی به کانیهای رسی تجزیه شده اند.

توجه: -) در امتداد شکستگی ها، گاه تجدید تبلور کانیها در ابعاد دانه ریزتری مشاهده می شود.

کانیهای ثانویه: کانیهای رسی

کانیهای فرعی: کانیهای اپاک بطور جزئی

نام سنگ: گرانیت میکروگرافیکی تا حدی تکتونیزه

**ZST.13**

بافت: گرانولار - دانه درشت

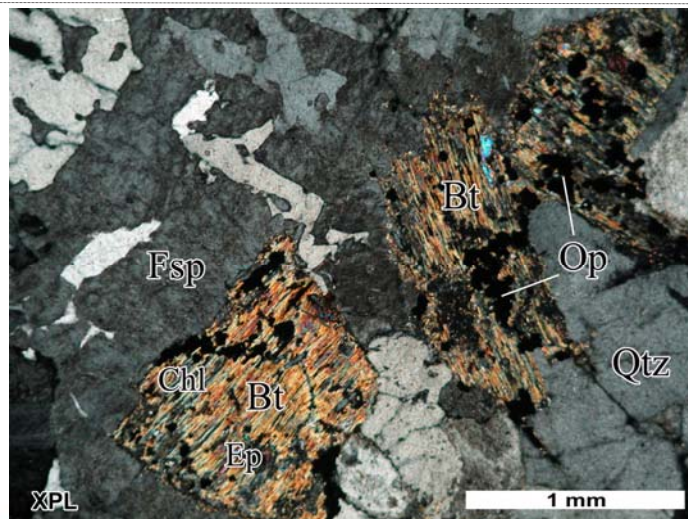
کانیها: -) پلازیوکلاز، با ساخت زونه ای با ترکیب (آلبیت - اولیگوکلاز)، آلکالی فلدوپات گاه بطور مشخص میکروکلین (پرتیتی)، کوارتز و بیوتیت ملاحظه می شود.

تجزیه و دگرسانی: -) پلازیوکلازها بطور نسبی به کانیهای فیلوسیلیکاته (بیشتر رس، کمی سریسیت) و گاه آلکالی فلدوپات، اپیدوت و کمی سیلیس تجزیه و جانشین شده اند.

کانیهای ثانوی: کانیهای فیلوسیلیکاته (رس، میکا، کلریت)، اپیدوت، سیلیس

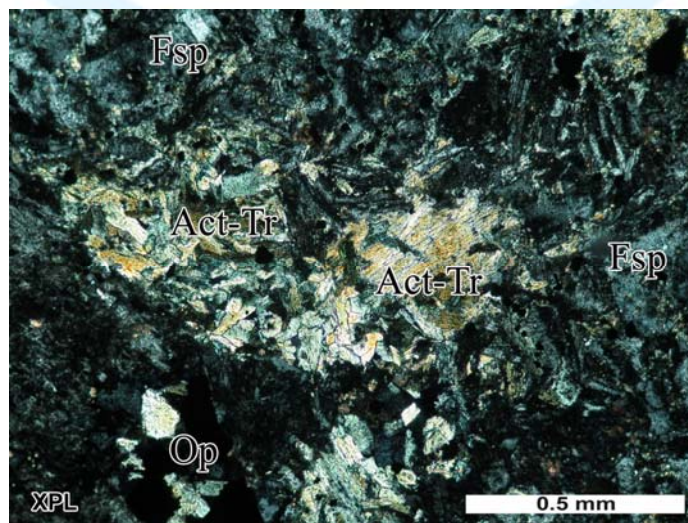
کانیهای فرعی: کانیهای اپاک

نام سنگ: گرانیت - گرانودیوریت با دگرسانی نسبی به کانیهای فیلوسیلیکاته و قدری اپیدوت و سیلیس



### ZST.14 نمونه شماره:

بافت: پورفیریتیک با زمینه هولو کریستالین  
پورفیرها : -) فلدسپات با ترکیب سدیک، آمفیبول (ترمولیت - اکتینولیت) با تجدید تبلور ملاحظه می شوند.  
کانیهای زمینه: فلدسپات با ترکیبی کم و بیش سدیک تراز پورفیرها، بلورهای پراکنده از آمفیبول (تلومیت - اکتینولیت)، گاه ریز بلورهای کوارتز و اغلب بلورهای کانیهای اپاک مشاهده می شود.  
تجزیه و دگرسانی : -) فلدسپاتها با تجزیه و جانشینی قابل ملاحظه به مجموعه کانیهای کریپتوکریستالین مشکل از زئولیت، رس، کلریت و نیزگاه سیلیس سریسیت و کمی آنکالی فلدسپات ملاحظه می شود.  
توجه: -) رگچه های نیمه ممتداز دار از لوکوسن - اسفن مشاهده می شود.  
-) رگچه های نیمه ممتداز دار از لوکوسن - اسفن مشاهده می شود.  
-) تجدید تبلور اسفن در حواشی کانیهای اپاک به مقدار کم ملاحظه می شود.  
کانیهای ثانوی : کانیهای فیلوسیلیکاته (رس - میکا - کلریت) سیلیس، زئولیت، آلبیت  
کانیهای فرعی : کانیهای اپاک، اسفن، آلانیت، آپاتیت  
نام سنگ: میکرو (کوارتز) مونزودیوریت پورفیری دگرسان شده به ترمولیت - اکتینولیت کانیهای فیلوسیلیکاته (رس، میکا، کلریت)  
زئولیت؟، لوکوسن - اسفن



**ZST.16**

بافت: گرانولار - تکتونیزه

کانیها: -) آلکالی فلدرسپات، پلاژیوکلاز با ترکیب (آلیت - اولیگو کلاز)، کوارتز با خاموشی موجی ملاحظه می شود.

تجزیه و دگرسانی:

-) آلکالی فلدرسپاتها به کانیهای رسی تجزیه شده اند.

-) پلاژیوکلازها بطور نسبی به سریسیت تجزیه شده اند.

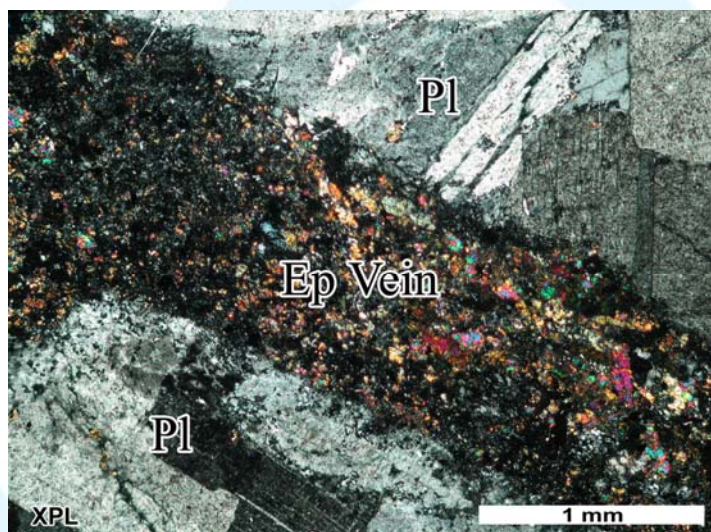
توجه:

در امتداد شکاف به نسبت ضخیم حاصل از شکستگی، رشد ریز بلورهای اپیدوت به همراه ریز بلورهای کانیهای اپاک ملاحظه می شود. در امتداد این شکاف تجدید کانیها نیز تا حدی صورت گرفته است.

کانیهای ثانوی: کانیهای فیلوسیلیکاته (رس، سریسیت)، اپیدوت

کانیهای فرعی: کانیهای اپاک

نام سنگ: گرانیت تکتونیزه حاوی شکافهای پر شده توسط اپیدوت

**ZST.15**

بافت: گرانولار - دانه درشت

کانیها:

-) پلاژیوکلاز، شکل دار، اغلب ماکل دار، گاه با ساخت زونه ای، با ترکیب (اولیگوکلاز گاه تا آندزین)، آلکالی فلدرسپات بصورت بلورهای بی شکل، کوارتز و بیوتیت بصورت تیغک های پهن مشاهده می شوند.

تجزیه و دگرسانی: برخی از پلاژیو کلاز، بخصوص از بخش های مرکزی به نحو قابل توجه به کانیهای فیلوسیلیکاته (رس، سریسیت) و گاه کمی اپیدوت تجزیه و جانشین شده اند.

-) آلکالی فلدرسپاتها اغلب و گاه بشدت به کانیهای رسی تجزیه شده اند.

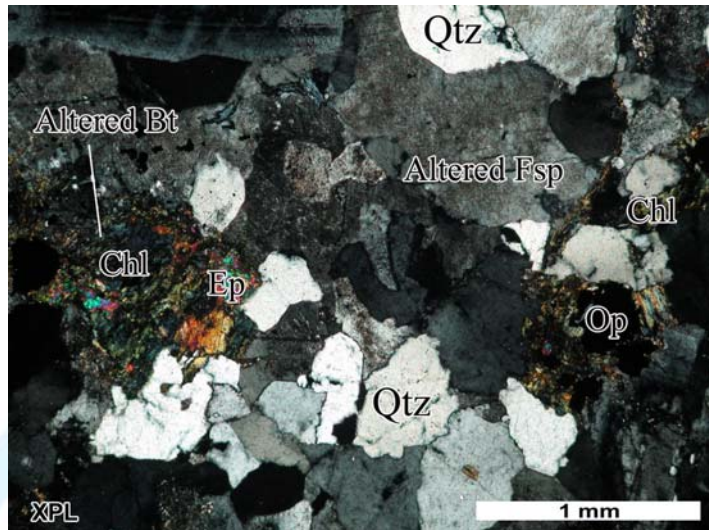
-) آلکالی فلدرسپاتها اغلب و گاه بشدت به کانیهای رسی تجزیه شده اند.

-) بیوتیت گاه به کلریت، قدری اپیدوت و ریزبلورهای کانیهای اپاک (تیتان دار) تجزیه شده اند.

کانیهای ثانوی: کانیهای فیلوسیلیکاته (رس، سریسیت و کلریت)، اپیدوت



کانیهای فرعی: زیرکن، آلانیت، کانیهای اپاک  
نام سنگ: گرانیت دانه درشت.



### نمونه شماره: ZST.18

بافت: بطور جزئی پورفیریتیک - هولوکریستالین - نیمه عمیق.

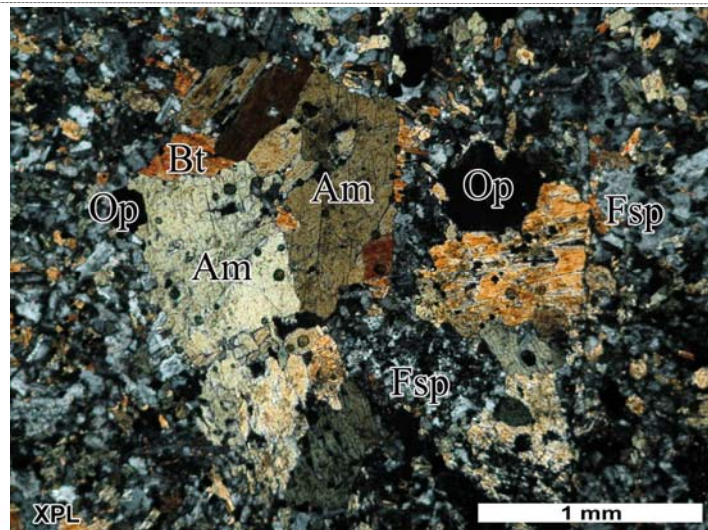
پورفیرها: -) پلاژیو کلاز، نیمه شکل دار، با ترکیب (اولیگوکلاز - آندزین گاه به احتمال تالابرادوریت)، گاه آکالی فلدسپات و تجمعات آمفیبول اغلب به طور مشخص (ترمولیت- اکتیولیت) بصورت بلورهای تخته ای ملاحظه می شوند.  
کانیهای زمینه: فلدسپات به همراه ریز بلورهای آمفیبول، کمی بیوتیت ریز بلورهای فراون از کانیهای اپاک مشاهده می شوند. فلدسپاتها شامل پلاژیوکلاز و گاه آکالی فلدسپات هستند.

تجزیه و دگرسانی :

- ) پلاژیوکلازها با تجزیه نسبی، مجموعه کانیهای کریپتو کریستالین (رس- میکا- کلریت) به احتمال به همراه مقادیری زئولیت؟ و گاه آکالی فلدسپات، کربنات و بیوتیت تجزیه و جانشین شده اند.
- ) در امتداد شکافهای موجود، گاه رشد کلریت ملاحظه می شود.

توجه:

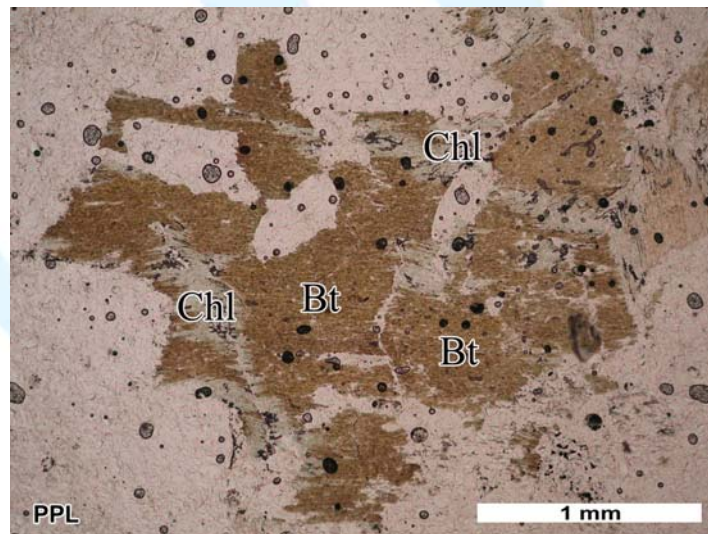
- ) در بخشی از سنگ بدون مرز مشخص با سایر قسمت ها، رشد توأم بلورهای سنگ در ابعاد دانه ریزتری ظاهر شده است.
  - ) تجمع و تراکم ریز بلورهای کانیهای اپاک گاهی مشاهده می شود.
- کانیهای ثانوی: کانیهای فیلوسیلیکاته (رس، میکا، کلریت)، زئولیت؟، آکالی فلدسپات (آلیت)
- کانیهای فرعی: کانیهای اپاک
- نام سنگ: متا میکرو مونزو دیوریت پورفیری بشدت دگرسان شده به ترمولیت- اکتیولیت و تا حدی بیوتیت و آلیت - این دگرگونی - دگرسانی معادل رخساره شیست سبز صورت گرفته است.



نمونه شماره: ZST.19

بافت: این سنگ قادر نسبتاً به داشت از نظر بافت می‌باشد.  
کانیها: اساس سنگ مطابق کیفیت بسیار ضعیف مقطع، ظاهرًاً متتشکل از بیوتیت و مقادیری آمفیول می‌باشد. بیوتیت‌ها تا حدی به کلریت و اسفن تجزیه شده‌اند. بیوتیتها که بصورت تیغک‌های پهن مشاهده می‌شوند دارای خمایر خمایر نیروهای تکتونیکی هستند.  
آثاری مهم از پلازیوکلازو گاه کوارتز مشاهده می‌شود.

نام سنگ: سنگ آذرین درونی

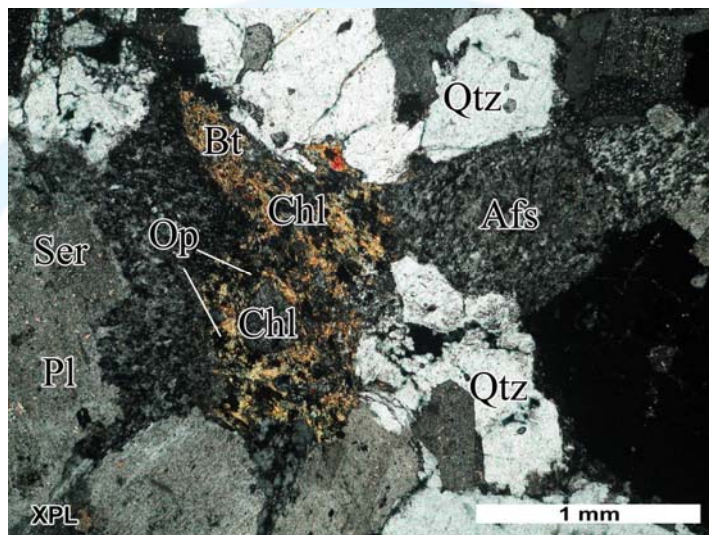


نمونه شماره: ZST.20

بافت: گرانولار  
کانیها: -) پلازیوکلاز، شکل‌دار تا نیمه شکل‌دار، دارای ماکلهای خمیده، آلکالی فلدسپات با ظاهری لک و پیس‌دار، کوارتز، گاهی بیوتیت جانشین شده ملاحظه می‌شود.  
تجزیه و دگرسانی:  
-) پلازیوکلازها به طور نسبی به رس و سریسیت تجزیه شده‌اند.



- ) آلکالی فلدسپاتها به رس، سیلیس، بندرت اپیدوت تجزیه و جانشین شده‌اند.
- ) بیویت که بطور کامل به کلریت، لوکوکسن - اسفن، مقادیری کانیهای اپاک بدل شده است.
- توجه:-) در بخشی از سنگ منطقه‌ای به نسبت وسیع منشکل از رشد بلورهای شکل دار اپیدوت ملاحظه می‌شود.
- ) در امتداد شکستگی و درزهای درزهای، گاه کلریت به همراه لوکوکسن - اسفن مشاهده می‌شود. که می‌تواند در ارتباط با تجزیه بیویت‌ها باشد.
- ) در بخشی از سنگ منطقه‌ای مشکل از رشد تواأم تیغکهای ظریف از بیویت (نو فورمه) مشاهده می‌شود.
- کانیهای ثانوی : کانیهای فیلوسیلیکاته (رس، میکا، کلریت)، اپیدوت، سیلیس
- کانیهای فرعی : کانیهای اپاک، زیرکن
- نام سنگ : تونالیت تکتونیزه با دگرسانی بیشتر به اپیدوت، بیویت و نیز کلریت و لوکوکسن - اسفن.

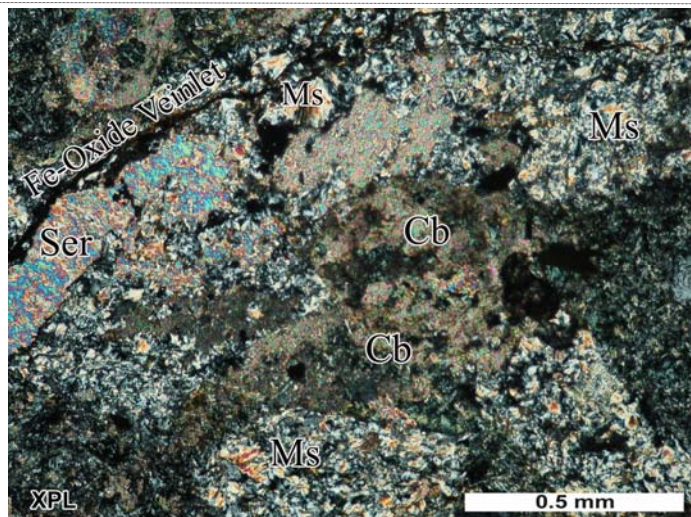


### ZST.22

بافت : بطور جزئی پورفیریک - میکرولیتی ظریف و بنحوی وسیع سریسیتی - کلریتی  
 پورفیرها : فلدسپات، شکل دار، بطور وسیع تجزیه و جانشین شده، کانی فرومیزین (جانشین شده) ملاحظه می‌شود.  
 کانیهای زمینه: میکرولیت‌های فلدسپات، گاه کوارتز، قطعات یا لکه‌هایی از کربنات به همراه کانیهای اکسید - هیدروکسید آهن، ریز بلورهای کانیهای اپاک مشاهده می‌شوند.

تجزیه و دگرسانی:

- ) فلدسپات که بطور کامل توسط سریسیت، کلریت و کمی کربنات و گاه با مقادیری اپیدوت تجزیه و جانشین شده است.
- ) کانی فرمیزین (پیروکسن) که بطور کامل به کلریت و کربنات بدل شده است.
- توجه:-) شکستگی‌های موجود توسط کربنات پر شده است.
- ) رگچه‌های نیمه ممتد و تابدار از کانیهای، اکسید آهن ملاحظه می‌شود.
- کانیهای ثانوی : کانیهای فیلوسیلیکاته (کلریت، سریسیت)، اپیدوت، کربنات
- کانیهای فرعی: کانیهای اکسید آهن تیتاندار، گاه اشکال چهار گوش در ارتباط با پیریت؟
- نام سنگ: آندزیتیک داسیت به احتمال تا داسیت با دگرسانی وسیع به سریسیت، کلریت و کربنات.



### نمونه شماره: ZST.23

بافت: پورفیریتیک با زمینه فلدوپاتیک - میکروولیتی  
پورفیرها: -) پلاژیوکلاز، نیمه شکلدار تا شکلدار، گاه با حواشی خورده شده با ترکیب (اولیگوکلاز- آندرین سدیک)، کانیهای فرومیزین (جانشین شده) ملاحظه می شوند.

کانیهای زمینه: فلدوپاتیک با ترکیب سدیک و بصورت میکروولیتی و نیز با ترکیب سدیک - پتاسیک و بصورت بلورهای بی شکل (آلکالی فلدوپاتیک، کمی کوارتز، لکه هایی با ترکیب کلریت آهن دار بندرت کلریت آهن دار - بیوتیت ملاحظه می شوند.  
توجه: -) در بخشی از سنگ تجمع بلورهای فلدوپاتیک ملاحظه می شود.

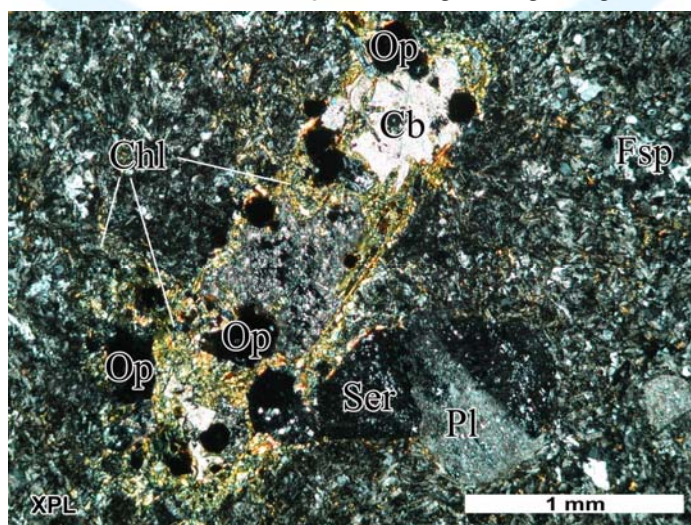
-) تجمع کانیهای اپاک به راه آپاتیت ملاحظه می شود.  
-) تجمع کربنات با حواشی از تیغک های کلریت آهن دار و بلورهای آپاتیت ملاحظه می شود.

کانیهای ثانویه:

کانیهای فیلوسیلیکاته (رس، کلریت)، کربنات، اپیدوت  
کانیهای فرعی: کانیهای اپاک، آپاتیت

نام سنگ:

میکرونوزودیوریت پورفیری با دگرسانی به کانی های رسی و کلریت آهن دار.





## نمونه شماره: ZST.26

بافت: پورفیریتیک با زمینه میکرولیتی

پورفیرها: -) پلازیوکلاز با ترکیب (ولیگوکلاز- آندزین سدیک)، کانی فرومینیزین (جانشین شده) ملاحظه می شوند.

کانیهای زمینه:

میکرولیت های ظریف فلدسپات سدیک، آلکالی فلدسپات بصورت (patch) لکه هایی با ترکیب کلریت، گاه کوارتز، گاه لکه هایی با ترکیب کربنات، ریز بلورهای لوکوسن- اسفن ملاحظه می شود.

تجزیه و دگرسانی:

-) پلازیوکلاز بطور نسبی به کانیهای فیلو سیلیکاته (رس، میکا، کلریت) و کربنات تجزیه و جانشین شده است.

-) کانی فرومینیزین که به کلریت و اپیدوت بدل شده است.

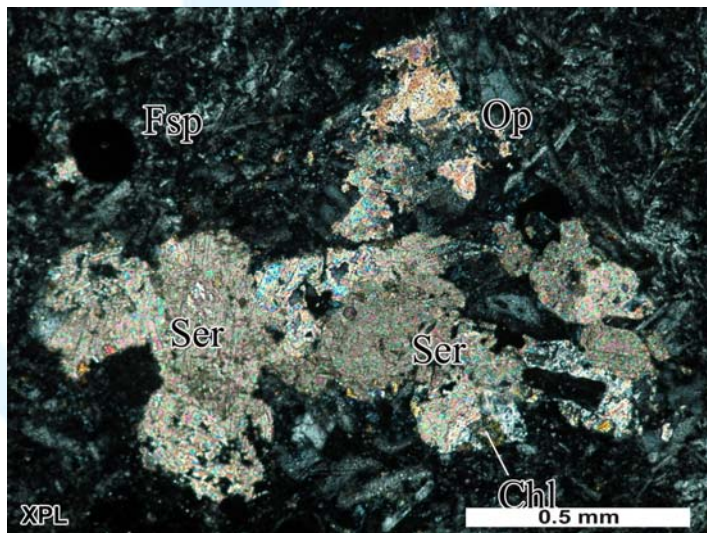
-) کلریت افرون بر جانشینی کانیهای فرومینیزین، بصورت لکه مانند در زمینه و گاه با تبلور شعاعی و گاه کریپتوکریستالین در حفرات مشاهده می شود.

-) گاه تبلور کلریت به همراه کوارتز با منشأ هیدروترمالی ملاحظه می شود.

کانیهای ثانوی: کانیهای فیلو سیلیکاته (رس، میکا- کلریت)، اپیدوت، کربنات

کانیهای فرعی: زیرکن، کانیهای اپاک، آپاتیت

نام سنگ: کوارتز تراکی آندزیت- (آندزیتیک داسیت) با دگرسانی به کلریت و کربنات، کانیهای رسی و کمی اپیدوت



## نمونه شماره: ZST.29

بافت: پورفیریتیک - هولو کریستالین - نیمه عمیق - بندرت افیتیکی

پورفیرها:

-) پلازیوکلاز، شکل دار با ترکیب (آنزین- لابرادوریت)، کلینو پیروکسن (اوژیت) گاه بصورت بلورهای بسیار درشت، کانی فرومینیزین (جانشین شده) ملاحظه می شود.

کانیهای زمینه: فلدسپات گاه به شکل لت (Lath) و گاه بصورت بلورهای بی شکل (آلکالی فلدسپات) گاه کوارتز، بلورهای بی شکل پیروکسن به مقدار فراوان و ریز بلورهای کانیهای اپاک مشاهده می شوند.



تجزیه و دگرسانی :

- کانی فرومیزین (اوپیوین؟) که به کلریت تا کلریت - سرپانتین بدل شده است،

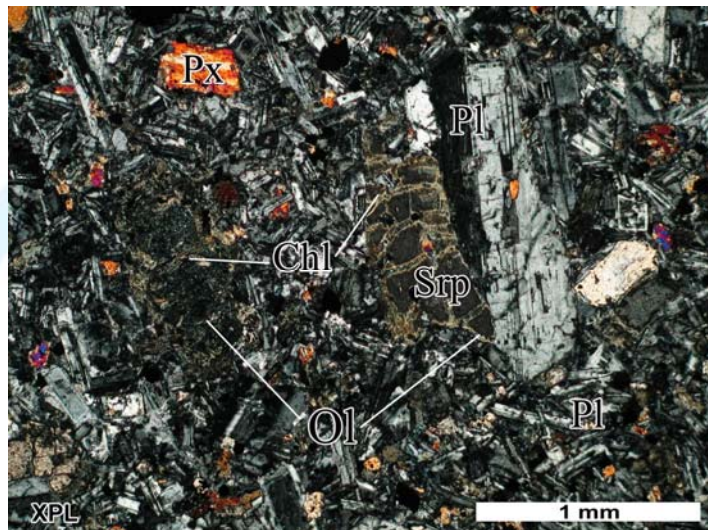
- پیروکسن گاه به کلریت و مقادیری کربنات تجزیه شده است.

توجه: -) برخی از پلاژیو کلازها حاوی ریز بلورهای گرد شده از پیروکسن هستند.

کانیهای ثانوی: کلریت، کربنات

کانیهای فرعی: کانیهای اپاک، آپاگیت

نام سنگ: میکرو (مونزو گابرو) پورفیری با دگرسانی نسبی به کلریت و کربنات.



### ZST.31 نمونه شماره:

بافت: پورفیریتیک با زمینه کرپتو کریستالین

پورفیرها: فلدسپات با ترکیب سدیک تا سدیک - پتاسیک بصورت تجمع، بندرت کانی فرومیزین ملاحظه می شوند.

کانیهای زمینه: زمینه فلدسپاتیک سنگ کم و بیش هم ترکیب با پورفیرها، گاه کوارتز مشاهده می شود.

تجزیه و دگرسانی: -) فلدسپاتها تا حدی به کانیهای رسی، مقادیری کانیهای هیدروکسید آهن و گاه بنحو وسیع توسط اپیدوت تجزیه و جانشین شده است.

-) کانی فرومیزین که بطور کامل به کلریت بدل شده است.

-) فلدسپاتهای زمینه بیشتر به سریسیت (کلریت) بصورت تیغک های بسیار ظرفیت تجزیه شده اند.

توجه:

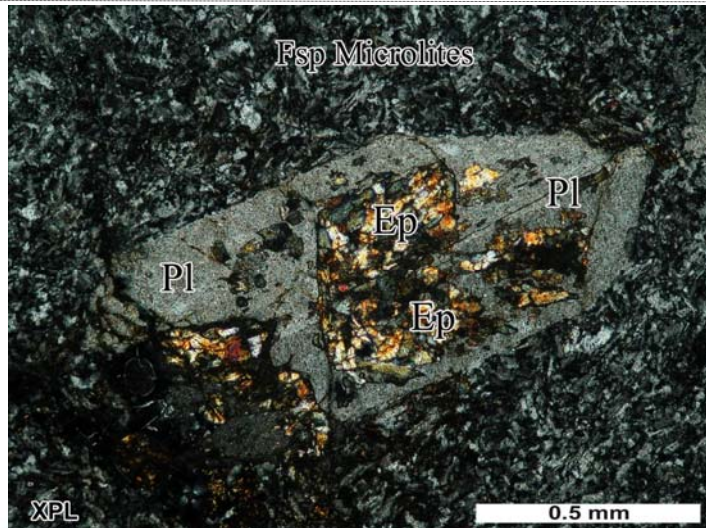
-) در امداد شکستگی و شکافهای باریک رشد اپیدوت ملاحظه می شود.

-) تجمع اپیدوت به همراه رگچه هایی از کانیهای اکسید آهن ملاحظه می شود.

کانیهای ثانوی: کانیهای فیلوسیلکاته (رس، کلریت) اپیدوت

کانیهای فرعی: کانیهای اپاک

نام سنگ: کوارتز تراکی آندزیتیک داسیت با دگرسانی به اپیدوت، سریسیت (کلریت) و مقادیری کانیهای اکسید - هیدروکسید آهن.



### نمونه شماره: ZST.36

بافت: پورفیریتیک تا پورفیرو کلاستیک، با زمینه توفی - برشی - (ولکانو کلاستیکی)  
قطعات متشكله:

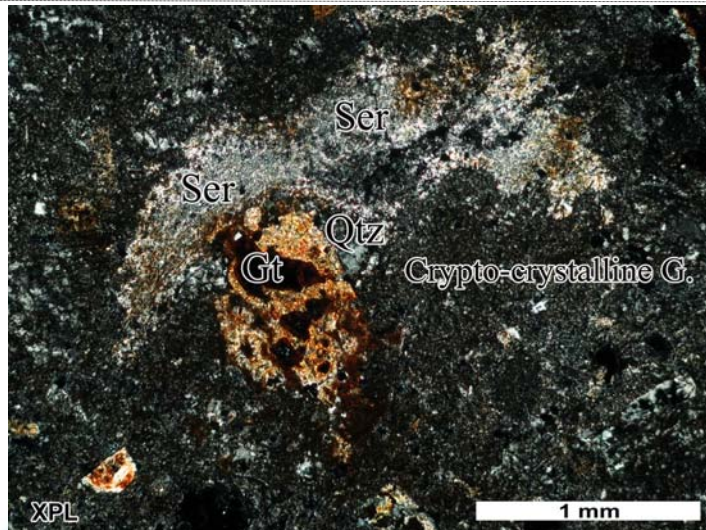
- قطعات بلوری با ترکیب سدیک - پتاسیک ملاحظه می شوند.
- قطعات سنگی ولکانیکی حاوی پورفیرهای کانی فرومینزین در زمینه ای میکرولیتی ملاحظه می شوند.
- قطعات سنگی ولکانیکی حاوی پورفیرها فلدرسپات سدیک در زمینه ای شیشه ای، سیلیسی، آرژیلی و اکسیده ملاحظه می شوند.
- قطعات شیشه ولکانیکی سریسیتی شده ملاحظه می شوند.

کانیهای زمینه:

زمینه شیشه ای سنگ به مجموعه کانیهای کریپتو کریستالین و فیلو سیلیکاته (سریسیت) سیلیس و کانیهای هیدروکسید آهن تجزیه و دگرسان شده است. در اطراف شکافهای موجود، تجزیه شیشه موجود در زمینه به سریسیت بصورت کریپتو کریستالین صورت گرفته است.

تجزیه و دگرسانی:

- شیشه موجود در زمینه به سریسیت، سیلیس و کانیهای هیدروکسید آهن دگرسان شده است.
  - فلدرسپاتها به سریسیت، کانیهای هیدروکسید آهن و گاه بطور کامل به سریسیت تجزیه و دگرسانی شده اند.
- کانیهای ثانوی: کانیهای فیلو سیلیکاته (سریسیت)، سیلیس، کانیهای هیدروکسید آهن
- کانیهای فرعی: کانیهای اپاک
- نام سنگ: توف شیشه ای دگرسان شده به سریسیت، سیلیس، کانیهای هیدروکسید آهن



### ZST.38 نمونه شماره:

بافت: پورفیریتیک

پورفیرها: -) فلدرسپات با ترکیب سدیک تا سدیک - پتاسیک، کانی فرومینزین (جانشین شده) ملاحظه می شوند.  
کانی های زمینه: زمینه سنگ در برخی نقاط بطور مشخص کوارتز - فلدرسپات به همراه لت (Lath) و نیز گاه میکرولیت های ظریف از فلدرسپات، کلریت بنحوی وسیع و نیز گاه کوارتز بصورت تجمع ملاحظه می شوند.

تجزیه و دگرسانی:

- ) فلدرسپات ها به نحوی وسیع به اپیدوت و نیز تا حدی به کانی های رسی، کلریت و کربنات تجزیه و جانشین شده اند.
- ) کانی فرومینزین که به کلریت گاه به همراه کربنات بدل شده است.

توجه:

-) تجمع کربنات به همراه سیلیس و مقداری اپیدوت گاه مشاهده می شود.

-) در بخشی از سنگ قطعه ای؟ با منشاء نامشخص حاوی فلدرسپات های متقاطع به همراه کلریت و کربنات مشاهده می شود که قادر مرز مشخص با سایر بخش های زمینه می باشد.

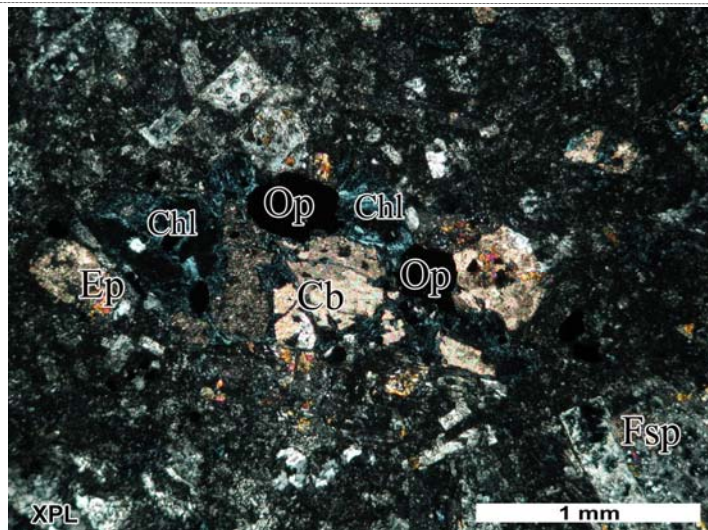
کانی های ثانوی: کانی های فیلوسیلیکاته (رس، کلریت)، کربنات، اپیدوت

کانی های فرعی: کانی های اپاک، آپاتیت

نام سنگ:

متاکوارتز لاتیت به احتمال تا داسیت (پورفیری) - دگرگونی - دگرسانی سنگ بنحوی قابل توجه به اپیدوت، کلریت، کربنات، سریسیت، سیلیس صورت گرفته است.

پیشنهاد می شود مقطع دیگری از سنگ با کیفیت مناسب تهیه شود.



### نمونه شماره: ZST-60

بافت: ولکانوکلاستیک (کریستالوکلاستیک با زمینه کریپتوکریستالین - شیشه‌ای جریانی دگرسان شده) قطعات متتشکله: قطعات بلوری نیمه‌شکل‌دار، با حواشی خورده شده از فلدسپات در ابعاد ریز و درشت به احتمال با ترکیب سدیک تا سدیک-پتاسیک (آلکالی فلدسپات) ملاحظه می‌شود.

زمینه سنگ: زمینه بسیار ریز سنگ از مجموعه کانیهای ثانوی (سیلیس، تیغکهای بسیار ظرفی و نامحسوس از میکا و کلریت) و مقادیری شیشه تشکیل شده است.

تجزیه و دگرسانی:

- فلدسپاتها به طور جزئی به کانیهای رسی ولی بیشتر سریسیت تجزیه و جانشین شده‌اند.

توجه:

- اپیدوت به صورت تجمع اغلب در زمینه مشاهده می‌شود. شکستگی‌های موجود نیز توسط این کانی پر شده است.

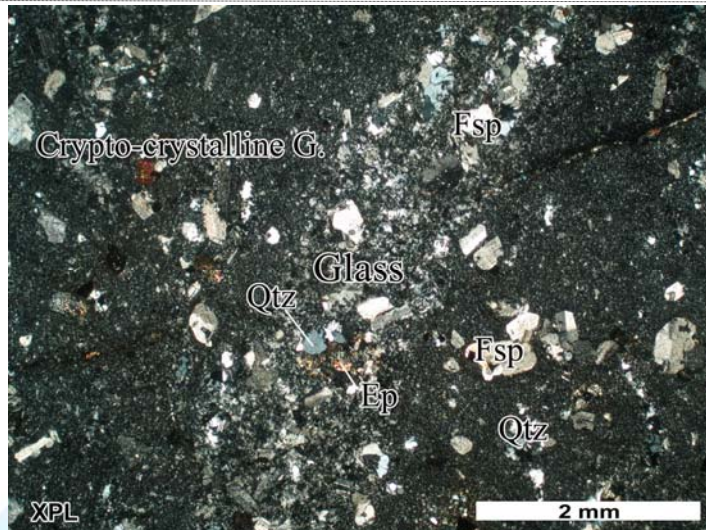
- بخش‌هایی با تراکم کانیهای هیدروکسید آهن به صورت غبار به همراه ریزبلورهای کانیهای اپاک و نیز میکا-کلریت به صورت کریپتوکریستالین مشاهده می‌شود که می‌تواند در ارتباط با شیشه ولکانیکی دگرسان شده با ترکیب نیمه اسیدی تا نیمه بازیک باشد.

- در امتدادی باند مانند که می‌تواند حفره‌ای کشیده شده باشد، تبلور شیشه موجود در زمینه سنگ در ابعاد دانه درشت‌تری نسبت به بقیه سنگ مشاهده می‌شود. در این بخش‌ها، گاه رشد اپیدوت ملاحظه می‌شود.

کانیهای ثانویه: کانیهای فیلوسیلیکاته (کانیهای رسی، سریسیت، میکا-کلریت)، سیلیس

کانیهای فرعی: کانیهای اپاک

نام سنگ: کریستال توف شیشه‌ای دگرسان شده به سیلیس، میکا-کلریت، اپیدوت و سریسیت



### نمونه شماره: ZST-59

بافت: پورفیریتیک با زمینه میکروگرانولار- هولوکریستالین  
پورفیرها: پلازیوکلاز با حواشی خورده شده، با ترکیب (الیگوکلاز- آندزین سدیک)، دارای انکلوزیونهای فراوان از ریزبلورهای کانیهای اپاک، گاه بقایای پیروکسن، آمفیبول به صورت تجمع بلورهای تخته‌ای و اغلب به طور مشخص با ترکیب (ترمولیت- اکتینولیت) ملاحظه می‌شود.

کانیهای زمینه: رشد کوارتز- فلدسپات (اغلب آلکالی فلدسپات پرتیتی)، گاه پلازیوکلاز با حواشی از آلکالی فلدسپات، بلورهای ریز و بی‌شکل از آمفیبول (ترمولیت- اکتینولیت) به مقدار فراوان، بلورهای کانیهای اپاک، کلینوپیروکسن به مقدار کم و درگیر با کانیهای اپاک و به ندرت بیوتیت موجود است.

تجزیه و دگرسانی:

-) پلازیوکلاز اغلب به طور ضعیف سیلیسی شده‌اند، احتمال پدیده جانشینی توسط تیغکهای بیوتیت در این نمونه باید مورد بررسی بیشتری قرار بگیرد.

توجه:-) پراکنده‌گی، شکل و ابعاد بلورهای کانیهای اپاک بسیار متنوع است که می‌تواند در ارتباط با دمیده شدن محلول‌های کانی‌ساز از یک توده نفوذی اسیدیتر باشد.

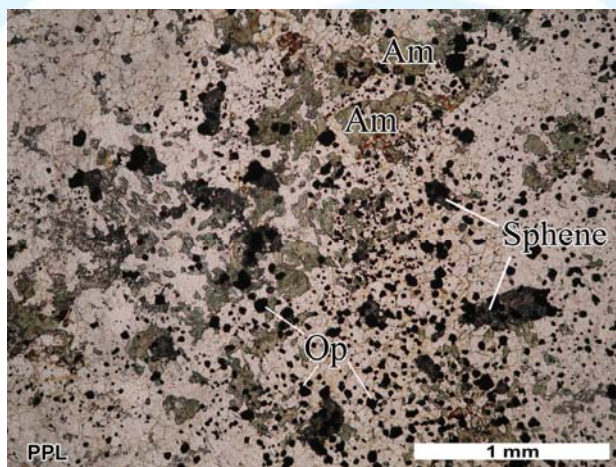
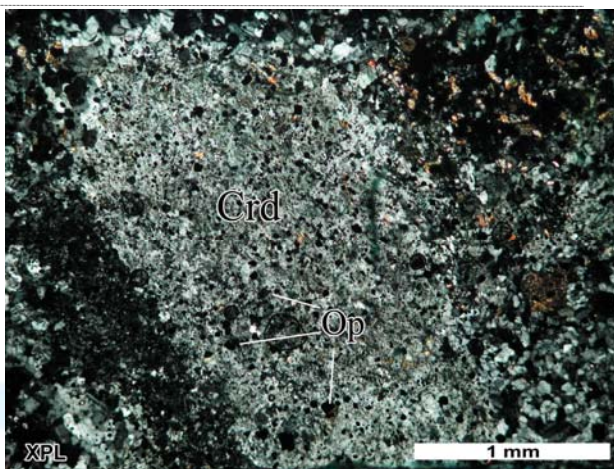
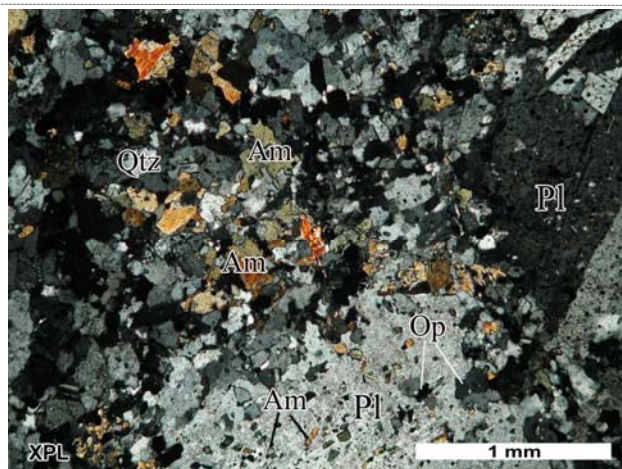
-) اسفن درگیر با کانیهای اپاک اغلب ملاحظه می‌شود.

-) آمفیبول‌ها (ترمولیت- اکتینولیت) به صورت بلورهای تخته‌ای و اجتماع و نیز به صورت ریزبلور و پراکنده، به میزان وسیع در سنگ موجود است. بقایای پیروکسن و نحوه تبلور و پراکنده‌گی آمفیبول‌ها، بیانگر پدیده جانشینی پیروکسن‌ها توسط آمفیبول می‌باشد.

-) بلورهای زمینه در ابعاد مختلف مشاهده می‌شوند که به احتمال می‌تواند تأثیرات یک توده نفوذی باشد؟!.

کانیهای فرعی: کانیهای اپاک، اسفن، آپاتیت- آپاتیت‌ها به صورت سوزنهایی ظرف از پراکنده‌گی وسیعی برخوردارند. به احتمال و به ندرت کردیریت در سنگ ملاحظه شد.

نام سنگ: میکروکوارتز مونزودیوریت پورفیری با دگرسانی به ترمولیت- اکتینولیت، لوکوکسن- اسفن و کانیهای اپاک. این دگرسانی کماکان در مراحل ماقماییکی تأخیری و به صورت هیدرترمال صورت گرفته است.



### ZST.39 نمونه شماره:

ولکانی کلاستیک بافت:

قطعات متشكله: فلدرسپات (قطعه بلوری) با ترکیب (الیگوکلاز-آنذین سدیک)، گاه مشکوک به ترکیب سدیک-پتاسیک (آلکالی فلدرسپات) ملاحظه می‌شوند.

- قطعه بلوری از کانی فرومینیزین موجود است.

- قطعات ولکانیکی میکرولیتی، گاه حاوی پورفیرهای فلدرسپات سدیک با ترکیب در حد (تراکی) آندزیت مشاهده می‌شود. زمینه سنگ: تفکیک قطعات سنگی از زمینه سنگ اغلب مشکل است. ظاهرآ زمینه سنگ گاه هیالومیکرولیتی و کلریتی شده و گاه میکروکریستالین و متشكل از کانیهای فلزیک است. لکه‌هایی از لوکوکسن-اسفن اغلب ملاحظه می‌شود.

تجزیه و دگرسانی:

- قطعات بلوری از فلدرسپات اغلب به نحوی قابل توجه به اپیدوت و کمی کانیهای رسی تجزیه شده‌اند.

- قطعات بلوری از کانی فرومینیزین به طور کامل کلریتی شده‌اند.

- زمینه شیشه‌ای سنگ به نحوی قابل توجه کلریتی و نیز سیلیسی شده است.

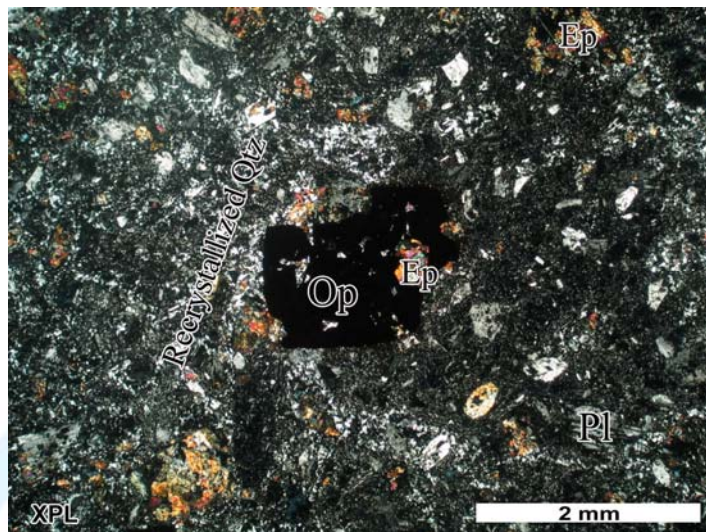
توجه:-) کانیهای اپاک به رنگ قرمز-قهوه‌ای در ابعاد درشت در سنگ ملاحظه می‌شود.

- اپیدوت افرون بر جانشینی فلدرسپاتها، اغلب به صورت تجمع ظاهر شده است.

کانیهای ثانوی: اپیدوت، کلریت، سیلیس



نام سنگ: سنگ پیروکلاستیکی (کریستال توف قطعه سنگی) با ترکیب آندزیت- تراکی آندزیت به شدت اپیدوتی، کلریتی و نیز سیلیسی شده



### نمونه شماره: ZST.43

بافت: ولکانو کلاستیک

قطعات متتشکله:

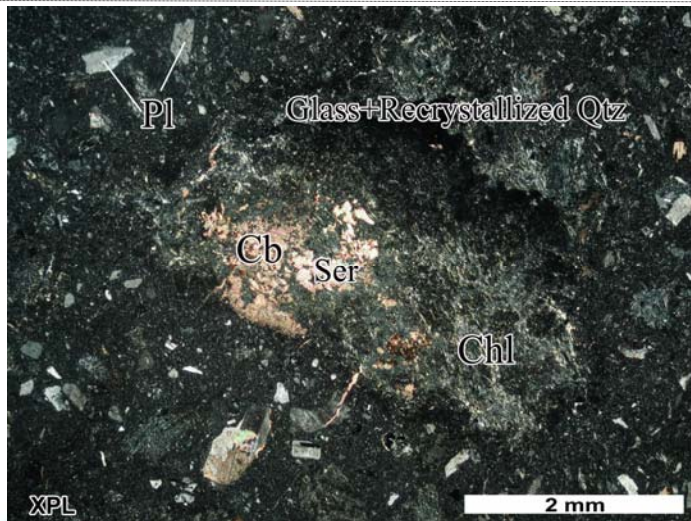
- ) قطعات بلوری از فلدسپات سدیک تا سدیک- پتاسیک موجود است.
  - ) قطعات بلوری از کوارتز گاهی موجود است.
  - ) قطعات بلوری از کانی فرومینیزین (جانشین شده) گاهی موجود است.
  - ) قطعات سنگی آذرینی در حد کوارتز تراکی آندزیت گاهی ملاحظه می شود.
  - ) قطعات شیشه و لکانیکی، گاه تاب دار دگرسان شده ملاحظه می شود.
  - ) قطعات سنگی و لکانیکی و میکروولیتی به شدت کلریتی شده موجود است.
- زمینه سنگ: زمینه کریپتوکریستالین سنگ متتشکل از خرد هریزهای قطعات بلوری و نیز قطعات شیشه و لکانیکی کلریتی شده، تیغکهای بسیار طریف کلریت، سیلیس به صورت کریپتو تا میکروکریستالین می باشد. لکه هایی قهوه ای رنگ و کریپتوکریستالین به احتمال متتشکل از رس- زئولیت نیز مشاهده می شوند.

تجزیه و دگرسانی:

- ) قطعات بلوری فلدسپات به کانیهای رسی تجزیه جزئی و گاه توسط کربنات به طور قابل ملاحظه جانشین شده اند.
- ) قطعات بلوری کانی فرومینیزین به طور کامل کلریتی شده اند.
- ) قطعات سنگی شیشه و لکانیکی به طور کامل به مجموعه کانیهای کریپتوکریستالین از میکا- کلریت، گاه به همراه کربنات دگرسان شده اند.

کانیهای ثانوی: کانیهای فیلوسیلیکاته (رس، میکا- کلریت)، سیلیس، (رس- زئولیت)، کربنات  
کانیهای فرعی: کانیهای اپاک

نام سنگ: کریستال توف قطعه سنگی شیشه ای با دگرسانی وسیع به کلریت، میکا- کلریت، سیلیس، (رس- زئولیت) و کربنات

**نمونه شماره: ZST.46**

بافت: گرانولار-گاه مونزونیتی

کانیها: -) آلکالی فلدوپات، گاه پرتیتی، پلاژیوکلاز با ترکیب (آلیت- الیگوکلاز گاه تا آندزین) با ماکلهای خمیده و کوارتز و بیوتیت  
جانشین شده ملاحظه می‌شوند.

تجزیه و دگرسانی:

-) پلاژیوکلازها با تجزیه قابل ملاحظه به کانیهای رسی، سریسیت و به ندرت جانشینی توسط کربنات ملاحظه می‌شوند.

توجه:

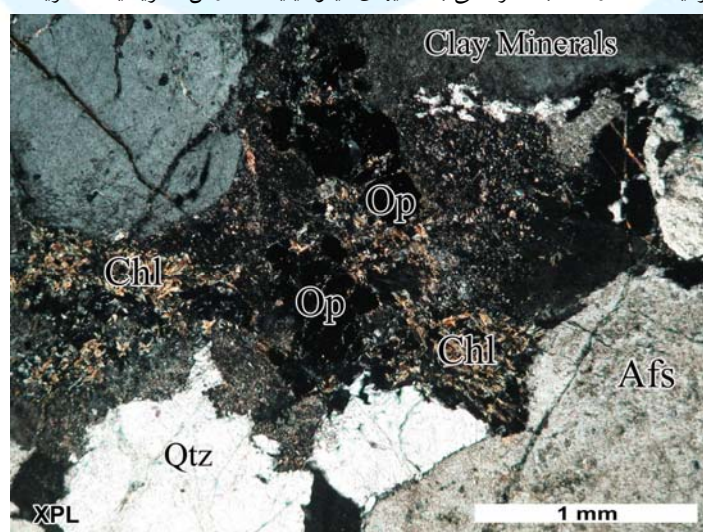
-) تجمع تیغکهای ظرفی از کانی فیلوسیلیکاته (میکا- کلریت) به همراه ریزبلورهای لوکوکسن- اسفن و نیز کانیهای اکسیدآهن (تیتاندار) ملاحظه می‌شود که به احتمال حاصل دگرسانی میکاهای اولیه موجود در سنگ است.

-) رگجههای ظرفی از کربنات موجود است.

کانیهای ثانوی: کانیهای فیلوسیلیکاته (رس، میکا، کلریت، سریسیت)، کربنات، لوکوکسن و اسفن

کانیهای فرعی: کانیهای اپاک و زیرکن

نام سنگ: کوارتز مونزونیت-گرانیت دانه درشت با دگرسانی به کانیهای فیلوسیلیکاته (رس، سریسیت، کلریت) و مقادیری کربنات



**نمونه شماره: ZST.51**

بافت: پورفیریتیک (مگاپورفیریتیک) با زمینه کوارتز- فلدسپاتیک (تجدید تبلور یافته)  
پورفیرها:

-) پلاژیوکلاز، نیمه‌شکل دار تا شکل دار با حواشی خورده شده با ترکیب (الیگوکلاز- آندزین سدیک) گاه فلدسپات مشکوک به ترکیب سدیک- پتاسیک (آلکالی فلدسپات)، کوارتز نیمه‌شکل دار گاه با حواشی گرد شده و گاه خورده شده، آمفیبول شکل دار و کانی فرومینزین (جانشین شده) ملاحظه می‌شوند.

کانیهای زمینه: زمینه کریپتو تا میکروکریستالین در واقع حاصل تجدید تبلور به کانیهای فلزیک می‌باشد. فلدسپات به صورت میکرولیت‌های بسیار ظرفی و گاه به صورت لات(Lath) در برخی نقاط مشهود است.

تجزیه و دگرسانی:

-) پلاژیوکلازها به نحو قابل ملاحظه و گاه وسیع به کمی رس، سریسیت، گاه اپیدوت و کربنات تجزیه و جانشین شده‌اند.

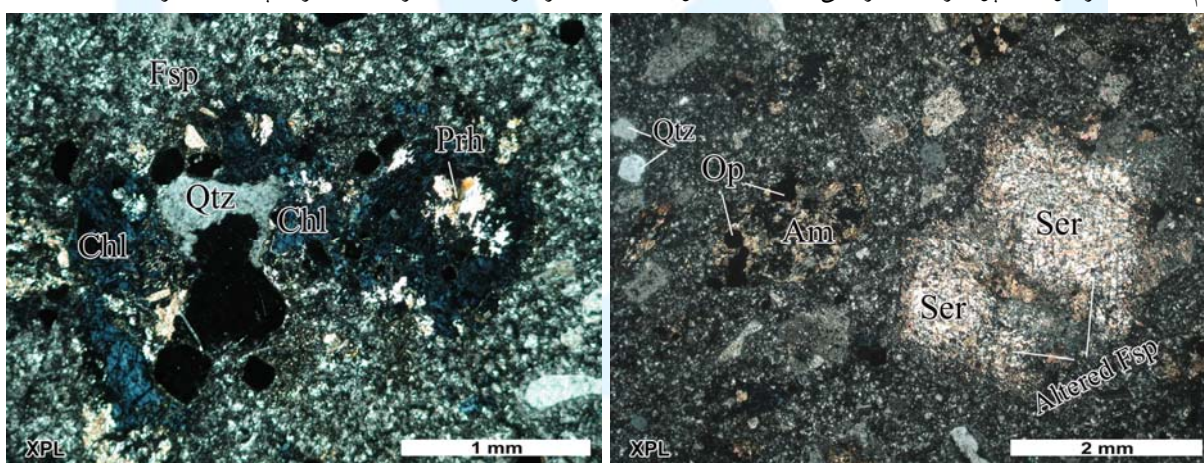
-) آمفیبول‌ها گاه به اپیدوت، کربنات و کلریت به نسبتها مختلف تجزیه و جانشین شده است.

کانیهای ثانوی: کانیهای فیلوسیلیکاته (رس، میکا، کلریت)، کربنات و اپیدوت

کانیهای فرعی: کانیهای اپاک

توجه: گاه تجمع کلریت به همراه بلورهای شکل دار از کانیهای اپاک ملاحظه می‌شود (حاصل جانشینی پیروکسن؟!). وجود کلریت به همراه بلورهای شکل دار از کانیهای اپاک و گاه پرهنیت به احتمال ناشی از منشأ هیدروترمالی می‌باشد.

نام سنگ: میکروتونالیت پورفیری با دگرسانی به کانیهای فیلوسیلیکاته (بیشتر سریسیت و کلریت) مقادیری اپیدوت و کربنات

**نمونه شماره: ZST.53**

بافت: ولکانوکلاستیک- به نحوی وسیع دگرسان شده  
قطعات متخلکه:

-) قطعه بلوری از فلدسپات با ترکیب سدیک تا سدیک- پتاسیک تجزیه شده موجود است.

-) قطعه بلوری از کانی فرومینزین (جانشین شده) موجود است.

-) قطعات شیشه ولکانیکی دگرسان شده ملاحظه می‌شود.

-) قطعات ولکانیکی شیشه‌ای تجدید تبلور یافته با ترکیب ریوداسیت- داسیت موجود است.

-) قطعات ولکانیکی پورفیریتیکی با زمینه هیالومیکرولیتی و به شدت کلریتی شده موجود است.

-) قطعات ولکانیکی میکرولیتی- جریانی با ترکیب آندزیت- تراکی آندزیت موجود است.



- قطعه شیشه ولکانیکی؟ به طور کامل کربناتی و سیلیسی شده موجود است.

- قطعات ولکانیکی میکرولیتی و اکسیده موجود است.

زمینه سنگ: به دلیل شدت دگرسانی و نیز عدم وجود مرز مشخص در اطراف قطعات سنگی، اغلب تفکیک قطعات بلوری از پورفیرهای موجود در قطعات سنگی غیر ممکن است. سریسیت به صورت تیغکهای ظریف به نحوی وسیع موجود است. تبلور کریپتو تا میکروکریستالین کانیهای فلزیک (کوارتر-فلدسبات). گاه لکههایی از کلریت و کربنات مشاهده می‌شوند.

تجزیه و دگرسانی: -) قطعات بلوری از فلدسبات به رس، کلریت و کربنات جانشین شده‌اند.

-) قطعات شیشه‌های ولکانیکی که گاه تجدید تبلور و گاه کربناتی، سیلیسی شده‌اند.

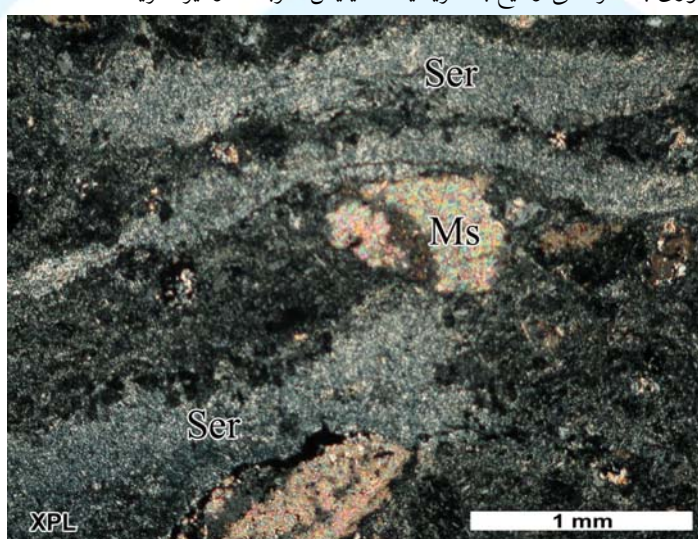
-) قطعات بلوری از کانی فرومینیزین که به طور کامل کلریتی و کربناتی شده‌اند.

کانیهای ثانوی: کانیهای فیلوسیلیکاته (رس، سریسیت، کلریت)، کربنات و سیلیس

کانیهای فرعی: کانیهای اپاک

توجه: در بخش به نسبت وسیعی از سنگ تبلور کربنات به همراه مقادیری کم کلریت ملاحظه می‌شوند.

نام سنگ: توف قطعه سنگی بلوری با دگرسانی وسیع به سریسیت، سیلیس، کربنات و نیز کلریت



### نمونه شماره: ZST.54

بافت: به طور جزئی پورفیریتیک - هولوکریستالین

پورفیرها: -) پلازیوکلاز با ترکیب (الیگوکلاز - آندزین سدیک)، کانی فرومینیزین (جانشین شده) ملاحظه می‌شوند.

کانیهای زمینه: فلدسبات اغلب به صورت میکرولیت، گاه به طور مقطعی جهت یافته، نیز به صورت بلورهای بی‌شکل (آلکالی فلدسبات)،

گاه کوارتر، گاه لکههای کربنات، اغلب تیغکهایی با ترکیب (کلریت آهن‌دار) - بیوتیت مشاهده می‌شوند.

تجزیه و دگرسانی:

-) پلازیوکلاز به طور جزئی به کانیهای رسی و به طور قابل ملاحظه به سریسیت، کمی کلریت و گاه کربنات تجزیه و جانشین شده‌اند.

-) فلدسبات‌های زمینه به کانیهای رسی تجزیه شده‌اند.

-) کانی فرومینیزین که به طور کامل توسط کانی فیلوسیلیکاته (میکا-کلریت)، کلریت آهن‌دار - بیوتیت تجزیه و جانشین شده‌اند.

-) کانی فرومینیزین به احتمال آمفیبول که به طور کامل از بخش داخلی توسط کربنات و از حواشی توسط کلریت آهن‌دار - بیوتیت مشاهده می‌شود.

توجه:



-) تجمع کربنات به همراه بلورهای شکل دار از کوارتز، گاه به همراه تیغکهای ظرفی از کلریت آهن دار- بیویت مشاهده می شود.

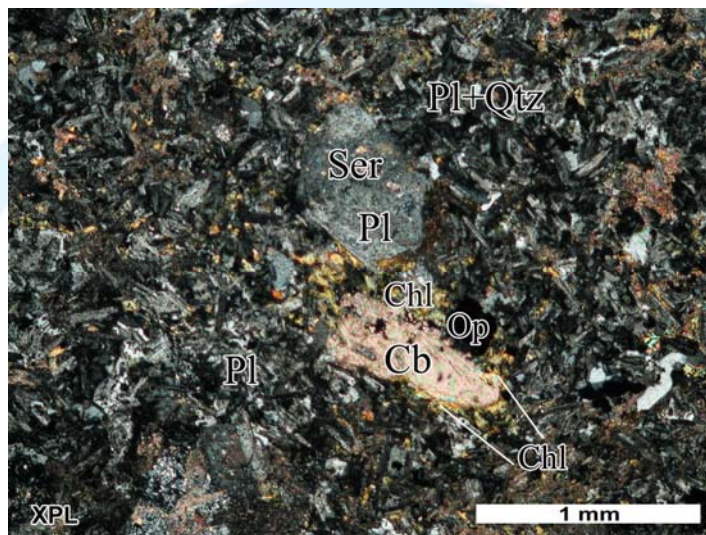
-) بلور کوارتز- فلدسپات در برخی نقاط به صورت لکه مشاهده می شود که بلور شیشه را تداعی می کند.

کانیهای ثانوی: کانیهای فیلوسیلیکاته (رس، سریسیت، میکا- کلریت آهن دار)، کربنات، سیلیس

کانیهای فرعی: کانیهای اپاک

نام سنگ: میکرومونزودیوریت پورفیری با دگرسانی به کانیهای فیلوسیلیکاته (رس، سریسیت، بیشتر کلریت آهن دار- بیویت)، کربنات و قدری سیلیس.

با توجه به تشکیل کلریت آهن دار- بیویت و نیز کربنات و سیلیس، این سنگ افزون بر تأثیر محلولهای مناسوماتیکی پتابس دار، تحت تأثیر محلولهای حاوی  $\text{SiO}_2$ ,  $\text{CO}_2$  نیز قرار گرفته است.



### ZST.55

بافت: گرانولار- میکروگرافیکی

کانیها: -) پلاژیوکلاز (آلیت- الیگوکلاز)، آلکالی فلدسپات، کوارتز که گاه با آلکالی فلدسپات بافت میکروگرافیکی ساخته است، کانی فرومینزین (جانشین شده) ملاحظه می شوند.

تجزیه و دگرسانی:

-) پلاژیوکلاز به سریسیت، کانیهای رسی، گاه کلریت، ریزبلورهای اپیدوت و کربنات تجزیه و جانشین شده است.

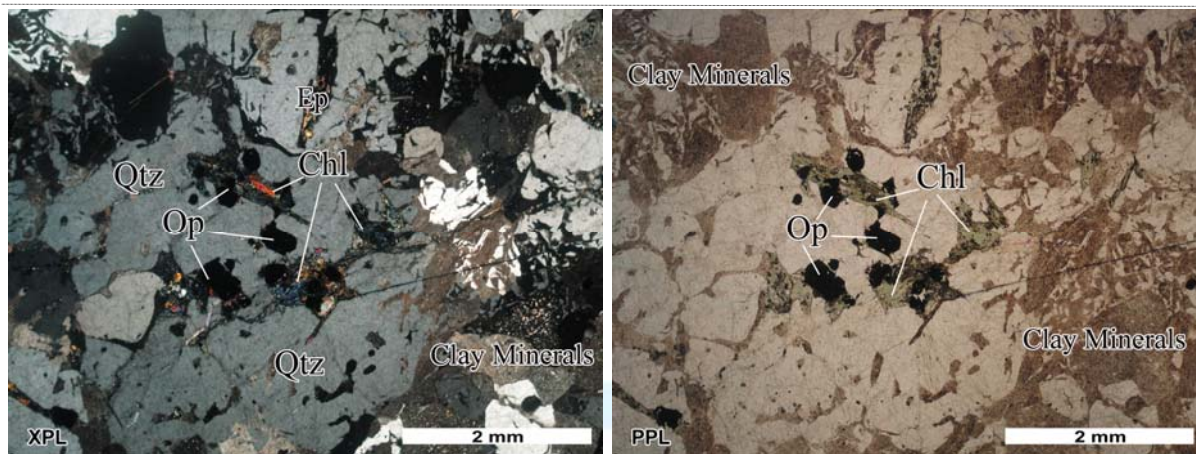
-) آلکالی فلدسپاتها به کانیهای رسی تجزیه شده اند.

-) کانی فرومینزین (بیویت) با تجزیه کامل به کلریت، مقادیری ریزبلورهای اپیدوت و نیز ریزبلورهای لوکوکسن- اسفن ملاحظه می شوند.

کانیهای ثانوی: کانیهای فیلوسیلیکاته (سریسیت، رس، کلریت)، اپیدوت، لوکوکسن- اسفن و کربنات

کانیهای فرعی: کانیهای اپاک

نام سنگ: گرانیت دانه درشت با دگرسانی به کانیهای رسی، کلریت، اپیدوت و مقادیری کربنات



### نمونه شماره: ZST.56

بافت: گرانولار- رشد توأم-

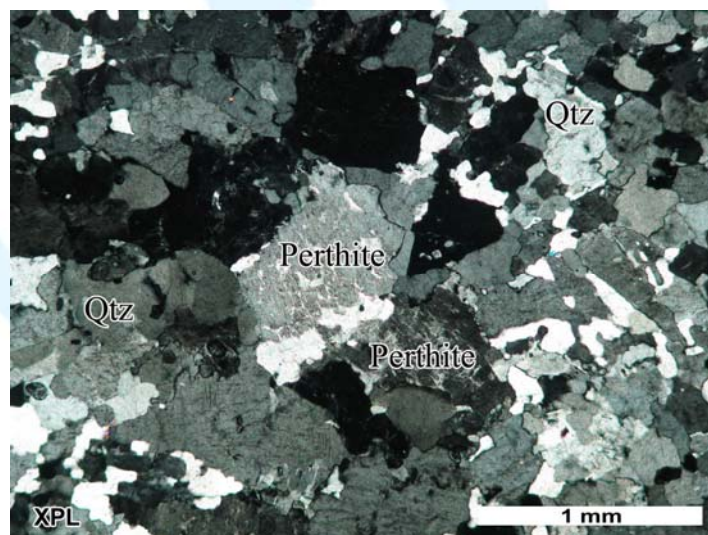
کانیها: اساس سنگ مشکل از رشد توأم کوارتز و آلکالی فلدسپات (پرتیتی) می‌باشد، به ندرت بیوتیت به صورت تیغکهای طریف موجود است.

توجه: رشد میکروگرافیکی بین کوارتز و آلکالی فلدسپات گاهی ملاحظه می‌شود.

کانیهای ثانوی: کانیهای رسی (از تجزیه نسبی آلکالی فلدسپاتها)

کانیهای فرعی: کانیهای اپاک، آپاتیت

نام سنگ: گرانیت-آپلیت



### نمونه شماره: ZST.62

بافت: پورفیریتیک- هولوکریستالین

پورفیرها: پلاژیوکلاز با ترکیب (الیگوکلاز- آندزین)، کانی فرومینیزین جانشین شده ملاحظه می‌شوند.

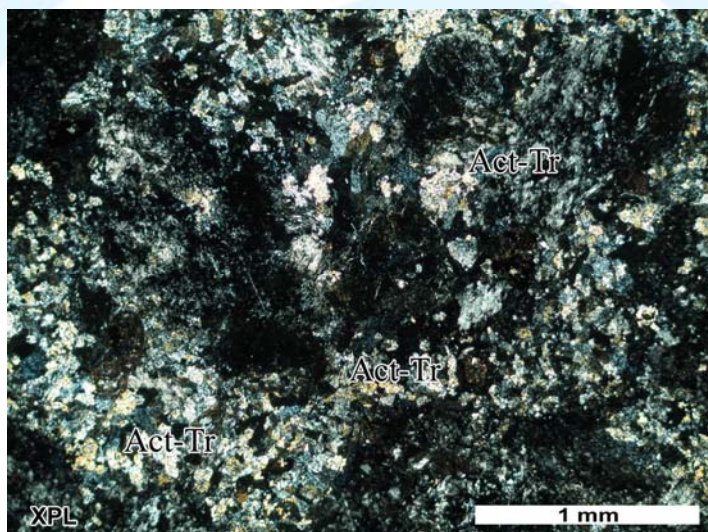
کانیهای زمینه: زمینه فلدسپاتیک با ترکیب سدیک- پتاسیک، گا دارای لتهای (Lath) فلدسپات، کوارتز به مقدار کم، تیغکهای طریف سریسیت به نحوی وسیع، بلورهای بی‌شکل از کانیهای اکسیدآهن (تیتاندار) و ریزبلورهای لوکوکسن- اسفن اغلب ملاحظه می‌شوند.



تجزیه و دگرسانی:

- ) پلاژیوکلازها به طور نسبی به کانیهای فیلوسیلیکاته (کلریت-کمی سریسیت) و گاه اپیدوت تجزیه و جانشین شده‌اند.
- ) کانی فرومینزین با جانشینی کامل توسط کلریت و مقادیری لوکوکسن-اسfen موجود است.
- ) تجدید تبلور اسfen به خرج کانیهای اپاک ملاحظه می‌شود.
- ) تجمعات قابل ملاحظه از بلورهای به نسبت درشت از اپیدوت به همراه کوارتز ملاحظه می‌شود.
- ) بخشایی مشکل از کلریت به همراه ریزبلورهای لوکوکسن-اسfen مشاهده می‌شود.
- ) کانیهای ثانویه: کانیهای فیلوسیلیکاته (کلریت، سریسیت)، اپیدوت، لوکوکسن-اسfen کانیهای فرعی: کانیهای اپاک

نام سنگ: متامیکرومونزودیوریت پورفیری با دگرسانی به اپیدوت، ترمولیت، اکینولیت، لوکوکسن-اسfen و کانیهای فیلوسیلیکاته (بیشتر کلریت و سریسیت)-این دگرسانی-دگرگونی در رخساره معادل شیست سبز صورت گرفته است.



### ZST.65 شماره نمونه:

بافت: ولکانوکلاستیک (کریستالوکلاستیک با زمینه کریپتوکریستالین- توفی)

قطعات مشکله: قطعات بلوری از فلدسپات با حواشی خورده شده با ترکیب سدیک (الیکوگلاز-آنذین سدیک)، گاه قطعات بلوری از فلدسپات با ترکیب سدیک-پاتسیک (آلکالی فلدسپات) ملاحظه می‌شود.

قطعات شیشه و لکانیکی با تبلور اسفلولیتی مشاهده می‌شود.

زمینه سنگ: رشد کانیهای فلزیک، گاه به طور مشخص کوارتز به صورت کریپتو تا میکروکریستالین گاه به صورت اسفلولیتی به همراه تیغکهای بسیار ظریف از سریسیت به مقدار فراوان ملاحظه می‌شوند. خرد ریزهای قطعات بلوری نیز گاه موجود است. کانیهای هیدروکسید-اکسید آهن با تراکم نامتجانس مشاهده می‌شوند.

تجزیه و دگرسانی: -) فلدسپاتها به کانیهای فیلوسیلیکاته (بیشتر سریسیت، قدری کانیهای رسی) و به ندرت توسط تورمالین بی‌رنگ تا تبلور شعاعی ظریف تجزیه و جانشین شده‌اند.

تجزیه: -) در بخشایی که به نظر حفره می‌باشد تبلور کوارتز به همراه بلورهای شعاعی ظریف از تورمالین مشاهده می‌شود. این تجمعات گاه به همراه تبلور کریپتوکریستالین از کانیهای فیلوسیلیکاته (میکا-کلریت) می‌باشد.

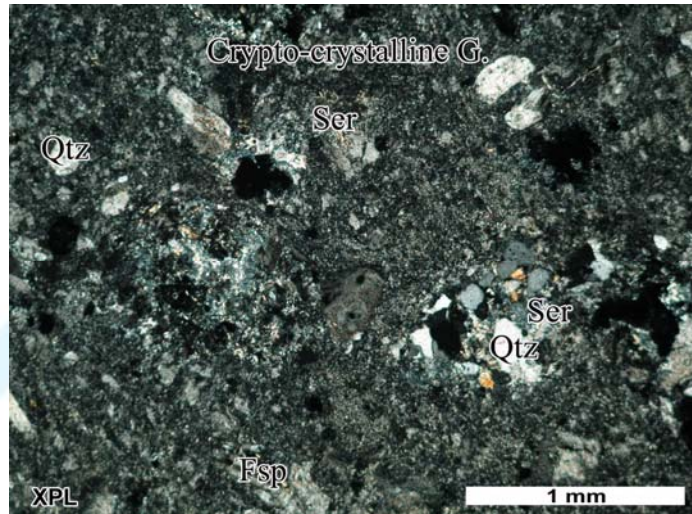
-) در شکستگی‌های موجود، تبلور کریپتوکریستالین از کلریت و نیز کانیهای هیدروکسید-اکسید آهن ملاحظه می‌شود.



کانیهای ثانویه: کانیهای فیلوسیلیکاته (سریسیت، کلریت، کمی رس)، تورمالین

کانیهای فرعی: کانیهای اپاک

نام سنگ: کریستال توف شیشه‌ای با تجدید تبلور به طور جزئی و دگرسانی وسیع به سریسیت، میکا- کلریت، قدری کانیهای هیدروکسید- اکسیدآهن و قدری تورمالین.



### ZST.68 نمونه شماره:

بافت: پورفیریتیک با زمینه هولوکریستالین - نیمه عمیق

پورفیرها: فلدسپات با ترکیب (الیگوکلاز- آندزین سدیک)، گاه مشکوک به ترکیب سدیک- پتاسیک (آلکالی فلدسپات) ملاحظه می‌شود.

کانیهای زمینه: فلدسپات به شکل لت (Lath)، کم و بیش هم ترکیب با پورفیرهای آن، گاهی کوارتز، اپیدوت، اغلب لوکوکسن- اسفن و

کانیهای اکسیدآهن (تیتاندار)، کلریت ملاحظه می‌شوند.

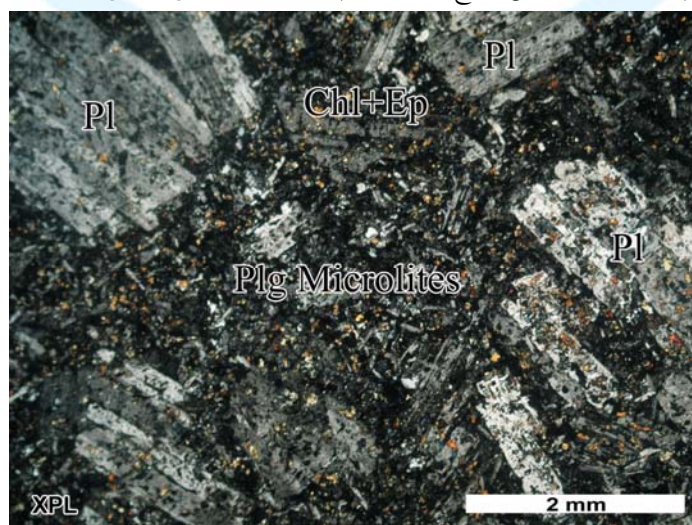
تجزیه و دگرسانی:

-) فلدسپاتها به نحوی قابل ملاحظه به اپیدوت، مقادیری کم کلریت و سریسیت تجزیه و جانشین شده‌اند.

کانیهای ثانویه: کانیهای فیلوسیلیکاته (کلریت تا سریسیت)، اپیدوت، لوکوکسن- اسفن

کانیهای فرعی: کانیهای اپاک

نام سنگ: میکرومونزودیوریت پورفیری با دگرسانی وسیع به کلریت، اپیدوت و لوکوکسن- اسفن





## نمونه شماره: ZST.71

بافت: پورفیریتیک با زمینه میکرولیتی

پورفیرها: پلازیوکلاز با ترکیب سدیک، پیروکسن به مقدار کم، بیوتیت جانشین شده ملاحظه می‌شود.

کانیهای زمینه: فلدسپات به صورت لت (Lath) و نیز میکرولیت‌های متقطع با ترکیب سدیک و کمی کوارتز، اغلب کلریت و گاه به

صورت پرکننده فلدسپانهای متقطع، ریزبلورهای لوکوکسن - اسفن به مقدار فراوان مشاهده می‌شوند.

تجزیه و دگرسانی:

-) پلازیوکلازها به کلریت و اپیدوت تجزیه و جانشین شده‌اند.

-) بیوتیت به طور کامل به کلریت و لوکوکسن - اسفن بدل شده است.

-) پیروکسن به طور کامل به ترمولیت - اکتینولیت و مقادیری اپیدوت بدل شده است.

توجه:

-) تجمعات به نسبت وسیع از کلریت و گاه تجمعاتی از بلورهای درشت اپیدوت موجود است.

-) لوکوکسن - اسفن به فراوانی موجود است.

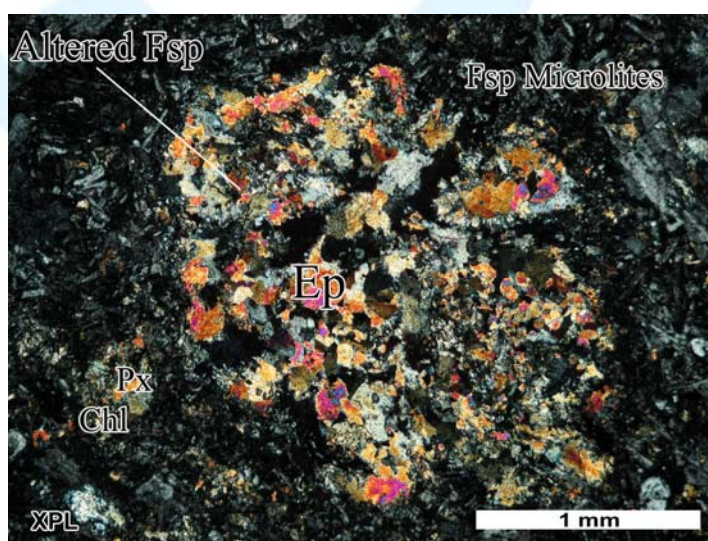
-) تجمعات بلورهای ریز و درشت از اپیدوت در امتدادهایی باند مانند موجود است.

-) ترمولیت - اکتینولیت به صورت سوزنهایی ظریف در بخشهایی از سنگ موجود است.

کانیهای ثانویه: کلریت، اپیدوت، ترمولیت - اکتینولیت، لوکوکسن - اسفن

کانیهای فرعی: کانیهای اپاک

نام سنگ: متا (پیروکسن؟) آندزیت. به نظر می‌رسد پیروکسن‌های اولیه در این سنگ به طور کامل توسط ترمولیت - اکتینولیت و اپیدوت جانشین شده‌اند. در ضمن با توجه به کم و کیف دگرسانی موجود و نیز وجود تیغکها و لتهای (Lath) اغلب متقطع از فلدسپات (بافتهای ایترسرتالی)، تمایل این سنگ به ترکیبی بازیکتر یعنی (بازالتیک) پیروکسن آندزیت را می‌توان در نظر گرفت. دگرسانی - دگرگونی در این سنگ به نحوی وسیع به کلریت، اپیدوت، ترمولیت - اکتینولیت، لوکوکسن - اسفن و نیز قدری (آلیت) صورت گرفته است.



**ZST.72**

بافت: گرانولار

کانیها: پلازیوکلاز، شکل دار، با شاخت زونه ای با ترکیب (آلیت- الیگوکلاز)، آلکالی فلدسپات به صورت بلورهای بی شکل (گاه پرته‌ی)، کوارتز با خاموشی موجی، بیوتیت (جانشین شده) موجود است.  
تجزیه و دگرسانی:

- پلازیوکلاز به طور نسبی تا شدید به کانیهای رسی، سریسیت، قدری کربنات و آلکالی فلدسپات (آلیت) تجزیه و جانشین شده‌اند.
- بیوتیت به طور کامل توسط کلریت، مقداری اپیدوت و کربنات بدلت شده است.

توجه:

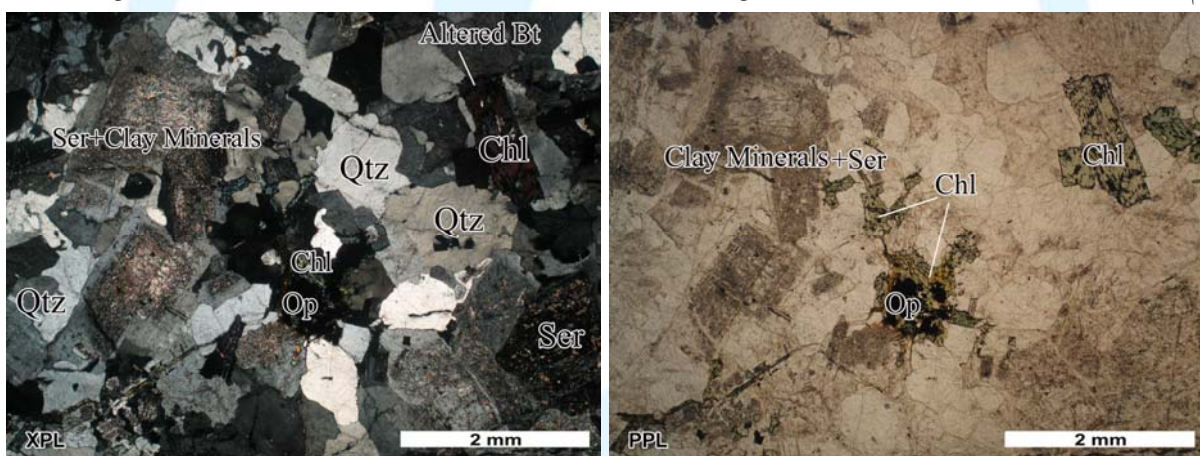
- در امتداد شکستگی‌ها، گاه تبلور میکروکریستالین کوارتز و گاه به طور جزئی تجدید تبلور کانیهای سنگ در ابعاد دانه‌ریزتر مشاهده می‌شود.

- در امتداد درزهای شکافها و شکافها گاه کشیدگی و باریک‌شدن بیوتیت با تجزیه به کلریت مشاهده می‌شود.

کانیهای ثانویه: کانیهای فیلوسیلیکاته (رس، سریسیت، کلریت)، اپیدوت، کربنات، آلیت

کانیهای فرعی: کانیهای اپاک

نام سنگ: گرانیت- گرانودیوریت تکتونیزه با دگرسانی به کانیهای فیلوسیلیکاته (بیشتر سریسیت و نیز کلریت) کربنات و کمی آلیت

**ZST.73**

بافت: به طور جزئی پورفیریتیک بیشتر میکرولیتی جریانی

پورفیرها: فلدسپات با ترکیب سدیک، با حواشی خورده شده، به ندرت به صورت بلورهای تخته‌ای، ولی اغلب به صورت منشور تا لتهای (Lath) تا حدودی جهت یافته و پیروکسن نیمه نیمه شکل دار ملاحظه می‌شود.

کانیهای زمینه: فلدسپات به صورت میکرولیت، گاه میکرولیت‌های بسیار ظریف، کمی کوارتز، گاه ریزبلورهای آمفیبول، کلریت به مقدار فراوان، اپیدوت، کانیهای اپاک، گاه لوکوکسن- اسفن، کمی کربنات ملاحظه می‌شوند.

تجزیه و دگرسانی:

- فلدسپاتها به طور نسبی به سریسیت، به ندرت کربنات، اپیدوت و آلیت تجزیه و جانشین شده‌اند.

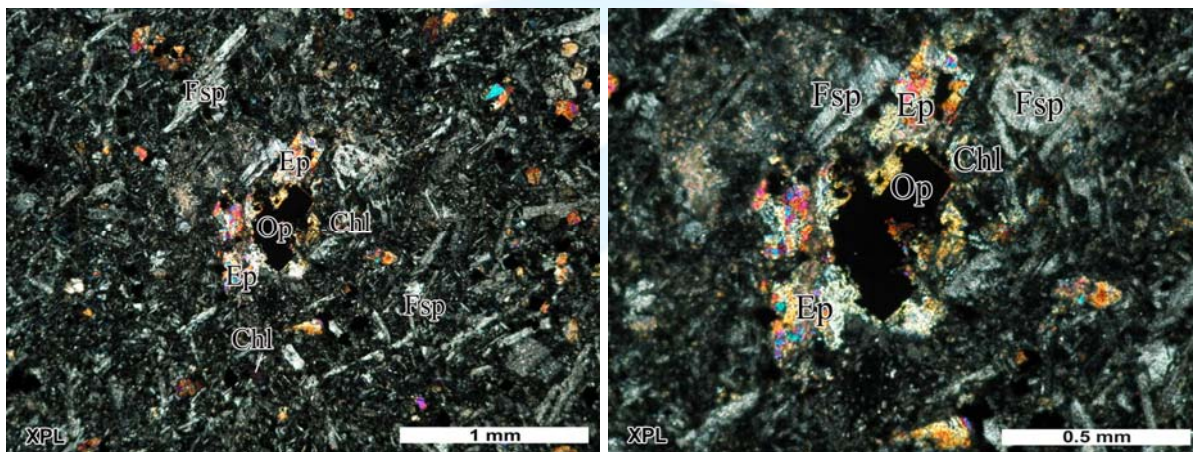
توجه: - در بخشی از سنگ، ریزبلورهای آمفیبول (هورنبلند) ظاهر شده است.

- تبلور پیروکسن در حواشی کانیهای اپاک گاه ملاحظه می‌شود.

- پیروکسن‌های تجدید تبلور یافته در ابعاد دانه‌ریزتر به همراه ریزبلورهای کانیهای اپاک ملاحظه می‌شوند.



-) تجمع اپیدوت به همراه کربنات ملاحظه می شود.  
 -) تجمع کلریت به همراه کمی اپیدوت و کوارتز ملاحظه می شود.  
 کانیهای ثانویه: سریسیت، اپیدوت، کربنات، (آلیت)، کلریت، لوکوکسن- اسفن  
 کانیهای فرعی: کانیهای اپاک  
 نام سنگ: متباذالتیک پیروکسن آندزیت. دگرگونی- دگرسانی این سنگ به طور استاتیک و معادل با رخساره شبیست سبز به کانیهای اپیدوت، کلریت، قدری کربنات، لوکوکسن- اسفن و قدری آلیت صورت گرفته است. با توجه به کم و کیف دگرسانی و وجود تیغکهای متقطع از فلدسپات (بافت‌های ایترسرتالی)، تمایل این سنگ به طرف ترکیبی بازیک‌تر یعنی (باذالتیک) در نظر گرفته شده است. در ضمن زمین‌شناس ارتباط این سنگ را با سنگ شماره ۷۱ در روی زمین بررسی کند.

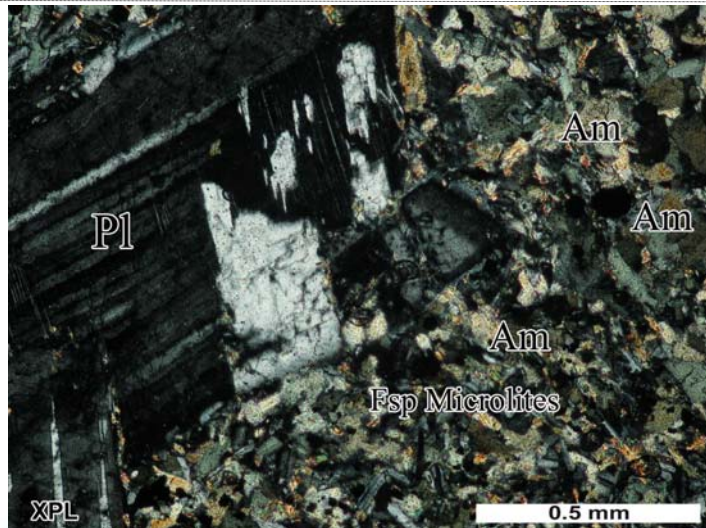


### ZST.76

بافت: پورفیریتیک با زمینه میکرولیتی  
 پورفیرها: پلاژیوکلاذر، شکل‌دار، با ترکیب آندزین به احتمال تا لابرادوریت، با ساخت زونهای، آمفیبول به صورت تجمعاتی از بلورهای تخته‌ای ملاحظه می‌شوند.

کانیهای زمینه: فلدسپات به صورت لت (Lath) تا میکرولیت با ترکیبی کم و بیش مشابه با پورفیرهای آن بلورهای آمفیبول گاه تجدید تبلور یافته به میزبان فراوان، لکه‌های پراکنده از بیوتیت و ریزبلورهای کانیهای اپاک مشاهده می‌شوند.  
 توجه: رگه آلیتی ملاحظه می‌شود.

کانیهای فرعی: کانیهای اپاک  
 نام سنگ: متامیکرو(مونزو)دیوریت پورفیری با دگرگونی- دگرسانی به آمفیبول (اکتینولیت) و بیوتیت



نمونه شماره: ZST.77

بافت: گرانولار-ترکیتوئیدی (حاوی دستجاتی ممتد از منشورهای به نسبت پهن و بلند از فلدسپات) کانیها: پلاژیوکلاز، به صورت منشورهایی پهن با ترکیب (آنذین-لابرادوریت) به احتمال تا بیتونیت، پیروکسن (گاه تیتانواوژیت) به صورت منشورهایی اغلب جهت یافته گاه دارای رگچه‌هایی از کانی اکسیدآهن و اغلب درگیر با کانیهای اکسیدآهن، کمی بیوتیت تبلور یافته در اطراف کانیهای اپاک ملاحظه می‌شود.

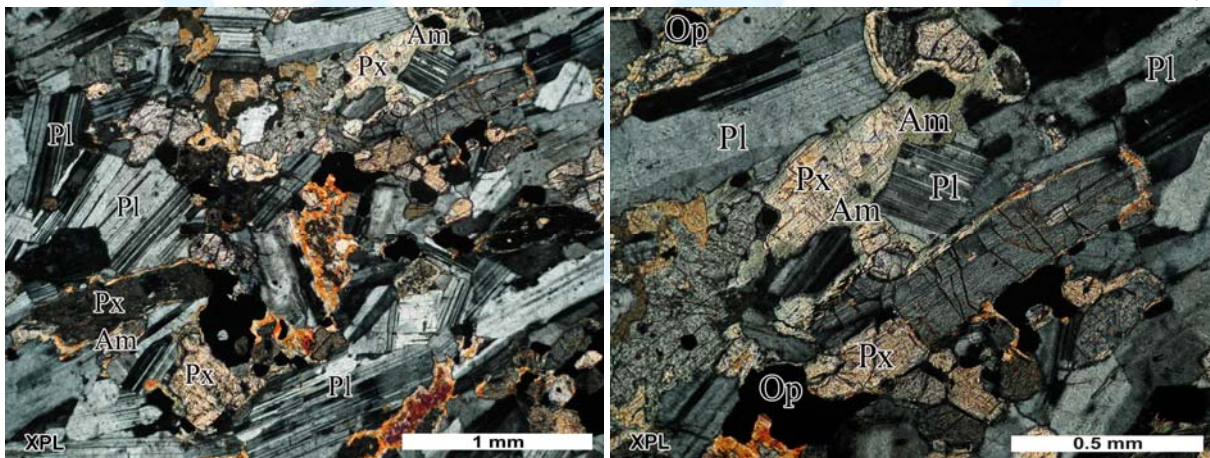
تجزیه و دگرسانی: پیروکسن‌ها، به مقدار جزئی اورالیتی شده‌اند.

توجه: تشکیل آمفیبول (ترمولیت-اکتینولیت) در فضای بین کانیهای دیگر بیانگر تأخیری بودن تشکیل آمفیبولها می‌باشد.

کانیهای ثانویه: اورالیت (ترمولیت-اکتینولیت)

کانیهای فرعی: کانیهای اپاک، آپايت

نام سنگ: (آلکالی) گابرو با دگرسانی نسبی به ترمولیت-اکتینولیت (اورالیت)





## نمونه شماره: ZST.79

بافت: گرانولار

کانیها: پلازیوکلاز شکل دار، با ساخت زونهای با ترکیب (آلبیت- الیگوکلاز)، با حواشی از آلکالی فلدسپات، آلکالی فلدسپات (گاه به طور مشخص میکروکلین)، کوارتز با خاموشی موجی، بیوتیت قهوه‌ای و آمفیبول مشاهده می‌شوند.

تجزیه و دگرسانی:

- ) پلازیوکلازها گاه به مقدار قابل توجه به سریسیت، گاه آلکالی فلدسپات (آلبیت) و اپیدوت تجزیه و جانشین شده‌اند.
- ) بیوتیتها گاه به کلریت، اپیدوت و لوکوکسن- اسفن بدل شده‌اند.

توجه:

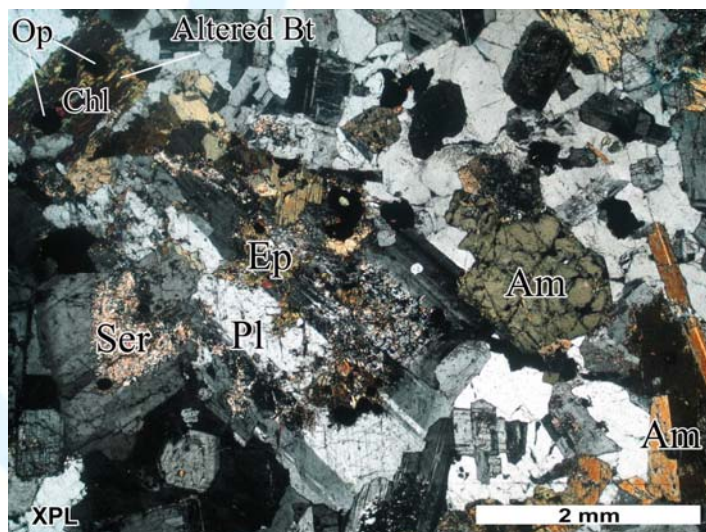
- ) اسفن گاهی به صورت نوار باریکی در اطراف کانیهای اپاک متبلور شده است.
- ) تجمع کانیهای اپاک به نسبت درشت گاه موجود است.

-) تجدید تبلور بیوتیت‌های سبز گاهی ملاحظه می‌شود. این تجدید تبلور گاه در حواشی کانیهای اپاک صورت گرفته است.

کانیهای ثانویه: سریسیت، کلریت، اپیدوت، آلبیت، لوکوکسن - اسفن

کانیهای فرعی: زیرکن، کانیهای اپاک

نام سنگ: تونالیت- (گرانو دوریت) با دگرسانی نسبی به کانیهای فیلوسیلیکاته (سریسیت، بیوتیت، کلریت)، اپیدوت



## نمونه شماره: ZST.80

بافت: به طور جزئی پورفیریتیک- گرانولار

پورفیرها: پلازیوکلاز، از حواشی دچار خوردگی با ترکیب (آلبیت- الیکوکلاز)، آلکالی فلدسپات مشاهده می‌شود.

کانیهای زمینه: رشد توأم کوارتز- فلدسپات (پلازیوکلاز و آلکالی فلدسپات)، در برخی نقاط بیوتیت به صورت تجمعاتی متشكل از تیغکهای ظریف اغلب به همراه کانیهای اپاک ملاحظه می‌شود.

تجزیه و دگرسانی:

- ) احتمال جانشینی نسبی پلازیوکلازها توسط تیغکهای ظریف بیوتیت مورد توجه و بررسی می‌باشد.

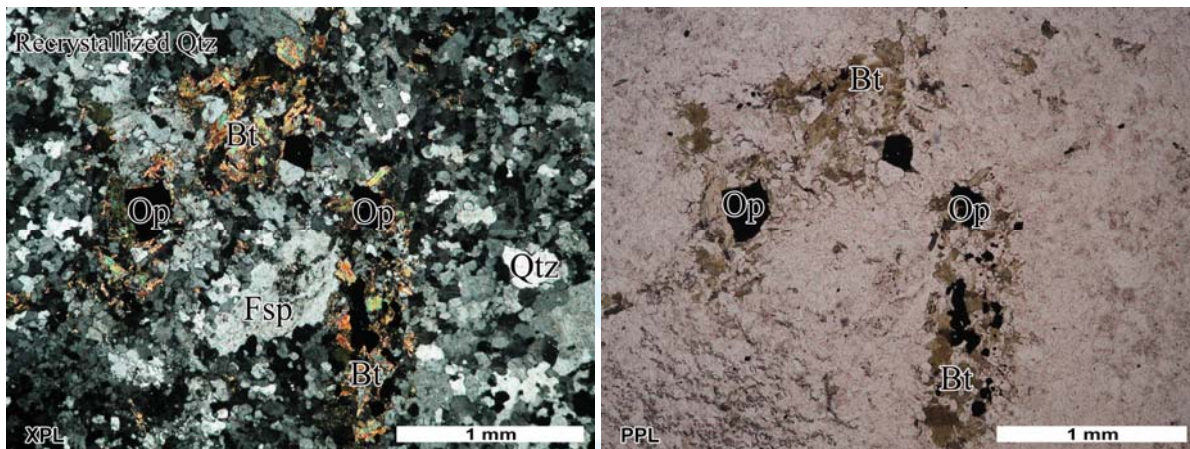
-) بیوتیت به طور پراکنده و به صورت تیغکهای بسیار ظریف در زمینه مشاهده می‌شود.

توجه: کانیهای ثانویه: کانی فیلوسیلیکاته (بیوتیت)



کانیهای فرعی: زیرکن، آلانیت، آپاتیت، کانیهای اپاک

نام سنگ: میکروگرانیت- (گرانودیبوریت) پورفیری



### ZST.85

بافت: گرانولار- تکتونیزه (دارای تجدید تبلور در برخی نقاط)

کانیهای:

- آکالی فلدسپات (پرتیتی) ملاحظه می شود.

- پلاژیوکلاز (آلیت-الیگوکلاز) گاهی موجود است.

- کوارتز گاهی به صورت میرمکتیکی ملاحظه می شود.

- بیوتیت به صورت تیغکهای پهن گاهی موجود است.

تجزیه و دگرسانی: فلدسپاتها تا حدی به کانیهای رسی تجزیه شده اند.

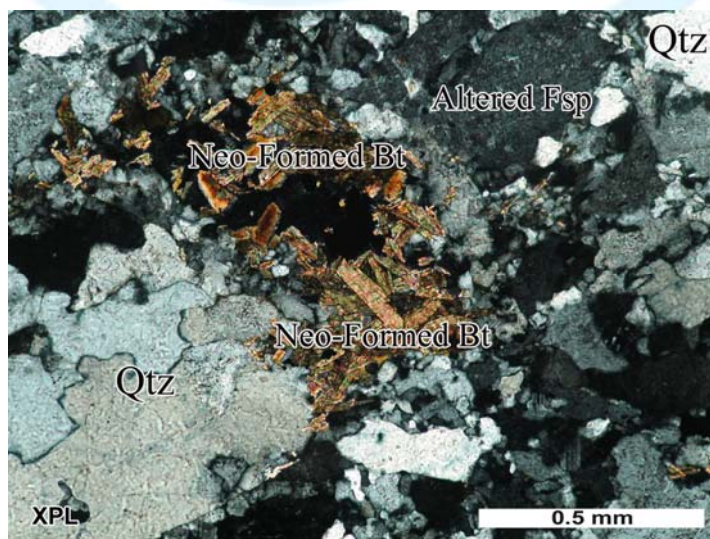
توجه: -) تجدید تبلور کانیهای موجود در سنگ از جمله بیوتیت ها، تحت تأثیر فشارهای تکتونیکی در برخی نقاط مشهود است.

-) کشیدگی و تاب خوردگی تیغکهای بیوتیت گاه در امتداد درزهای و شکافها ملاحظه می شود.

کانیهای ثانویه: کانیهای رسی

کانیهای فرعی: کانیهای اپاک

نام سنگ: گرانیت تکتونیزه



**ZST.88**

بافت: گرانولار

کانیها:

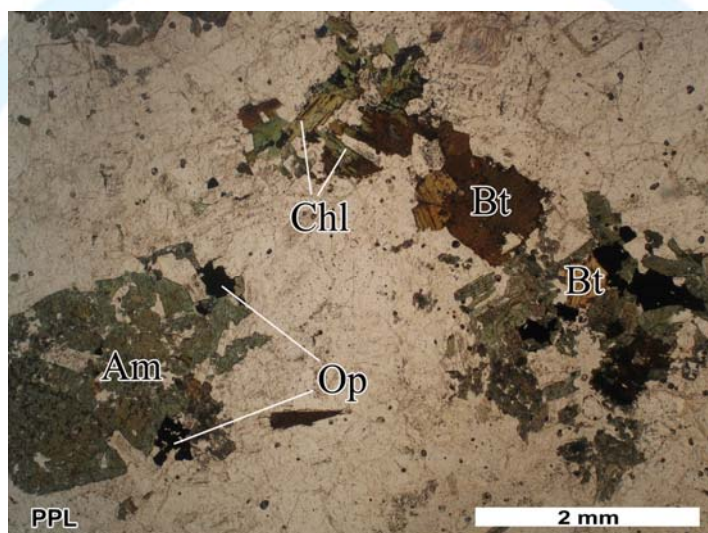
-) پلازیوکلاز شکل دار با ساخت زونهای با ترکیب (آلیت- الیگوکلاز)، گاه آلکالی فلدوپات، کوارتز، بیوتیت به صورت تیغکهای پهن و گاه به صورت اجتماع آمفیبیول اغلب به صورت تجمع در کنار بیوتیت موجود است.

تجزیه و دگرسانی: بیوتیت ها به طور جزئی به کلریت و مقداری اسفن تجزیه شده اند.

کانیهای ثانویه: کلریت، اسفن

کانیهای فرعی: کانیهای اپاک، آپاتیت

نام سنگ: تونالیت (آمفیبیول بیوتیت دار)

**ZST.95**

بافت: گرانولار- گاه مونزونیتی

کانیها: پلازیوکلاز شکل دار با ساخت زونهای با ترکیب (الیگوکلاز- آندزین سدیک) گاه حاوی قطراتی از آمفیبیول، آلکالی فلدوپات که گاه به صورت پوئی کلیتیک سایر کانیها را دربرگرفته است، کوارتز، بیوتیت به صورت تیغکهای پهن که گاه به صورت پوئی کلیتیک سایر کانیها را دربرگرفته است، آمفیبیول به صورت بلورهای تخته ای گاه حاوی منشورهای پلازیوکلاز مشاهده می شوند.

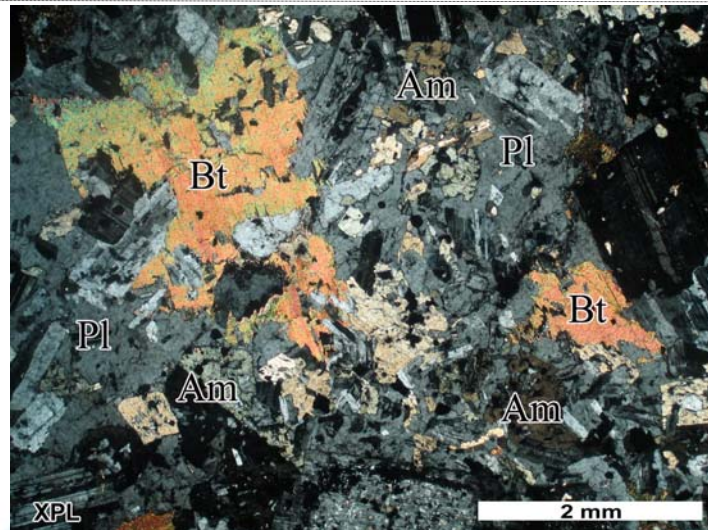
تجزیه و دگرسانی: بیوتیت ها تا حدی به کلریت تجزیه شده اند.

توجه: ریزبلورهای پراکنده از آمفیبیول و بیوتیت در بخش های دانه ریزتر از سنگ (بخش تجدید تبلور یافته؟) ملاحظه می شود که می تواند یکی از دلایل آن نیروهای تکتونیکی باشد.

کانیهای ثانویه: کلریت

کانیهای فرعی: زیرکن، کانیهای اپاک

نام سنگ: کوارتز مونزوندیوریت (گرانودیوریت?)



### نمونه شماره: ZST.101

بافت: گرانولار

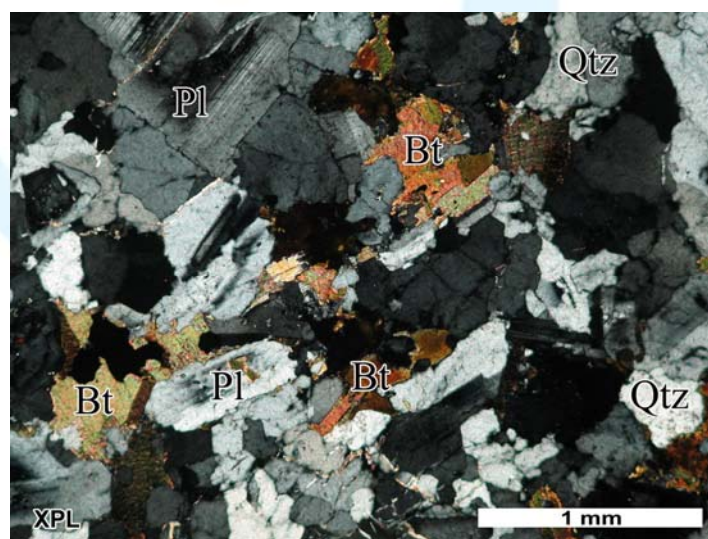
کانیها: پلازیوکلاز شکل دار، با ساخت زونهای، با ترکیب (الیگوکلاز- آندزین سدیک)، گاه دارای حواشی از آلکالی فلدسپات گاه پرتیپتی، کوارتز، بیوتیت اغلب در گیر با کانیهای اپاک، کمی آمفیبول مشاهده می شوند.

جزئیه و دگرسانی: پلازیوکلازها به ندرت و به مقدار کم توسط کربنات در بخش‌های مرکزی جانشین شده‌اند.

کانیهای ثانویه: کربنات

کانیهای فرعی: کانیهای اپاک، زیرکن

نام سنگ: تونالیت (گرانودیبوریت)



### نمونه شماره: ZST-105

بافت: پورفیریتیک

پورفیرها: فلدسپات با ترکیب (اولیگوکلاز- آندزین سدیک) و نیز کانی فرو منیزین (جانشین شده) ملاحظه می شوند.



کانیهای زمینه: فلدسپات اغلب به صورت میکرولیت، کوارتز که اغلب به همراه کلریت به صورت تجمع ظاهر شده‌اند. ریز بلورهای اپیدوت و لوکوکسن-اسفن نیز در زمینه مشاهده می‌شوند.

تجزیه و دگرسانی:

پورفیرهای فلدسپات به نحوی وسیع توسط بلورهایی درشت از اپیدوت تجزیه و دگرسان شده‌اند.

کانی فرمینیزین که به طور کامل به کلریت بدل شده است.

توجه:

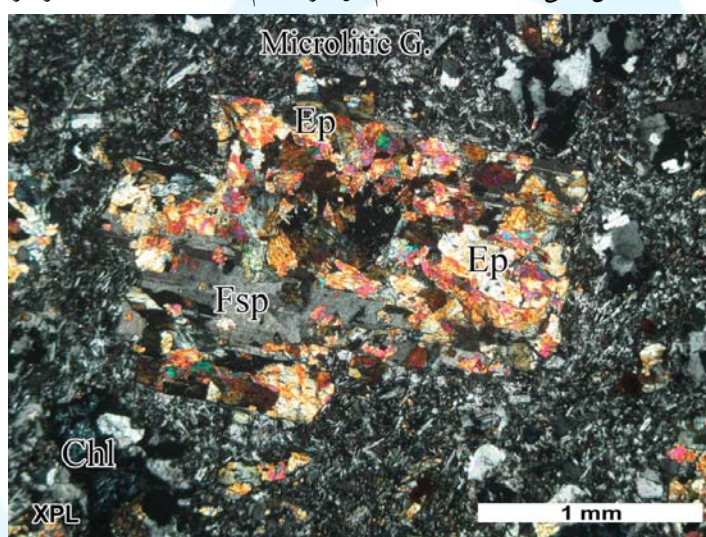
کوارتز اغلب به همراه کلریت با منشاء هیدروترمالی ملاحظه می‌شود. شکستگی‌ها و حفرات ناشی از آن نیز توسط کوارتز و کلریت پر شده‌اند.

اپیدوت به فراوانی در سنگ موجود است که بیشتر آن در ارتباط با تجزیه و دگرسانی فلدسپاتها می‌باشد.

کانیهای ثانوی: اپیدوت، سیلیس، لوکوکسن-اسفن، کلریت.

کانیهای فرعی: آپاتیت در ابعاد درشت، کانیهای اپاک.

نام سنگ: متا (کوارتز؟) لاتیت-آندزیت با دگرسانی شدید به اپیدوت، کلریت و نیز سیلیس. صرفنظر از منشاء هیدروترمالی کوارتز در اغلب نقاط، به دلیل مواردی از مشاهده این کانی در زمینه سنگ، نام کوارتز در نام سنگ با احتیاط در نظر گرفته شد.



### نمونه شماره: ZST-114

بافت: ولکانوکلاستیک

قطعات متتشکله:

قطعات بلوری از فلدسپات با ترکیب (اولیگوکلاز-آندزین سدیک) تا فلدسپات‌هایی با ترکیب سدیک-پتاسیک (آلکالی فلدسپات) ملاحظه می‌شود.

قطعات بلوری از کوارتز موجود است.

قطعات شیشه‌های ولکانیکی ملاحظه می‌شوند. این قطعات گاه با تجدید تبلور اسفلولیتی می‌باشند.

قطعات شیشه و لکانیکی با ترکیب اسیدی و تجدید تبلور یافته (لانه کبوتری) ملاحظه می‌شود.

قطعات شیشه و لکانیکی با ترکیب اسیدی با بافت جریانی و به طور کامل دگرسان شده به کانیهای ثانویه و کریپتوکریستالین از رس-زئولیت و نیز سیلیس ملاحظه می‌شوند.

قطعات شیشه و لکانیکی با ترکیب اسیدی با بافت حفره‌دار (Vesicular) و با دگرسانی به رس-زئولیت ملاحظه می‌شوند.



کانیهای زمینه: زمینه شیشه‌ای که گاه به طور مشخص دارای بافت جریانی است، به نحوی وسیع به کانیهای فیلوسیلیکاته (بیشتر رس) و نیز سیلیس تجزیه و دگرسان شده است.

تجزیه و دگرسانی:

فلدسباتها به کانیهای فیلوسیلیکاته (رس، سریسیت- کلریت) و نیز زئولیت به صورت بسیار ریز دانه (کریپتوکریستالین) تجزیه و دگرسان شده‌اند.

قطعات شیشه‌های ولکانیکی که در مجموع و به طور کلی به کانیهای رس- زئولیت، سریسیت- کلریت و سیلیس به صورت کریپتوکریستالین تا میکروکریستالین تجزیه و دگرسان شده‌اند.

توجه:

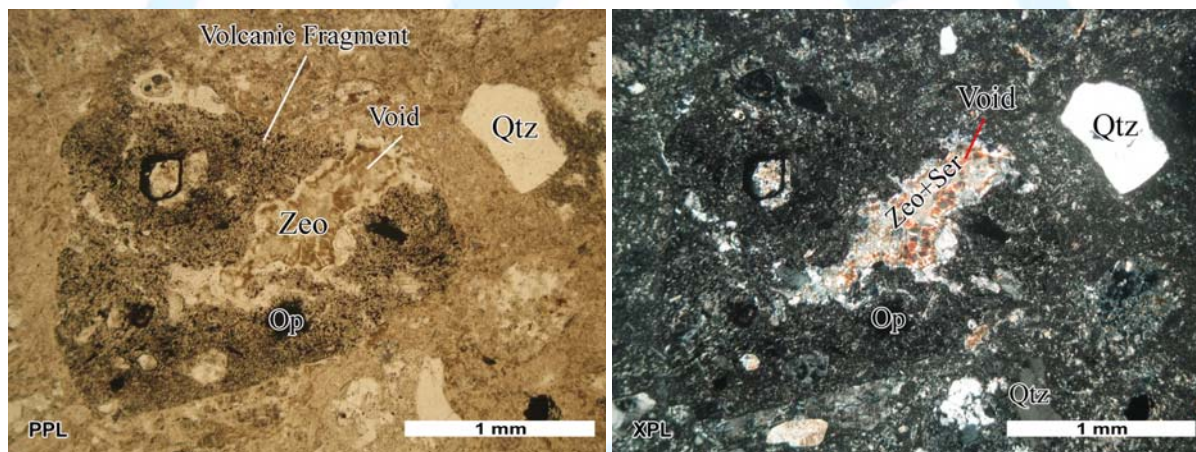
حرفات موجود به نسبت توسط رس- زئولیت و نیز سریسیت- کلریت پر شده‌اند.

در برخی نقاط تجمعاتی از اپیدوت (کلینوزوئزیت- زوئریت) ملاحظه می‌شود.

کانیهای ثانوی: رس- زئولیت، سریسیت- کلریت، سیلیس، اپیدوت.

کانیهای فرعی: کانیهای اپاک.

نام سنگ: لیتیک کریستال توف شیشه‌ای با ترکیب ریولیت- ریوداسیت با تجزیه و دگرسانی وسیع به رس- زئولیت، سریسیت- کلریت و نیز سیلیس.



### ZST-115

بافت: ولکانوکلاستیک

قطعات متتشکله:

قطعه بلوری از فلدسبات با ترکیب (اولیگوکلاز- آندزین سدیک) و قطعات بلوری از کوارتز مشاهده می‌شود.

قطعات ولکانیکی شیشه‌ای با تجزیه و دگرسانی به کانیهای فیلوسیلیکاته و کریپتوکریستالین از کلریت مشاهده می‌شود.

قطعات ولکانیکی حاوی پورفیرهای فلدسبات در زمینه‌ای میکروکریستالین و فلستیک مشاهده می‌شود. ترکیب این قطعات در حد ریوداسیت- داسیت می‌باشد.

قطعات ولکانیکی میکرولیتی در حد آندزیت- تراکی آندزیت موجود است.

کانیهای زمینه: زمینه سنگ معشوش و تفکیک قطعات سنگی از زمینه مشکل می‌باشد. شیشه موجود در زمینه به کانیهای فیلوسیلیکاته (رس، سریسیت- کلریت) و سیلیس تجزیه و دگرسان شده است.

تجزیه و دگرسانی:

فلدسباتها به کانیهای رسی تجزیه شده‌اند.



رشد اپیدوت در اغلب نقاط زمینه مشاهده می شود.

شیشه موجود در زمینه و نیز قطعات ولکانیکی به کانیهای فیلوسیلیکاته (رس، سریسیت- کلریت) و سیلیس تجزیه و دگرسان شده‌اند.

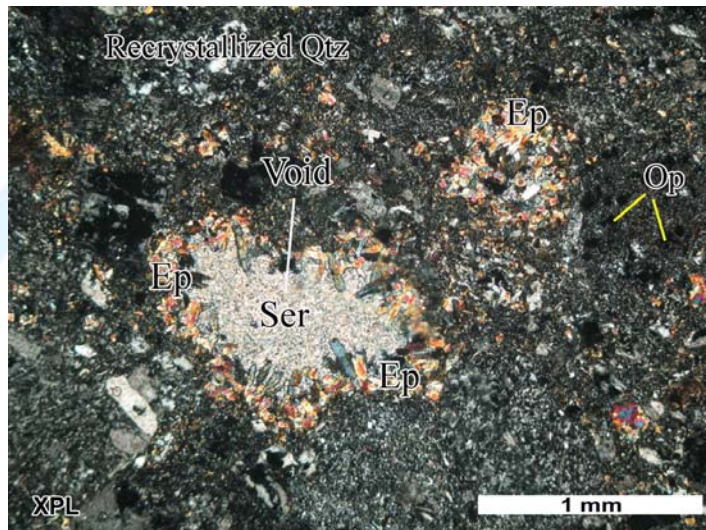
توجه:

حفرات موجود از حواشی توسط بلورهای اپیدوت و از بخش مرکزی توسط سریسیت پر شده‌اند.

کانیهای ثانوی: کانیهای فیلوسیلیکاته (رس، سریسیت- کلریت)، سیلیس، اپیدوت.

کانیهای فرعی: کانیهای اپاک.

نام سنگ: (متا) کریستال لیتیک توف با دگرسانی وسیع به اپیدوت، کانیهای رسی، سریسیت و نیز سیلیس.



### نمونه شماره: ZST-119

بافت: ولکانوکلاستیک

قطعات متتشکله:

قطعه بلوری از فلدسپات با ترکیب (اویلیگوکلاز- آندزین سدیک) تا سدیک- پتاسیک (آلکالی فلدسپات) و نیز قطعات بلوری از کوارتز ملاحظه می شود.

قطعات متتشکل از سیلیس میکروکریستالین (توف سیلیسی شده؟) ملاحظه می شود.

قطعات شیشه وولکانیکی با ترکیب اسیدی با تجدید تبلور به کانیهای کوارتز- فلدسپات مشاهده می شود.

قطعات ولکانیکی با بافت میکرولیتی تا میکرولیتی جریانی با ترکیب آندزیت- تراکی آندزیت ملاحظه می شود.

قطعات شیشه وولکانیکی که به شدت تجزیه و دگرسان شده است.

کانیهای زمینه: تفکیک قطعات سنگی و لکانیکی از زمینه سنگ اغلب مشکل است. زمینه شیشه‌ای سنگ به کانیهای کوارتز- فلدسپات (با تجزیه به کانیهای رسی) تجدید تبلور یافته و نیز به نحوی وسیع به کانیهای رسی و نیز سیلیس تجزیه و دگرسان شده است. ریز بلورهای لوکوکسن- اسفن گاهی ملاحظه می شود.

تجزیه و دگرسانی:

فلدسپاتها به آلبیت، سیلیس و به شدت به کانیهای رسی تجزیه شده‌اند.

زمینه شیشه‌ای سنگ افزون بر تجدید تبلور، به شدت به کانیهای رسی و سیلیس تجزیه و دگرسان شده است.

توجه:

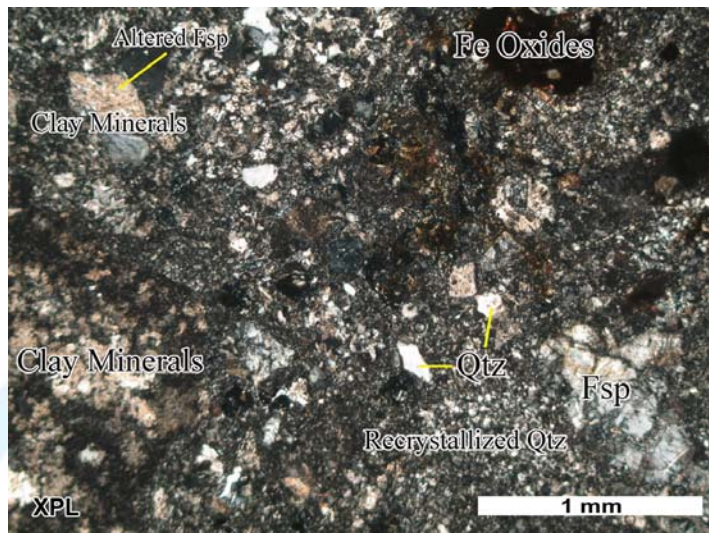
در شکستگی‌ها، تمرکز و تجمع کانیهای اکسید- هیدروکسید آهن ملاحظه می شود.



کانیهای ثانوی: سیلیس، کانیهای رسی، لوکوکسن- اسفن، آلبیت.

کانیهای فرعی: کانیهای اپاک.

نام سنگ: کریستال لیتیک توف شیشه‌ای با ترکیب اسیدی با تجدید تبلور و نیز دگرسانی شدید به کانیهای رسی و سیلیس.



### ZST-121 نمونه شماره:

بافت اولیه سنگ به دلیل شدت دگرسانی چندان مشخص نیست ولی سنگ ولکانیکی تا ساب ولکانیکی؟ به نظر می‌رسد.  
پورفیرها:

فلدسبات با ترکیب (اویلیگوکلاز - آندزین سدیک) تا سدیک- پتاسیک (آلکالی فلدسبات) و نیز کانی میکای (به احتمال بیوتیت- به طور  
کامل جانشین شده) ملاحظه می‌شود.

کانیهای زمینه: رشد بلورهای کوارتز و نیز فلدسبات به طور نامتجانس و نیز رشد تیغکهای ظریف سریسیت به فراوانی در زمینه سنگ  
مشاهده می‌شود.

تجزیه و دگرسانی:

فلدسباتها به نحوی وسیع به کانیهای رسی، تیغکهای سریسیت و به ندرت کربنات تجزیه و دگرسان شده‌اند.  
کانی فرومیزین (به احتمال بیوتیت) که به طور کامل به میکای سفید بدل شده‌است.

توجه:

سریسیت به نحوی وسیع در سنگ ملاحظه می‌شود.

کانیهای اکسید- هیدروکسید آهن حاصل دگرسانی به طور نامتجانس در سنگ موجود است. در شکستگی‌های موجود نیز رشد این کانیها  
مشاهده می‌شود.

کانیهای ثانوی: کانیهای فیلوسیلیکاته (رس- میکا)، کربنات و سیلیس.

کانیهای فرعی: کانیهای اپاک.

نام سنگ: سنگ ولکانیکی تا ساب ولکانیکی با ترکیب اسیدی و با دگرسانی وسیع به سیلیس، سریسیت و نیز کانیهای اکسید- هیدروکسید  
آهن.



### نمونه شماره: ZST-122

بافت: این سنگ از هم گسیخته بیشتر دارای بافتی ولکانوکلاستیک می‌باشد.

پورفیرها:

قطعات بلوری از فلدسپات با ترکیب سدیک تا سدیک-پتاسیک (آلکالی فلدسپات) و نیز قطعات بلوری از کوارتز ملاحظه می‌شوند.

قطعات ولکانیکی پورفیریتیک حاوی پورفیرهای کانی فرومینیزین کلریتی شده در زمینه‌ای میکرولیتی مشاهده می‌شوند که به نحوی وسیع به کانیهای اکسید-هیدروکسید آهن آغشته و دگرسان شده‌اند.

قطعات ولکانیکی؟ مشکل از تمرکز و تجمع کانیهای اپاک شکل‌دار در زمینه‌ای از شیشه دگرسان شده به کانیهای سریسیت، سیلیس و کانیهای اکسید-هیدروکسید آهن ملاحظه می‌شوند.

کانیهای زمینه: اغلب تفکیک قطعات ولکانیکی از زمینه سنگ غیر ممکن است. زمینه شیشه‌ای سنگ تا حد بسیار زیادی به کانیهای ثانویه و کریپتوکریستالین تجزیه و دگرسان شده است.

تجزیه و دگرسانی:

فلدسباتها به اپیدوت تجزیه و جانشین شده‌اند.

زمینه سنگ به نحوی وسیع به تیغک‌های کریپتوکریستالین از سریسیت و نیز سیلیس به صورت کریپتو تا میکرو کریستالین و نیز کانیهای رسی تجزیه و دگرسان شده است.

توجه:

تجمعاتی از بلورهای شکل‌دار کانیهای اپاک (گاه اشکال چهارگوش در ارتباط با کانی پیریت) ملاحظه می‌شود. گاهی این تجمعات به همراه آغشتگی و دگرسانی شیشه موجود در سنگ به کانیهای اکسید-هیدروکسید آهن به صورت یک قطعه سنگی (ولکانیکی) تداعی می‌شود؟.

کانیهای ثانوی: کانیهای فیلوسیلیکاته (سریسیت-رس)، سیلیس، اپیدوت، کانیهای اکسید-هیدروکسید آهن.

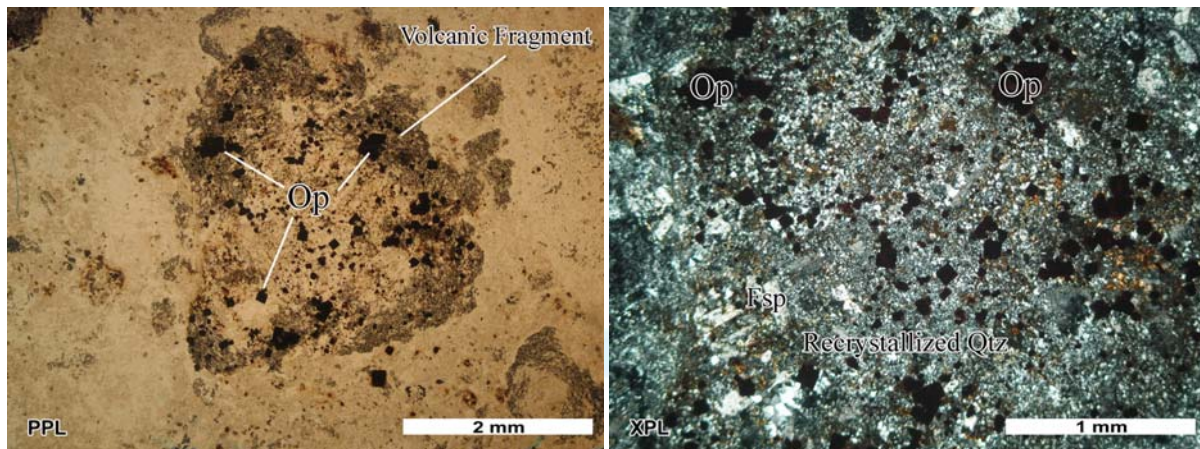
کانیهای فرعی: کانیهای اپاک (گاه اشکالی در ارتباط با پیریت?).

نام سنگ: کریستال لیتیک توف با ترکیب اسیدی و با دگرسانی وسیع به سریسیت، سیلیس، اپیدوت و کانیهای اکسید-هیدروکسید آهن.



ZARAZMA

زنگنه انحصاری آزمایشگاه **AmdeI** استرالیا



**amdel**  
www.amdel.com

آدرس: تهران، بزرگراه محمد علی جناح، پائین تراز فلکه دوم صادقیه، خ دوازده متری چهارم، پ ۳۴  
کد پستی: ۱۴۸۱۶-۳۵۴۵۱ تلفن: ۰۲۰۴۸۴۵۷-۶۲ و ۰۲۰۴۰۵۷۷۵ و ۰۲۰۴۴۰۵۰۱۲ فکس: ۰۲۰۴۸۴۶۳ و ۰۲۰۵۸۳۳۵  
**Email: Zarazma@irost.com**



جدول اختصارات بکار رفته در تصاویر مقاطع نازک منطقه زیارت شاه کماهی

Qtz	کوارتز
Recrystallized Qtz	کوارتر تجدید تبلور یافته
Pl	پلاژیوکلاز
Afs	آلکالی فلدوپار
Fsp	فلدوپار
OI	الیوین
Px	پیروکسن
Am	آمفیبول
Act	اکینولیت
Tr	ترمولیت
Ms	مسکوویت
Bt	بیوتیت
Chl	کلریت
Prh	پرهنیت
Ep	اپیدوت
Ser	سریسیت
Srp	سرپانتین
Grt	گارنت
Crd	کردیریت
Op	کانیهای اپاک
Clay Minerals	کانیهای رسی
Fe-Oxides	اکسیدهای آهن
Gt	گوتیت
Cb	کربنات
Zeo	زئولیت
G.	زمینه
Microlitic G.	زمینه میکرولیتی
Volcanic Fragment	قطعه ولکانیکی
Tex.	بافت
Void	حفره

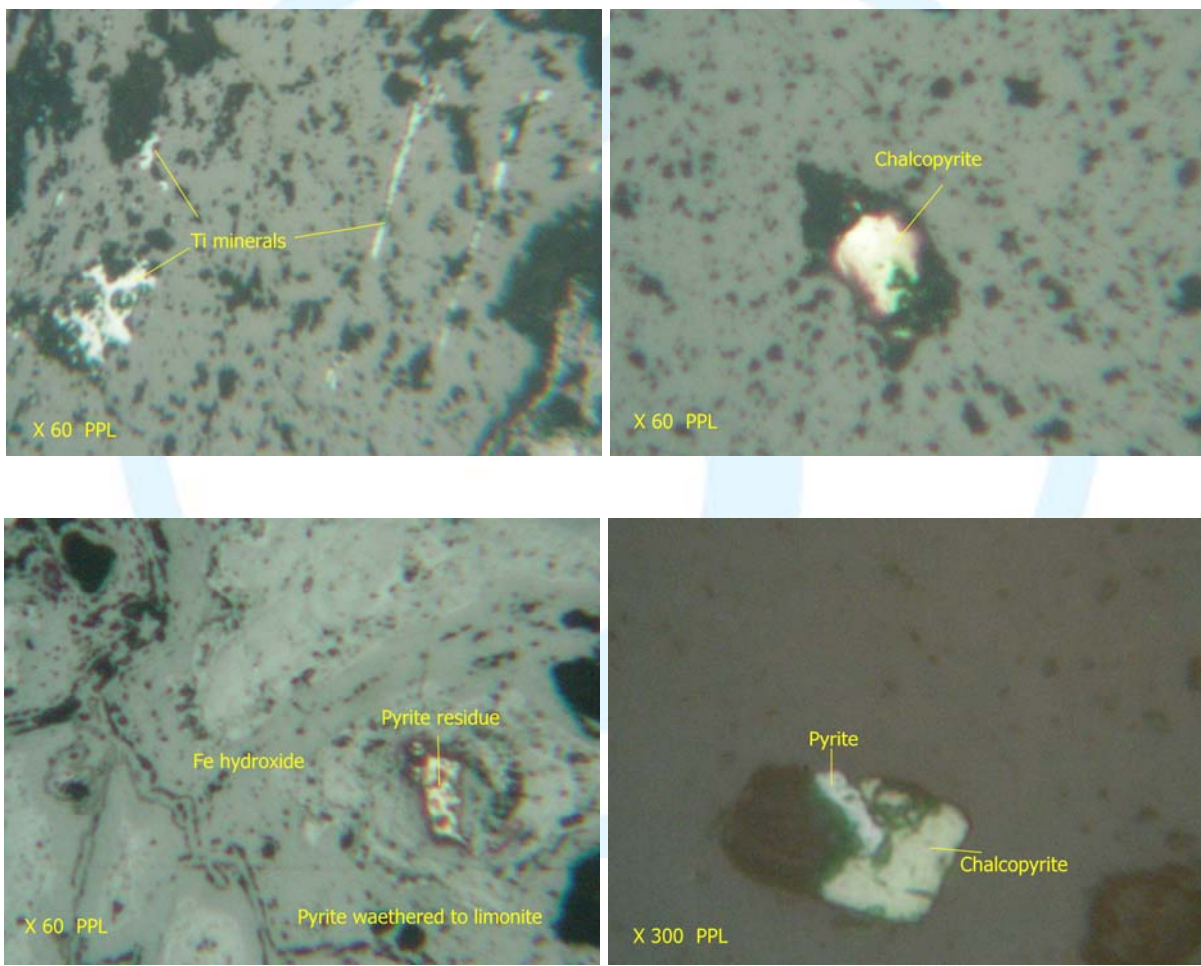
پیوست شماره ۲

## نتایج مطالعه نمونه‌های مینرالوگرافی



## ZSP-11 مقطع صیقلی شماره

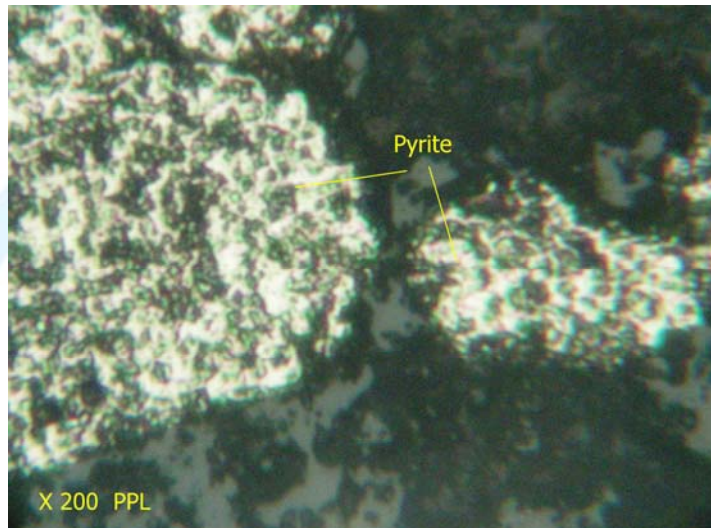
پیریت، کالکوپیریت، اکسیدتیتانیوم و هیدروکسید آهن کانه های تشکیل دهنده این نمونه هستند. پیریت با فراوانی حدود ۲٪ در این نمونه حضور دارد. دانه های آن داخل شکستگی ها استقرار یافته و ابعاد آنها بین ۵۰ الی ۳۰۰ میکرون متغیر است. گاهی چند دانه در کنار هم قرار گرفته و لکه های بزرگتری را تشکیل می دهند. در حال حاضر تقریباً تمامی بیوتیتها تأثیر آتراسیون سوپرژن قرار گرفته و توسط هیدروکسید آهن جانشین شده اند و فقط بقایائی از پیریت اولیه بر جای مانده است. کالکوپیریت به صورت ذرات بسیار ریز با ابعاد ۵ میکرون الی ۷۰ میکرون به مقدار بسیار کم ظاهرآ داخل گانگ ها به صورت انکلوزیون های ریز استقرار یافته اند. فراوانی آنها بسیار کم است. هیدروکسید آهن یعنی لیمونیت و گوتیت به صورت نابرجا وارد شکستگی های نمونه شده و استقرار یافته است.





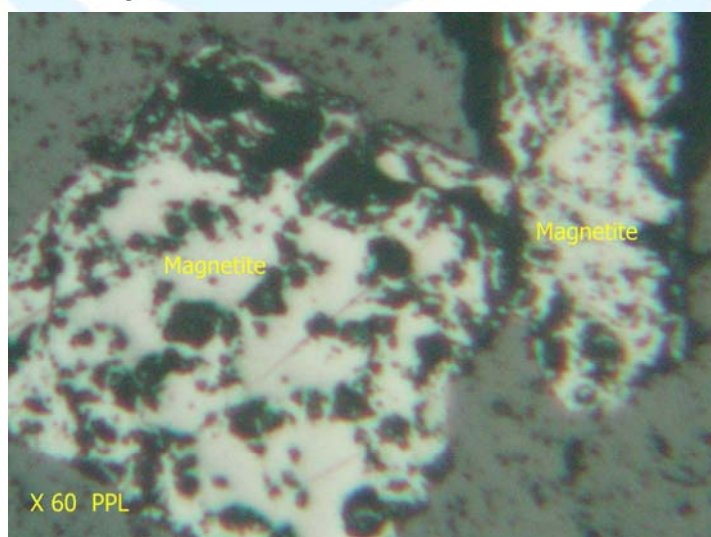
### مقطع صیقلی شماره ZSP-45

در این نمونه پیریت و اکسید تیتانیوم مشاهده می‌شود. فراوانی پیریت حدود ۱۰٪ الی ۱۵٪ است. دانه‌های آن اتومرف هستند و ابعادی بین ۵۰ میکرون الی ۴۰۰ میکرون دارند. پیریتها هم به صورت پراکنده و هم به صورت قرارگیری در یک امتداد که حالت رگچه را تداعی می‌کند دیده می‌شود. پیریتها سالم بوده و اثراتی از هوازدگی نشان نمی‌دهد. اکسید تیتانیوم (احتمالاً روتیل) نیز به صورت پراکنده با فراوانی حدود ۱٪ در نمونه در قالب دانه‌های بی‌شکل با ابعاد حداقل ۲۰۰ میکرون وجود دارند.



### مقطع صیقلی شماره ZSP-75

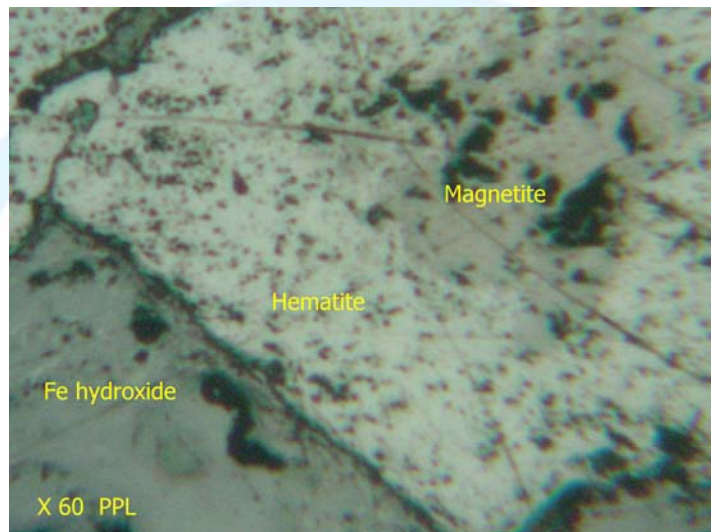
تنها کانه مشاهده شده در این نمونه منیتیت است. دانه‌های منیتیت اتومرف هستند و در بعضی قسمتها به طور فشرده در کنار هم به صورت موزائیکی قرار گرفته‌اند. فراوانی منیتیت حدود ۷۰٪ است و ابعاد دانه‌ها به طور متوسط بین ۱۰۰ الی ۴۰۰ میکرون است. در بعضی قسمتها، پاره‌ای دانه‌ها در اثر آتراسیون سوپرژن از اطراف و رخهای خود به مقدار بسیار محدود و در حد ایجاد یک نوار بسیار باریک توسط مارتیت (هماتیت) در حال جانشینی هستند.





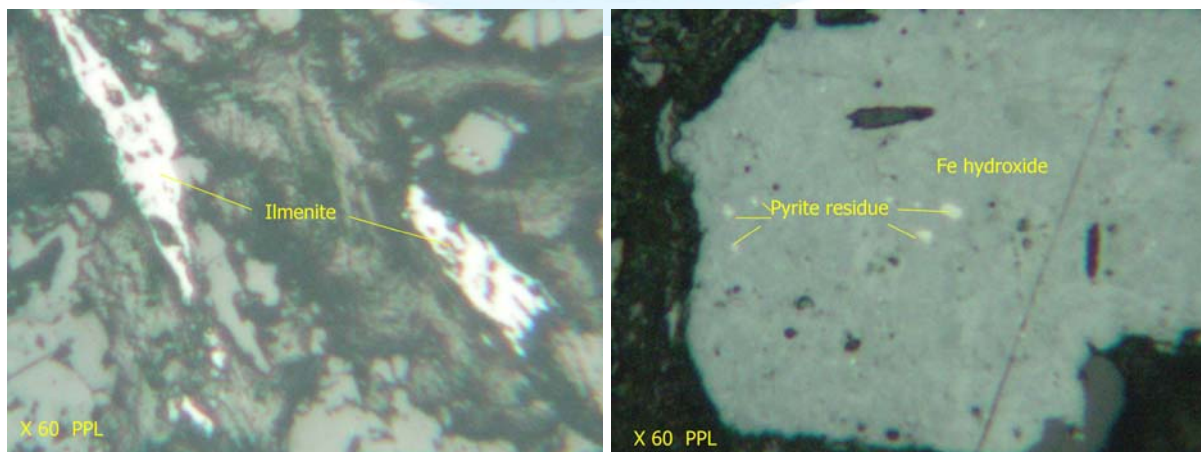
### مقطع صیقلی شماره ZSP-84

این نمونه زمانی در حدود ۸٪ منیتیت داشته است. دانه‌های منیتیت اتومرف بوده و ابعاد آنها تا ۱ میلی‌متر هم می‌رسیده است که به طور فشرده و موzaیکی در کنار هم قرار گرفته بوده‌اند ولی هم اکنون در اثر آلتراسیون سوپرژن درصد زیادی از آنها توسط هماتیت جانشین گشته است و فقط حدود ۱۰٪ الی ۱۵٪ منیتیتها باقیمانده و بقیه به هماتیت تبدیل شده‌اند. منیتیتها باقیمانده عموماً در قسمت وسط دانه‌ها قرار داشته و اطراف آنها توسط هماتیت در بر گرفته شده است. در بین دانه‌های منیتیت یا به عبارت دیگر قالبهای منیتیت در حال حاضر توسط هیدروکسیدهای آهن یعنی لیمونیت و گوتیت فرا گرفته شده است.



### مقطع صیقلی شماره ZSP-92

در این نمونه پیریت آلتله و ایلمینیت وجود دارد. فراوانی پیریت حدود ۶٪ الی ۸٪ است. دانه‌های آن اتومرف بوده و ابعاد آنها بین ۲۰ الی ۴۰۰ میکرون است. به نظر می‌رسد پیریتها در فضاهای خالی نمونه و مکانهای مناسب خالی کانی‌سازی کرده‌اند. پیریتها تقریباً همگی توسط هیدروکسیدهای آهن یعنی جانشین شده‌اند و در بعضی دانه‌ها فقط بقایائی بسیار ریز از پیریت اولیه بر جای مانده است. ایلمینیت به صورت دانه‌های نیمه شکل‌دار و پراکنده با فراوانی حدود ۱٪ و ابعادی بین ۱۰۰ الی ۲۰۰ میکرون در نمونه حضور دارند.



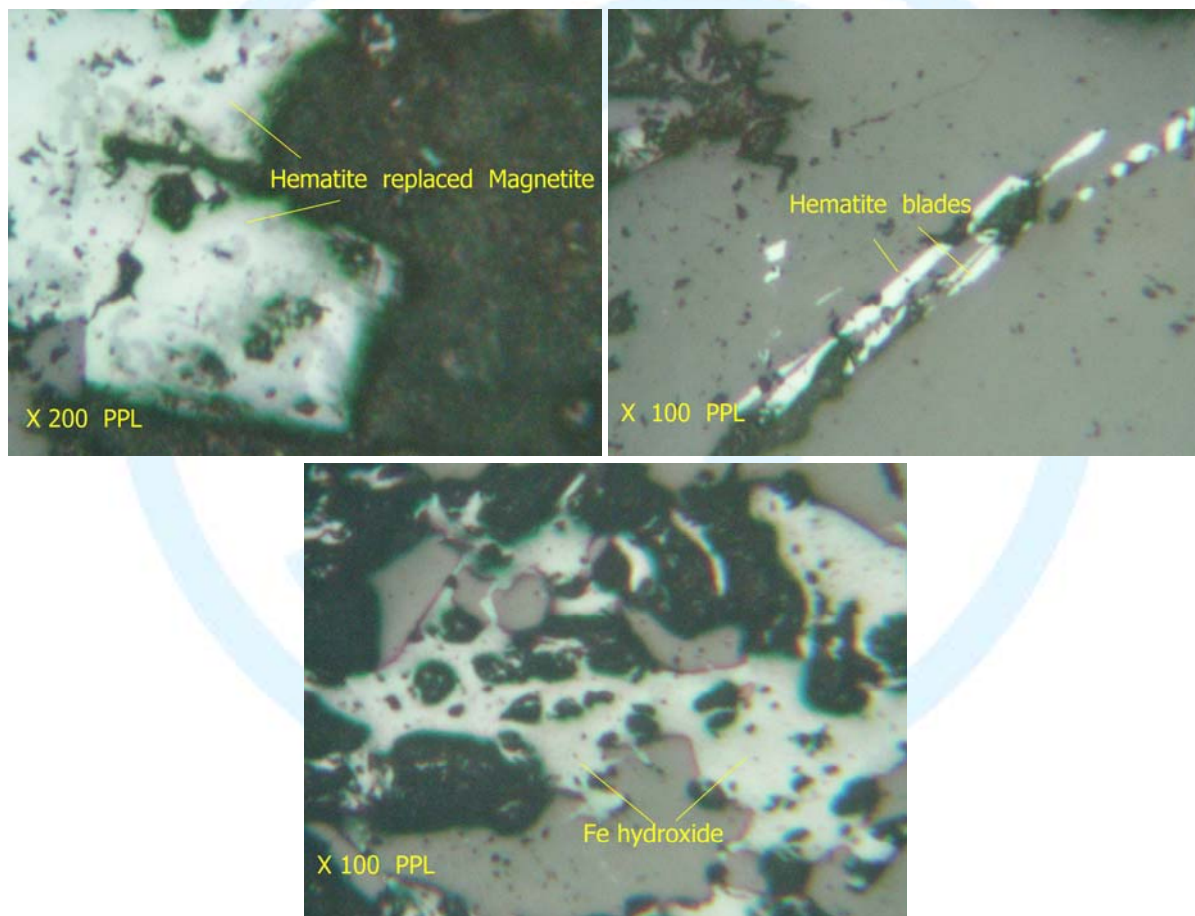


## مقطع صیقلی شماره ZSP-10

کانه‌های (Ores) موجود در این نمونه عبارتند از: منیتیت، هماتیت و هیدروکسید آهن.

فراوانی منیتیت حدود ۳٪ بوده است. هم اکنون منیتیت‌های مذکور در اثر آلتراسیون سوپرژن توسط هماتیت و گاهی به هیدروکسید آهن بدل گشته‌اند. این منیتیت‌ها اتومرف بوده و ابعاد آنها بین ۵۰ الی ۲۰۰ میکرون بوده است. بجز هماتیت‌هایی که جانشین منیتیت شده‌اند، هماتیت‌های تیغه‌ای شکل نیز در نمونه به مقدار کم (زیر ۱٪) مشاهده می‌گردد. ابعاد این هماتیت‌ها حداقل ۱۵۰ میکرون است.

هیدروکسیدهای آهن نظیر لیموئیت و گوتیت در این نمونه از دو منشاء می‌باشند. یکدسته جانشین هماتیت‌هایی گشته‌اند که خود هماتیت‌ها حاصل جانشینی منیتیت‌ها بوده‌اند. دسته‌ای دیگر نابرجا بوده که وارد محیط شده و داخل درز و شکاف‌ها و حفرات استقرار یافته‌اند.



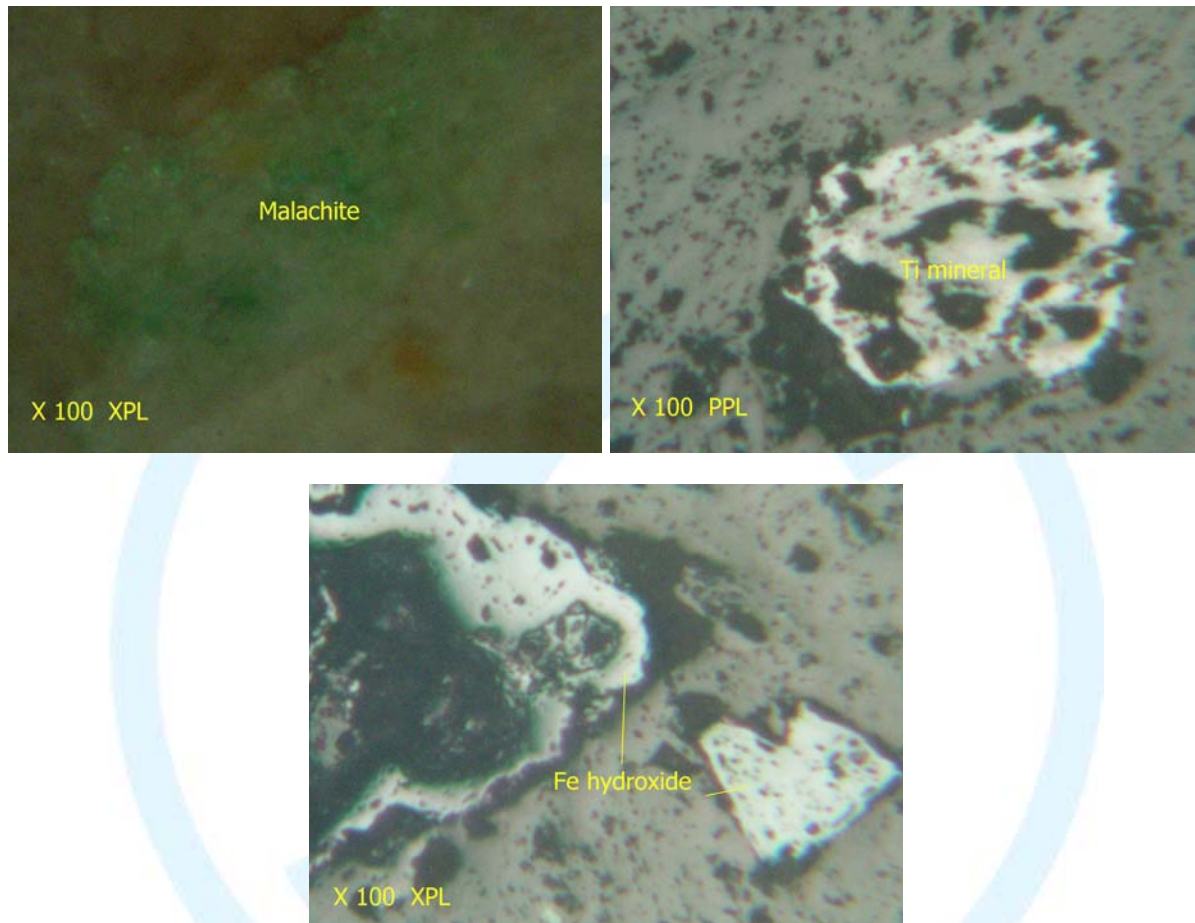
## مقطع صیقلی شماره ZSP-106

این نمونه از لحاظ مواد معدنی فقیر است. کانیهای تیتانیوم‌دار و هیدروکسید آهن، کانه‌های موجود در این نمونه هستند. کانیهای تیتانیوم‌دار (احتمالاً روتیل) با فراوانی ۲٪ در سرتاسر مقطع پراکنده هستند. ابعاد آنها زیر ۵۰ میکرون بوده و بندرت داخل آنها دانه‌های درشت‌تر (تا ابعاد ۲۰۰ میکرون) مشاهده می‌گردد. این دانه‌ها نیمه شکل‌دار تا شکل‌دار هستند.



هیدروکسیدهای آهن نیز شامل لیمونیت و گوتیت به صورت ثانویه و نابرجا وارد درز و شکاف سنگها شده و استقرار یافته‌اند.

کمی آغشتگی به رنگ سبز فقط در یک نقطه مشاهده گردید که احتمالاً ناشی از وجود مقدار بسیار کمی کانه‌های ثانویه مس می‌باشد.

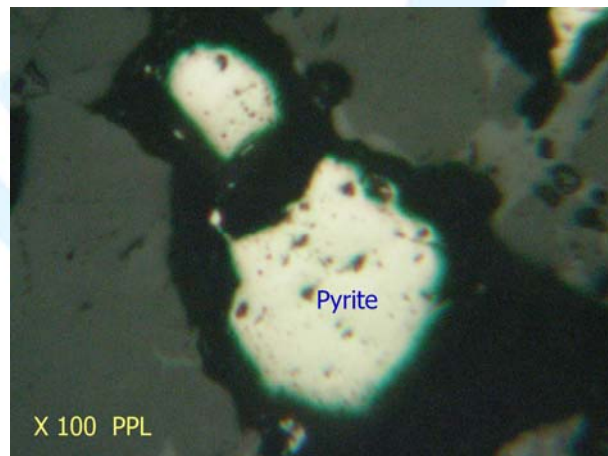
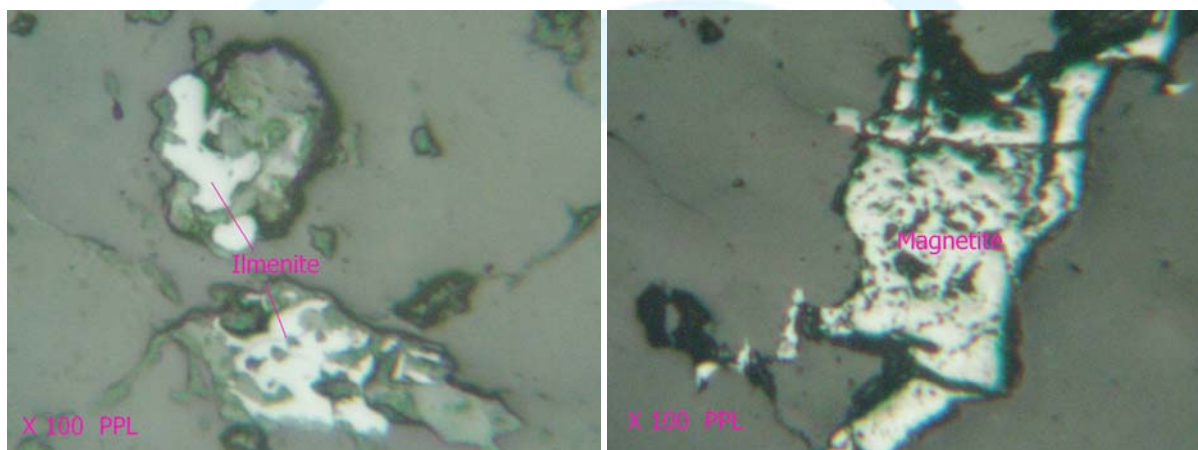
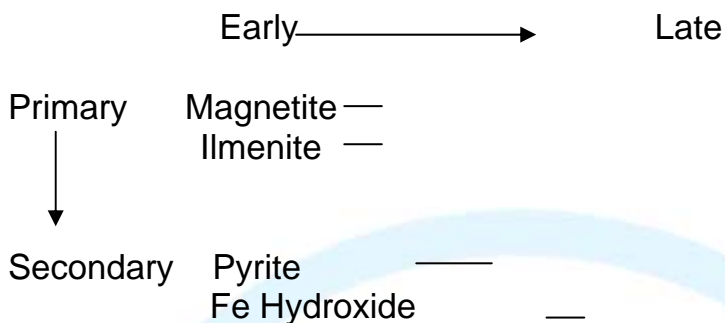


## مقطع صیقلی شماره ZSP-111

کانه‌های مشاهده شده در این نمونه شامل منیتیت، ایلمینیت، پیریت و هیدروکسید آهن می‌باشد. فراوانی منیتیت در این نمونه حدود ۱٪ است. دانه‌های منیتیت اتومرف بوده و به حالت پراکنده در نمونه استقرار یافته‌اند. ابعاد آنها عمدتاً زیر ۱۰۰ میکرون است و بندرت انواع درشت‌تر دیده می‌شود. منیتیتها در حال آتراسیون بوده و محصولات این آتراسیون نیز هماتیت و هیدروکسید آهن است. ایلمینیت نیز به صورت ذرات بی‌شکل پراکنده با ابعاد حدود ۵۰ الی ۱۰۰ میکرون با فراوانی ۱٪ الی ۲٪ در نمونه وجود دارد. پیریت دارای فراوانی ۳٪ الی ۴٪ است. دانه‌های آن نیمه اتومرف و درشت هستند و گاهی تا ۱ میلی‌متر می‌رسند. پیریت‌ها عموماً سالم هستند و اثراتی از هوازدگی در آنها مشاهده می‌شود. پیریت‌ها داخل فضاهای خالی مناسب و گاه در شکستگی‌ها استقرار یافته‌اند. هیدروکسیدهای آهن مثل لیمونیت و گوتیت نیز علاوه بر جانشینی بجای منیتیت و هماتیت‌های حاصل از آتراسیون آنها به صورت نابرجا نیز وارد محیط شده و در فضاهای خالی استقرار یافته‌اند.



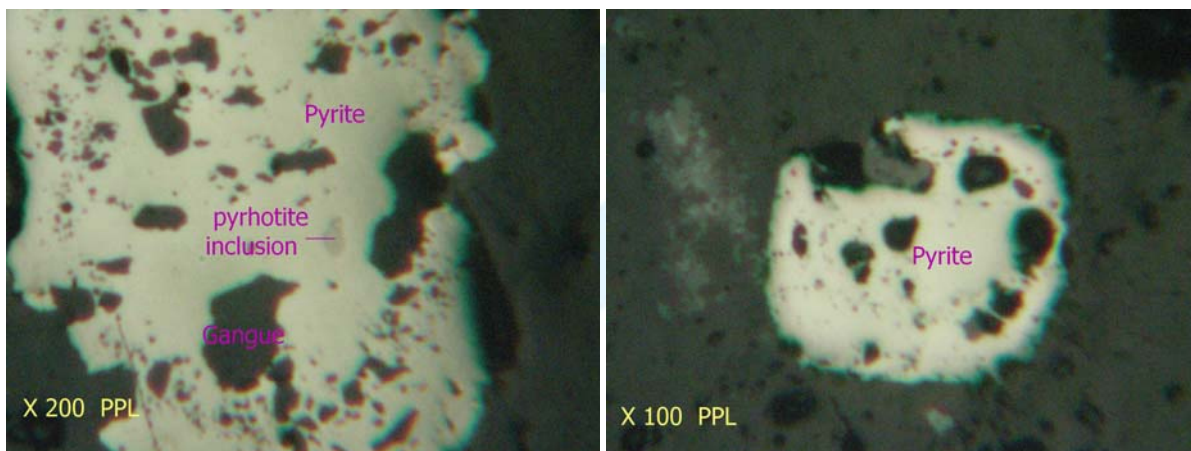
فازهای اکسیدی نمونه نظیر ایلمنیت و منیتیت اولیه بوده و فاز سولفیدی یعنی پیریت بعداً تشکیل شده است. روند کانی سازی می‌تواند به شرح زیر باشد:





## ZSP-117 مقطع صیقلی شماره:

کانی فلزی این نمونه پیریت است. پیریت به صورت دانه‌های نیمه اتومرف تا اتومرف به حالت پراکنده در نمونه استقرار یافته است. پیریت‌ها از ۳۰ میکرون تا ۱ میلی‌متر دیده می‌شوند. در بعضی از آنها ادخال‌هایی از جنس سنگ مادر (احتمالاً سیلیکاته) وجود دارد. بندرت در بعضی از آنها انکلوزیون‌هایی از جنس پیروتیت مشاهده می‌گردد. پیریت‌ها سالم هستند و اثراتی از هوازدگی در آنها مشاهده نمی‌شود. فراوانی پیریت حدود ۱۰٪ الی ۱۵٪ است.



### پیوست شماره ۳

نتایج آنالیز نمونه سنگی (ICP) برداشت شده در حین تهیه  
نقشه زمین‌شناسی



**CERTIFICATE OF ANALYSIS**

**6ZR-**

ZIARAT SHAH UNITS METHOD	Au ppb FA3	Al % IC3E	B ppm IC3E	Ca % IC3E	Co ppm IC3E	Cr ppm IC3E	Cu ppm IC3E	Fe % IC3E	K ppm IC3E	Mg % IC3E	Mn ppm IC3E	Na % IC3E	Ni ppm IC3E	P ppm IC3E
ZSI.57	2430	6.42	0	0.47	15	0	402	5.8	40400	0.33	3230	0.3	2	100
ZSI.58	1690	4.03	0	0.23	10	0	12	17.4	26100	0.17	566	0.16	6	600
ZSI.91	654	3.95	0	0.52	25	0	46900	11.3	12900	0.29	462	0.39	2	350
ZSI.96	640	5.01	0	1.35	15	0	4840	16.9	13100	0.75	704	0.88	10	300
ZSI.87	456	2.01	0	0.34	20	0	3200	21.7	8750	0.1	74	0.03	4	300
ZSI.99	218	7.35	0	0.15	10	10	3600	8.93	61400	0.24	256	0.21	2	450
ZSI.5	215	0.43	0	0.31	175	0	1860	46.2	500	0.12	162	0.02	28	100
ZSI.89	191	4.77	0	0.15	25	0	1400	7.64	23000	0.2	132	0.08	6	250
ZSI.83	114	1.24	0	0.15	20	0	304	36.4	6200	0.06	792	0.24	10	50
ZSI.100	77	6.06	0	0.28	10	10	8440	5.72	28400	0.18	70	0.62	8	100
ZSI.86	71	7.04	0	0.32	25	0	1120	10.6	33500	0.36	572	0.29	8	300
ZSI.44	55	4.31	0	0.85	15	0	1860	33.4	9700	0.36	300	1.01	12	2900
ZSI.93	37	5.16	0	0.37	25	10	4850	10.6	23200	0.39	146	0.2	14	350
ZSI.10	34	6.79	0	0.24	25	10	4590	3.34	27900	0.28	628	1.41	8	250
ZSI.52	31	5.33	0	1.11	30	20	21700	13.6	19400	0.75	1230	0.14	10	650
ZSI.28	28	3.38	0	0.2	0	0	24	1.84	14900	0.26	182	0.04	6	300
ZSI.30	25	4.78	0	0.31	10	10	74	4.35	31700	0.6	570	0.08	6	200
ZSI.82	13	6.36	0	0.19	0	0	140	5.03	27400	0.17	96	1.6	2	300
ZSI.24	10	9.02	0	1.31	15	0	264	5.03	58600	0.56	1060	0.48	8	700
ZSI.70	9	2.26	0	3.31	45	0	42	54.6	250	0.22	1700	0.03	8	200
ZSI.67	9	5.65	0	0.22	10	0	60	12.1	26800	0.38	854	0.15	6	500
ZSI.40	9	6.77	0	0.18	5	0	40	1.7	34900	0.14	72	1.4	10	150
ZSI.8	8	8.48	0	0.89	5	10	164	9.67	39000	0.09	142	3.63	4	350
ZSI.21	7	5.06	0	4.04	10	20	8600	8.5	11100	0.59	602	0.4	6	450
ZSI.2	7	8.74	0	0.46	0	0	304	8.57	43300	0.17	108	3.84	6	150
ZSI.49	7	3.88	0	0.65	10	0	24	4.08	20900	0.22	336	0.49	12	400
ZSI.48	6	1.29	0	0.16	5	10	36	9.16	4700	0.07	102	0.14	6	800



**CERTIFICATE OF ANALYSIS**

**6ZR-**

ZIARAT SHAH UNITS METHOD	Au ppb FA3	Al % IC3E	B ppm IC3E	Ca % IC3E	Co ppm IC3E	Cr ppm IC3E	Cu ppm IC3E	Fe % IC3E	K ppm IC3E	Mg % IC3E	Mn ppm IC3E	Na % IC3E	Ni ppm IC3E	P ppm IC3E
ZSI.98	6	6.81	0	0.14	10	0	1560	8.36	30200	0.99	666	0.06	2	450
ZSI.61	5	7.22	0	0.34	0	0	22	1.64	52200	0.2	196	1.27	0	200
ZSI.64	4	7.94	0	0.78	5	0	42	3.07	26300	0.35	228	3.45	0	1200
ZSD.47	3	5.31	0	0.24	5	0	16	5.99	19700	0.18	90	1.04	10	900
ZSI.81	3	7.91	0	0.58	0	0	8	2.21	5400	0.04	46	5.82	4	150
ZSI.25	3	0.52	0	18.4	0	0	40	1.24	750	0.22	3070	0.02	2	150
ZSD.50	2	7.4	0	0.27	5	0	50	1.79	15100	0.04	10	0.55	6	450
ZSI.37	2	7.5	0	0.57	5	0	14	2.64	26400	0.44	246	1.43	8	400
ZSI.33	2	7.5	0	1.19	0	0	10	2.08	30300	0.17	664	3.11	6	450
ZSI.27	2	0.37	0	25.4	0	0	10	1.46	300	0.15	7380	0.06	2	450
ZSD.63	1	7.01	0	0.83	0	0	32	1.14	27200	0.17	224	2.34	2	150
ZSI.34	1	6.53	0	0.46	0	10	24	2.51	32800	0.17	82	2.32	4	200
ZSD.69	1	6.3	0	1.98	0	0	36	0.97	31300	0.11	292	2.15	4	100
ZSD.17	0	6.67	0	1.24	0	0	32	1.34	29100	0.08	174	2.32	10	200



CERTIFICA		CERTIFICATE OF ANALYSIS												6ZR-			
ZIARAT SHAH	S	Sc	Ti	V	Zn	Ag	As	Ba	Be	Bi	Cd	Ce	Cs	Hg	La		
UNITS	ppm	ppm	%	ppm													
METHOD	IC3E	IC3E	IC3E	IC3E	IC3E	IC3M											
ZSI.57	50	2	0.115	60	894	1	87	339	0.8	2.9	3	25.2	9.9	0	16.2		
ZSI.58	4100	2	0.085	30	138	0	77	165	0.5	1.1	0	8.4	26.1	0	6.2		
ZSI.91	4150	4	0.105	55	226	61.5	2550	264	0.4	10.6	2	13.3	1.7	0	6.9		
ZSI.96	550	8	0.215	190	359	31	449	167	0.4	685	0.5	16.2	3.5	0	7.7		
ZSI.87	800	2	0.045	40	808	72.5	1860	95	0	5880	0.5	75.4	1.1	0	37.2		
ZSI.99	800	6	0.175	75	54	19.5	142	545	0.5	62.4	0	20.4	4.1	0	12.3		
ZSI.5	3800	0	0.02	45	17	7.5	72	29	0.1	4.2	0	1.6	0.6	0	0.8		
ZSI.89	1600	4	0.095	50	342	7.5	4240	338	0.2	41.9	3.5	20.7	1.9	0	10.3		
ZSI.83	1250	1	0.15	60	61	1	5	64	0.3	2.8	0	2.1	0.9	0	1.2		
ZSI.100	350	2	0.075	35	58	9.5	155	364	0.5	13.7	0	17.4	2	0	11.4		
ZSI.86	450	5	0.145	80	406	3.5	3800	580	0.4	8.7	5	27.1	2.4	0	12.8		
ZSI.44	1350	7	0.405	75	51	0	18	66	0.7	5.1	0	21.6	19.8	0	10.3		
ZSI.93	350	5	0.13	125	69	0	38	245	0.2	3.2	0	29.2	1.8	0	15.4		
ZSI.10	700	3	0.095	15	77	8.5	32	430	0.7	16.9	0	31.1	6.2	0	15.2		
ZSI.52	3150	16	0.395	180	158	20.5	76	192	0.6	3.2	0.5	17.6	5.6	0	6.9		
ZSI.28	50	5	0.14	45	112	0.5	57	87	0.4	0.2	0	7.9	6.6	0	4.2		
ZSI.30	550	10	0.245	70	108	0.5	67	494	0.3	0	0	6.1	6.4	0	3		
ZSI.82	250	3	0.075	20	10	0	3	423	0.6	38.2	0	26.9	3	0	14.8		
ZSI.24	100	16	0.395	130	134	4.5	33	880	0.7	0.2	0	26.1	10.7	0	12.9		
ZSI.70	50	4	0.115	80	894	0	24	7	1.1	1	1.5	18.6	0.2	0	9.8		
ZSI.67	5000	7	0.28	80	435	0.5	99	408	1.6	18.9	1.5	55.8	12.4	0	37.6		
ZSI.40	3600	4	0.125	0	10	0	6	588	1.1	2.4	0	62.2	2.3	0	31.3		
ZSI.8	4600	2	0.09	25	8	0	8	659	1.4	0.4	0	18.6	1.6	0	12.5		
ZSI.21	600	7	0.165	95	101	34	5	276	0.5	29.6	0.5	15.3	1.2	0	7.2		
ZSI.2	1350	4	0.13	20	160	1.5	820	556	1.6	2	0	12.4	1.8	0	8		
ZSI.49	1700	3	0.33	45	33	0	61	247	0.6	1.7	0	17.8	4	0	11.4		
ZSI.48	4150	2	0.37	80	52	0	107	54	0.5	1.3	0	15.2	4.7	0	9.1		



CERTIFICA

CERTIFICATE OF ANALYSIS

6ZR-

ZIARAT SHAH	S	Sc	Ti	V	Zn	Ag	As	Ba	Be	Bi	Cd	Ce	Cs	Hg	La
UNITS	ppm	ppm	%	ppm											
METHOD	IC3E	IC3E	IC3E	IC3E	IC3E	IC3M									
ZSI.98	350	14	0.275	100	46	2	1300	275	0.4	19.7	0	26.1	3.4	0	11.8
ZSI.61	350	3	0.13	20	23	0	32	674	0.7	0.1	0	25.7	5.2	0	16.5
ZSI.64	2400	12	0.465	40	40	0	22	465	1.1	0.2	0	42.6	1.1	0	21.1
ZSD.47	16100	8	0.335	80	15	0	49	320	0.5	2.7	0	51.8	8.7	0	28
ZSI.81	150	2	0.05	0	7	0	2	136	1.6	1	0	12	0.7	0	7
ZSI.25	400	2	0.02	40	30	0.5	14	26	0.2	0	0	6.2	1.1	0	3.3
ZSD.50	5000	11	0.39	45	15	0	36	312	0.4	1.6	0	57.9	9.4	0	27.3
ZSI.37	550	7	0.25	15	31	0	15	472	0.8	0.7	0	15.7	5.4	0	7.8
ZSI.33	100	7	0.24	10	35	0	5	629	0.8	0	0	40.1	1.5	0	19.3
ZSI.27	2350	0	0.015	50	5	0	80	15	0.1	0	0	3.5	0.6	0	2.2
ZSD.63	100	3	0.115	20	27	0	9	493	0.9	0.5	0	25.9	2.4	0	16.1
ZSI.34	900	2	0.12	10	72	0	4	1500	0.5	0.5	0	6	2.1	0	5
ZSD.69	100	1	0.075	0	12	0	4	748	0.7	0.5	0	43.4	2	0	22.1
ZSD.17	50	2	0.08	20	16	0	6	391	0.6	0.8	0	32.7	2	0	18.2



CERTIFICA		CERTIFICATE OF ANALYSIS												6ZR-			
ZIARAT SHAH	Li	Mo	Nb	Pb	Rb	Sb	Sn	Sr	Te	Th	Tl	U	W	Y	Zr		
UNITS	ppm	ppm	ppm	ppm	ppm	ppm	ppm	ppm	ppm	ppm	ppm	ppm	ppm	ppm	ppm	ppm	
METHOD	IC3M	IC3M	IC3M	IC3M	IC3M	IC3M	IC3M	IC3M	IC3M	IC3M	IC3M	IC3M	IC3M	IC3M	IC3M	IC3M	
ZSI.57	22.5	2.5	4.5	721	179	1.6	7	87	0	12.9	1	3.1	12	15.6	5		
ZSI.58	13	1.5	3.5	237	150	2.2	10	100	0	22.1	0.8	1.5	12	2.7	3		
ZSI.91	27	61	1.5	15	54.8	10.6	19	109	3	2.6	0.4	12.1	17	8.8	0		
ZSI.96	24.5	72	2.5	61	56.4	4.8	17	177	44	3.4	0.5	10.9	31.5	8.3	3		
ZSI.87	18	9.5	1	709	40.2	14	15	22	34.6	4.3	0.2	2.7	13.5	12.7	0		
ZSI.99	12.5	60	3	13	213	1	27	92	30.8	3.6	1.4	3.4	135	8.4	0		
ZSI.5	3.5	19.5	0	31	4.2	0.8	4	23	1	0.8	0	3.3	9.5	2.2	0		
ZSI.89	26	32	1.5	453	80.6	21.6	12	81	0.6	4.1	0.5	4.7	20	7	2		
ZSI.83	13	5.5	4.5	7	28.8	0.2	10	23	0.8	4.9	0.1	0.6	1	2	0		
ZSI.100	19	26.5	4	10	108	1.8	9	57	5.4	5.6	0.7	10.3	33	5	0		
ZSI.86	31.5	61.5	2.5	85	118	26.2	11	51	3.2	7.1	0.9	4.1	25.5	10.8	0		
ZSI.44	9	9	8	9	60	0.8	2	144	0.8	3.3	0.3	1.2	2.5	6	14		
ZSI.93	18.5	25.5	2	6	88.2	0.6	7	68	1	4.6	0.5	13.3	38.5	10.9	2		
ZSI.10	17	2	5	146	167	0.2	46	72	0.4	6.6	0.8	2.9	3.5	9	0		
ZSI.52	56	100	3	60	93.6	3.6	1	70	1.6	2.3	0.5	3.9	4	11	42		
ZSI.28	62	65.5	2	128	93	6.4	0	19	0	1.5	0.5	0.6	2	5.1	31		
ZSI.30	59	21.5	2	28	133	8.8	0	66	0	1.2	1.2	0.6	4	5.3	33		
ZSI.82	29	2.5	4.5	12	139	0.2	37	44	0.6	7.7	0.4	1.3	11	7.4	3		
ZSI.24	28.5	2	4	115	272	5.2	1	196	0.4	3.3	2.1	1.9	2.5	14.8	30		
ZSI.70	4	1	1	102	1	2.6	1	158	0	0.9	0	0.3	7.5	17.2	9		
ZSI.67	11.5	54.5	8.5	370	187	2.4	4	116	9	9.9	1.5	2.3	4	20.6	29		
ZSI.40	7.5	1.5	13.5	18	113	0.6	19	70	1.2	11.9	1.3	2.5	1.5	12.5	57		
ZSI.8	6	2	3.5	28	97.8	0.2	1	252	0	13	0.4	1.3	1.5	3	2		
ZSI.21	32	9	3.5	351	41.4	3.2	2	460	2	3.7	0.2	1.3	1	9.6	41		
ZSI.2	12	21.5	13	272	150	5.8	2	190	0	15.3	0.6	0.7	12	11.5	4		
ZSI.49	20.5	6.5	8	21	111	12.6	4	114	1.2	7	0.7	2.2	2.5	6.6	57		
ZSI.48	21	4	6.5	40	26.6	8.8	2	100	0.8	3.8	0.2	1.8	2	10	118		



CERTIFICA

CERTIFICATE OF ANALYSIS

6ZR-

ZIARAT SHAH	Li	Mo	Nb	Pb	Rb	Sb	Sn	Sr	Te	Th	Tl	U	W	Y	Zr
UNITS	ppm														
METHOD	IC3M														
ZSI.98	34.5	15	3	14	152	9.2	21	26	5.2	3.6	0.9	4.2	31.5	8.5	2
ZSI.61	7.5	4.5	8	27	221	1.2	1	114	0	13.4	1.4	2.6	1	7.6	117
ZSI.64	8.5	2.5	8	21	72.8	0.4	2	295	0	6.8	0.4	1.4	2	16	20
ZSD.47	20.5	3.5	8	26	111	6	3	497	1.6	8.6	0.9	1.4	2.5	11.5	98
ZSI.81	5	1.5	8.5	7	21.6	0	4	202	0	10.9	0	0.8	3.5	4.8	0
ZSI.25	24	2.5	0	66	5.8	27.2	0	129	0	0.3	0	3.7	1	4.4	12
ZSD.50	31	2.5	15	16	79.4	14.2	4	573	0.4	14.3	0.5	2.8	3.5	10	120
ZSI.37	13	1.5	8	10	98.6	0.4	2	186	0.4	6.6	0.6	1	2	8.9	15
ZSI.33	7	0.5	8	14	94.8	0.4	2	146	0	5.1	0.4	1.1	1	19.2	57
ZSI.27	17.5	5	0	6	2	2.6	0	128	0	0.1	0.2	3.3	0.5	2.7	3
ZSD.63	8.5	1.5	7	34	98.4	0.4	2	192	0	9.7	0.6	1.7	1.5	7.5	24
ZSI.34	13.5	1	4.5	7	85	0.6	4	184	0.4	6.6	0.5	1.1	0.5	3.2	16
ZSD.69	7	2	9	13	106	0.2	1	124	0	11.7	0.6	2.3	1.5	16	36
ZSD.17	8	1	6	10	101	0.4	1	155	0	9.8	0.4	0.8	1	8.6	5



**CERTIFICATE OF ANALYSIS**

**6ZR-**

Sample	Au	Ag	As	Co	Cr	Cu	Mn	Mo	Ni	Pb	Sb	Sr	Zn	Mg	Ba
UNITS	ppb	ppm	ppm	ppm	ppm	ppm	ppm	ppm	ppm	ppm	ppm	ppm	ppm	%	ppm
ZSI-102	237	<0.5	31	<5	10	12	508	1.5	6	74	1.4	81	96	0.21	369
ZSI-107	6	<0.5	8	5	20	18	1250	2	8	132	1.2	44	92	0.4	126
ZSI-108	2	<0.5	8	<5	<10	10	630	1.5	4	15	0.8	221	70	0.17	701
ZSI-109	6	1	3	<5	10	246	68	4	6	8	<0.2	141	10	0.18	861
ZSI-110	6	<0.5	20	5	10	320	230	8.5	6	57	0.2	165	24	0.23	984
ZSI-112	3	<0.5	2	<5	<10	14	448	1	4	10	0.4	113	30	0.17	208
ZSI-113	3	<0.5	2	5	<10	22	928	2	6	16	1.6	255	44	0.24	217
ZSI-116	1	<0.5	5	<5	<10	12	340	2	4	6	0.4	373	146	0.58	249
ZSI-118	2	<0.5	7	5	<10	32	418	1.5	6	6	0.4	645	180	0.66	145
ZSI-123	380	17	207	50	50	7530	758	6.5	8	168	17.2	397	3840	0.84	170



**CERTIFIC/CERTIFICATE OF ANALYSIS**

**6ZR-**

Sample	Be	Sn	Ti	Rb	Y	Fe	Al	La	Nb	Ce	K	Na	Sc	Ca
UNITS	ppm	ppm	%	ppm	ppm	%	%	ppm	ppm	ppm	ppm	%	ppm	%
ZSI-102	0.6	20	0.155	224	2.9	6.31	6.29	4.1	4	6.1	46900	0.35	4	0.21
ZSI-107	0.5	<1	0.09	54	23.5	1.27	2.91	11.4	2.5	22.2	14400	0.05	4	1.83
ZSI-108	1.1	2	0.275	99.6	20.7	1.67	7.82	24.2	6.5	50.3	31000	3.19	8	1.09
ZSI-109	0.8	8	0.09	95.8	6.3	2.48	7.27	15.4	6	27.1	27700	1.36	2	0.75
ZSI-110	0.7	10	0.12	127	8.2	2.72	7.25	14.8	6	25.9	40300	1.66	4	0.68
ZSI-112	0.5	2	0.15	21.4	8.5	2.28	9.31	19.7	8.5	29.6	9600	6.2	6	1.37
ZSI-113	0.7	2	0.135	17.4	16	3.65	9.24	26.5	6	45.1	8000	5.19	6	2.52
ZSI-116	0.8	2	0.32	23.4	5.2	2.87	8.24	8.1	4.5	14	7950	3.26	12	1.41
ZSI-118	1	3	0.305	10	10.6	2.51	7.85	12.9	4	26.6	3300	3.36	10	2.12
ZSI-123	0.5	9	0.19	59	14.2	23.9	4.04	12	3.5	25	21300	0.72	6	6.68



CERTIFICA		CERTIFICATE OF ANALYSIS												6ZR-			
Sample	Li	P	V	Cd	S	Zr	Hg	B	Bi	W	Cs	Re	U	Tl	Te	Th	
UNITS	ppm	ppm	ppm	ppm	ppm	ppm	ppm	ppm	ppm	ppm	ppm	ppm	ppm	ppm	ppm	ppm	
ZSI-102	12.5	200	25	<0.5	900	<1	<0.05	<20	0.7	13	6.4	<0.1	1.3	1.3	<0.2	12.9	
ZSI-107	51.5	200	30	<0.5	100	23	<0.05	20	1.2	2	0.9	<0.1	0.5	0.6	0.2	2.8	
ZSI-108	10	400	20	<0.5	<50	67	<0.05	40	0.3	1.5	1.8	<0.1	1.5	0.6	0.6	5.7	
ZSI-109	11.5	150	15	<0.5	800	6	<0.05	40	2.1	21	1.8	<0.1	1.3	0.6	1.8	7	
ZSI-110	17.5	250	20	<0.5	300	<1	<0.05	<20	3.6	6.5	1.6	<0.1	1.9	0.8	0.4	7.6	
ZSI-112	1.5	200	25	<0.5	3200	10	<0.05	<20	1.4	1	0.3	<0.1	1.3	<0.1	0.2	14.5	
ZSI-113	2.5	200	40	<0.5	1600	10	<0.05	20	1.8	1	0.3	<0.1	1.8	<0.1	0.4	12.5	
ZSI-116	17	400	75	<0.5	500	28	<0.05	20	0.3	1	5.7	<0.1	0.8	0.1	1	5	
ZSI-118	15.5	450	55	1	2450	23	<0.05	20	0.6	1	1.4	<0.1	0.6	<0.1	0.4	4.8	
ZSI-123	22.5	550	80	<0.5	5000	87	<0.05	<20	1.8	12.5	2.4	<0.1	2.9	0.1	0.6	3.8	

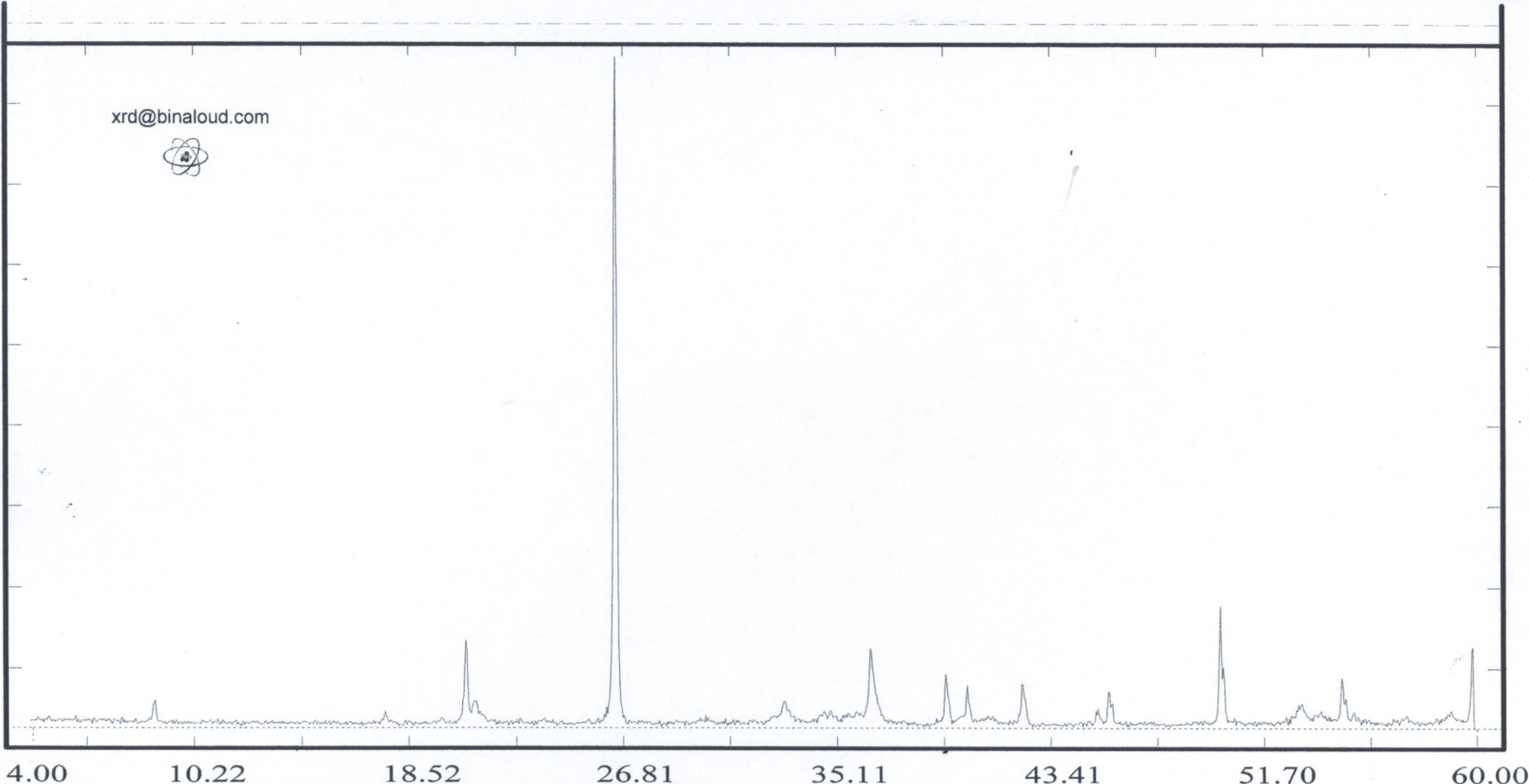
پیوست شماره ۴

نتایج مطالعه نمونه‌های کانی‌شناسی به روش XRD

4140.5  
CPS Lin

E:\2\9900.RAW

0.0



Sample:  
ASI-87

Major Phase(s)  
Quartz (33-1161)  
SiO<sub>2</sub>

Minor Phase(s)  
Muscovite - illite (26-0911)  
KAl<sub>2</sub>Si<sub>3</sub>AlO<sub>10</sub>(OH)<sub>2</sub>

Trace Phase(s)  
--

Date :  
03/02/2008

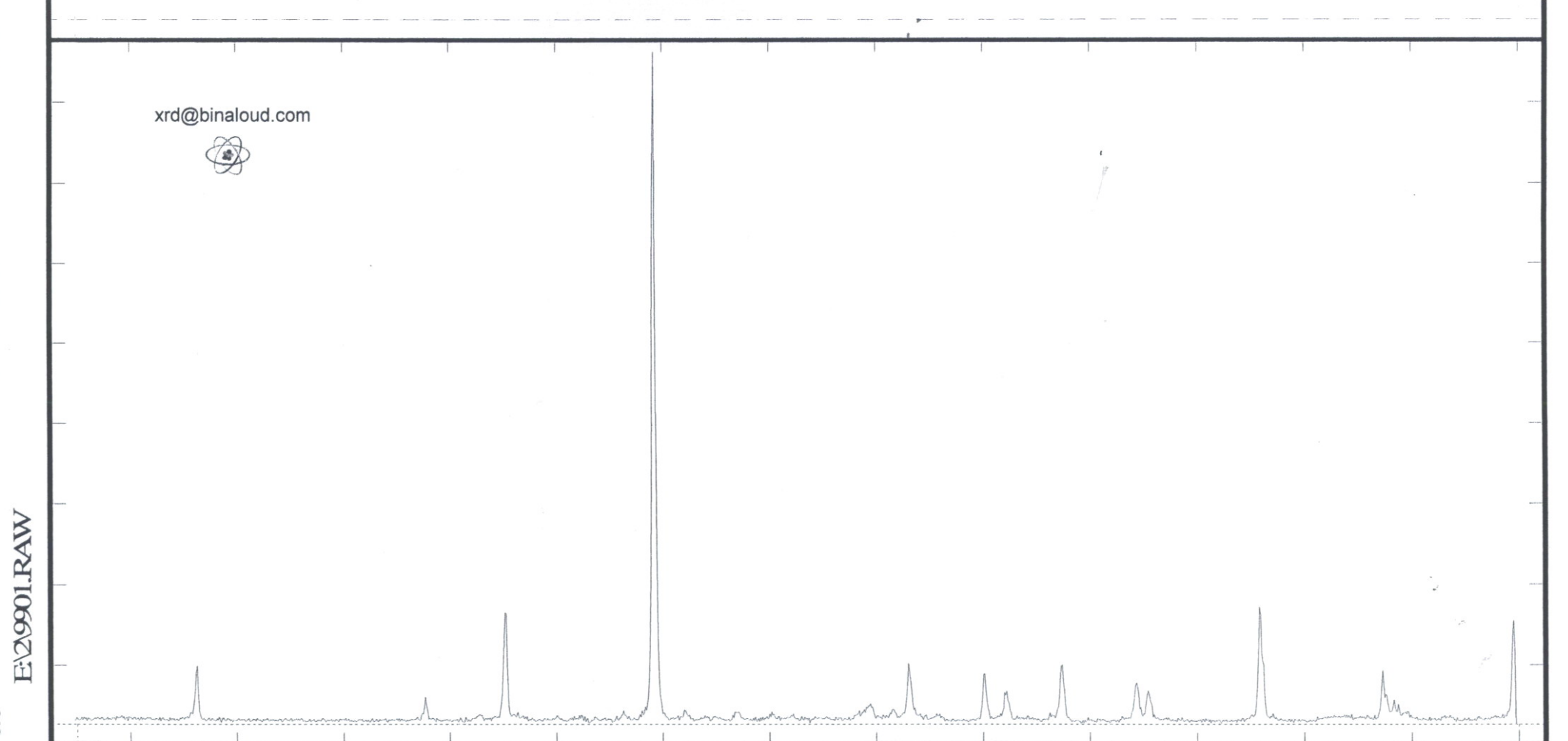
Goethite (29-0713)  
FeO(OH)

kV = 40  
mA = 30  
Ka. = Cu  
Fil. = Ni



5512.5

CPS Lin



4.00      10.22      18.52      26.81      35.11      43.41      51.70      60.00

Sample:  
ASI-89

**Major Phase(s)**  
Quartz (33-1161)  
SiO<sub>2</sub>

**Minor Phase(s)**  
Muscovite - illite (26-0911)  
KAl<sub>2</sub>Si<sub>3</sub>AlO<sub>10</sub>(OH)<sub>2</sub>

**Trace Phase(s)**  
--

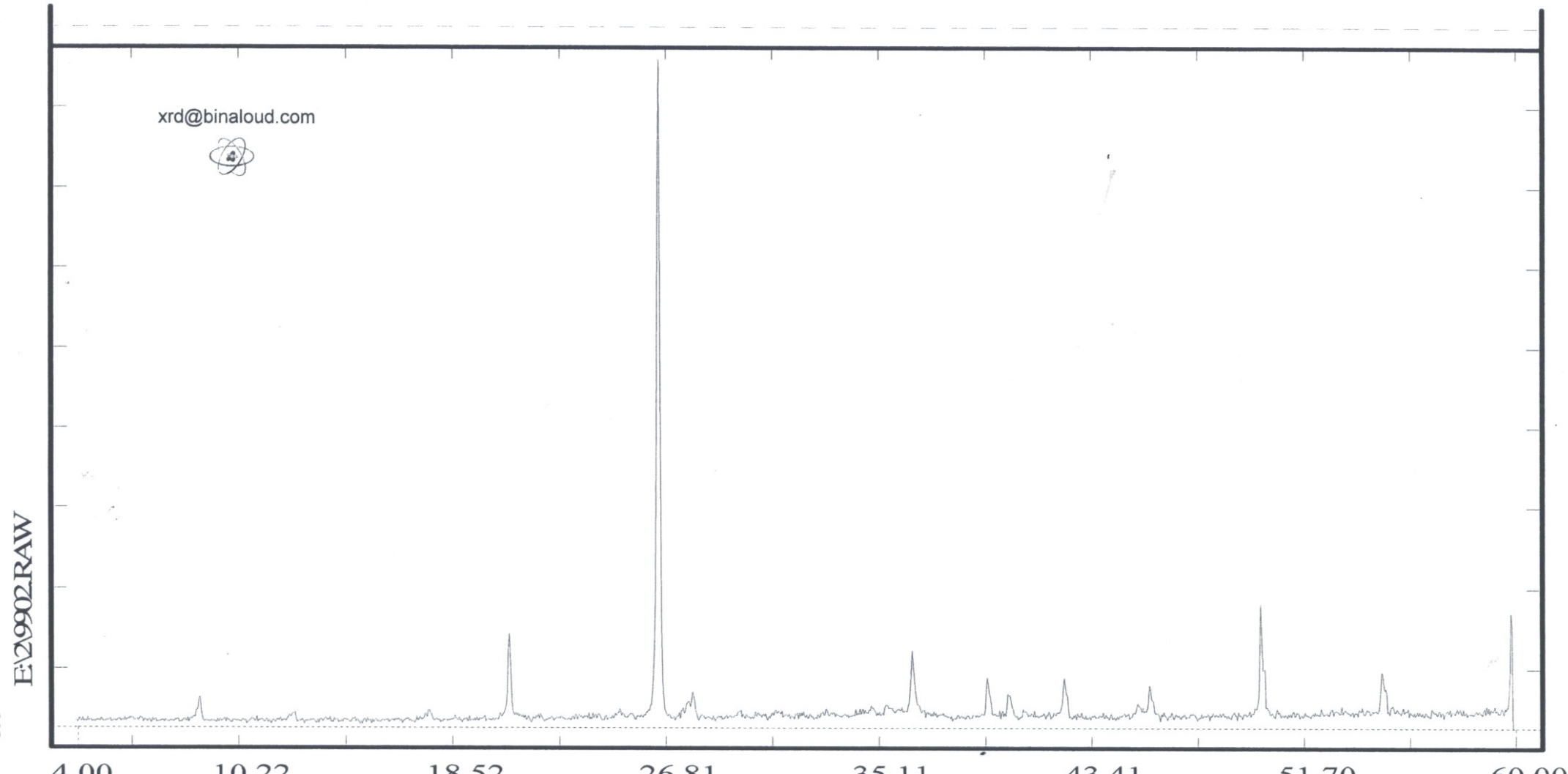
Date :  
03/02/2008

Goethite (29-0713)  
FeO(OH)

kV = 40  
mA = 30  
Ka. = Cu  
Fil. = Ni



52020



4.00      10.22      18.52      26.81      35.11      43.41      51.70      60.00

Sample:  
ASI-91

**Major Phase(s)**  
Quartz (33-1161)  
SiO<sub>2</sub>

**Minor Phase(s)**  
Malachite (41-1390)  
Cu<sub>2</sub>(CO<sub>3</sub>)(OH)<sub>2</sub>

**Trace Phase(s)**  
—

Date :  
03/02/2008

Albite (09-0466)  
NaAlSi<sub>3</sub>O<sub>8</sub>

kV = 40  
mA = 30  
Ka. = Cu  
Fil. = Ni

Muscovite - illite (26-0911)  
KAl<sub>2</sub>Si<sub>3</sub>AlO<sub>10</sub>(OH)<sub>2</sub>

Chlorite (29-0701)  
(Mg,Fe)<sub>6</sub>(Si,Al)<sub>4</sub>O<sub>10</sub>(OH)<sub>8</sub>

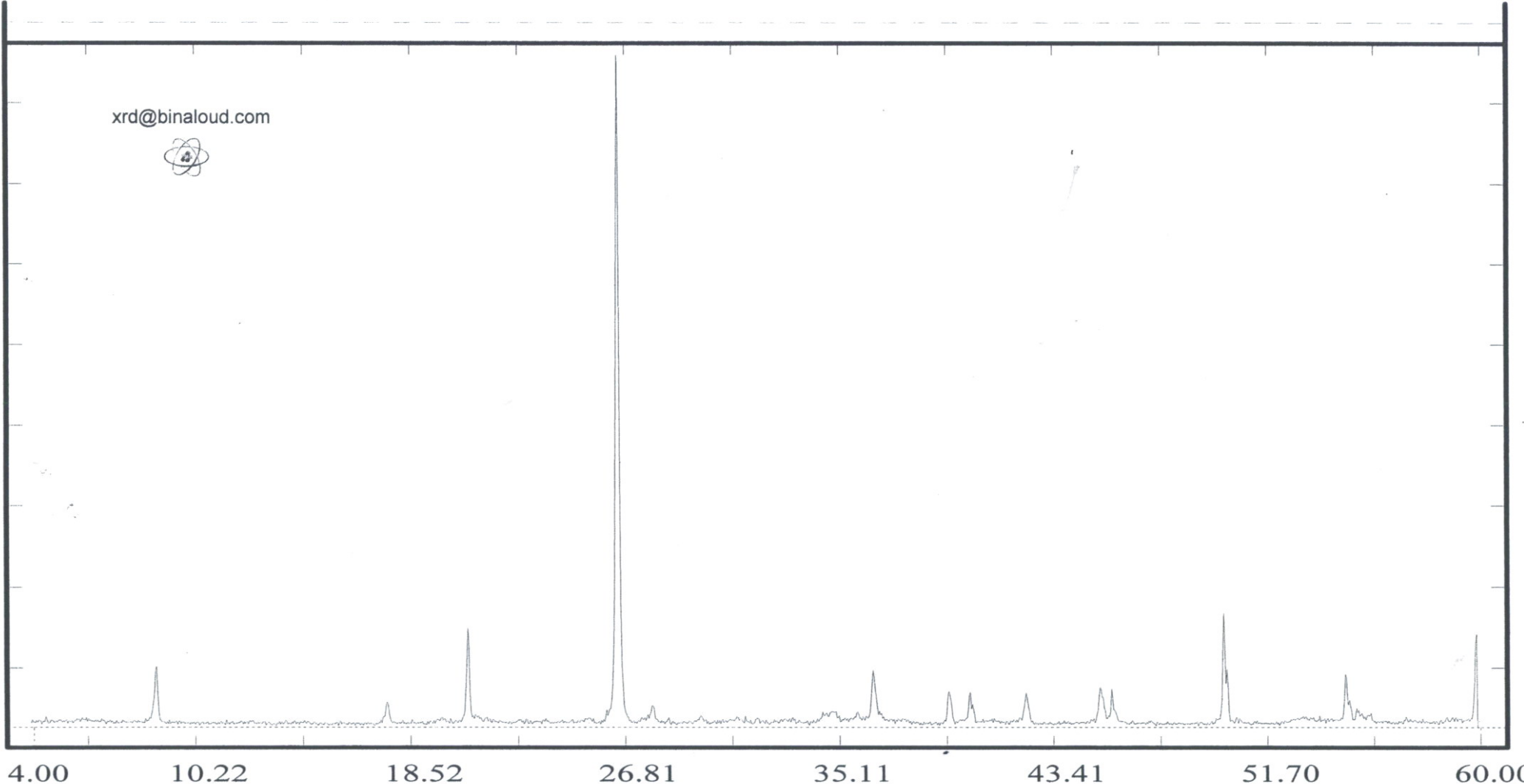


5703.1

CPS Lin

E\2\9903.RAW

0.0



4.00

10.22

18.52

26.81

35.11

43.41

51.70

60.00

Sample:
ASI-93

<b>Major Phase(s)</b>
Quartz (33-1161)
SiO <sub>2</sub>

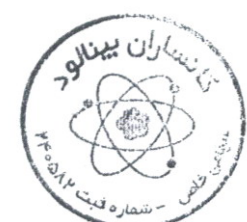
<b>Minor Phase(s)</b>
Goethite (29-0713)
FeO(OH)

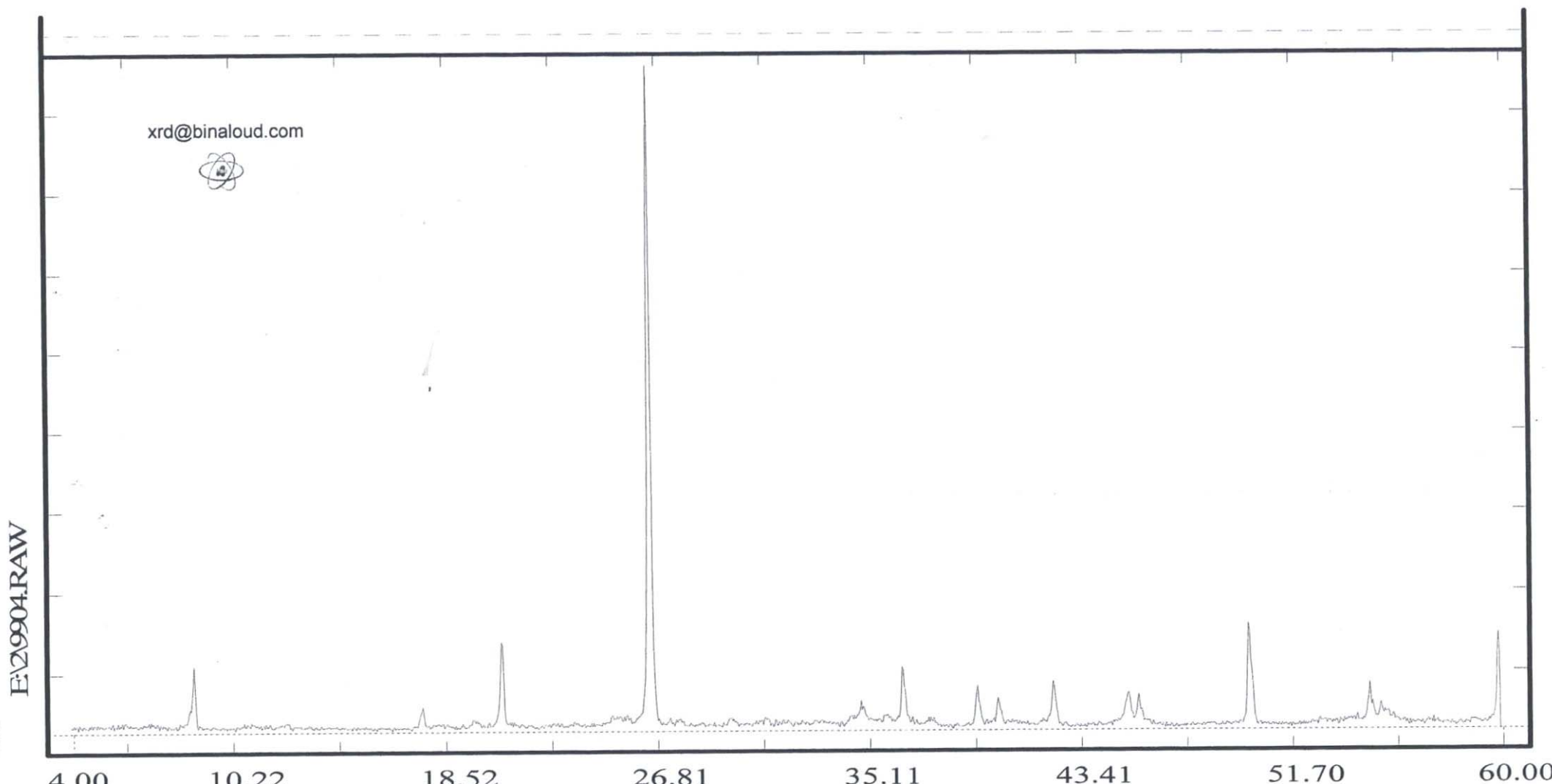
<b>Trace Phase(s)</b>
--

Date :
03/02/2008

Muscovite - illite (26-0911)
KAl <sub>2</sub> Si <sub>3</sub> AlO <sub>10</sub> (OH) <sub>2</sub>

kV = 40
mA = 30
Ka. = Cu
Fil. = Ni





Sample:  
ASI-98

**Major Phase(s)**  
Quartz (33-1161)  
SiO<sub>2</sub>

**Minor Phase(s)**  
Goethite (29-0713)  
FeO(OH)

**Trace Phase(s)**  
--

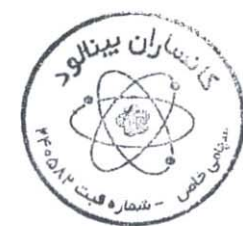
Date :  
03/02/2008

Muscovite - illite (26-0911)  
KAl<sub>2</sub>Si<sub>3</sub>AlO<sub>10</sub>(OH)<sub>2</sub>

Chlorite (29-0701)  
(Mg,Fe)<sub>6</sub>(Si,Al)<sub>4</sub>O<sub>10</sub>(OH)<sub>8</sub>

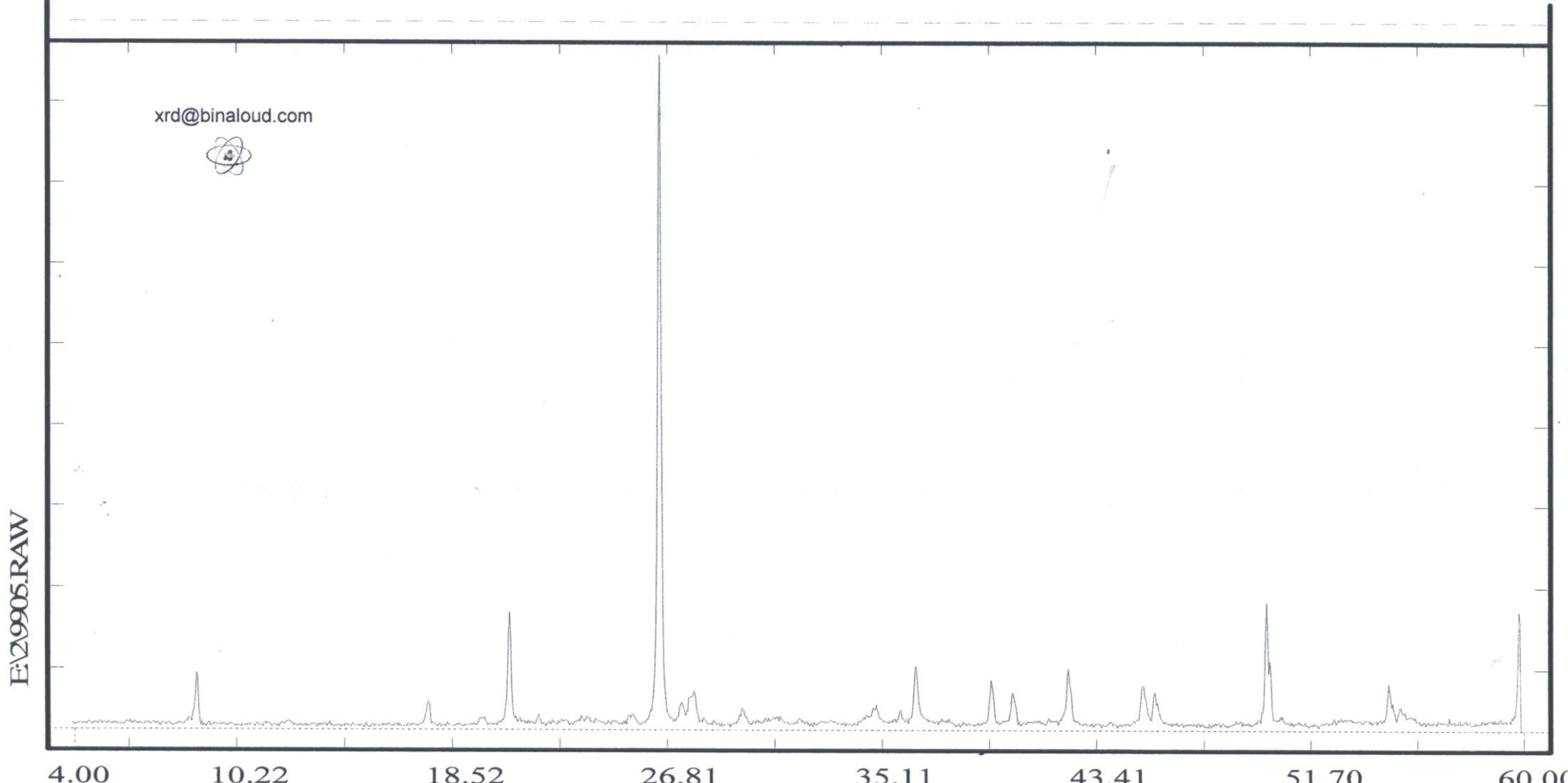
kV = 40  
mA = 30  
Ka. = Cu  
Fil. = Ni

Montmorillonite (13-0135)  
Ca<sub>0.2</sub>(Al,Mg)<sub>2</sub>Si<sub>4</sub>O<sub>10</sub>(OH)<sub>2</sub> ! xH<sub>2</sub>O



5408.0

CPS Lin



Sample:  
ASI-100

**Major Phase(s)**  
Quartz (33-1161)  
SiO<sub>2</sub>

**Minor Phase(s)**  
Goethite (29-0713)  
FeO(OH)

**Trace Phase(s)**  
—

Date :  
03/02/2008

Muscovite - illite (26-0911)  
KAl<sub>2</sub>Si<sub>3</sub>AlO<sub>10</sub>(OH)<sub>2</sub>

Chlorite (29-0701)  
(Mg,Fe)<sub>6</sub>(Si,Al)<sub>4</sub>O<sub>10</sub>(OH)<sub>8</sub>

kV = 40  
mA = 30  
Ka. = Cu  
Fil. = Ni

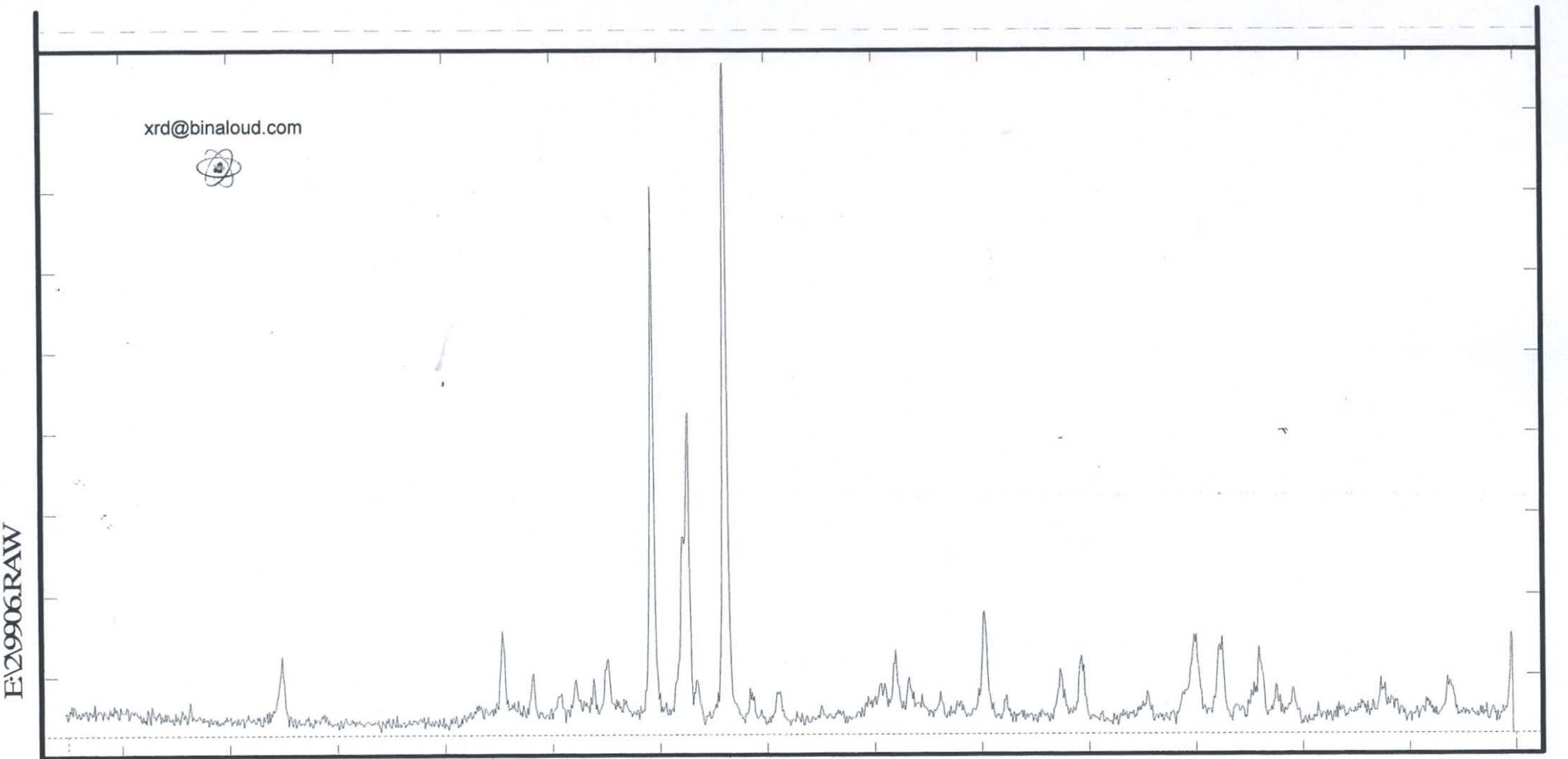
Albite (09-0466)  
NaAlSi<sub>3</sub>O<sub>8</sub>

Orthoclase (31-0966)  
KAISi<sub>3</sub>O<sub>8</sub>



1824.1

CPS Lin



4.00

10.22

18.52

26.81

35.11

43.41

51.70

60.00

Sample:
ZSD-4

<b>Major Phase(s)</b>
Quartz (33-1161)
SiO <sub>2</sub>

<b>Minor Phase(s)</b>
Montmorillonite (13-0135)
Ca <sub>0.2</sub> (Al,Mg) <sub>2</sub> Si <sub>4</sub> O <sub>10</sub> (OH) <sub>2</sub> ! xH <sub>2</sub> O

<b>Trace Phase(s)</b>
--

Date :
03/02/2008

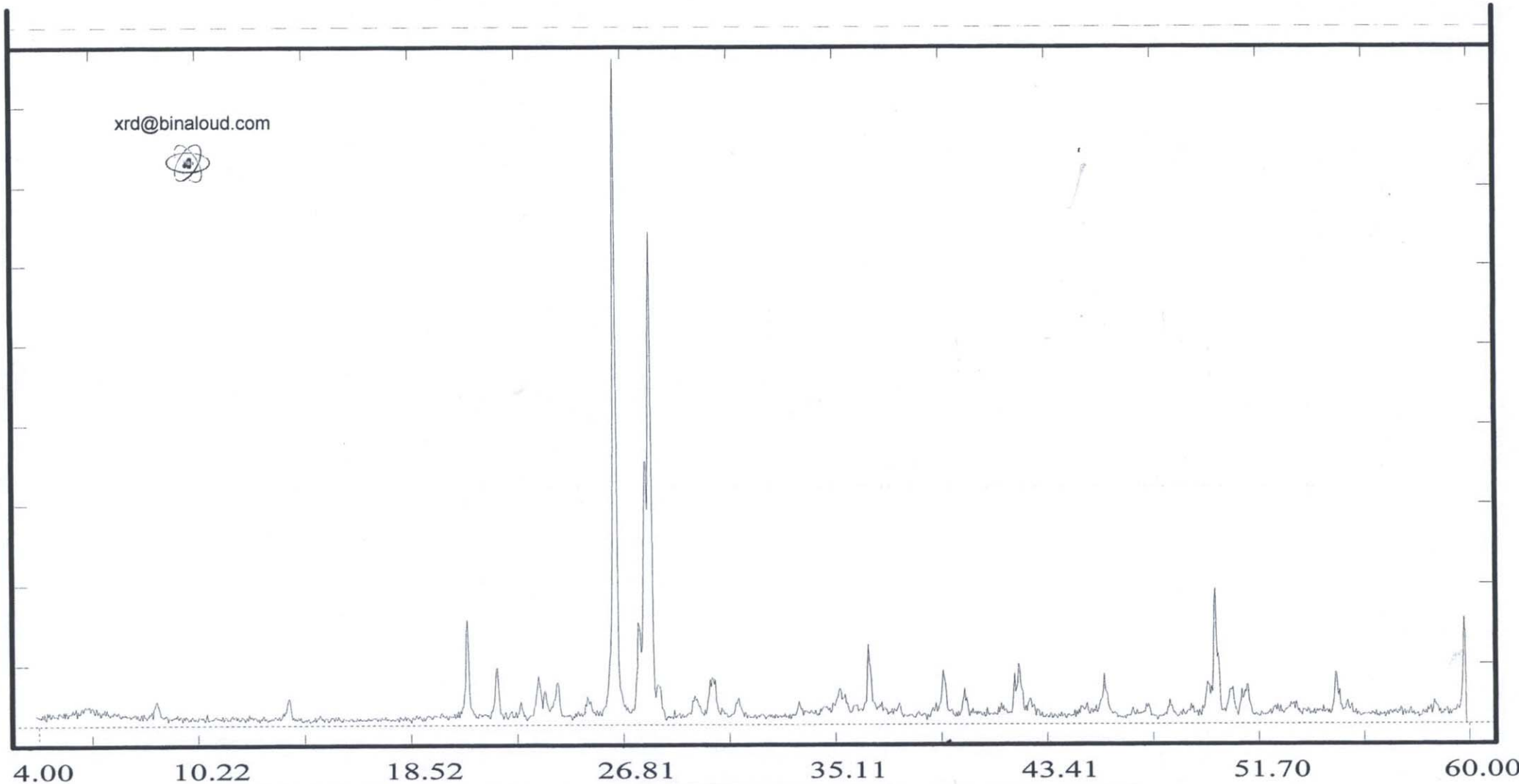
Calcite (05-0586)
CaCO <sub>3</sub>

kV = 40
mA = 30
Ka. = Cu
Fil. = Ni

Albite (09-0466)
NaAlSi <sub>3</sub> O <sub>8</sub>
Kaolinite (29-1488)
Al <sub>2</sub> Si <sub>2</sub> O <sub>5</sub> (OH)4



3561.7  
CPS Lin



Sample:  
ZSD-7

**Major Phase(s)**  
Quartz (33-1161)  
SiO<sub>2</sub>

**Minor Phase(s)**  
Muscovite - illite (26-0911)  
KAl<sub>2</sub>Si<sub>3</sub>AlO<sub>10</sub>(OH)2

**Trace Phase(s)**  
--

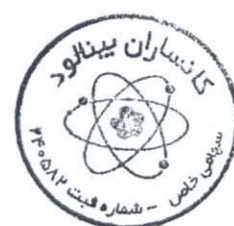
Date :  
03/02/2008

Albite (09-0466)  
NaAlSi<sub>3</sub>O<sub>8</sub>

Orthoclase (31-0966)  
KAISi<sub>3</sub>O<sub>8</sub>

Montmorillonite (13-0135)  
Ca<sub>0.2</sub>(Al,Mg)2Si<sub>4</sub>O<sub>10</sub>(OH)2 ! xH<sub>2</sub>O

KV = 40  
mA = 30  
Ka. = Cu  
Fil. = Ni



5161.3

xrd@binaloud.com



CPS Lin

E:\29908.RAW

0.0

4.00 10.22 18.52 26.81 35.11 43.41 51.70 60.00

Sample:  
ZSD-17

Major Phase(s)  
Quartz (33-1161)  
SiO<sub>2</sub>

Minor Phase(s)  
Pyrophyllite (25-0022)  
Al<sub>2</sub>Si<sub>4</sub>O<sub>10</sub>(OH)<sub>2</sub>

Trace Phase(s)

Date :  
03/02/2008

Albite (09-0466)  
NaAlSi<sub>3</sub>O<sub>8</sub>

Calcite (05-0586)  
CaCO<sub>3</sub>

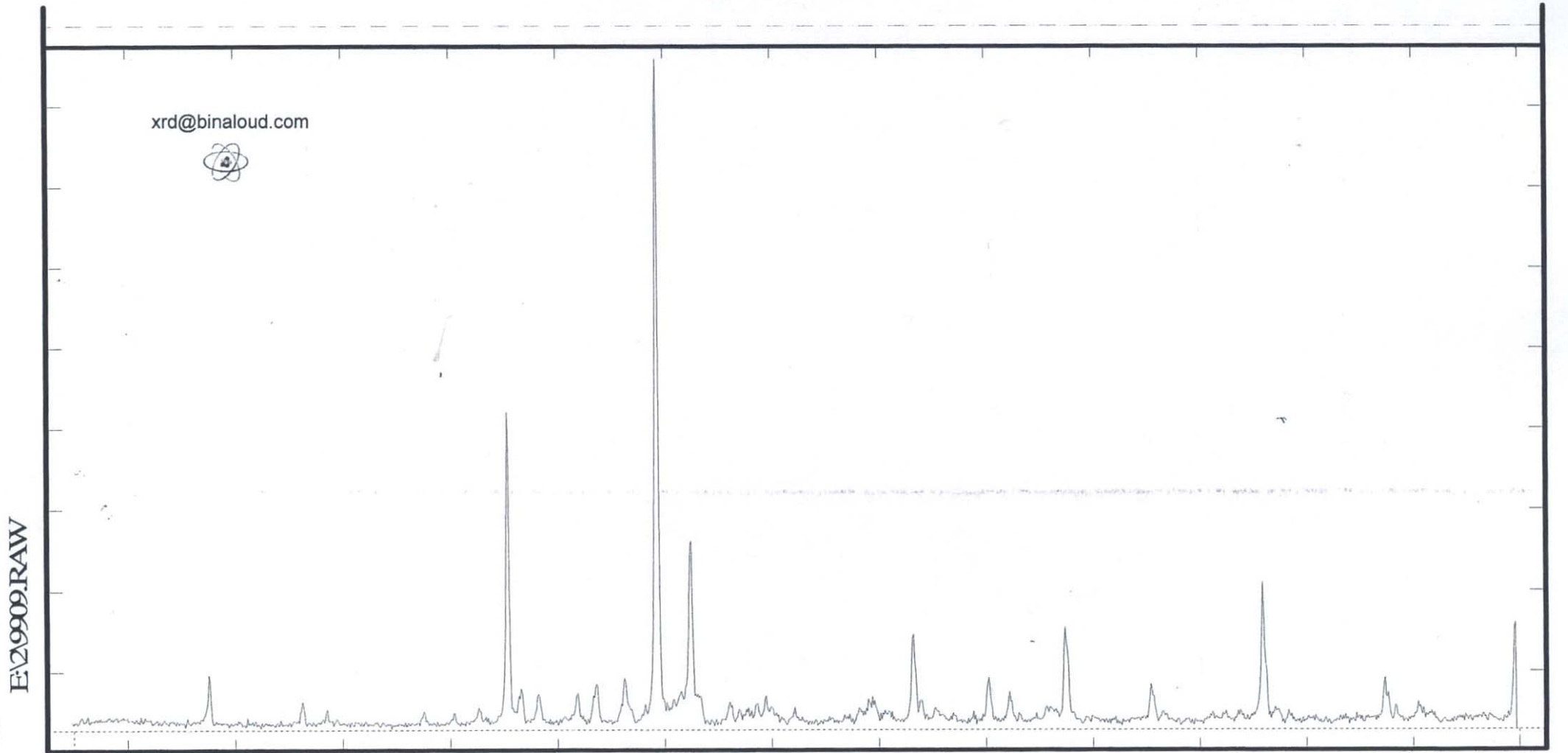
kV = 40  
mA = 30  
Ka. = Cu  
Fil. = Ni

Orthoclase (31-0966)  
KAlSi<sub>3</sub>O<sub>8</sub>



38194

CPS Lin



Sample:  
ZSD-32

Major Phase(s)  
Quartz (33-1161)  
SiO<sub>2</sub>

Minor Phase(s)  
Montmorillonite (13-0135)  
Ca<sub>0.2</sub>(Al,Mg)2Si4O10(OH)2 · xH<sub>2</sub>O

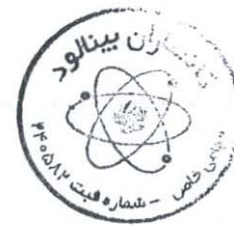
Trace Phase(s)

Date :  
03/02/2008

Laumontite (26-1047)  
CaAl<sub>2</sub>Si<sub>4</sub>O<sub>12.4</sub>H<sub>2</sub>O

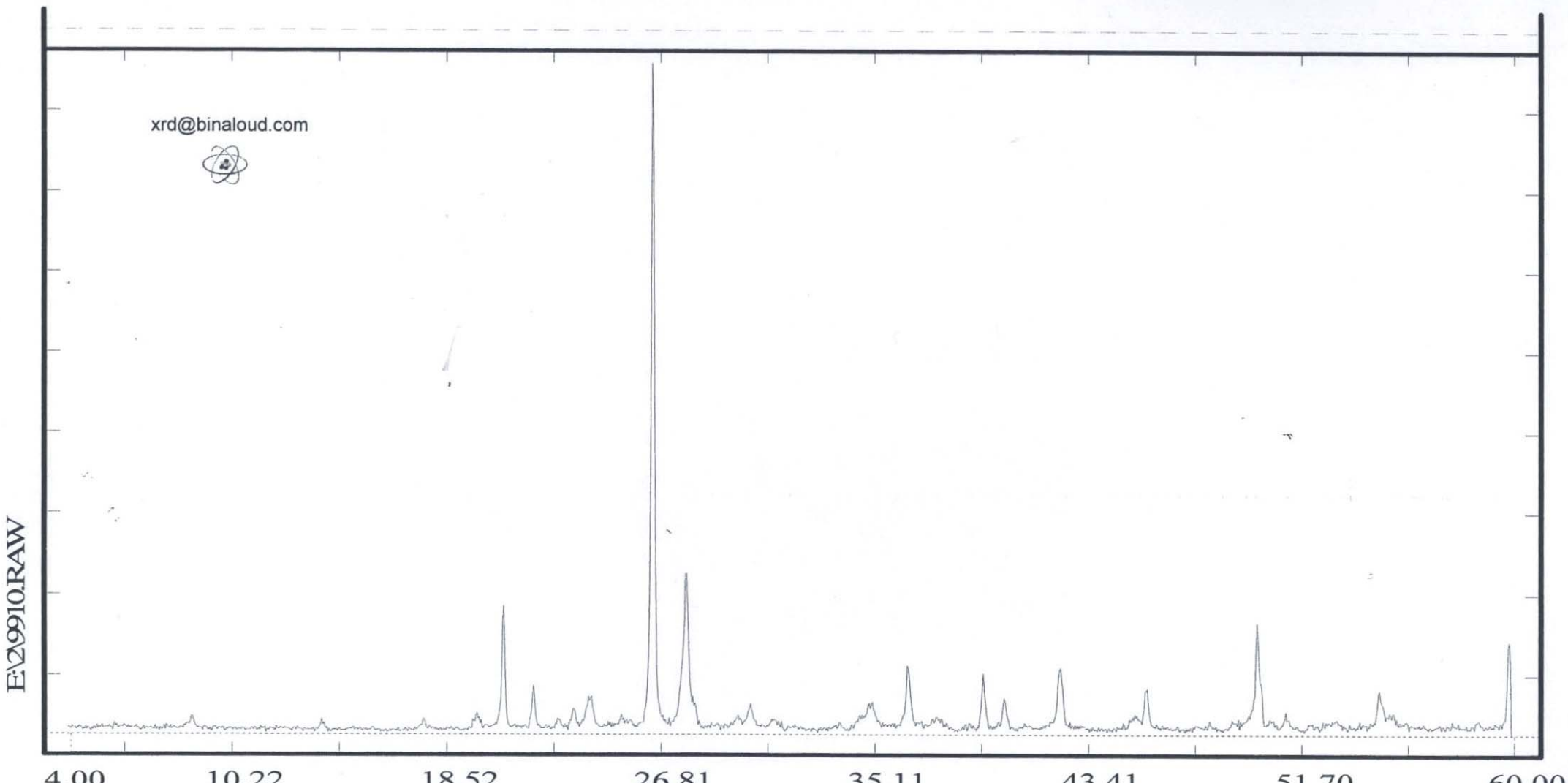
Albite (09-0466)  
NaAlSi<sub>3</sub>O<sub>8</sub>

kV = 40  
mA = 30  
Ka. = Cu  
Fil. = Ni



4723.9

CPS Lin



4.00      10.22      18.52      26.81      35.11      43.41      51.70      60.00

Sample:  
ZSD-35

**Major Phase(s)**  
Quartz (33-1161)  
SiO<sub>2</sub>

**Minor Phase(s)**  
Muscovite - illite (26-0911)  
KA<sub>2</sub>Si<sub>3</sub>AlO<sub>10</sub>(OH)<sub>2</sub>

**Trace Phase(s)**  
--

Date :  
03/02/2008

Albite (09-0466)  
NaAlSi<sub>3</sub>O<sub>8</sub>

kV = 40  
mA = 30  
Ka. = Cu  
Fil. = Ni

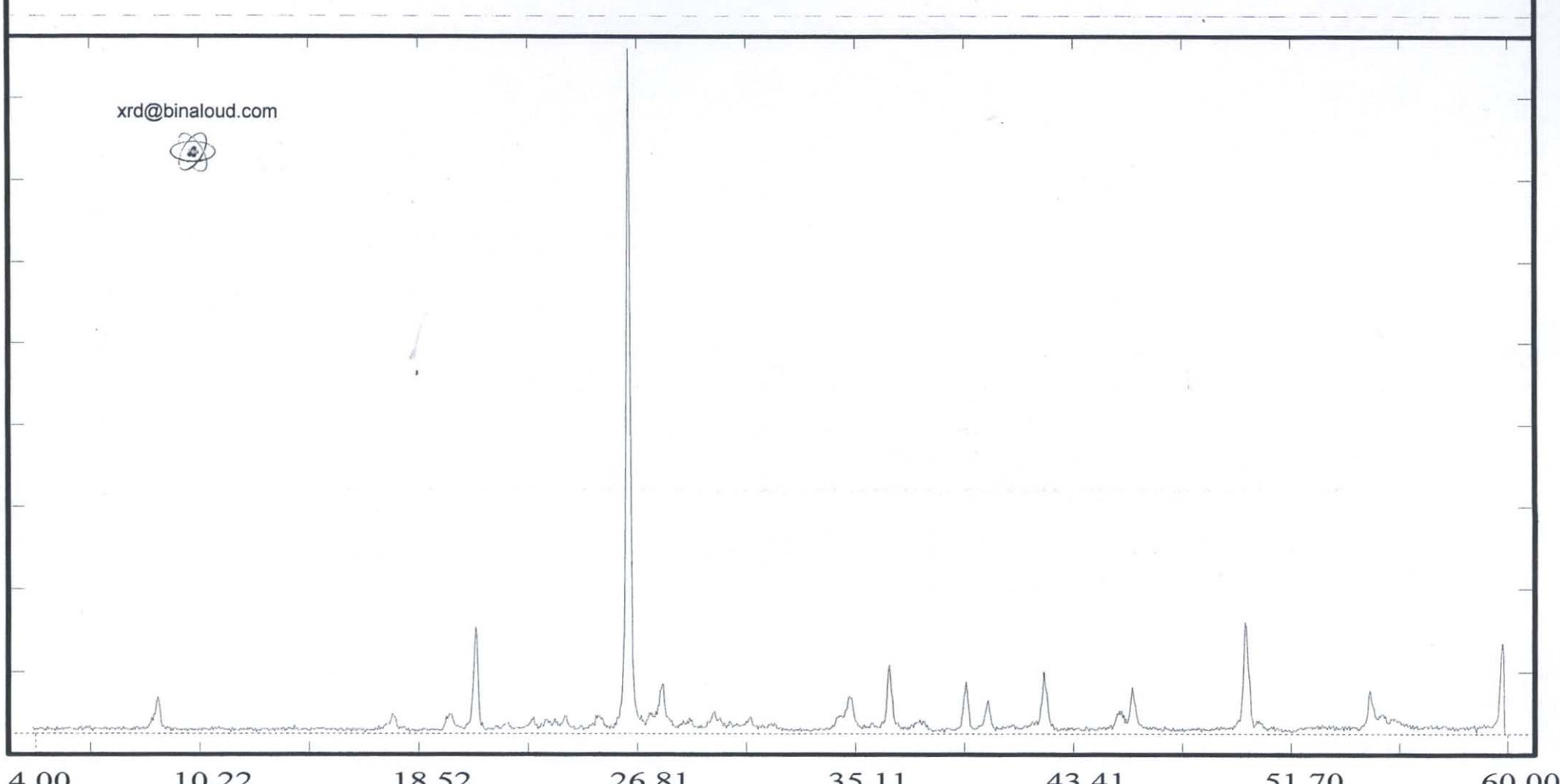


5832.0

CPS Lin

E:\2\9911.RAW

0.0



Sample:  
ZSD-41

**Major Phase(s)**  
Quartz (33-1161)  
SiO<sub>2</sub>

**Minor Phase(s)**  
Albite (09-0466)  
NaAlSi<sub>3</sub>O<sub>8</sub>

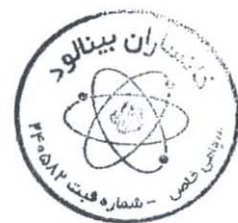
**Trace Phase(s)**  
--

Date :  
03/02/2008

Muscovite - illite (26-0911)  
KAl<sub>2</sub>Si<sub>3</sub>AlO<sub>10</sub>(OH)<sub>2</sub>

Orthoclase (31-0966)  
KAISi<sub>3</sub>O<sub>8</sub>

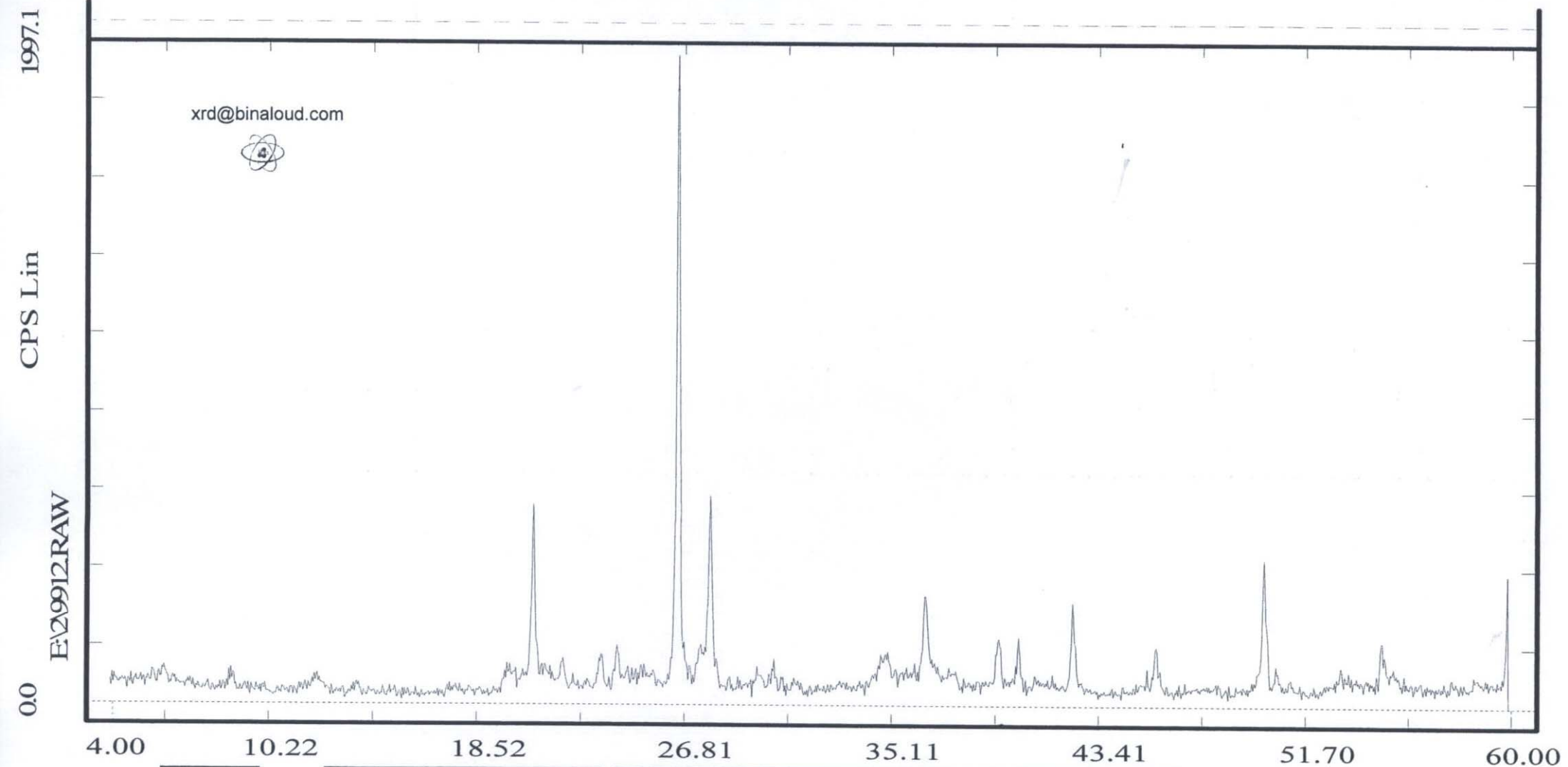
kV = 40  
mA = 30  
Ka. = Cu  
Fil. = Ni



CPS Lin

E\29912RAW

0.0



Sample:  
ZSD-42

Major Phase(s)  
Quartz (33-1161)  
SiO<sub>2</sub>

Minor Phase(s)  
Muscovite - illite (26-0911)  
KAl<sub>2</sub>Si<sub>3</sub>AlO<sub>10</sub>(OH)<sub>2</sub>

Trace Phase(s)  
--

Date :  
03/02/2008

Montmorillonite (13-0135)  
Ca<sub>0.2</sub>(Al,Mg)₂Si₄O₁₀(OH)₂ · xH₂O

Chlorite (29-0701)  
(Mg,Fe)₆(Si,Al)₄O₁₀(OH)₈

kV = 40  
mA = 30  
Ka. = Cu  
Fil. = Ni

Albite (09-0466)  
NaAlSi<sub>3</sub>O<sub>8</sub>

Orthoclase (31-0966)  
KAISi<sub>3</sub>O<sub>8</sub>

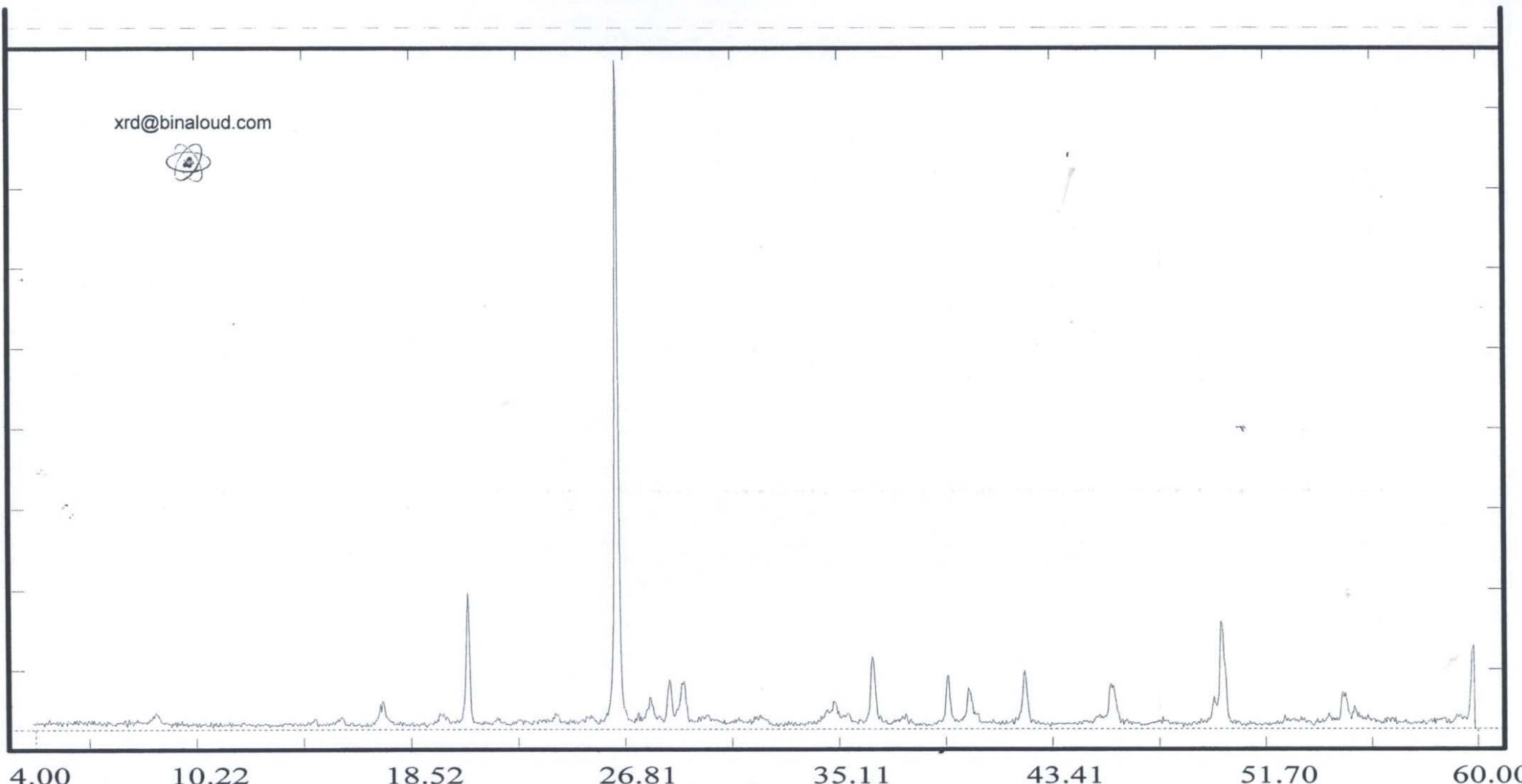


4380.5

CPS Lin

E29913.RAW

0.0



4.00      10.22      18.52      26.81      35.11      43.41      51.70      60.00

Sample:  
ZSD-47

**Major Phase(s)**  
Quartz (33-1161)  
SiO<sub>2</sub>

**Minor Phase(s)**  
Natrojarosite (36-0425)  
NaFe<sub>3</sub>(SO<sub>4</sub>)<sub>2</sub>(OH)<sub>6</sub>

**Trace Phase(s)**  
--

Date :  
03/02/2008

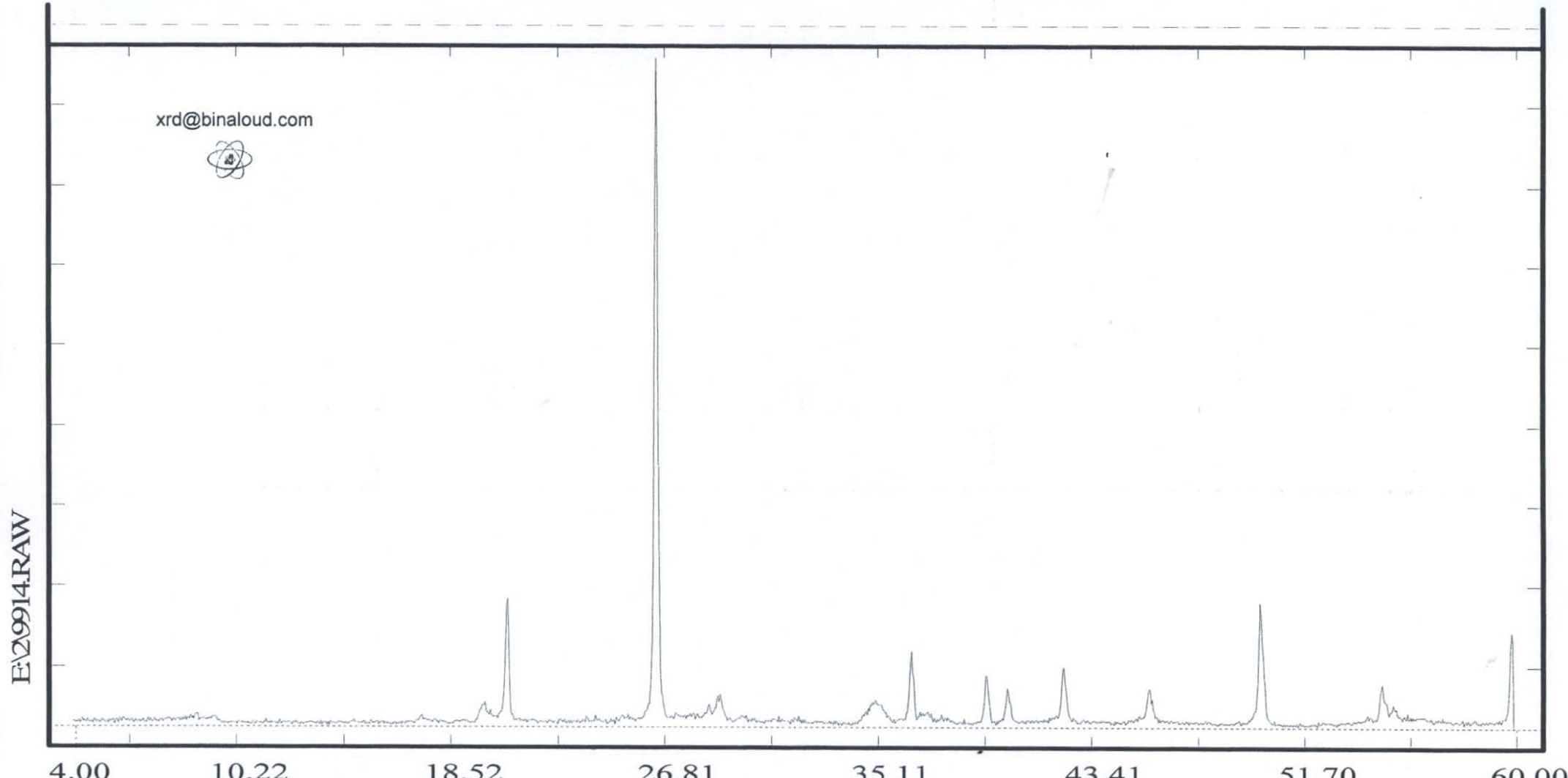
Muscovite - illite (26-0911)  
KAl<sub>2</sub>Si<sub>3</sub>AlO<sub>10</sub>(OH)<sub>2</sub>

kV = 40  
mA = 30  
Ka. = Cu  
Fil. = Ni



5853.6

CPS Lin



Sample:  
ZSD-50

Major Phase(s)  
Quartz (33-1161)  
SiO<sub>2</sub>

Minor Phase(s)  
Natrojarosite (36-0425)  
NaFe<sub>3</sub>(SO<sub>4</sub>)<sub>2</sub>(OH)<sub>6</sub>

Trace Phase(s)  
--

Date :  
03/02/2008

Muscovite - illite (26-0911)  
KAl<sub>2</sub>Si<sub>3</sub>AlO<sub>10</sub>(OH)<sub>2</sub>

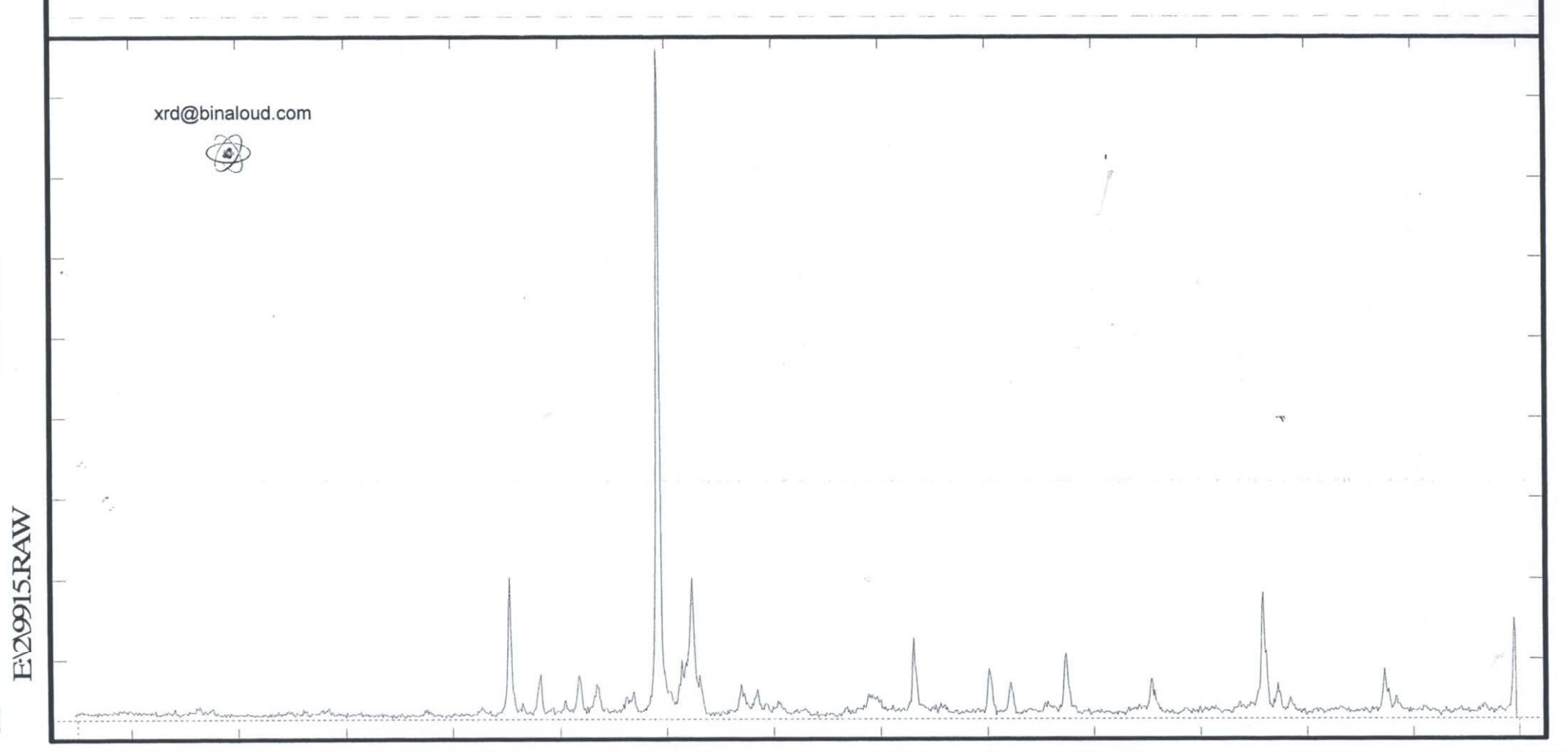
kV = 40  
mA = 30  
Ka. = Cu  
Fil. = Ni

Pyrophyllite (25-0022)  
Al<sub>2</sub>Si<sub>4</sub>O<sub>10</sub>(OH)<sub>2</sub>



4646.5

CPS Lin



4.00 10.22 18.52 26.81 35.11 43.41 51.70 60.00

Sample:
ZSD-63

Major Phase(s)
Quartz (33-1161)
SiO <sub>2</sub>

Minor Phase(s)
Muscovite - illite (26-0911)
KAl <sub>2</sub> Si <sub>3</sub> AlO <sub>10</sub> (OH) <sub>2</sub>

Trace Phase(s)
--

Date :
03/02/2008

Albite (09-0466)
NaAlSi <sub>3</sub> O <sub>8</sub>

Laumontite (26-1047)
CaAl <sub>2</sub> Si <sub>4</sub> O <sub>12.4</sub> H <sub>2</sub> O

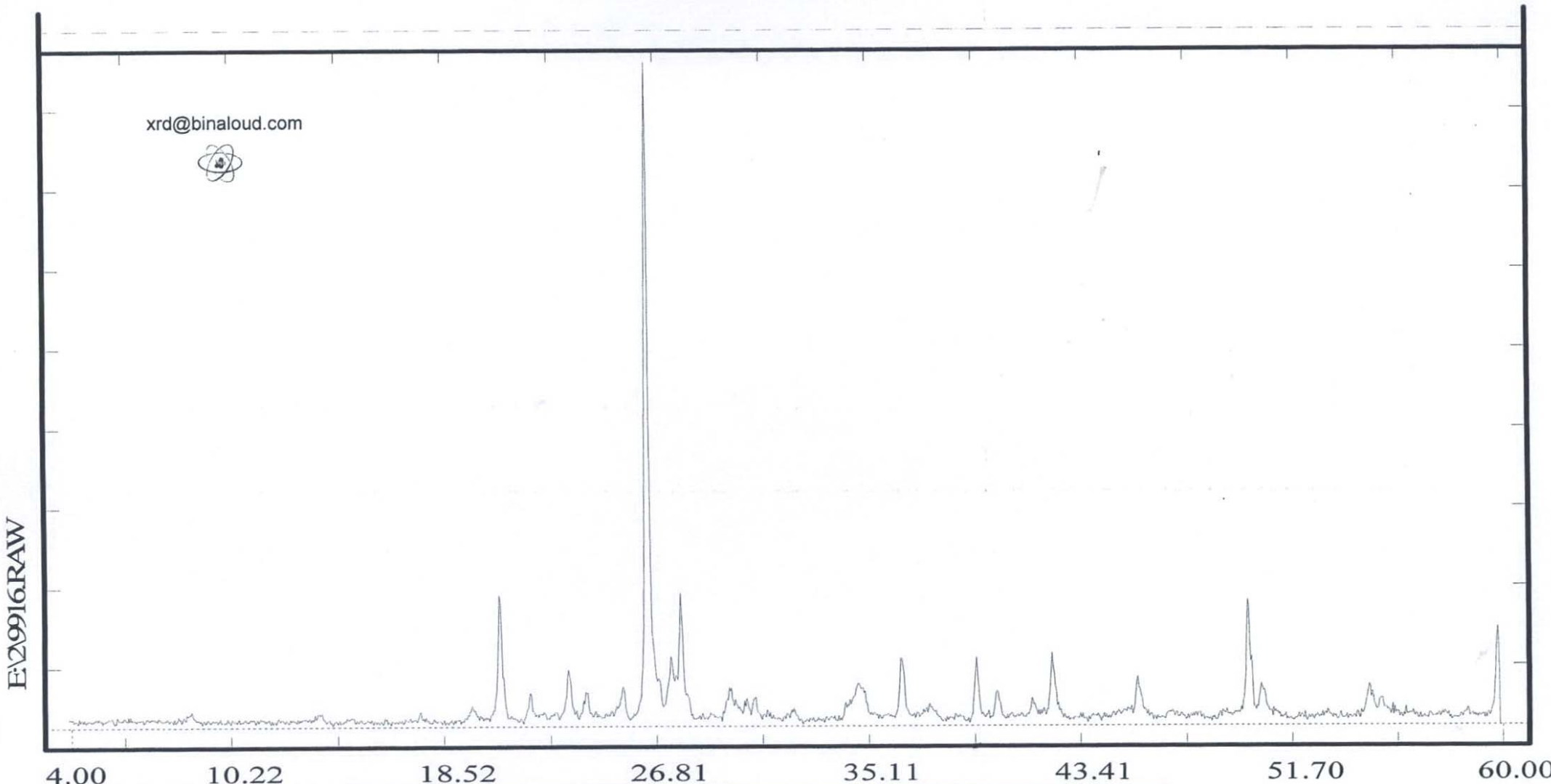
kV = 40
mA = 30
Ka. = Cu
Fil. = Ni

Orthoclase (31-0966)
KAlSi <sub>3</sub> O <sub>8</sub>



3854.4

CPS Lin



Sample:  
ZSD-66

Major Phase(s)  
Quartz (33-1161)  
SiO<sub>2</sub>

Minor Phase(s)  
Calcite (05-0586)  
CaCO<sub>3</sub>

Trace Phase(s)  
--

Date :  
03/02/2008

Albite (09-0466)  
NaAlSi<sub>3</sub>O<sub>8</sub>

Laumontite (26-1047)  
CaAl<sub>2</sub>Si<sub>4</sub>O<sub>12</sub>.4H<sub>2</sub>O

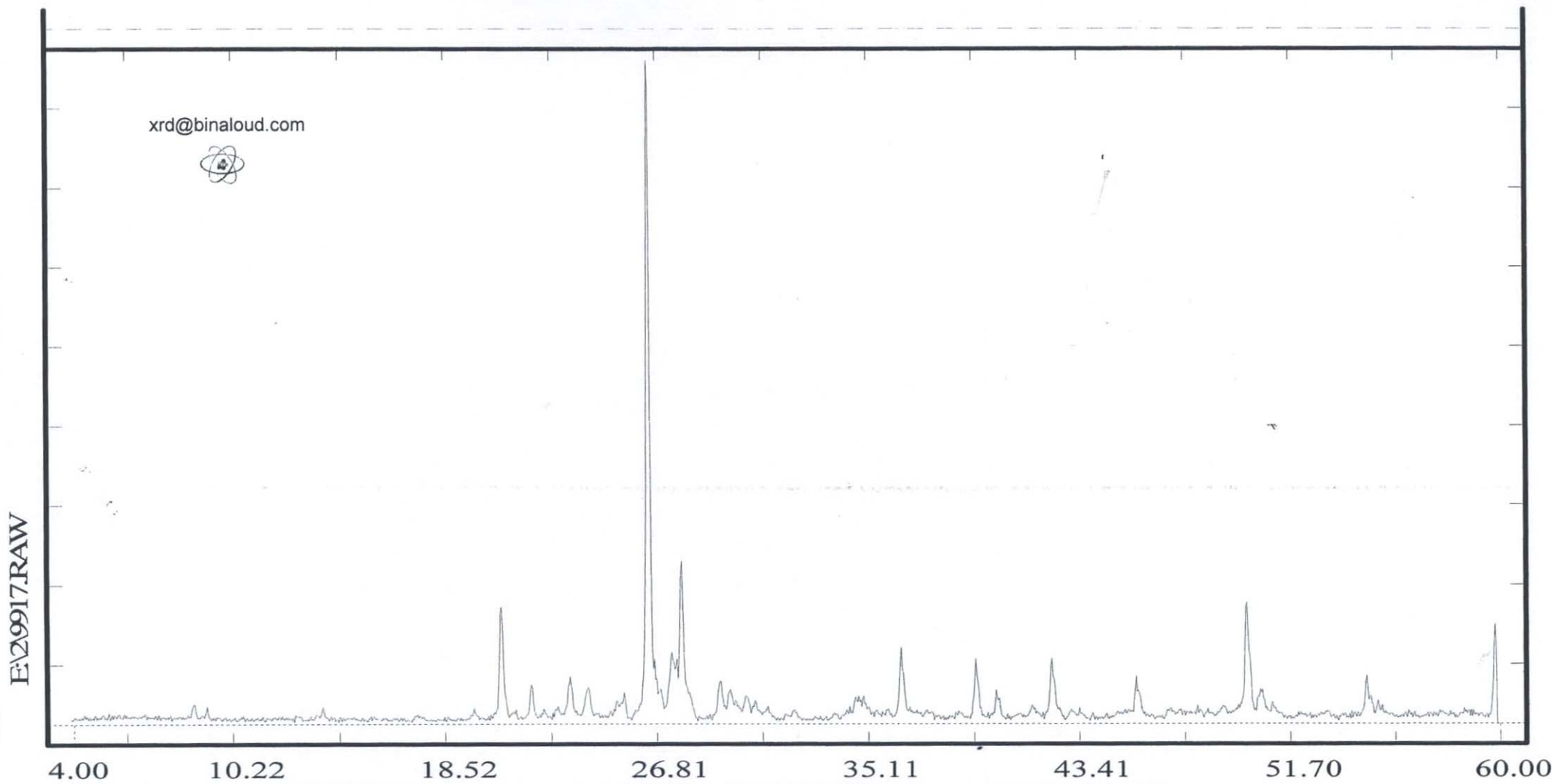
kV = 40  
mA = 30  
Ka. = Cu  
Fil. = Ni

Orthoclase (31-0966)  
KAISi<sub>3</sub>O<sub>8</sub>



4399.2

CPS Lin



Sample:  
ZSD-69

**Major Phase(s)**  
Quartz (33-1161)  
SiO<sub>2</sub>

**Minor Phase(s)**  
Calcite (05-0586)  
CaCO<sub>3</sub>

**Trace Phase(s)**  
--

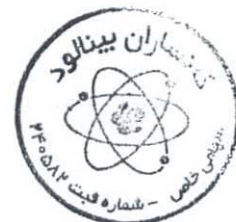
Date :  
03/02/2008

Albite (09-0466)  
NaAlSi<sub>3</sub>O<sub>8</sub>

Laumontite (26-1047)  
CaAl<sub>2</sub>Si<sub>4</sub>O<sub>12</sub>.4H<sub>2</sub>O

kV = 40  
mA = 30  
Ka. = Cu  
Fil. = Ni

Orthoclase (31-0966)  
KAlSi<sub>3</sub>O<sub>8</sub>



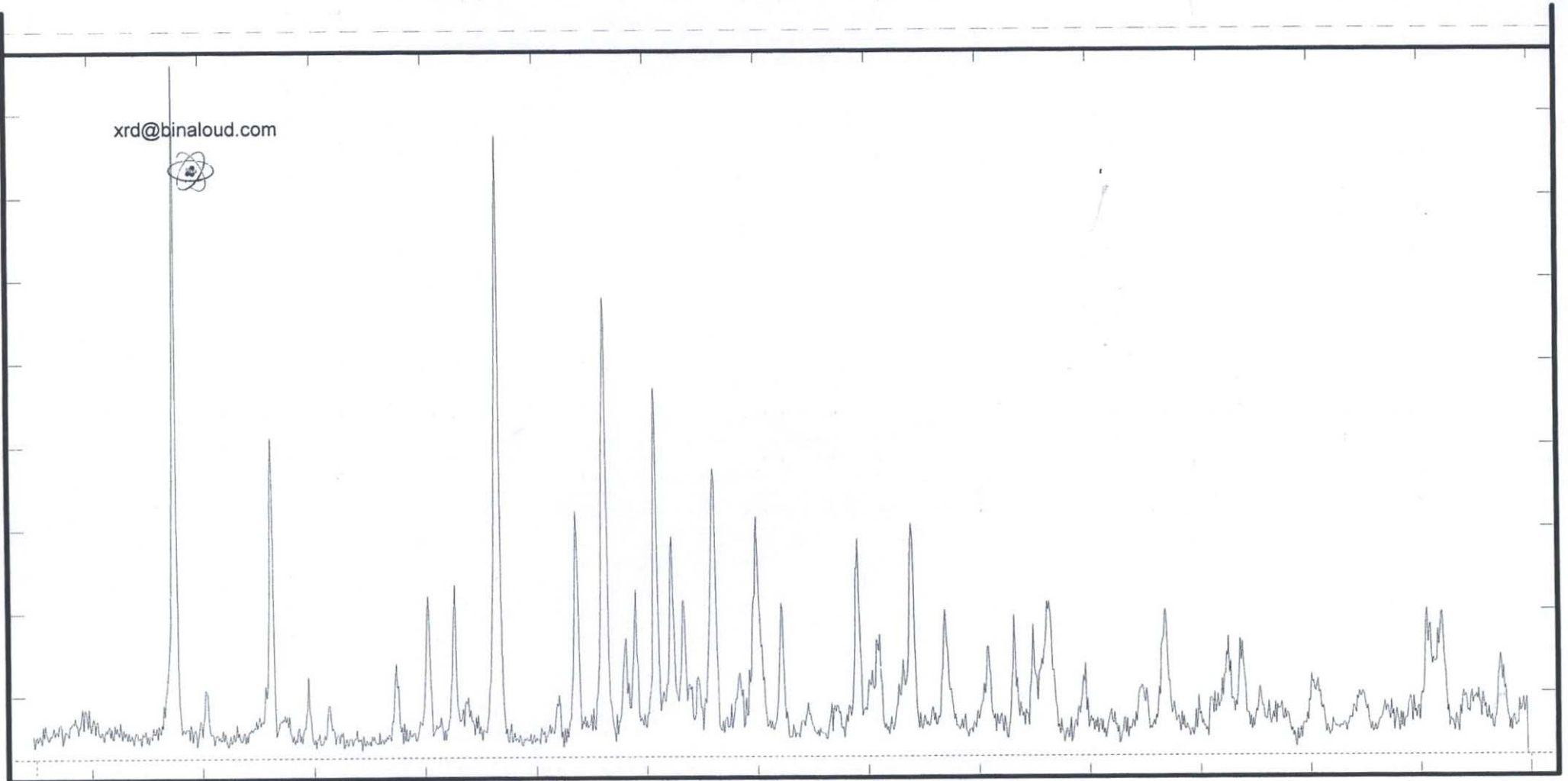
1230.1

CPS Lin

E\29918RAW

0.0

xrd@binaloud.com



4.00

10.22

18.52

26.81

35.11

43.41

51.70

60.00

Sample:
ZSD-78

Major Phase(s)
Laumontite (26-1047)
CaAl <sub>2</sub> Si <sub>4</sub> O <sub>12.4</sub> H <sub>2</sub> O

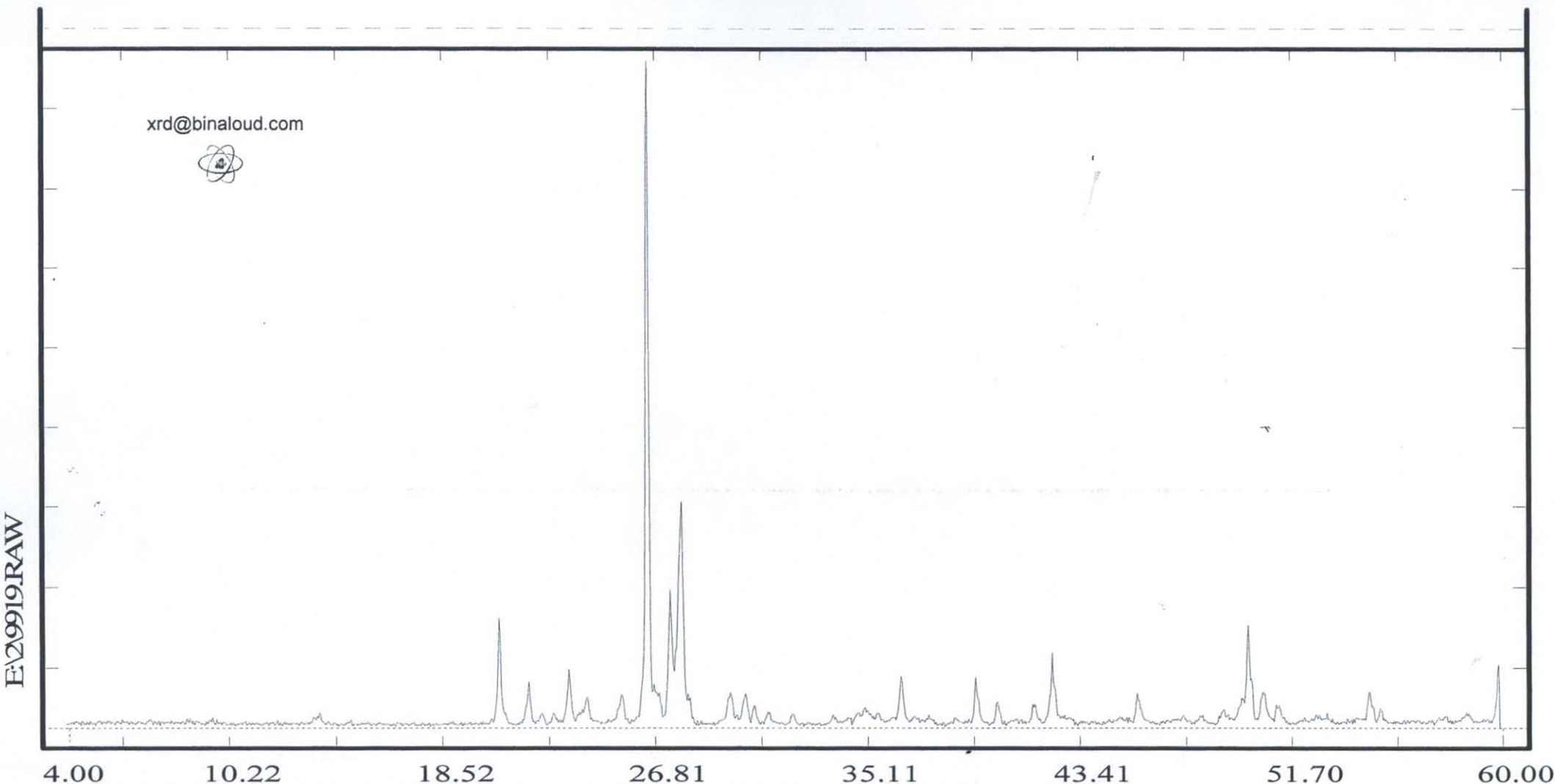
Minor Phase(s)
--

Trace Phase(s)
--

Date :
03/02/2008

kV = 40
mA = 30
Ka. = Cu
Fil. = Ni





Sample:  
ZSD-90

**Major Phase(s)**  
Quartz (33-1161)  
SiO<sub>2</sub>

**Minor Phase(s)**  
--

**Trace Phase(s)**  
Muscovite - illite (26-0911)  
KA<sub>1</sub>2Si<sub>3</sub>AlO<sub>10</sub>(OH)<sub>2</sub>

Date :  
03/02/2008

Albite (09-0466)  
NaAlSi<sub>3</sub>O<sub>8</sub>

Pyrophyllite (25-0022)  
Al<sub>2</sub>Si<sub>4</sub>O<sub>10</sub>(OH)<sub>2</sub>

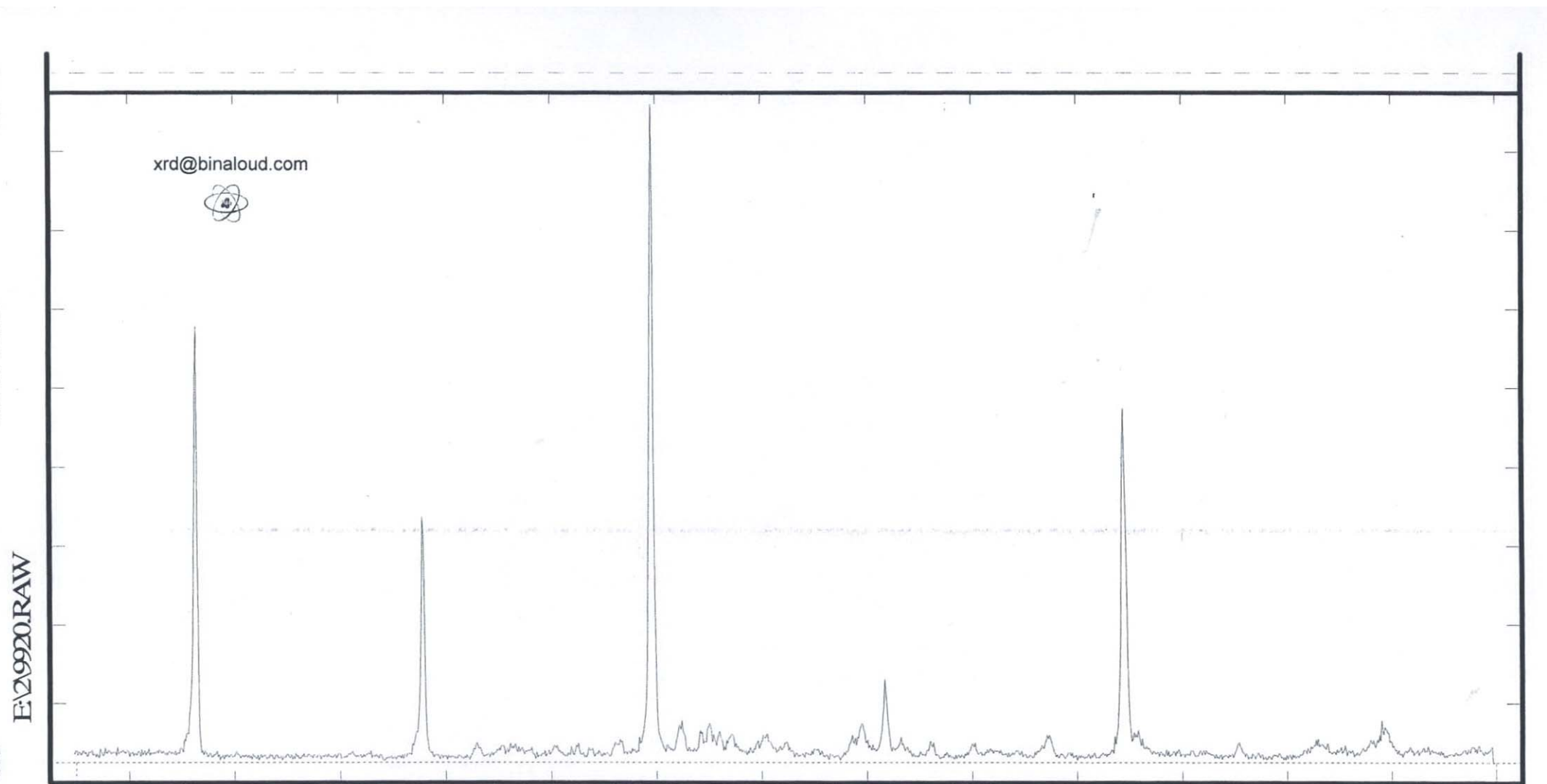
kV = 40  
mA = 30  
Ka. = Cu  
Fil. = Ni

Orthoclase (31-0966)  
KA<sub>1</sub>Si<sub>3</sub>O<sub>8</sub>



3612.5

CPS Lin



Sample:
ZSD-94

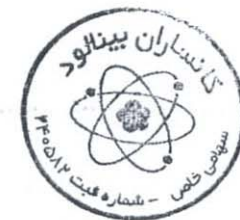
Major Phase(s)
Muscovite (26-0911)
KAl <sub>2</sub> Si <sub>3</sub> AlO <sub>10</sub> (OH) <sub>2</sub>

Minor Phase(s)
Jarosite (36-0427)
KFe <sub>3</sub> (SO <sub>4</sub> ) <sub>2</sub> (OH) <sub>6</sub>

Trace Phase(s)
Calcite (05-0586)
CaCO <sub>3</sub>

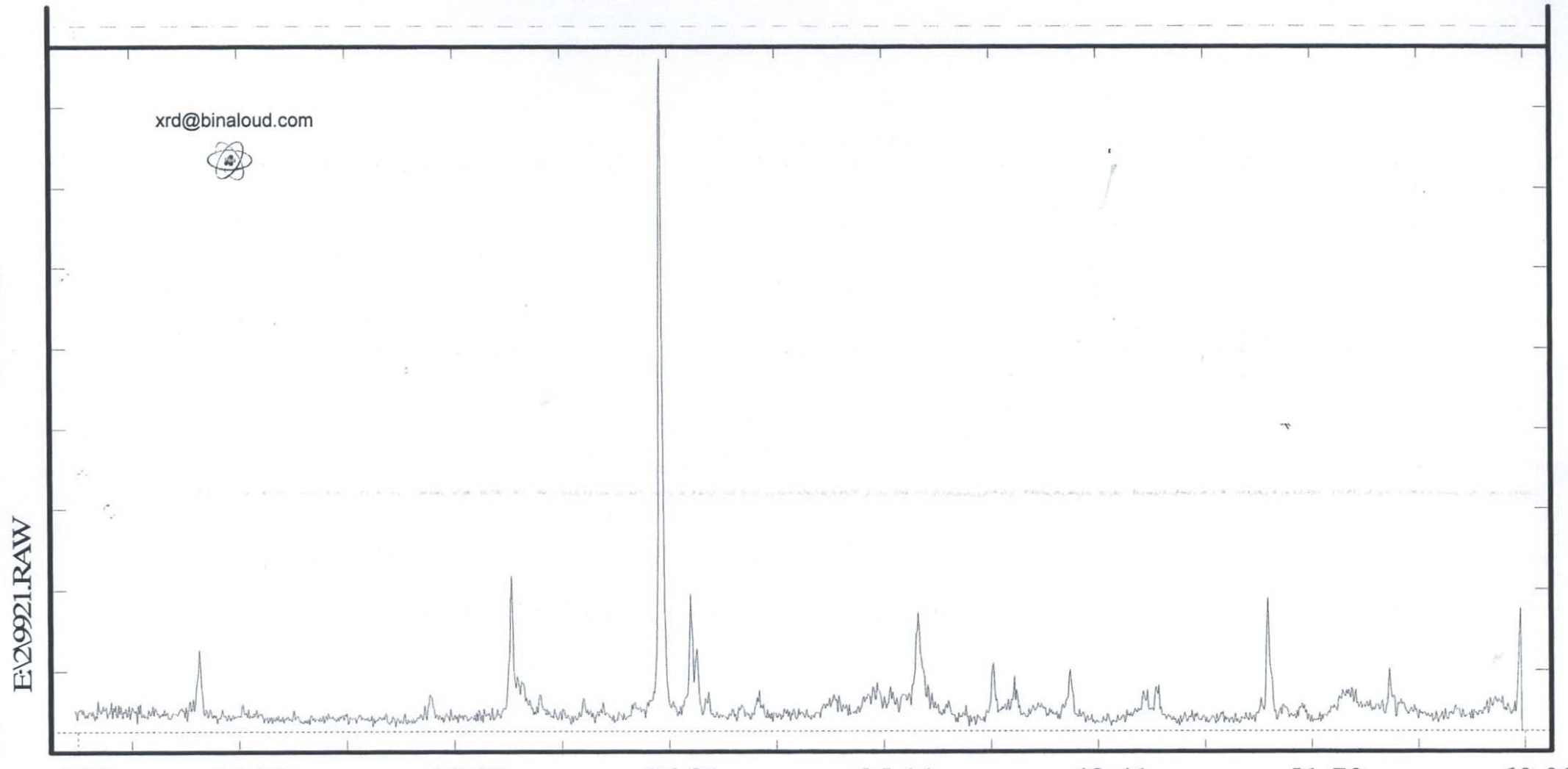
Date :
03/02/2008

kV = 40
mA = 30
Ka. = Cu
Fil. = Ni



1946.9

CPS Lin



4.00 10.22 18.52 26.81 35.11 43.41 51.70 60.00

Sample:  
ZSD-97

**Major Phase(s)**  
Quartz (33-1161)  
SiO<sub>2</sub>

**Minor Phase(s)**  
--

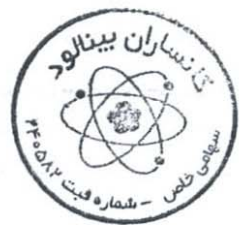
**Trace Phase(s)**  
--

Date :  
03/02/2008

Albite (09-0466)  
NaAlSi<sub>3</sub>O<sub>8</sub>

kV = 40  
mA = 30  
Ka. = Cu  
Fil. = Ni

Goethite (29-0713)  
FeO(OH)



7200.0

CPS Lin

E\5870.RAW

0.0

xrd@binaloud.com

4.00

10.22

18.52

26.81

35.11

43.41

51.70

60.00

Sample:  
ZSD-103

Major Phase(s)  
Quartz (33-1161)  
SiO<sub>2</sub>

Minor Phase(s)  
Albite (09-0466)  
NaAlSi<sub>3</sub>O<sub>8</sub>

Trace Phase(s)

Date :  
14/05/2008

kV = 40  
mA = 30  
Ka. = Cu  
Fil. = Ni

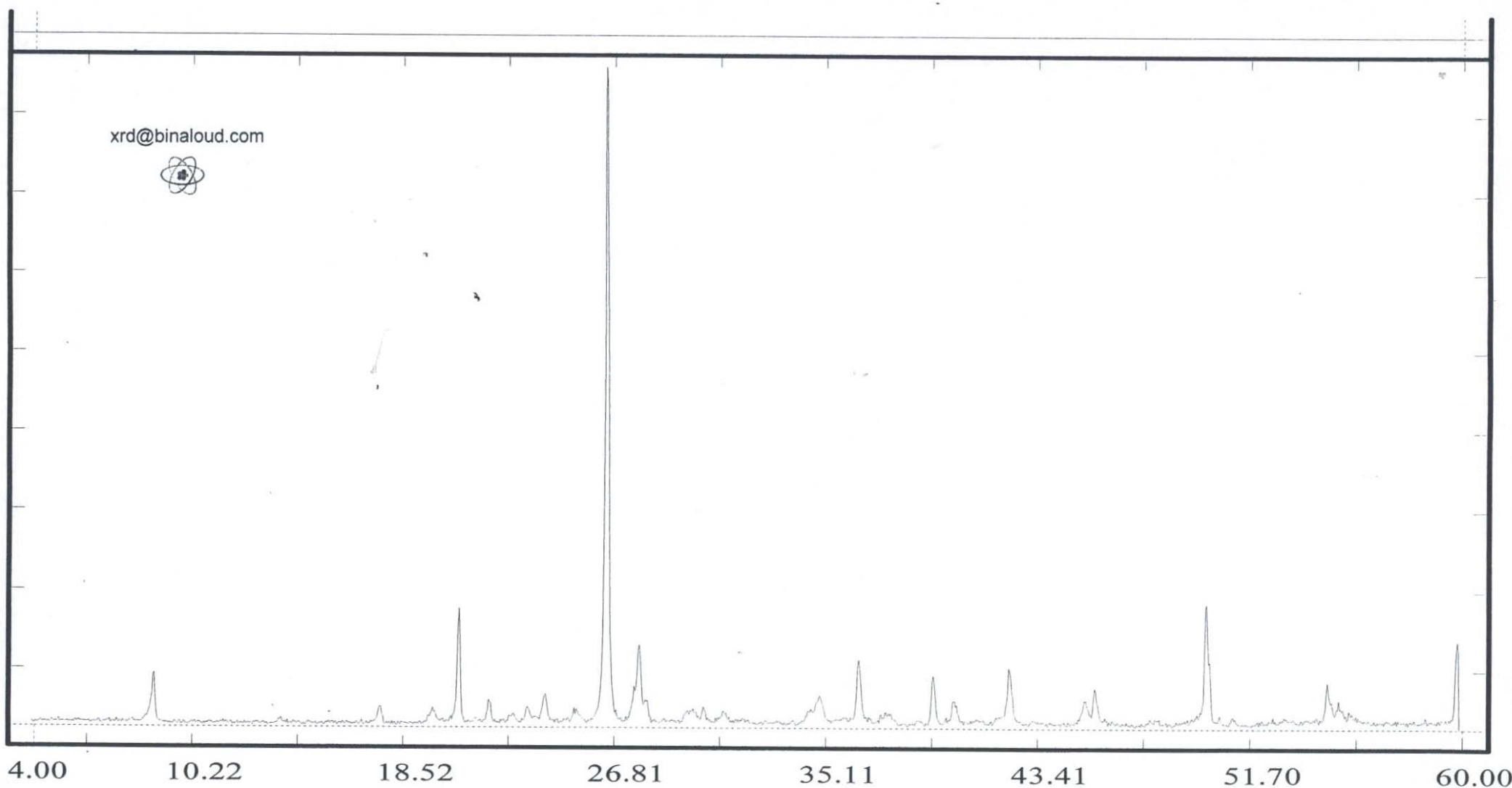


5533.5

CPS Lin

E:\1\871.RAW

0.0



4.00      10.22      18.52      26.81      35.11      43.41      51.70      60.00

Sample:  
ZSD-120

Major Phase(s)  
Quartz (33-1161)  
SiO<sub>2</sub>

Minor Phase(s)

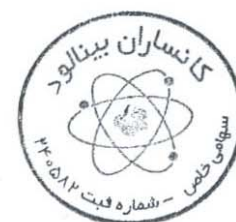
Trace Phase(s)

Date :  
22/05/2008

Albite (09-0466)  
NaAlSi<sub>3</sub>O<sub>8</sub>

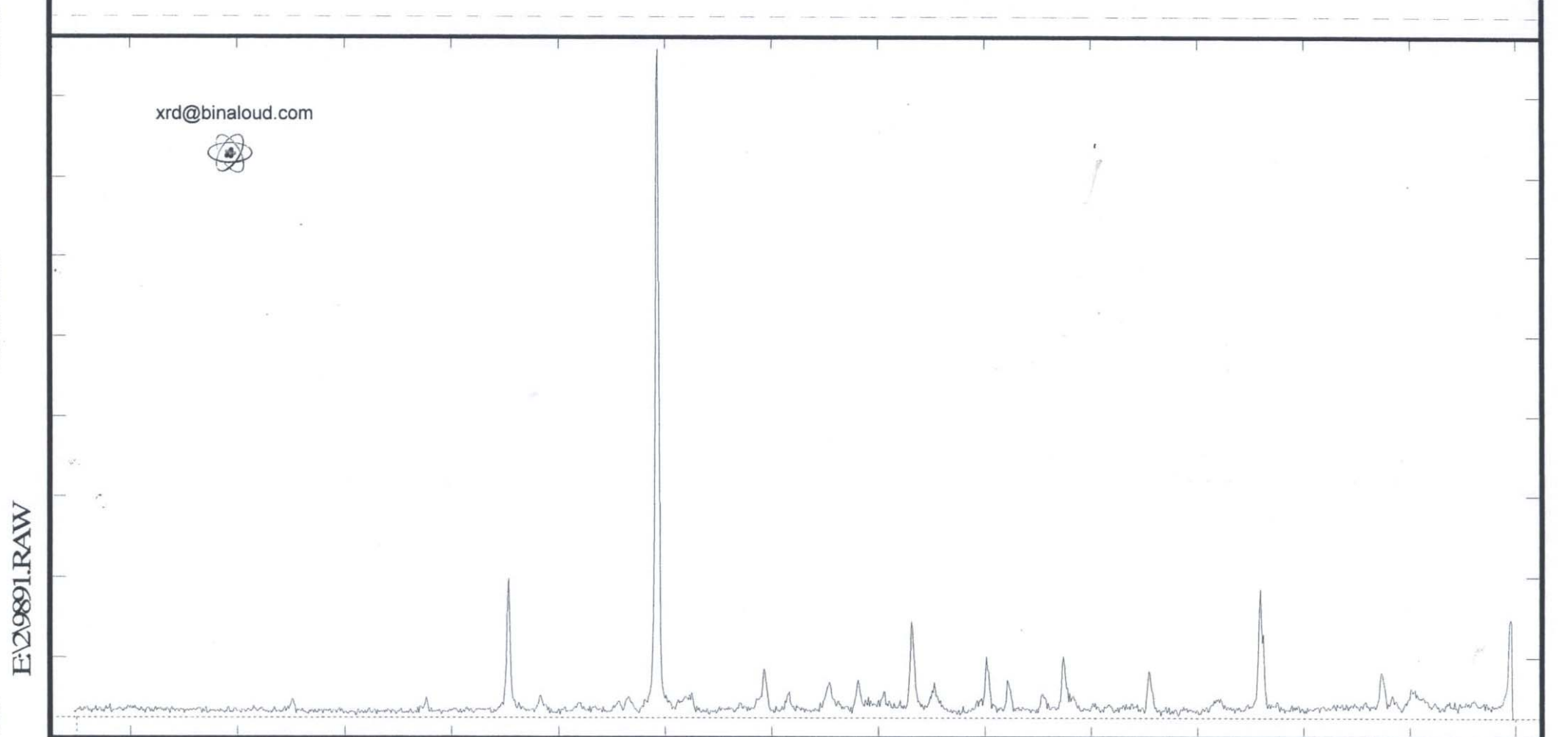
kV = 40  
mA = 30  
Ka. = Cu  
Fil. = Ni

Muscovite - illite (26-0911)  
KAl<sub>2</sub>Si<sub>3</sub>AlO<sub>10</sub>(OH)2



3732.5

CPS Lin



Sample:  
ASI-21

Major Phase(s)  
Quartz (33-1161)  
SiO<sub>2</sub>

Minor Phase(s)  
Epidote (45-1446)  
Ca<sub>2</sub>(Al,Fe)3(Si<sub>2</sub>O<sub>7</sub>)(SiO<sub>4</sub>)(OH)<sub>2</sub>

Trace Phase(s)  
--

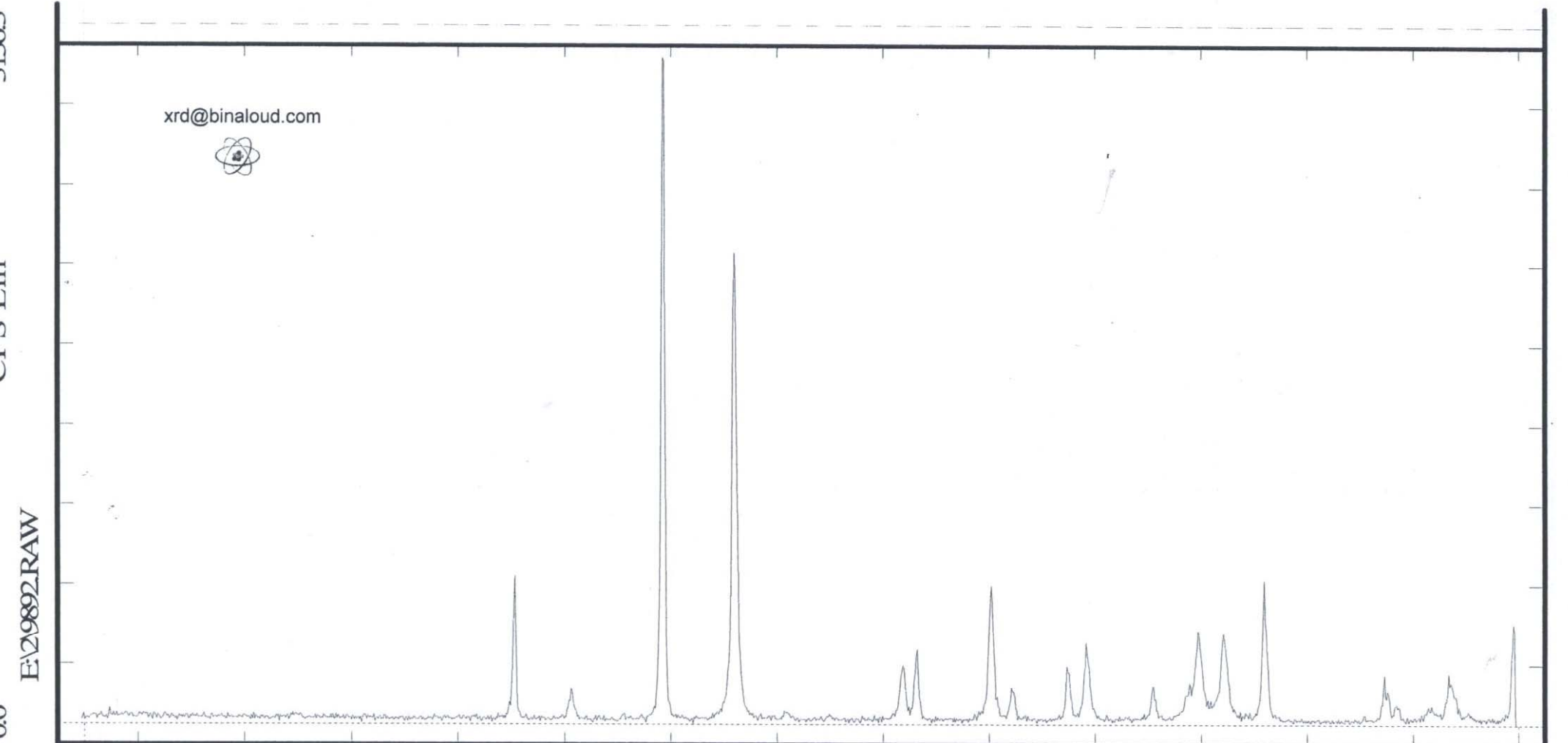
Date :  
03/02/2008

Chlorite (29-0701)  
(Mg,Fe)6(Si,Al)4O<sub>10</sub>(OH)<sub>8</sub>

kV = 40  
mA = 30  
Ka. = Cu  
Fil. = Ni



31363



Sample:  
ASI-25

Major Phase(s)  
Quartz (33-1161)  
SiO<sub>2</sub>

Minor Phase(s)  
Hematite (33-0664)  
Fe<sub>2</sub>O<sub>3</sub>

Trace Phase(s)

Date :  
03/02/2008

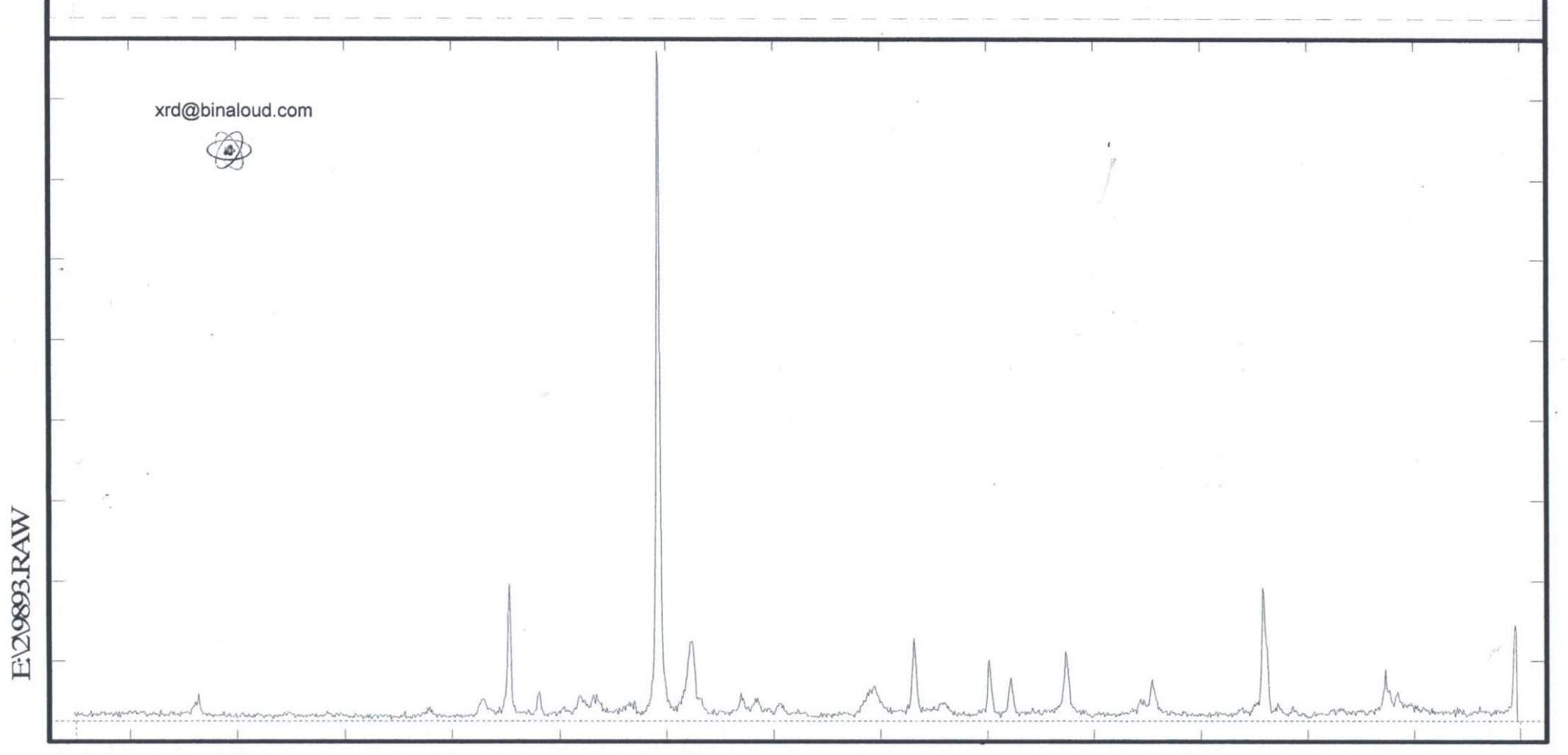
Calcite (05-0586)  
CaCO<sub>3</sub>

kV = 40  
mA = 30  
Ka. = Cu  
Fil. = Ni



4436.8

CPS Lin



4.00

10.22

18.52

26.81

35.11

43.41

51.70

60.00

Sample:
ASI-37

<b>Major Phase(s)</b>
Quartz (33-1161)
SiO <sub>2</sub>

<b>Minor Phase(s)</b>
Albite (09-0466)
NaAlSi <sub>3</sub> O <sub>8</sub>

<b>Trace Phase(s)</b>
-

Date :
03/02/2008

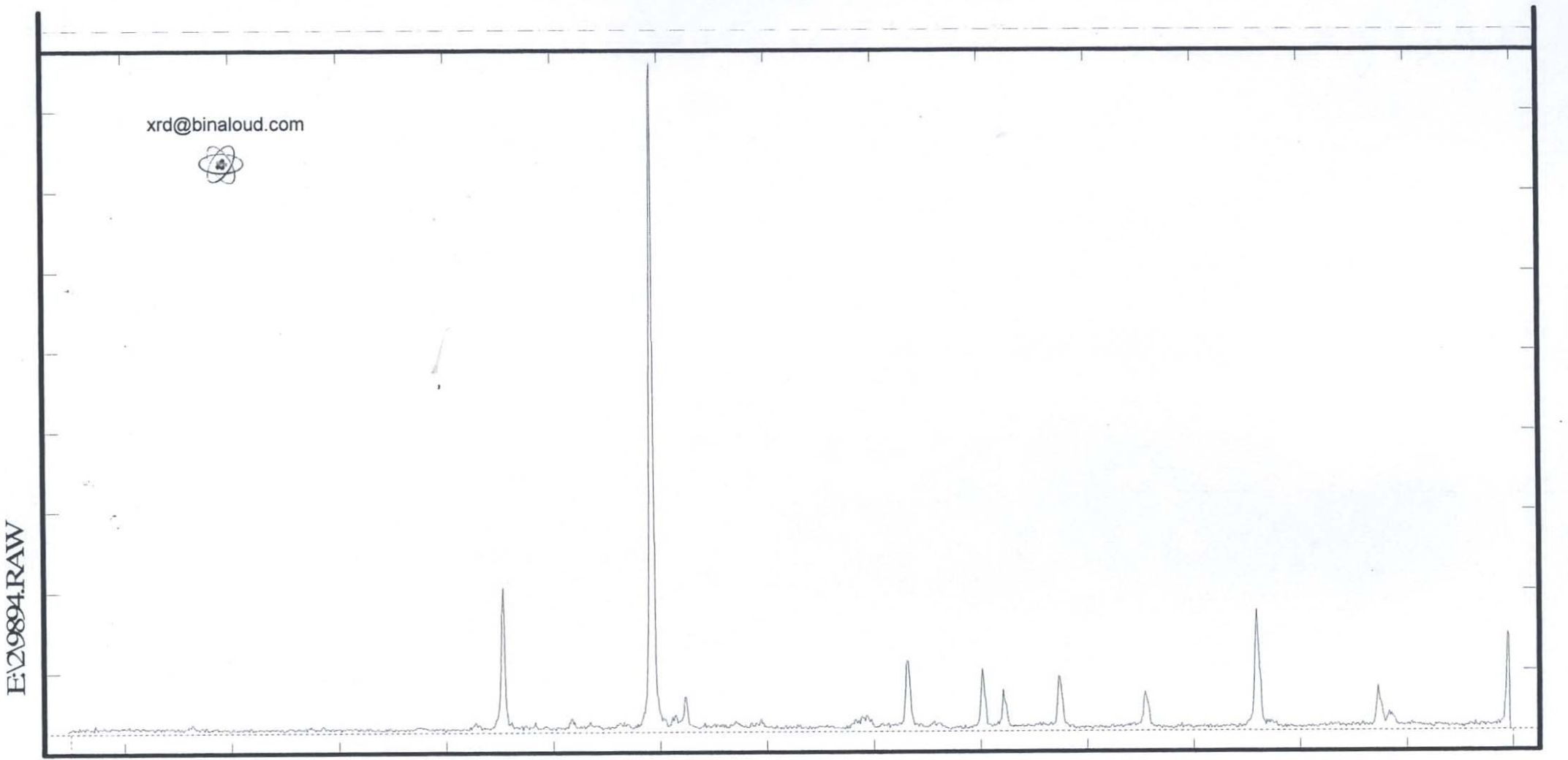
Muscovite - illite (26-0911)
KAl <sub>2</sub> Si <sub>3</sub> AlO <sub>10</sub> (OH) <sub>2</sub>

kV = 40
mA = 30
Ka. = Cu
Fil. = Ni



6006.1

CPS Lin



xrd@binaloud.com



4.00      10.22      18.52      26.81      35.11      43.41      51.70      60.00

Sample:  
ASI-49

Major Phase(s)  
Quartz (33-1161)  
SiO<sub>2</sub>

Minor Phase(s)  
Albite (09-0466)  
NaAlSi<sub>3</sub>O<sub>8</sub>

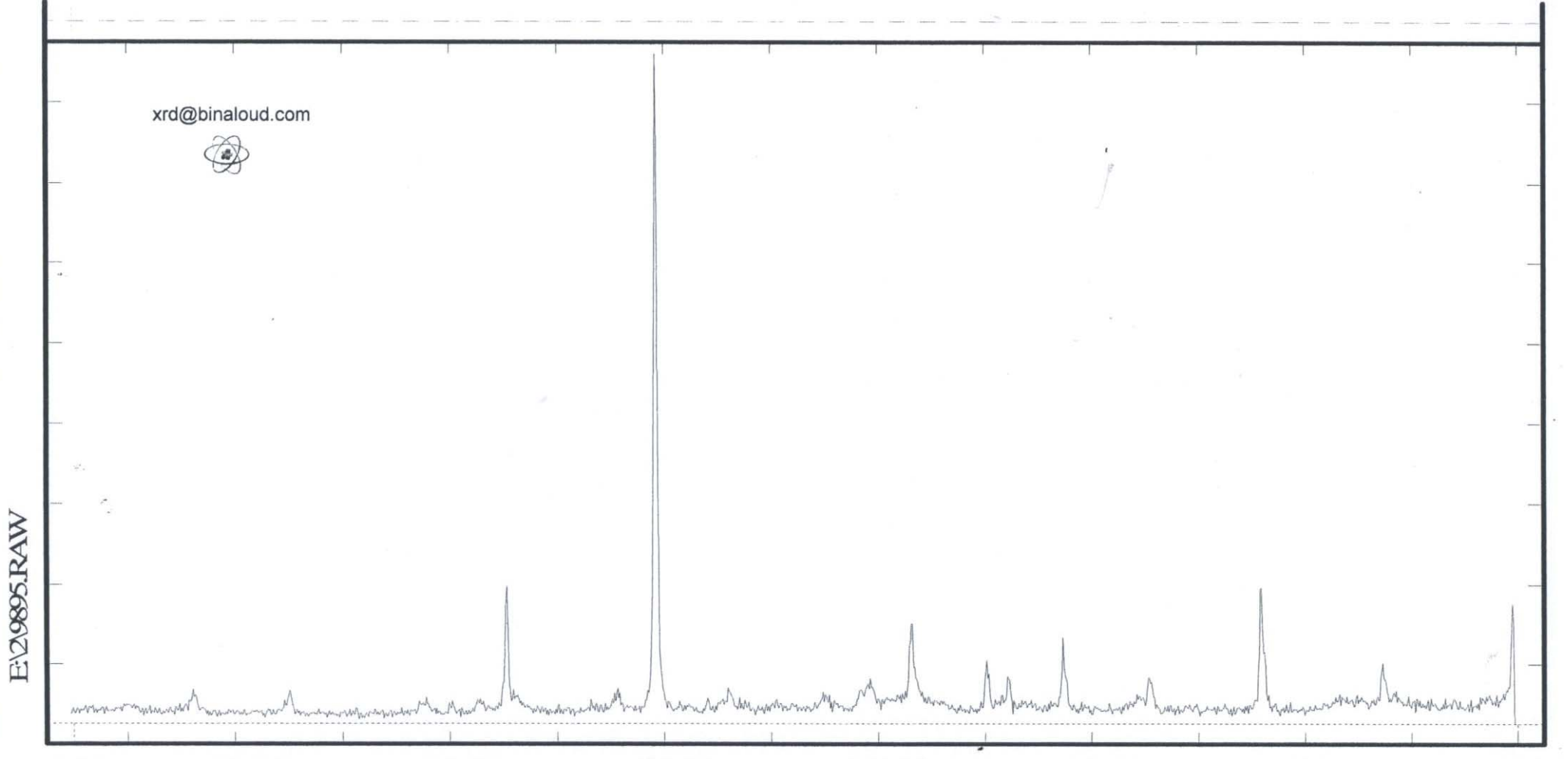
Trace Phase(s)  
Muscovite - illite (26-0911)  
KAl<sub>2</sub>Si<sub>3</sub>AlO<sub>10</sub>(OH)<sub>2</sub>

Date :  
03/02/2008

Orthoclase (31-0966)  
KAISi<sub>3</sub>O<sub>8</sub>

kV = 40  
mA = 30  
Ka. = Cu  
Fil. = Ni





4.00      10.22

Sample:
ASI-52

18.52

Major Phase(s)	
Quartz	(33-1161)
SiO <sub>2</sub>	

26.81

Minor Phase(s)	
Chlorite	(29-0701)
(Mg,Fe)6(Si,Al)4O10(OH)8	

35.11

Trace Phase(s)	
Muscovite - illite	(26-0911)

—

43.41

51.70

60.00

Date :
03/02/2008

kV = 40
mA = 30
Ka. = Cu
Fil. = Ni

Muscovite - illite
(26-0911)

KAl<sub>2</sub>Si<sub>3</sub>AlO<sub>10</sub>(OH)<sub>2</sub>

Calcite
(05-0586)

CaCO<sub>3</sub>

Hematite
(33-0664)

Fe<sub>2</sub>O<sub>3</sub>

3296.7

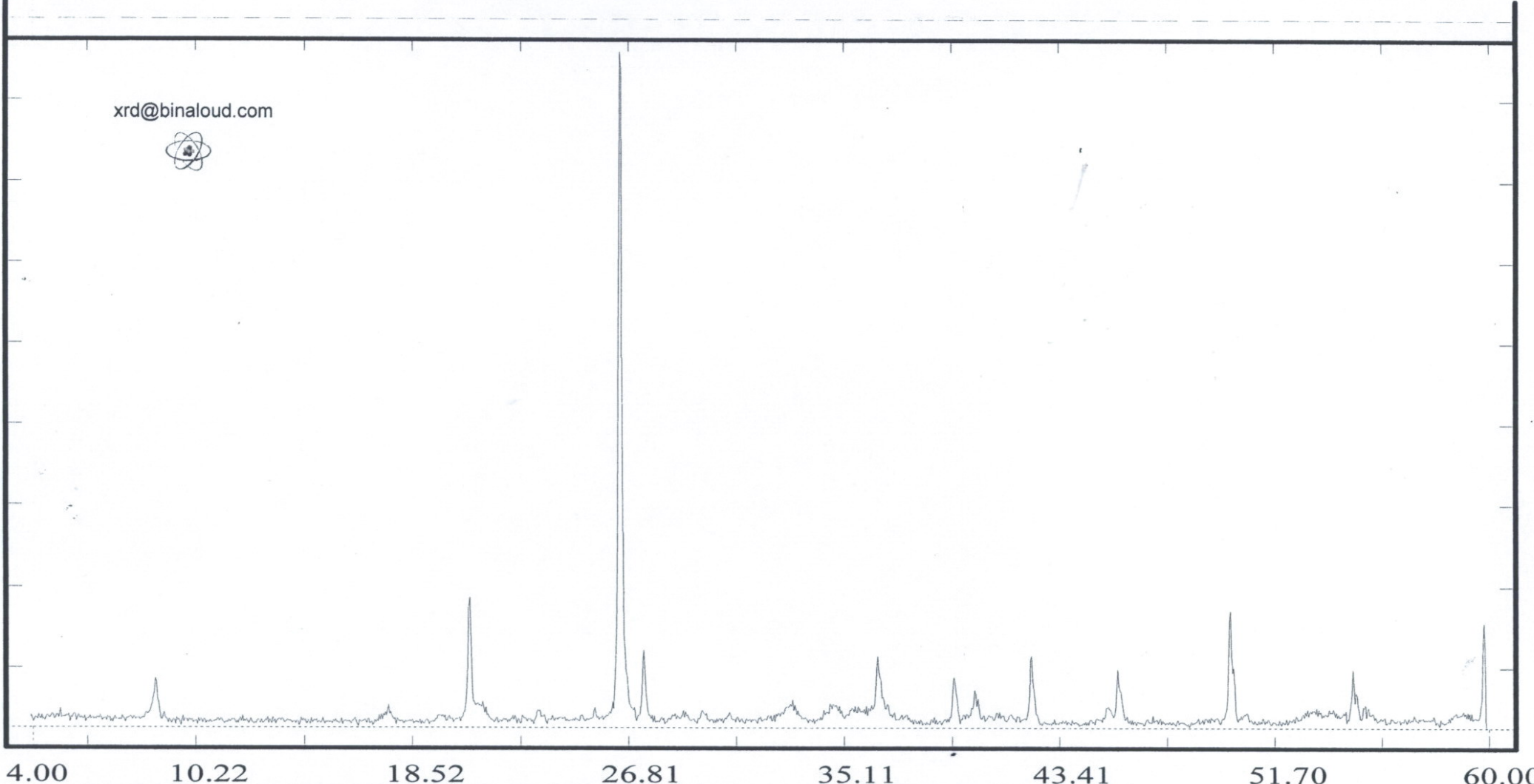
xrd@binaloud.com



CPS Lin

E:\2\9896.RAW

0.0



4.00 10.22 18.52 26.81 35.11 43.41 51.70 60.00

Sample:
ASI-58

Major Phase(s)
Quartz (33-1161)
SiO <sub>2</sub>

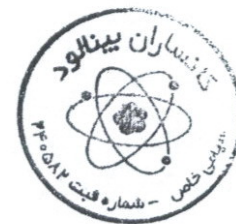
Minor Phase(s)
Muscovite - illite (26-0911)
KAl <sub>2</sub> Si <sub>3</sub> AlO <sub>10</sub> (OH) <sub>2</sub>

Trace Phase(s)
--

Date :
03/02/2008

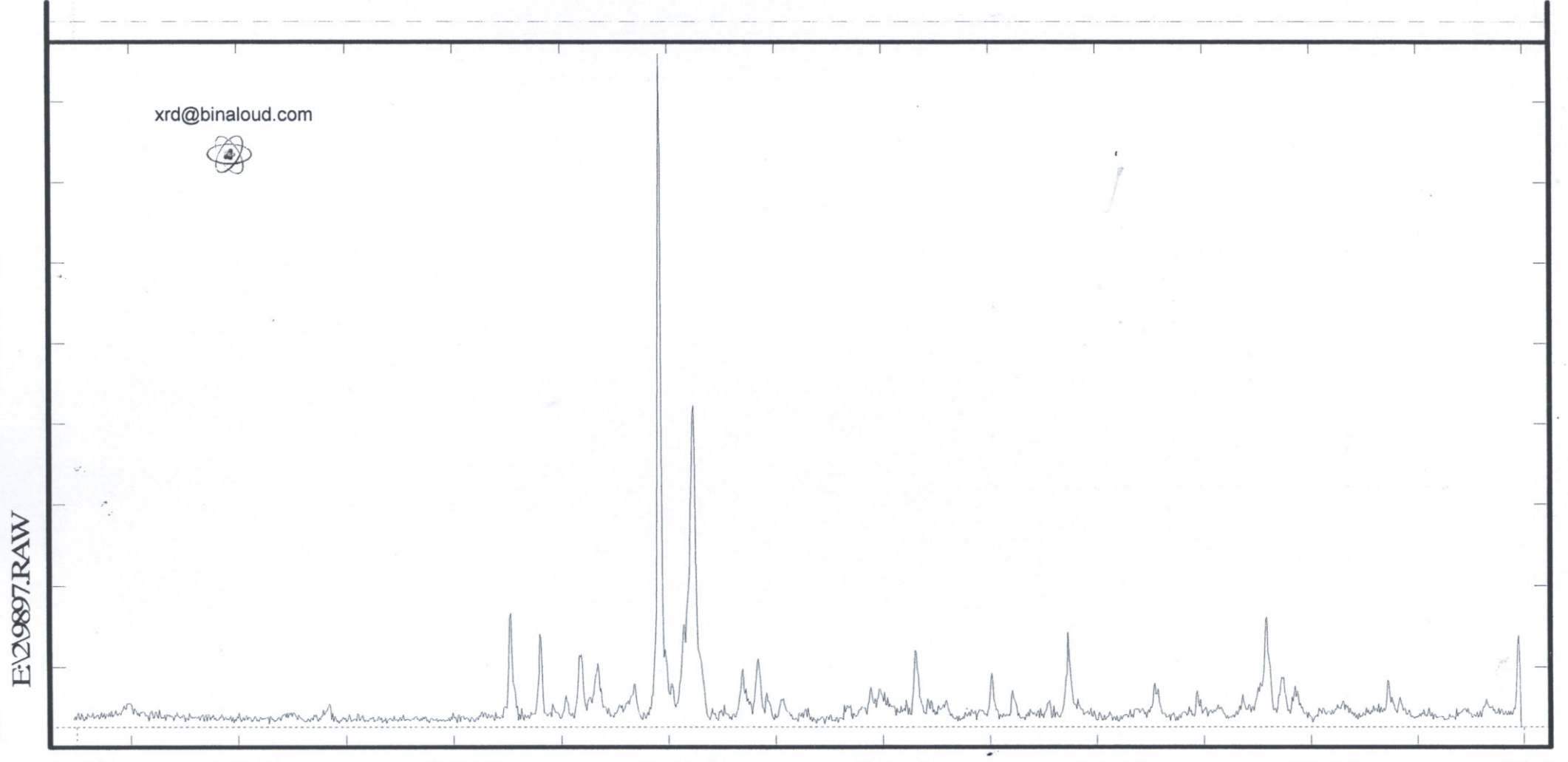
Orthoclase (31-0966)
KAISi <sub>3</sub> O <sub>8</sub>

kV = 40
mA = 30
Ka. = Cu
Fil. = Ni



2949.1

CPS Lin



4.00      10.22      18.52      26.81      35.11      43.41      51.70      60.00

Sample:  
ASI-64

**Major Phase(s)**  
Quartz (33-1161)  
SiO<sub>2</sub>

**Minor Phase(s)**  
Muscovite - illite (26-0911)  
KA<sub>2</sub>Si<sub>3</sub>AlO<sub>10</sub>(OH)<sub>2</sub>

**Trace Phase(s)**  
--

Date :  
03/02/2008

Albite (09-0466)  
NaAlSi<sub>3</sub>O<sub>8</sub>

Chlorite (29-0701)  
(Mg,Fe)<sub>6</sub>(Si,Al)<sub>4</sub>O<sub>10</sub>(OH)<sub>8</sub>

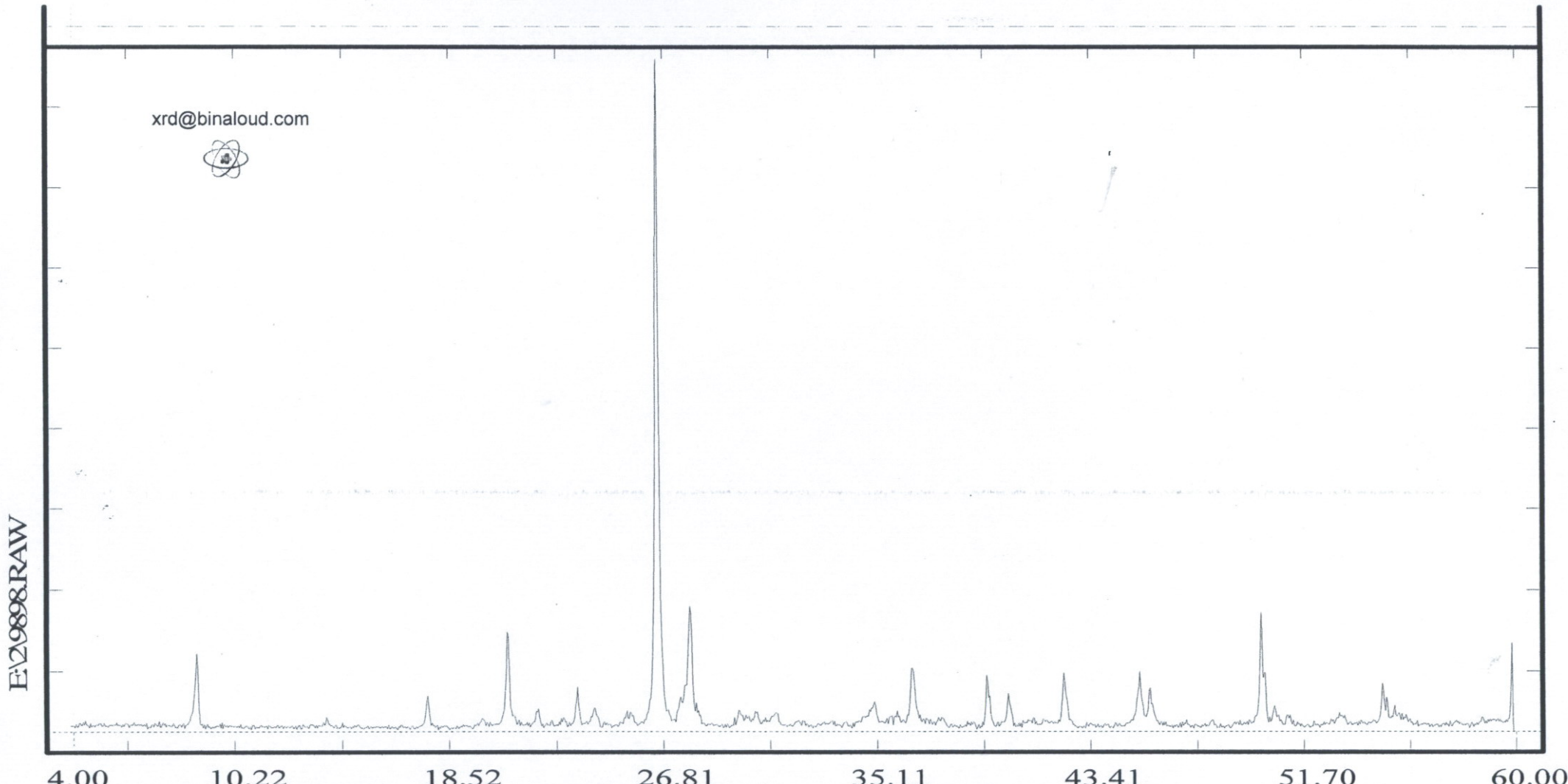
kV = 40  
mA = 30  
Ka. = Cu  
Fil. = Ni

Orthoclase (31-0966)  
KA<sub>2</sub>Si<sub>3</sub>O<sub>10</sub>



4436.8

CPS Lin



Sample:  
ASI-82

Major Phase(s)  
Quartz (33-1161)  
SiO<sub>2</sub>

Minor Phase(s)  
--

Trace Phase(s)  
--

Date :  
03/02/2008

Albite (09-0466)  
NaAlSi<sub>3</sub>O<sub>8</sub>

kV = 40  
mA = 30  
Ka = Cu  
Fil. = Ni

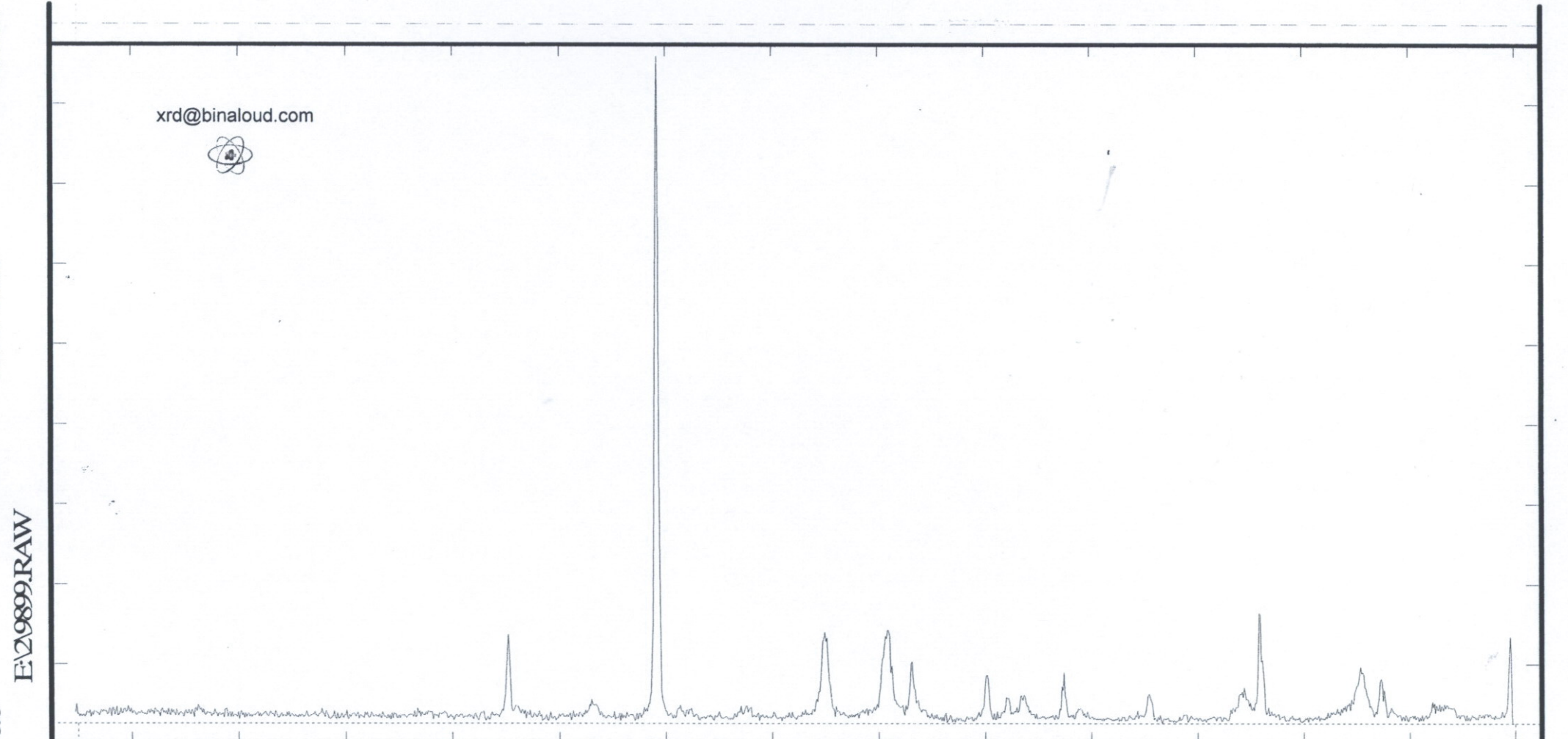
Orthoclase (31-0966)  
KAISi<sub>3</sub>O<sub>8</sub>

Muscovite - illite (26-0911)  
KAl<sub>2</sub>Si<sub>3</sub>AlO<sub>10</sub>(OH)<sub>2</sub>



2478.1

CPS Lin



Sample:  
ASI-83

**Major Phase(s)**  
Quartz (33-1161)  
SiO<sub>2</sub>

**Minor Phase(s)**  
Goethite (29-0713)  
FeO(OH)

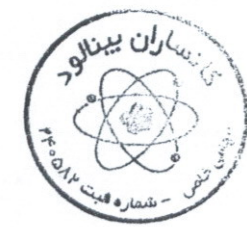
**Trace Phase(s)**  
--

Date :  
03/02/2008

Hematite (33-0664)  
Fe<sub>2</sub>O<sub>3</sub>

Magnetite (19-0629)  
FeFe<sub>2</sub>O<sub>4</sub>

kV = 40  
mA = 30  
Ka. = Cu  
Fil. = Ni



پیوست شماره ۵

نتایج مطالعه نمونه‌ها به روش XRF



**CERTIFICATE OF ANALYSIS**

**6ZR-**

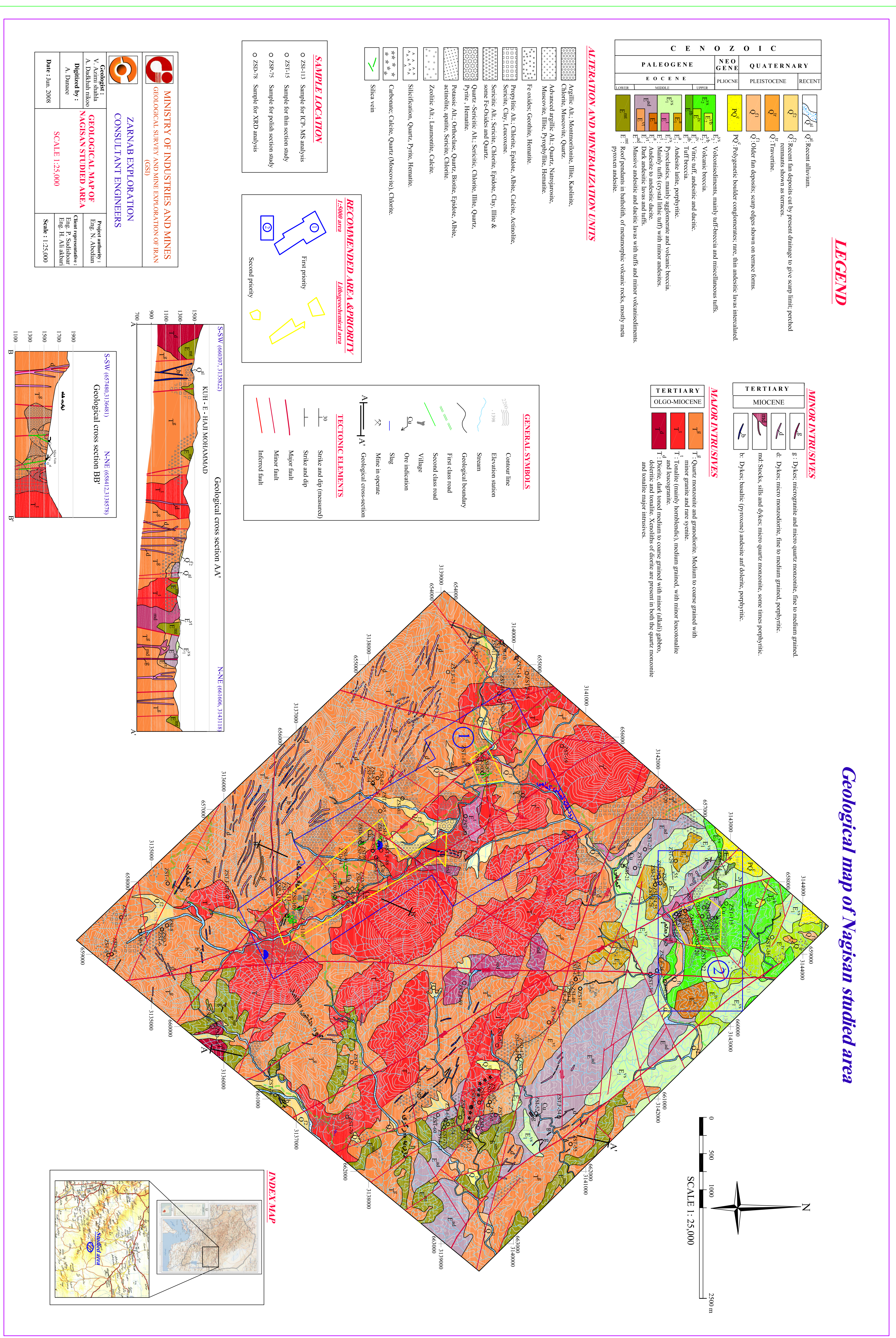
L074519	IDENT	SiO <sub>2</sub>	Al <sub>2</sub> O <sub>3</sub>	Fe <sub>2</sub> O <sub>3</sub>	CaO	Na <sub>2</sub> O	K <sub>2</sub> O	SrO	Cr <sub>2</sub> O <sub>3</sub>	MgO	TiO <sub>2</sub>	MnO	P <sub>2</sub> O <sub>5</sub>	Cl	SO <sub>3</sub>	LOI
UNITS	%	%	%	%	%	%	%	%	%	%	%	%	%	%	%	%
SCHEME	NQ0797	NQ0797	NQ0797	NQ0797	NQ0797	NQ0797	NQ0797	NQ0797	NQ0797	NQ0797	NQ0797	NQ0797	NQ0797	NQ0797	NQ0797	NQ0797
DETECTION LIMIT	0.01	0.01	0.01	0.01	0.01	0.01	0.01	0.01	0.01	0.01	0.01	0.01	0.01	0.01	0.01	-100
ZSF-13	72.6	14.4	2.7	2.4	3.9	2.9	0.04	<	0.63	0.22	0.03	0.06	0.01	0.03	0.4	
ZSF-15	72.1	14.2	2.7	2.5	3.8	3	0.03	<	0.59	0.22	0.06	0.06	0.02	0.03	0.6	
ZSF-26	63.7	15.5	5.6	2.9	4.1	3	0.07	<	1.9	0.53	0.12	0.14	<	0.03	2.7	
ZSF-31	72.2	14.1	2.6	1.4	4	3.2	0.02	0.01	0.33	0.38	0.07	0.07	<	0.03	1.4	
ZSF-38	59.4	15.8	7.1	4	3.9	2.7	0.04	<	2.8	0.68	0.14	0.12	<	0.04	3.6	
ZSF-54	69.4	14.8	3.2	1.8	4.9	2.7	0.05	<	0.74	0.34	0.08	0.11	<	0.03	1.9	
ZSF-59	51.7	17.1	11.3	10.8	3.4	0.93	0.07	<	2.1	1.2	0.18	0.32	<	0.02	0.9	
ZSF-73	50.2	17.2	11.1	8.2	4.1	0.7	0.04	<	4	0.94	0.19	0.13	<	0.07	3.1	
ZSF-77	49.2	20.4	11.1	9.8	3	0.23	0.08	<	5.3	0.79	0.2	0.23	<	0.03	0.3	
ZSF-85	76.1	12.7	1.1	0.7	3.4	5	<	<	0.11	0.05	0.02	0.02	<	0.03	0.2	
ZSF-88	65.7	15.7	5.3	4.2	3.7	2.2	0.04	<	1.6	0.45	0.11	0.12	0.02	0.03	0.5	
ZSF-101	68.5	15.3	4.3	3.6	3.8	2.2	0.04	<	1.2	0.38	0.08	0.08	0.03	0.02	0.3	

ضمیمه شماره ۱:

نقشه زمین شناسی معدنی ۱:۲۵،۰۰۰ محدوده  
زیارت شاه - کماهی

## LEGEND

## *Geological map of Nagisan studied area*



ضمیمه شماره ۲:

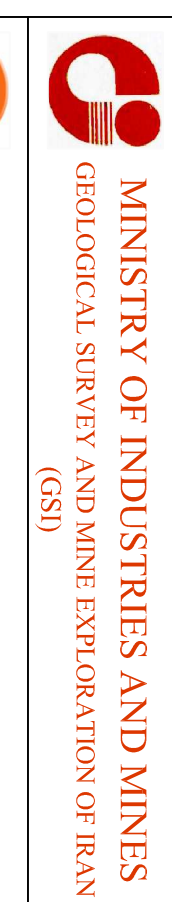
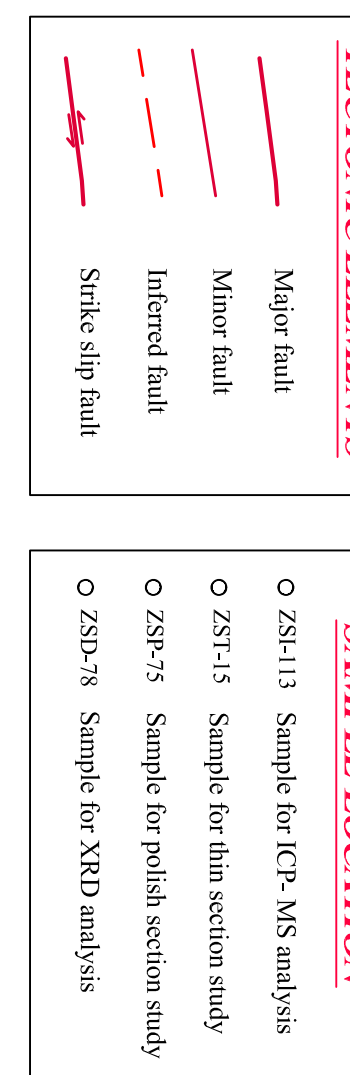
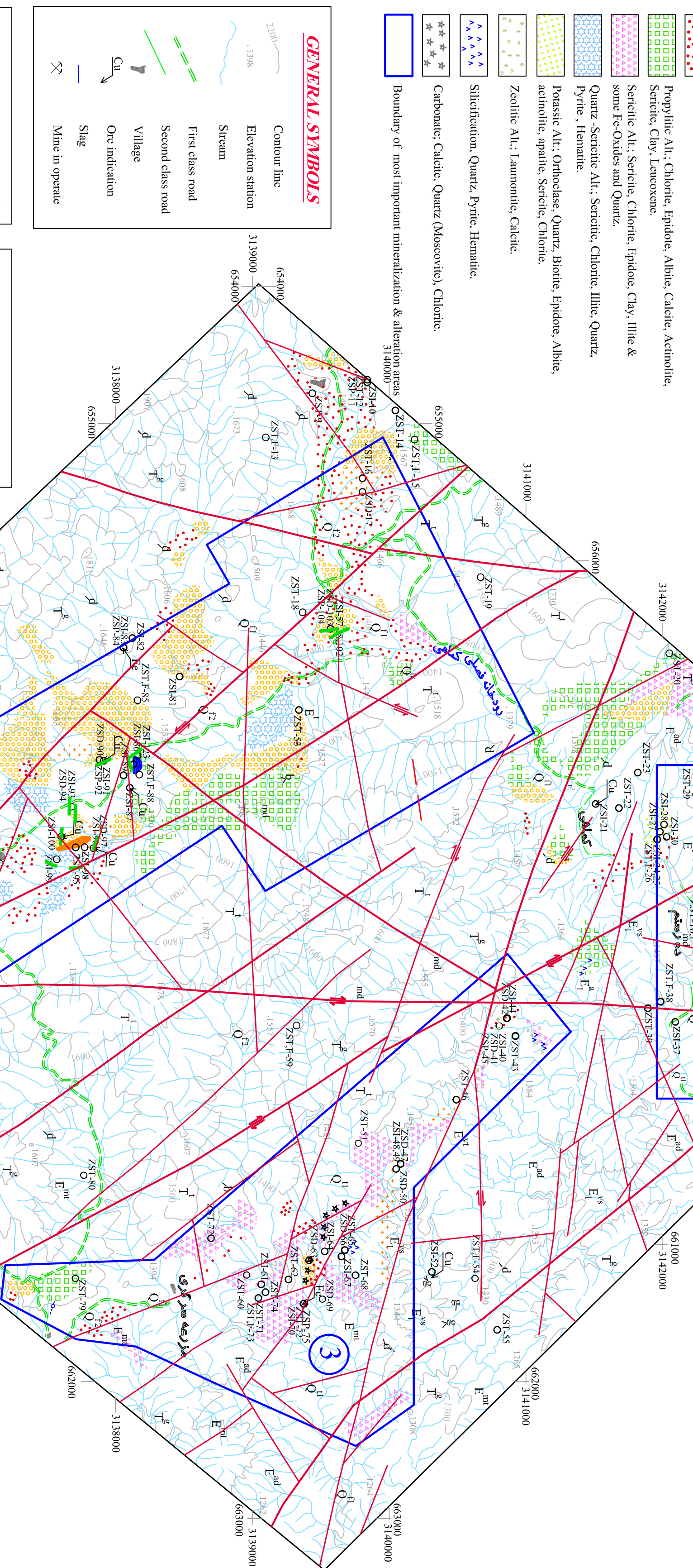
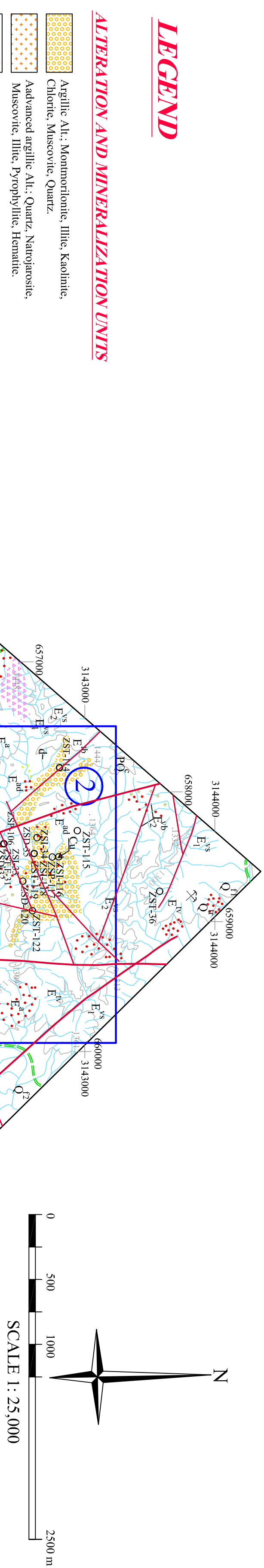
نقشه دگرسانی ۱:۲۵،۰۰۰ محدوده

زیارت شاه - کماهی

## *Alteration map of Nagisan studied area*

## LEGEND

#### ALTERATION AND MINERALIZATION UNITS



 <p><b>MINISTRY OF INDUSTRIES AND MINES</b>  <b>GEOLOGICAL SURVEY AND MINE EXPLORATION OF IRAN</b>  <b>(GSI)</b></p>	
 <p><b>ZARNAB EXPLORATION</b>  <b>CONSULTANT ENGINEERS</b></p>	
<p><b>Geologist :</b>  V. Azimi shahla  A. Dadkhah nikoo</p> <p><b>Digitized by :</b>  A. Danaee</p> <p>Date : Jun. 2008</p>	<p><b>ALTERATION MAP OF</b>  <b>NAGISAN STUDIED AREA</b></p> <p><b>SCALE 1:25,000</b></p> <p>Project authority :  Eng. N. Abedian</p> <p>Client representative :  Eng. P. Sudishoar  Eng. H. Ali akbari</p> <p>Scale : 1:25,000</p>